



## ใบรับรองวิทยานิพนธ์

บัณฑิตวิทยาลัย มหาวิทยาลัยเกษตรศาสตร์

วิทยาศาสตร์บัณฑิต (วิทยาศาสตร์การอาหาร)

บริษัทฯ

วิทยาศาสตร์การอาหาร  
สาขาวิชา

วิทยาศาสตร์และเทคโนโลยีการอาหาร

ภาควิชา

เรื่อง การแยกสตาร์ชข้าวหักด้วยวิธีการใช้คลื่นเสียงความถี่สูง และการแช่เยือกแข็งอุณหภูมิต่ำ

Starch Isolation from Broken Rice by High-Intensity Ultrasound and Deep Freezing

นามผู้วิจัย นางสาววรรยาพิพิช ประสีพันธ์ราษฎร์

ได้พิจารณาเห็นชอบโดย

ประธานกรรมการ

( รองศาสตราจารย์ส่วนครี เจริญเรือง, Ph.D. )

กรรมการ

( ผู้ช่วยศาสตราจารย์มาศอุบล ทองงาม, Ph.D. )

กรรมการ

( ผู้ช่วยศาสตราจารย์สาวณี เลิศวรสิริกุล, Ph.D. )

หัวหน้าภาควิชา

( ผู้ช่วยศาสตราจารย์นนະบูลย์ สจាយอนันตคุณ, Ph.D. )

บัณฑิตวิทยาลัย มหาวิทยาลัยเกษตรศาสตร์รับรองแล้ว

( รองศาสตราจารย์กัญจนा ธีระกุล, D.Agr. )

คณบดีบัณฑิตวิทยาลัย

วันที่ ..... เดือน ..... พ.ศ. ....

วิทยานิพนธ์

เรื่อง

การแยกสตาร์ชข้าวหักด้วยวิธีการใช้คลื่นเสียงความถี่สูง และการแช่เยือกแข็งอุณหภูมิคำ

Starch Isolation from Broken Rice by High-Intensity Ultrasound and Deep Freezing

โดย

นางสาวราทิพย์ ประสิทธินารายณ์

เสนอ

บัณฑิตวิทยาลัย มหาวิทยาลัยเกษตรศาสตร์

เพื่อความสมบูรณ์แห่งปริญญาวิทยาศาสตร์มหาบัณฑิต (วิทยาศาสตร์การอาหาร)

พ.ศ. 2552

วราพิพัช ประสิกธินารายณ์ 2552: การแยกสตาร์ชข้าวหักด้วยวิธีการใช้คลื่นเสียงความถี่สูง และการแข็งอุณหภูมิคือ ปริญญาวิทยาศาสตร์บัณฑิต (วิทยาศาสตร์การอาหาร) สาขาวิทยาศาสตร์การอาหาร ภาควิชาวิทยาศาสตร์และเทคโนโลยีการอาหาร ประธานกรรมการที่ปรึกษา:  
รองศาสตราจารย์ส่วนครี เจริญหรีญ, Ph.D. 136 หน้า

งานวิจัยนี้มีวัตถุประสงค์เพื่อใช้คลื่นเสียงความถี่สูง (HIU) และการแข็งอุณหภูมิคือ (DF) เป็นวิธีทางเลือกใหม่ในการแยกสกัดสตาร์ชาจากแป้งข้าวหัก แทนการสกัดด้วยสารเคมี โดยสภาวะที่ใช้ในการสกัดคือ การนำแป้งข้าวผสมน้ำ ในอัตราส่วน 1:2 มาผ่านการสกัดด้วยวิธี HIU ที่สภาวะ 50 70 และ 90 เบอร์เซ็นต์ แอมป์ลิจูด (%Amp) เป็นเวลา 15 30 และ 45 นาที การสกัดด้วยวิธี DF จำนวน 1 และ 6 รอบ และการสกัดด้วยวิธี HIU ร่วมกับการ DF จำนวน 6 รอบ พบว่า แต่ละทริปเมนต์ ที่สกัดด้วย HIU จะมีผลได้ของสตาร์ชแตกต่างกันอย่างไม่มีนัยสำคัญ ( $p > 0.05$ ) มีค่าอยู่ในช่วง 74.88 ถึง 80.12 เบอร์เซ็นต์ และมีค่าแตกต่างกันอย่างไม่มีนัยสำคัญกับผลได้ของสตาร์ชที่สกัดด้วย HIU ที่ 70 %Amp เป็นเวลา 30 นาที ร่วมกับการ DF จำนวน 6 รอบ อย่างไรก็ตาม ผลได้ของสตาร์ช ที่สกัดด้วย HIU มีค่าสูงกว่าสตาร์ชที่ได้จากการสกัดด้วยสารละลายค้าง การสกัดด้วย HIU ที่ 70 %Amp เป็นเวลา 45 นาที สามารถลดปริมาณโปรตีนของแป้งข้าวจาก 7.0 เหลือเพียง 0.88 เบอร์เซ็นต์ โดยมีความแตกต่างอย่างไม่มีนัยสำคัญ ( $p > 0.05$ ) กับสตาร์ชข้าว ที่สกัดด้วยสารละลายค้าง และมีค่าปริมาณโปรตีน น้อยกว่าสตาร์ชที่สกัดด้วย HIU ร่วมกับการ DF การตรวจสอบโครงสร้างโดยกล้องคอนไฟกอต เลเซอร์สแกน ยืนยันการลดลงของปริมาณโปรตีน ในตัวอย่างที่ผ่าน HIU นอกจากนี้ปริมาณสตาร์ชที่เสียหายจากการใช้ HIU เพิ่มขึ้นเมื่อ %Amp และเวลาเพิ่มสูงขึ้น ค่าความหนืดสูงสุด ค่าความหนืดต่ำสุด และค่าความหนืดสุดท้ายลดลง ในขณะที่ ค่าความหนืดที่ลดลง ค่าเซดแบค และค่าอุณหภูมิเริ่มต้นของความหนืด เพิ่มขึ้น ยกเว้นที่ 90 %Amp ที่มีค่าความหนืดสูงสุด ค่าความหนืดต่ำสุด ค่าความหนืดสุดท้าย ค่าความหนืดที่ลดลง และค่าเซดแบค ลดลง ในขณะที่ค่าอุณหภูมิเริ่มต้นของความหนืดเพิ่มขึ้น เนื่องจากที่สภาวะนี้สตาร์ชเกิดการเจลาตินไซซ์ และสภาวะที่ดีที่สุดในการสกัดสตาร์ชข้าวหักคือ ที่สภาวะ 70 %Amp เป็นเวลา 45 นาที เมื่อจากมีปริมาณโปรตีนที่เหลืออยู่และสตาร์ชที่เสียหายใกล้เคียงกับสตาร์ชที่สกัดด้วยสารละลายค้างมากที่สุด นอกจากนี้การสกัดด้วย HIU ยังสามารถลดปริมาณน้ำเสีย และระยะเวลาในการสกัดได้ดีกว่าวิธีการใช้สารละลายค้างอีกด้วย

Varatip Prasitnarai 2009: Starch Isolation from Broken Rice by High Intensity-Ultrasound and Deep Freezing. Master of Science (Food Science), Major Field: Food Science, Department of Food Science and Technology. Thesis Advisor: Associate Professor Sanguansri Charoenrein, Ph.D.  
136 pages.

The purposes of this study were to use High-intensity ultrasound (HIU) and deep freezing (DF) as an alternative method to isolate rice starch from broken rice instead of using chemical extraction. Anyhow, suitable condition for extraction was bringing 1:2 ratios of rice flour slurry through extraction by HIU at 50, 70 and 90%amplitude for 15 30 and 45 min. The isolation by 1 and 6 cycles deep freezing (DF) and by HIU together with 6 cycles DF found that the results of each HIU treatment showed that their starch yields were not significantly different ( $p > 0.05$ ) and varied from 74.88 to 80.12% and were not significantly different with starch isolation by HIU treatment at 70% amplitude for 30 min combination with 6 cycles DF. However, the starch yields by HIU treatment were significantly higher than alkaline extraction method. The HIU at 70% amplitude for 45 min could reduce protein content of rice flour from 7.0% to 0.88% which was not significantly different ( $p > 0.05$ ) with protein content of rice starch by alkaline extraction method which had protein content below starch isolation by HIU treatment combination with DF method. The structural examination by confocal laser scanning microscopy confirmed the decreasing protein content of HIU treated samples. In addition, the damage starch of HIU treated samples gradually increased when %amplitude and time increased and at 70%amplitude for 45 min had the degree of damage starches similar to rice starch by alkaline extraction method. For pasting properties, the result found that when %amplitude and time increased, peak, trough and final viscosity decreased while breakdown, setback and peak temperature increased except at 90% amplitude that has peak, trough and final viscosity, breakdown and setback decreased. While peak temperature increased because at this condition, there was gelatinization in rice starch and the best condition for isolating broken rice starch was at 70% amplitude for 45 min that had protein content and damage starches similar to rice starch isolation by alkaline extraction method. Moreover, HIU method could more reduce the amount of waste water and time length used in isolation than alkaline extraction method.

---

Student's signature

---

Thesis Advisor's signature

/ /

## กิตติกรรมประกาศ

วิทยานิพนธ์นี้สำเร็จได้ด้วยความอนุเคราะห์เป็นอย่างมากจาก รองศาสตราจารย์ ดร.ส่วนครี เจริญเหรียญ ที่ได้ให้เกียรติเป็นประธานกรรมการที่ปรึกษา และกรุณ้าให้คำแนะนำ ข้อคิดเห็นแนวทางในการแก้ไขปัญหา ความเมตตาและเอาใจใส่ ตลอดจนการตรวจสอบและแก้ไข วิทยานิพนธ์ฉบับนี้จนสำเร็จลุล่วงไปได้ด้วยดี ข้าพเจ้าขอกราบขอบพระคุณเป็นอย่างสูง

ขอกราบขอบพระคุณ ผู้ช่วยศาสตราจารย์ ดร.มาศอุบล ทองงาม กรรมการที่ปรึกษาวิชาเอก และผู้ช่วยศาสตราจารย์ ดร.สาวณีย์ เลิศวรสิริกุล กรรมการที่ปรึกษาวิชารอง และรองศาสตราจารย์ ดร.สาวีตรี จันทรานุรักษ์ ผู้แทนบัณฑิตที่กรุณาตรวจสอบแก้ไขวิทยานิพนธ์ให้สมบูรณ์ยิ่งขึ้น ขอขอบคุณ สถาบันวิจัยและพัฒนา (สวพ.) ที่ให้ทุนอุดหนุน โครงการวิจัยทุนอุดหนุนวิจัย มก. ภายใต้ชุด โครงการวิจัยเพื่อพัฒนาหน่วยปฏิบัติการวิจัยเชี่ยวชาญเฉพาะ (SRU) ซึ่งได้นำมาเป็นค่าใช้จ่ายในการดำเนินการวิจัย ตั้งแต่ปีงบประมาณ 2548 ถึงปีงบประมาณ 2549 และขอบคุณผู้ช่วยศาสตราจารย์ ดร.มาศอุบล ทองงาม ที่ให้ความรู้และคำแนะนำในการใช้เครื่อง Confocal laser scanning micrographs เป็นอย่างดี ขอขอบคุณเจ้าหน้าที่หน่วยงานคล้องกุลบรรคน์อิเล็กตรอน ที่ได้ให้คำแนะนำตลอดจนให้ความช่วยเหลือในการใช้เครื่องมือและอุปกรณ์สำหรับการทำวิทยานิพนธ์ ขอขอบคุณรุ่นพี่ และรุ่นน้องนิสิตปริญญาตรี トイ และเอก สาขาเทคโนโลยีการอาหารทุกท่านที่ให้คำแนะนำ ช่วยเหลือเป็นอย่างดี ขอบคุณเพื่อนๆ ทุกคนที่เคยเป็นกำลังใจ ห่วงใย และให้คำปรึกษา ที่ดีตลอดระยะเวลาของการศึกษาและการทำวิจัย ขอขอบคุณ คุณ ไกรฤกษ์ ศิลากุม ที่ช่วยตรวจสอบความถูกต้อง แบบฟอร์มวิทยานิพนธ์ ร่วมทั้งให้สติและปัญญา อันเป็นแนวทางในการแก้ไขปัญหา และอุปสรรคต่างๆ ให้ผ่านพ้นไปได้ด้วยดี

สุดท้ายขอกราบขอบพระคุณบิความรดา ที่ให้การอบรมเลี้ยงดู ให้ความช่วยเหลือและส่งเสริม ตลอดจนให้ความรักความเมตตา กำลังใจ และคำปรึกษาที่ดีตลอดมา รวมทั้งน้องสาวที่คอยเป็นห่วงให้กำลังใจ และอยู่เคียงข้างกันเสมอ หากวิทยานิพนธ์เล่มนี้สามารถเกิดประโยชน์ตามสมควรแก่ผู้อ่านแล้ว ข้าพเจ้าของอุทิศคุณประโยชน์ทั้งหมดให้แก่บิความรดา ผู้ให้การอุปการะเลี้ยงดู และครูอาจารย์ทุกท่านของข้าพเจ้า

## สารบัญ

หน้า

สารบัญ	(1)
สารบัญตาราง	(2)
สารบัญภาพ	(3)
คำนำ	1
วัตถุประสงค์	3
การตรวจเอกสาร	4
อุปกรณ์และวิธีการ	44
อุปกรณ์	44
วิธีการ	47
ผลและวิจารณ์	52
สรุปและข้อเสนอแนะ	93
เอกสารและสิ่งอ้างอิง	95
ภาคผนวก	109
ภาคผนวก ก เครื่องคลื่นเสียงความถี่สูง	110
ภาคผนวก ข การวิเคราะห์องค์ประกอบและสมบัติทางเคมี	112
ภาคผนวก ค การวิเคราะห์การเปลี่ยนแปลงทางกายภาพ	121
ภาคผนวก ง การวิเคราะห์สมบัติทางเคมีพิสิกส์	124
ภาคผนวก จ กราฟผลการทดลอง	128
ประวัติการศึกษาและการทำงาน	135

## สารบัญตาราง

ตารางที่	หน้า
1 องค์ประกอบภายในแมล็ดขั้นชาติชนิดต่างๆ ทั้งเมล็ด	5
2 ผลของเปอร์เซ็นต์ผลได้ และปริมาณความชื้นของแป้งข้าว และสตาร์ชข้าวที่สกัดด้วยวิธีทางกายภาพ และวิธีสกัดด้วยสารละลายด่าง	54
3 ปริมาณ โปรตีนที่เหลืออยู่ และปริมาณสตาร์ชที่เสียหายของแป้งข้าวและสตาร์ชที่สกัดด้วยวิธีทางกายภาพและวิธีการที่ใช้สารละลายด่าง	57
4 การเกิดเจลาทีไนเซชันของแป้งข้าวและสตาร์ชข้าวที่สกัดด้วยวิธีทางกายภาพ และวิธีการใช้สารละลายด่าง โดยใช้เครื่อง DSC	74
5 คุณสมบัติด้านความหนืด (pasting properties) ของสตาร์ช	77
5 (ต่อ) คุณสมบัติด้านความหนืด (pasting properties) ของสตาร์ช	78
6 ความเป็นผลึกสัมพันธ์ของแป้งข้าว สตาร์ชที่สกัดด้วยวิธีทางกายภาพที่สภาวะต่างๆ และสตาร์ชที่สกัดโดยใช้สารละลายด่าง	88
7 ปริมาณและค่า pH ของน้ำทึ้งจากกระบวนการสกัดสตาร์ชด้วยวิธีทางกายภาพ และวิธีสกัด โดยใช้สารละลายด่าง	89
8 เวลาที่ใช้ในการสกัดสตาร์ช	90
9 สมบัติทางเคมีและทางกายภาพของสตาร์ชข้าว	92
 ตารางผนวกที่	
ข1 ค่าการดูดคลื่นแสงของสารมาตรฐาน	115

## สารบัญภาพ

ภาพที่	หน้า
1 โครงสร้างโมเลกุลของแอมิโน酇พกทิน	8
2 ลักษณะโปรตีนบอดี้ (protein body)	9
3 โครงสร้างของแอมิโน酇พกทิน	11
4 แบบจำลองพื้นผิวของเม็ดแป้ง	13
5 การเปลี่ยนแปลงความหนืดของน้ำแป้ง 3 ระยะ	18
6 ลักษณะการฟอกความหนืดและค่าตัวแปรต่างๆ ที่วิเคราะห์ด้วยเครื่อง RVA	20
7 ช่วงความถี่ของคลื่นเสียง	35
8 เครื่อง HIU หรือคลื่นอัลตราโซนิกแบบอ่าง	36
9 เครื่อง HIU หรือ อัลตราโซนิกแบบหัวไพรบ	37
10 การแตกตัวของฟองอากาศในของเหลว	38
11 การทำลายแรงดึงดูดระหว่างอนุภาค	41
12 CLSM ของสตาร์ชข้าวที่สกัดด้วย HIU ที่สภาวะต่างๆ	61
13 CLSM ของแป้งข้าวและสตาร์ชที่สกัดด้วยสารละลายต่าง	62
14 CLSM ของสตาร์ชข้าวที่สกัดด้วย DF และ HIU ร่วมกับการ DF ที่สภาวะต่างๆ	64
15 CLSM ของแป้งข้าวและสตาร์ชที่สกัดด้วยสารละลายต่าง	66
16 SEM ของแป้งข้าว สตาร์ชที่สกัดด้วย HIU และสตาร์ชที่สกัดด้วยสารละลายต่าง	67
17 SEM ของสตาร์ชข้าวที่สกัดด้วย HIU ที่สภาวะ 50 70 และ 90 เปอร์เซ็นต์แอมพลิจูด เป็นเวลา 30 นาที	68
18 SEM ของสตาร์ชข้าวที่สกัดด้วย HIU ที่สภาวะ 90 เปอร์เซ็นต์แอมพลิจูด เป็นเวลา 30 และ 45 นาที	69
19 SEM ของสตาร์ชข้าวที่สกัดด้วย HIU และ DF เพียงอย่างเดียว และสตาร์ชที่สกัดด้วย HIU ร่วมกับ DF	71

## สารบัญภาพ (ต่อ)

ภาพนugenที่	หน้า
ก1 เครื่องคลีนเสียงความถี่สูง	111
ข1 ปริมาณแอมิโน酇และค่าการดูดกลืนแสงของสารละลายมาตรฐาน	116
ข1 กราฟการเกิดเจลาทีไนเซชันของแป้งข้าว สถาร์ชที่สกัดด้วยคลีนเสียงความถี่สูง และสถาร์ชที่สกัดด้วยสารละลายค่าง โดยใช้เครื่อง DSC	129
ข2 กราฟการเกิดเจลาทีไนเซชันของแป้งข้าว สถาร์ชที่สกัดด้วยการแช่เยือกแข็ง อุณหภูมิต่ำ และสถาร์ชที่สกัดด้วยสารละลายค่าง โดยใช้เครื่อง DSC	130
ข3 กราฟการเกิดเจลาทีไนเซชันของแป้งข้าว สถาร์ชที่สกัดด้วยคลีนเสียงความถี่สูง ร่วมกับการแช่เยือกแข็งอุณหภูมิต่ำ และสถาร์ชที่สกัดด้วยสารละลายค่าง โดยใช้ เครื่อง DSC	130
ข4 กราฟคุณสมบัติด้านความหนืด (Pasting properties) ของแป้งข้าว, สถาร์ชข้าวที่ สกัดด้วยคลีนเสียงความถี่สูงที่เวลาและแเอนพลิจูดต่างกัน และสารละลายค่าง โดย เครื่อง RVA	131
ข5 กราฟคุณสมบัติด้านความหนืด (Pasting properties) ของแป้งข้าว, สถาร์ชข้าวที่ สกัดด้วย การแช่เยือกแข็งอุณหภูมิต่ำ และสารละลายค่าง โดยเครื่อง Rapid Visco Analyzer	132
ข6 กราฟคุณสมบัติด้านความหนืด (Pasting properties) ของแป้งข้าว, สถาร์ชข้าวที่ สกัดด้วย คลีนเสียงความถี่สูงร่วมกับการแช่เยือกแข็งอุณหภูมิต่ำ และสารละลาย ค่าง โดยเครื่อง Rapid Visco Analyzer	133
ข7 กราฟความเป็นผลึกสัมพันธ์ของแป้งข้าว สถาร์ชที่สกัดด้วยวิธีทางกายภาพที่ สภาเวต่างๆ และสถาร์ชที่สกัดด้วยสารละลายค่าง	134

## คำอธิบายสัญลักษณ์และคำย่อ

HIU	คลื่นเสียงความถี่สูง
DF	การแข่งขันอุณหภูมิตัว
CLSM	เครื่อง Confocal laser scanning micrographs
SEM	เครื่อง Scanning electron micrograph
DSC	เครื่อง Differential Scanning Calorimeter
RVA	เครื่อง Rapid Visco Analyzer
PT	อุณหภูมิที่เริ่มเกิดความหนืด
PV	ความหนืดสูงสุด
BD	ความหนืดลดลง
PV	ความหนืดสูดท้าย
SB	เขตแบบค

## การแยกสตาร์ชข้าวหักด้วยวิธีการใช้คลื่นเสียงความถี่สูง และการแช่เยือกแข็งอุณหภูมิต่ำ

### Starch Isolation from Broken Rice by High-Intensity Ultrasound and Deep Freezing

#### คำนำ

ข้าวหักหรือป้ายข้าวขาวดองมะลิ 105 เป็นผลผลอยได้จากการขัดสีข้าว มีราคาถูกเนื่องจากไม่นิยมน้ำมันหุงบริโภค และไม่สามารถนำไปเป็นวัตถุคุณในการผลิตอาหารเด็น เพราะมีปริมาณแอมิโน酇ต่ำ ดังนั้นการนำข้าวหักขาวดองมะลิ 105 มาใช้ประโยชน์ จะเป็นการเพิ่มมูลค่าในการผลิตข้าว และเป็นการใช้ประโยชน์จากผลผลอยได้อีกด้วย

ในปัจจุบันสตาร์ชข้าวกำลังเป็นที่ต้องการของตลาดทั่วไปและต่างประเทศ เนื่องจากไม่มีโปรดีนกลูตเคน จึงทำให้ย่อยง่าย สามารถใช้เป็นวัตถุคุณในการอาหารหารากได้ดี นอกจากนี้ยังมีขนาดอนุภาคที่ละเอียดมาก จึงมีการนำไปใช้ในอุตสาหกรรมผลิตเครื่องสำอาง กระดาษ และขนมหวาน เป็นต้น ในกระบวนการผลิตสตาร์ชข้าวซึ่งเป็นการแยกโปรดีนภายในแป้งออกนั้น นิยมใช้ด้วยโซเดียมไฮดรอกไซด์ในการสกัดแยกสตาร์ชจากแป้งข้าว (Wang and Wang, 2004b) เนื่องจากเป็นวิธีที่ง่ายและมีผลได้ (yield) สูง (Han and Hamaker, 2002) แต่กระบวนการดังกล่าวทำให้เกิดน้ำเสียที่มีความเข้มข้นของด่างและเกลือสูง ดังนั้นในโรงงานอุตสาหกรรมสกัดสตาร์ชจึงต้องมีบ่อบำบัดน้ำเสียก่อนปล่อยทิ้งลงสู่แหล่งน้ำตามธรรมชาติ โดยในแต่ละปีโรงงานอุตสาหกรรมเหล่านี้ต้องเสียค่าใช้จ่ายในการบำบัดน้ำเสียที่ได้จากการใช้ด่างในการสกัดสตาร์ชเป็นจำนวนมาก (Hatairat *et al.*, 2005)

Lumdubwong and Seib (2000) ได้นำเสนอโซเดียมโปรดีโอスマประยุกต์ใช้กับการสกัดด้วยด่างในการแยกสตาร์ชจากแป้งข้าว เพื่อลดปริมาณการเกิดน้ำเสียที่มีความเข้มข้นของด่างและเกลือสูงจากการกระบวนการผลิต แต่ยังไร์กีตามวิธีนี้ทำได้แค่ลดปริมาณน้ำเสียลงได้บ้างเท่านั้น Wang and Wang (2001) ได้ทดลองนำโซเดียมโปรดีโอスマใช้ในการสกัดสตาร์ชจากแป้งข้าว พนว่าสามารถสกัดได้ที่อุณหภูมิห้อง แต่ต้องใช้เวลานานถึง 18 ชั่วโมงในการเกิดปฏิกิริยา เพื่อให้ได้ผลได้สูง และมีปริมาณโปรดีนเหลืออยู่น้อย ในปัจจุบันได้มีการเริ่มน้ำคลื่นเสียงความถี่สูง (high-intensity ultrasound, HIU) หรือในบางครั้งเรียกว่า อัลตราโซนิก (ultrasonic) มาประยุกต์ใช้ในอุตสาหกรรมอาหาร เช่น การทำอิมัลชัน การสกัด การกำจัดแก๊สออก (degassing) การกรอง และการทำแห้ง

(Mason, 1990; Leadley and Williams, 2002) HIU จะส่งผ่านพลังงานไปยังตัวกลางที่เป็นของเหลว (Wang and Wang, 2004a) ทำให้เกิดฟองเล็กๆ จำนวนมากและทำให้บริเวณรอบๆ น้ำแข็งอุณหภูมิ และความดันสูงขึ้น ส่งผลให้เซลล์เมมเบรนแตกและผนังเซลล์นิ่กขาด (Scherba *et al.*, 1991) เมื่อฟองเหล่านี้เกิดการแตกสลาย (Wang and Wang, 2004b) นอกจากนี้ยังมีการนำ HIU มาช่วยเพิ่มการละลายน้ำ (solubilize) ของสารซักรักษาไว้ได้โดยใช้สารซักรักษาขาวโพดและขาวฟางเป็นตัวอย่าง (Jackson *et al.*, 1988, 1989) สำหรับการนำ HIU มาใช้ในการสกัดแยกสารจากแป้งขาว ยังมีการศึกษาไม่นานนัก

นอกจากนี้ในปี ค.ศ. 2003 Szymonska *et al.* (2003a) ได้ศึกษาพบว่าการแช่เยือกแข็งอุณหภูมิต่ำ และทำละลาย (deep freezing-thawing, deep freezing, DF) ยังทำให้เกิดการเปลี่ยนแปลงลักษณะของพิวากยนออกและโครงสร้างภายในของเม็ดแป้งซึ่งมีผลต่อคุณสมบัติในการละลายและการขูมนำของแป้งเล็กน้อย การเปลี่ยนแปลงลักษณะโครงสร้างภายในของเม็ดแป้งอาจทำให้ไปติดที่ภาวะอยู่บริเวณผิวกระเทาะ หรือหลุดออกໄไปได้

ดังนั้นงานวิจัยนี้จึงศึกษาวิธีการสกัดสารซักรักษาขาวด้วยวิธีทางกายภาพ โดยใช้ HIU และการ DF ในการสกัดเพื่อลดปัญหาน้ำเสีย และระยะเวลาที่ใช้ในการสกัด

## ວັດຖຸປະສົງຄໍ

1. ຕຶກຂາວິທີແລະສភາວະທີເໝາະສນໃນກາຮສກັດສຕາຮ້າວ້າ ດ້ວຍວິທີທາງກາຍກາພ ຄື່ອ ກາຮໃຊ້  
ຄລື່ນເລີຍງຄວາມຄື່ສູງ ແລະກາຮແຜ່ເຢືອກແບ່ງອຸນຫກົມຕໍ່າ
2. ເພື່ອເປົ້າຍບເທິນຂໍອໄດ້ເປົ້າຍບແລະສມບັດຂອງສຕາຮ້າ ຮະຫວ່າງສຕາຮ້າວ້າທີ່ສກັດດ້ວຍວິທີ  
ທາງກາຍກາພທີ່ເໝາະສນ ແລະກັດເລືອກແລ້ວຈາກຂໍອ 1 ກັບວິທີກາຮສກັດດ້ວຍສາຮລະລາຍດ່າງ

## การตรวจเอกสาร

### ข่าวหัก

ข่าวหักคือ ส่วนของข่าวที่หักซึ่งคัดแยกได้จากเครื่องคัดขนาดมีขนาดของส่วนข่าว 2.5-4.9 ส่วนจาก 10 ส่วน ตามมาตรฐานข่าวไทย และปลายข่าว คือส่วนของข่าวที่เล็กกว่า 2.5 ส่วน ผลพอลอยได้ทั้ง 2 นี้นิยมนำไปเป็นวัตถุดินในการแปรรูปด้วยการบดให้เป็นแป้งข้าว หรือนำมาใช้ในการผลิตสตาร์ชข้าวโดยนำมาผ่านกระบวนการสกัดสตาร์ช เพื่อแยกองค์ประกอบอื่นของข้าวที่ไม่ต้องการออกไป เช่น โปรตีน และไขมัน เป็นต้น (อรอนงค์, 2547) แต่เนื่องจากโปรตีนข้าวที่อยู่ในชั้น外โอดสเปอร์ม จะเก็บพันกันอย่างแน่นหนาบนผิวของเม็ดสตาร์ช (Lim *et al.*, 1999) จึงทำให้สตาร์ชข้าวแยกออกจากไได้ยากกว่ารัฐชาติชนิดอื่น (Han *et al.*, 2002) โดยจะมีโปรตีนในข้าว 4 ชนิด ด้วยกันคือ โปรตีนที่ละลายได้ในด่าง กลูเทลิน (glutelin) มีประมาณ 80 เปอร์เซ็นต์ โปรตีนที่ละลายได้ในน้ำ แอลบูมิน (albumin) มีประมาณ 9-11 เปอร์เซ็นต์ โปรตีนที่ละลายได้ในแอลกอฮอล์ โพรามิน (prolamin) มีประมาณ 7-15 เปอร์เซ็นต์ และโปรตีนที่ละลายได้ในแอลบูมิน (globulin) มีประมาณ 2-4 เปอร์เซ็นต์ (Juliano, 1985a) ซึ่งแอลบูมิน และ โกลบูลิน ที่มีขนาดใหญ่และมีขนาดหลากหลาย จะอยู่ในชั้น外โอดสเปอร์ม และมีลักษณะรวมตัวกันเป็นกลุ่มโปรตีนบอดี้ (protein bodies) ซึ่งโปรตีนบอดี้ จะขึ้นเหนือข้าวทับเม็ดสตาร์ชด้วยพันธะ ไคล็อกฟิลด์ และ/หรือ พันธะ ไฮโดรโฟบิก (Lim *et al.*, 1999)

ในการแยกสตาร์ชลิ่งที่ต้องการคือ เม็ดสตาร์ชที่มีความบริสุทธิ์และสมบูรณ์มากที่สุด มีปริมาณการสกัดมากที่สุด และเกิดการเปลี่ยนแปลงสมบัติต่างๆ และลักษณะของเม็ดสตาร์ชให้น้อยที่สุด หลักการแยกสตาร์ชให้บริสุทธิ์คือ การแยกเม็ดสตาร์ชออกจากโปรตีน ลิพิด และส่วนประกอบอื่นจาก外โอดสเปอร์ม ซึ่งเม็ดสตาร์ชที่สมบูรณ์เป็นเม็ดสตาร์ชที่มีปริมาณความเสียหายน้อยที่สุด ไม่เกินประมาณ 8-12 เปอร์เซ็นต์ ในสตาร์ชข้าวควรมีปริมาณสตาร์ชที่เสียหายไม่เกิน 8.20 เปอร์เซ็นต์ (Guraya and James, 2002) และมีความบริสุทธิ์ของสตาร์ชที่สกัดได้ในระดับอุตสาหกรรม และในห้องปฏิบัติการ ประมาณ 98-99 เปอร์เซ็นต์ ของสตาร์ชทั้งหมดโดยมีปริมาณโปรตีนน้อยกว่า 1 เปอร์เซ็นต์ ลิพิด 0.3-0.5 เปอร์เซ็นต์ เก้า 0.1-0.5 เปอร์เซ็นต์ (Wang and Wang, 2001)

ความสัมพันธ์ระหว่างโปรตีนกับสตาร์ชยังไม่มีข้อมูลที่แน่นอนว่าเป็นรูปแบบใด ซึ่ง Juliano (1985) เสนอว่า กลูเทลิน ของสตาร์ชข้าว (oryzenins) มีอันตรกิริยา (interaction) กับสตาร์ช โดยมีการจับแบบผันกลับได้ (reversible) ระหว่าง ออมิโลส และแอมิโลเพกติน หรือมีความเป็นไปได้ว่าส่วนที่ชอบน้ำของกลูเทลิน จะจับกับบริเวณที่ไม่ชอบน้ำ ของโมเลกุลสตาร์ชทำให้เปลี่ยนไป ละลายน้ำในสภาวะที่เป็นกลาง แรงเชื่อมระหว่าง โปรตีน และสตาร์ช จะลดลงเมื่ออุณหภูมิเพิ่มขึ้น ทำให้สตาร์ชของข้าวแยกสัดส่วนมากกว่าพืชชนิดอื่น เนื่องจากเม็ดสตาร์ชมีขนาดเล็ก และเม็ดสตาร์ชเหล่านี้นยดเกาะกับกลูเทลิน

### องค์ประกอบของข้าว

องค์ประกอบทางเคมีของเมล็ดข้าวมีความแตกต่างกันหลากหลายขึ้นอยู่กับสภาพแวดล้อม คินและสายพันธุ์ นอกจากรูปแบบที่ใช้ในการวิเคราะห์หาปริมาณสตาร์ช ลิพิด และ โปรตีนที่มีมากน้อย ทำให้การนำค่าต่างๆ มาเปรียบเทียบกันเกิดความแตกต่างได้ (Zhou *et al.*, 2002) โดยปกติข้าวกล้องจะ มีปริมาณ โปรตีนต่ำที่สุดเมื่อเปรียบเทียบกับเมล็ดพืชชนิดอื่น และมีปริมาณเส้นใยหางานกับลิพิดต่ำ ด้วย (ตารางที่ 1)

ตารางที่ 1 องค์ประกอบภายในเมล็ดขัญชาติชนิดต่างๆ ทั้งเมล็ด (หน่วย : เปอร์เซ็นต์)

องค์ประกอบ	ข้าว กล้อง	ข้าวสาลี	ข้าว โพด	ข้าว บาร์เลย์	ลูกเดือย	ข้าวฟ่าง	ข้าวไรย์	ข้าวโอ๊ต
โปรตีน	7.3	10.6	9.8	11.0	11.5	8.3	8.7	9.3
ไขมัน	2.2	1.9	4.9	3.4	4.7	3.9	1.5	5.9
คาร์โบไฮเดรต	64.3	69.7	63.6	55.8	63.4	58.0	71.8	62.9
เส้นใยหางาน	0.8	1.0	2.0	3.7	1.5	4.1	2.2	5.6
ถ้า	1.4	1.4	1.4	1.9	1.5	2.6	1.8	2.3

ที่มา: ดัดแปลงจาก Juliano (1985a)

เมล็ดข้าวก่อนสีประกอบด้วยส่วนที่เป็นแกลบ (hull หรือ husk) มีปริมาณ 16-28 เปอร์เซ็นต์ โดยน้ำหนักแห้ง และส่วนเนื้อผล (caryopsis grand) (Juliano, 1985a) เมื่อทำการขัดสี แกลบออกไปทำให้ได้ส่วนที่เป็นข้าวกล้อง ซึ่งมีองค์ประกอบโดยน้ำหนักของส่วนต่างๆ ดังนี้คือ

เยื่อหุ้มผล (pericarp) ประมาณ 1-2 เปอร์เซ็นต์ เยื่อชั้นแอลิวโรอน (aleurone) รวมทั้งเยื่อหุ้มเมล็ด (seed coat) และนิวเคลียส (nucellus) ประมาณ 4-6 เปอร์เซ็นต์ คัพกะ (embryo) ประมาณ 2-3 เปอร์เซ็นต์ และสาระชีวนอกโอดสเปอร์ม (starchy endosperm) ประมาณ 89-94 เปอร์เซ็นต์ (Hinton and Shaw, 1954) ใน การขัดศีเพื่อกำจัดส่วนเยื่อหุ้มผล เยื่อหุ้มเมล็ด เยื่อชั้นแอลิวโรอน และคัพกะ เพื่อให้ได้ข้าวขัดขาวนั้น มีผลทำให้เกิดการสูญเสียของลิพิด โปรตีน เส้นใยหางาน นำตาลรีดิวช์ นำตาลทึบหมุด เล้า รวมทั้งองค์ประกอบของอื่นๆ พากวิตามิน กรดแอมิโนอิสระและกรดไขมัน อิสระ (Park *et al.*, 2001) ข้าวสารหรือข้าวขัดขาวนี้มีสาระเป็นองค์ประกอบหลักอยู่ประมาณ 90 เปอร์เซ็นต์ ของนำาหนักแห้ง ส่วน โปรตีน และลิพิดมีปริมาณรองลงมาซึ่งนับว่ามีความสำคัญเช่นกัน (Zhou *et al.*, 2002)

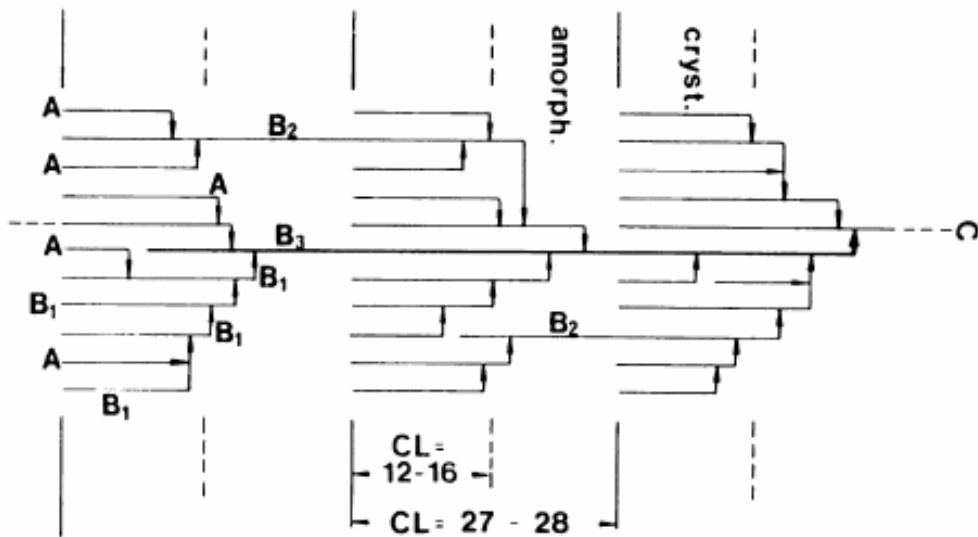
## 1. สาระ (starch)

สาระ เป็นโพลิเมอร์ของกลูโคสประกอบด้วยหน่วยของนำตาลกลูโคส (anhydroglucose unit) เชื่อมต่อกันด้วยพันธะกลูโคสิกิด (glucosidic linkage) ที่คาร์บอนตำแหน่งที่ 1 และ 4 และเป็นคาร์บอไไฮเดรตประเภทพอลิแซ็กคาไรด์ที่พบมากที่สุดในเนื้อเมล็ดของข้าว (ประมาณ 90 เปอร์เซ็นต์) จึงมีผลต่อกุณภาพของข้าวมากที่สุดเช่นกัน (อรอนงค์, 2574) โดยโมเลกุลของสาระ รวมตัวกันเป็นเม็ดสาระ มีขนาด 2-7 ไมครอน ซึ่งนับว่าเล็กที่สุดในกลุ่มน้ำตาลชนิด รูปร่างลักษณะ เป็นหลายเหลี่ยม รวมตัวกันอยู่ในแอมิโลพลาสติกเซลล์ (Vandeputte, 2004) จำนวน 20-60 เม็ด สาระ เป็นกลุ่มก้อนหรือยาวย มีขนาดเส้นผ่านศูนย์กลางของกลุ่มเม็ดสาระในแอมิโลพลาสติก ประมาณ 7-39 ไมครอน (Champagne, 1996) โดยองค์ประกอบหลักที่สำคัญของสาระมี 2 ส่วน คือ แอมิโลส และแอมิโลเพกติน

แอมิโลสเป็นโพลิเมอร์ของนำตาลกลูโคสต่อกันด้วยพันธะแอลฟ่า -1,4 มีลักษณะเป็นเส้นตรง (linear chain) มีโซ่อิงอยู่ประมาณ 3-4 กิ่ง ซึ่งต่อด้วยพันธะ แอลฟ่า -1,6 มีระดับขั้นของpolymerization (DPn) เท่ากับ 1,000-1,100 มีความยาวของสายเฉลี่ย (CL) 250-320 จำนวนสายเฉลี่ย 3.4-4.0 และมีโมเลกุลที่เป็นกิ่งก้าน 31-49 เปอร์เซ็นต์ (Champagne, 1996) สำหรับแอมิโลสของข้าวมีการแบ่งกลุ่มตามปริมาณแอมิโลสได้เป็น 5 กลุ่มคือ ข้าวเหนียว (แอมิโลส 0-2 เปอร์เซ็นต์) ข้าวแอมิโลสต่ำมาก (5-12 เปอร์เซ็นต์) ข้าวแอมิโลสต่ำ (12-20 เปอร์เซ็นต์) ข้าวแอมิโลสปานกลาง (20-25 เปอร์เซ็นต์) และข้าวแอมิโลสสูง (25-33 เปอร์เซ็นต์) (Juliano, 1992) แอมิโลสในข้าวมีทึ้งส่วนที่เป็นแอมิโลสอิสระ (free amylose) และแอมิโลสที่เกิดสารประกอบเชิงซ้อนกับลิพิด (lipid-complex amylose) ซึ่งโครงสร้างแอมิโลส มีลักษณะเป็นกลีบ

และมีหมู่ไออกrocซิลของกลูโคสส่วนที่เหลืออยู่บนผิวค้านนอกของไฮลิกซ์ ทำให้ช่องกลางค้านในของเกลี่ยมลักษณะเป็นส่วนที่ไม่ชอบน้ำ (hydrophobic) ดังนั้นสารพวกที่ไม่ชอบน้ำจึงสามารถขึ้นตัวกับส่วนภายในเกลี่ยวของแอมิโลสด้วยแรงวนเดอร์วัลส์ได้ (Godet *et al.*, 1993) และสารประกอนอินทรีย์อื่นๆ เช่น บัวทานอล กรดไขมัน สารลดแรงตึงผิว ฟินอล และไโซดิคราร์บอน (Immel and Lichtenhaler, 2000) สารประกอนเชิงช้อนเหล่านี้จะไม่ละลายน้ำ โดยแอมิโลสจะพันเป็นเกลี่ยวล้อมรอบสารประกอนอินทรีย์ ไโอโอดีนที่อยู่ในรูปไออกอนของโพลีไโอโอดีด ( $I_3^-$ ) สามารถรวมตัวได้กับหัวแอมิโลสและแอมิโลเพกติน หากเป็นแอมิโลสจะรวมกับไออกอนของโพลีไโอโอดีด ( $I_3^-$ ) ได้เป็นสิ่งเดียว เป็นสารประกอนเชิงช้อนของแอมิโลส ซึ่งไโอโอดีนมีความสามารถในการรวมตัวกับแอมิโลสประมาณ 20 เปลอร์เซ็นต์โดยน้ำหนัก (Zhou *et al.*, 2002) ส่วนสายแบนของแอมิโลสเพกตินซึ่งค่อนข้างสั้น จะรวมตัวกับไออกอนของโพลีไโอโอดีด ( $I_3^-$ ) ทำให้ได้สิ่งแห้ง มีความสามารถในการรวมตัวกับแอมิโลเพกตินข้าวประมาณ 0.4-0.9 เปลอร์เซ็นต์ ในข้าวที่มีแอมิโลสต่ำ (Zhou *et al.*, 2002) และ 2-3 เปลอร์เซ็นต์ ในข้าวที่มีแอมิโลสสูง (Bemiller and Whistler, 1996)

แอมิโลเพกตินเป็นโพลิเมอร์ที่มีกิ่งสาขามากเชื่อมต่อ กันด้วยพันธะแอลfa-1,4 ประมาณ 96 เปอร์เซ็นต์ และพันธะแอลfa-1,6 ประมาณ 4 เปอร์เซ็นต์ แอมิโลเพกตินในสตาร์ชข้าวมีระดับขั้นของพอลิเมอไรเซชัน (DPn) อยู่ในช่วง 4,700-18,500 ความยาวของสายโพลีเท่ากับ 18-21 ความยาวของสายภายนอกเฉลี่ย (ECL) เท่ากับ 12-14 และความยาวของสายภายนอกเฉลี่ย (ICL) เท่ากับ 5-6 (Champagne, 1996) เมื่อเปรียบเทียบสตาร์ชข้าวพันธุ์จากอนิกากับพันธุ์อินดิกา พบร่วมกับ แอมิโลเพกตินของสตาร์ชข้าวพันธุ์อินดิกาทั้งข้าวเหนียว และข้าวเจ้ามีระดับขั้นของพอลิเมอไรเซชันต่ำกว่า โดยพันธุ์อินดิกามี DPn 4,700-5,800 ส่วนพันธุ์จากอนิกามี DPn 8,200-12,800 แต่มีค่าความยาวของสายโพลีสูงกว่าคือพันธุ์อินดิกามี CL 21-22 และพันธุ์จากอนิกามี CL 19-20 (Takeda *et al.*, 1987) รวมทั้งมีค่าความยาวของสายภายนอกและความยาวของสายภายนอกสูงกว่าด้วย ซึ่งพันธุ์อินดิกามี ECL 13.2-15.8 และ ICL 4.8-5.7 ส่วนพันธุ์จากอนิกามี ECL 11.8-12.6 และ ICL 3.2-4.6 (Lu *et al.*, 1997) กิ่งสาขของโมเลกุลแอมิโลเพกตินสามารถแบ่งได้เป็น 3 แบบคือ สาย A (A-chains) เป็นสายที่ไม่มีกิ่งก้านและเกาะกับโมเลกุลอื่นผ่านทางปลายหมู่รีดิวซ์ ส่วนสาย B (B-chains : B1-B3) เป็นสายที่เชื่อมต่อ กับโมเลกุลอื่นด้วยวิธีการเดียวกับสาย A และมีสาย A มาเชื่อมเกาะด้วย 1 จุดหรือมากกว่า และสาย C (C-chain) เป็นสายที่มีหมู่รีดิวซ์ที่ปลายของโมเลกุล (Hizukuri, 1986) ดังแสดงในภาพที่ 1



ภาพที่ 1 โครงสร้างโมเลกุลของแอมิโลเพกติน

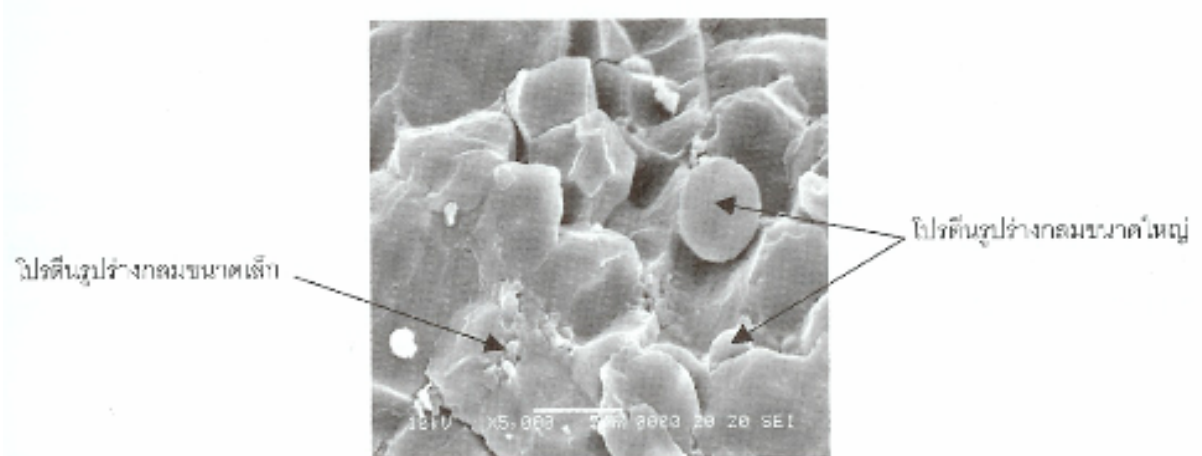
ที่มา: Hizukuri (1986)

แอมิโลเพกตินเป็นองค์ประกอบหลักของสตาร์ช ซึ่งโครงสร้างภายในของแอมิโลเพกตินมีบทบาทสำคัญต่อคุณลักษณะของสตาร์ช เช่น ความขาว皙 ถึงของแอมิโลเพกตินมีความสัมพันธ์กับโครงสร้างส่วนที่เป็นผลึกของสตาร์ช (Hizukuri, 1985) และมีผลต่อการเกิดเจลาตินเชชัน การเกิดริโตรเกรเดชัน รวมถึงสมบัติด้านความขันหนืด (pasting properties) ของสตาร์ช (Kalichevsky *et al.*, 1990; Jane and Chen, 1992)

## 2. โปรตีน (protein)

ในข้าวทั้งเมล็ดที่ผ่านการขัดสีแล้วมีปริมาณโปรตีโนยู่ประมาณ 7-8 เปอร์เซ็นต์ ซึ่งแบ่งได้เป็น 4 กลุ่มคือ โปรตีนที่เป็นองค์ประกอบภายในแป้งข้าว ได้แก่ แอลบูมิน (albumin) ประมาณ 5 เปอร์เซ็นต์ ละลายได้ในน้ำ โกลบูลิน (globulin) ประมาณ 12 เปอร์เซ็นต์ ละลายได้ในสารละลายเกลือ โพรมามิน (prolamin) ประมาณ 3 เปอร์เซ็นต์ ละลายได้ในเอทานอล และ กลูเทลิน (glutelin) ประมาณ 80 เปอร์เซ็นต์ ละลายได้ในด่าง (Juliano, 1985) และบิวมินและโกลบูลินส่วนใหญ่อยู่ในเยื่อชั้นแอลิวอรอน จึงทำให้ถูกกำจัดออกไปในระหว่างการขัดสี ส่วนภายนอกเนื้อเมล็ดข้าวมีโมเลกุลขนาดใหญ่ของกลูเทลินที่มีขนาดหลากหลาย และมีลักษณะรวมตัวกันเป็นโปรตีนบอดี้ (protein bodies) (Cagampang *et al.*, 1966; Mitsuda *et al.*, 1967) ปริมาณโปรตีนภายในแป้งข้าวที่ผ่านการ

สกัดไขมันออกแล้ว ประกอบด้วยแอลบูมิน โกลบูลิน โปรตีน และกลูเทลินในสัดส่วน 8:9:5:70 (Padhye and Salunkhe, 1979) ส่วนชั้นซับแอคิวโรนในเนื้อเม็ดนมกุ่มโปรตีนอยู่ภายใน 3 ลักษณะ คือ ลักษณะกลมใหญ่ (ขนาด 1-2 ไมครอน) กลมเล็ก (ขนาด 0.5-0.75 ไมครอน) และเป็นผลึกติดกัน ขนาด 2-3 ไมครอน แต่ในส่วนเนื้อของเม็ดจะมีกุ่มโปรตีนลักษณะกลมใหญ่เท่านั้น แทรกอยู่ในระหว่างเม็ดสารซึ่งขนาด 3-9 ไมครอน (อรอนงค์, 2547) (ภาพที่ 2) และโปรตีนบอดีจากกล้องจุลทรรศน์อิเล็กตรอนแบบแสงส่องผ่าน (Transmission Electron Microscope, TEM) ในงานวิจัยของ Tanaka *et al.* (1980) พบว่า โปรตีนบอดี PB-I มีลักษณะเป็นทรงกลม ซึ่งโครงสร้างภายในมีการเรียงตัวเป็นชั้น (lamellar) มีขนาดเส้นผ่านศูนย์กลาง 1-2 ไมครอน และเป็นโปรตีนชนิดโปรตีน ส่วนโปรตีนบอดี อีกชนิดหนึ่งคือ PB-II มีขนาดเส้นผ่านศูนย์กลางใหญ่กว่า PB-I โดยเฉลี่ยเกือบ 4 ไมครอน ไม่มีโครงสร้างภายในเรียงเป็นชั้น และเป็นโปรตีนชนิดกลูเทลินและโกลบูลิน



ภาพที่ 2 ลักษณะโปรตีนบอดี (protein body)

ที่มา: อรอนงค์ (2547)

จากการศึกษาผลของการแช่น้ำต่อการโม่ข้าวแบบเปียกของ Chiang and Yeh ในปี 2002 โดยการใช้กล้องจุลทรรศน์แบบส่องกราด (Scanning electron microscope, SEM) ตรวจสอบลักษณะของเม็ดสารที่บริเวณลีกลงมาจากผิวน้ำของเนื้อเม็ดประมาณ 0.1-0.2 มิลลิเมตร พบว่า ก่อนการแช่ข้าวในน้ำ ลักษณะของเม็ดสารเป็นร่างแทะเชื่อมต่อกัน และเซลล์มีการขัดเรียงตัวกันแน่น แต่หลังจากการแช่ข้าวในน้ำที่มีอุณหภูมิ 25 องศาเซลเซียส เป็นเวลา 10 นาที สามารถสังเกตเห็นกุ่มของเม็ดสารที่มีขนาดใหญ่ (3-9 มิลลิเมตร) และเป็นรูปหลายเหลี่ยม รวมทั้งโปรตีนบอดี ทรงกลม แทรกอยู่ระหว่างเม็ดสารชัดวาย (ภาพที่ 2)

### 3. สิพิด (lipid)

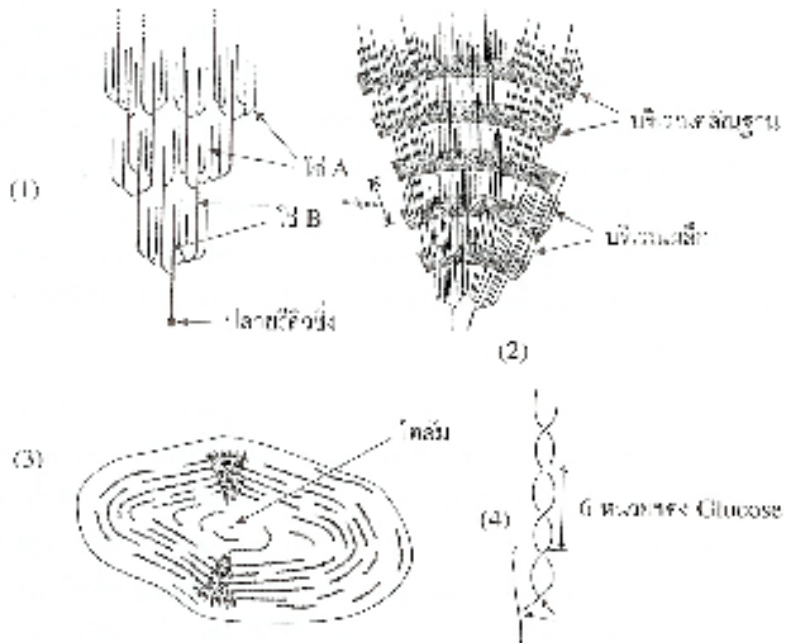
Choudhury and Juliano (1980a) รายงานว่าลิพิดในข้าวส่วนใหญ่จะมีรูปร่างเป็นทรงกลม เด็กๆ (spherosome) หรือหยดเด็กๆ (droplet) ลิพิดอยู่ในชั้นเนื้อเมล็ด (endosperm) เป็นส่วนใหญ่ โดยจะมีปฏิสัมพันธ์ (associate) กับ โปรตีนบอดี้ และเม็ดสาระ ปริมาณลิพิดในข้าวกล้องอยู่ในช่วง 1-4 เปอร์เซ็นต์ ส่วนในข้าวขาวมีอยู่ประมาณ 0.2-2 เปอร์เซ็นต์ (Juliano, 1985) และข้าวเหนียวมีอยู่ประมาณ 0.03 เปอร์เซ็นต์ (Champagne, 1996) ขึ้นอยู่กับสายพันธุ์ และสภาวะของการเพาะปลูก (Juliano, 1985) นอกจากนี้ Choudhury and Juliano (1980a, 1980b) ได้แบ่งลิพิดออกเป็น 3 กลุ่ม ตามโครงสร้างทางเคมี ได้แก่ ไขมันประเภทไม่มีข้าว (neutral lipids; เป็นอสเทอร์ของกรดไขมัน อิสระกับแอลกอฮอล์ หรือเป็นกรดไขมันอิสระ) ไกโคลิพิด (glycolipids) และฟอสฟอลิพิด (phospholipids) แต่การกระจายตัวของลิพิดภายในเมล็ดขั้นชาติไม่สม่ำเสมอ และลิพิดในเนื้อเมล็ด จะมีสัดส่วนของลิพิดที่มีข้าวสูงกว่า (Choudhury and Juliano, 1980b) โดยทั่วไป ลิพิดจะมีปฏิสัมพันธ์ (association) กับ native starch ได้ 2 ทางคือ

3.1 ลิพิดที่เกาะอยู่กับเม็ดสาระ (starch lipid) และอยู่ในส่วนของเนื้อเมล็ด (Choudhury and Juliano, 1980a) ประกอบด้วย ไขมันประเภทไม่มีข้าวประมาณ 28 เปอร์เซ็นต์ ซึ่งจะเป็นกรดไขมันอิสระ (ปาล์มิติก ลิโนเลอิก และ โอลิโนเลอิก) เป็นส่วนใหญ่ มีไกโคลิพิด 18-20 เปอร์เซ็นต์ และ มีฟอสฟอลิพิดสูงกว่าลิพิดที่กระจายอยู่ทั่วไป (nonstarch lipid) โดยทั่วไปสาระที่มีไกโคลิพิดจะเป็นสารประกอบเชิงซ้อนกับแอมิโลส ซึ่งโดยทั่วไปสาระที่มีไกโคลิพิดที่เป็นสารประกอบเชิงซ้อนกับแอมิโลส แต่ในสาระข้าวเหนียวจะมีการปฏิสัมพันธ์ของลิพิดที่ยึดเกาะอยู่กับเม็ดสาระ (starch lipid) ในรูปของกรดไขมันอิสระมากกว่าในสาระข้าวเจ้า (Choudhury and Juliano, 1980a)

3.2 ลิพิดที่กระจายอยู่ทั่วไป (nonstarch lipid) มักพบมากในส่วนของรำข้าว และคัพกะของข้าวกล้อง (Choudhury and Juliano, 1980a) ประกอบด้วย ไขมันประเภทไม่มีข้าว (เป็นไตรกลีเซอไรด์ ประมาณ 73-82 เปอร์เซ็นต์) ฟอสฟอลิพิด 7-10 เปอร์เซ็นต์ และไกโคลิพิด 2-8 เปอร์เซ็นต์ โดยมีกรดไขมันส่วนใหญ่เป็น ลิโนเลอิก โอลิโนเลอิก และปาล์มิติก (Choudhury and Juliano, 1980a)

### โครงสร้างและการรวมตัวเป็นเม็ดสตาร์ช

พืชสมสบ้ำร์ชที่สังเคราะห์ได้ทั้งแอมิโลเพกทินและแอมิโลสเก็บอยู่ในรูปของเม็ดที่มีขนาดเล็กมาก มองด้วยตาเปล่าจะไม่สามารถบอกความแตกต่างได้ ต้องใช้กล้องจุลทรรศน์จึงจะมองเห็นว่าพืชต่างชนิดกันจะมีเม็ดสตาร์ชที่มีรูปร่างและขนาดแตกต่างกันออกไป เช่น สตาร์ชข้าวจะมีเม็ดสตาร์ชที่เล็กที่สุดเมื่อเทียบกับสตาร์ชชนิดอื่นทางการค้า ขนาดเส้นผ่านศูนย์กลางของเม็ดสตาร์ชข้าวประมาณ  $3\text{--}8 \mu\text{m}$  มีรูปร่างหลายเหลี่ยม และมักอยู่รวมเป็นกลุ่ม ส่วนสตาร์ชมันฝรั่งจะมีขนาดเม็ดสตาร์ชที่ใหญ่ที่สุด มีขนาดเส้นผ่านศูนย์กลางประมาณ  $15\text{--}100 \mu\text{m}$  (โดยเฉลี่ยประมาณ  $35 \mu\text{m}$ ) มีรูปร่างทรงไช่กลมสามารถมองเห็นไฮลัม (hilum) ของเม็ดสตาร์ชได้ ไฮลัมคือ จุดกำเนิดของเม็ดสตาร์ช



**ภาพที่ 3** โครงสร้างของแอมิโลเพกทิน (1) รูปแบบคลัสเตอร์ของแอมิโลเพกทิน (2) การจัดของชั้นอสัมฐานสลับกับชั้นผลึกตามแนวรัศมีเม็ดสตาร์ช (3) ภาพตัดขวางของเม็ดสตาร์ชแสดงการจัดไม้เลกุลแอมิโลเพกทิน (4) การเกิดเกลียวคู่ของสายโซ่ไอกลีโคเจน

ที่มา: Oates (1997)

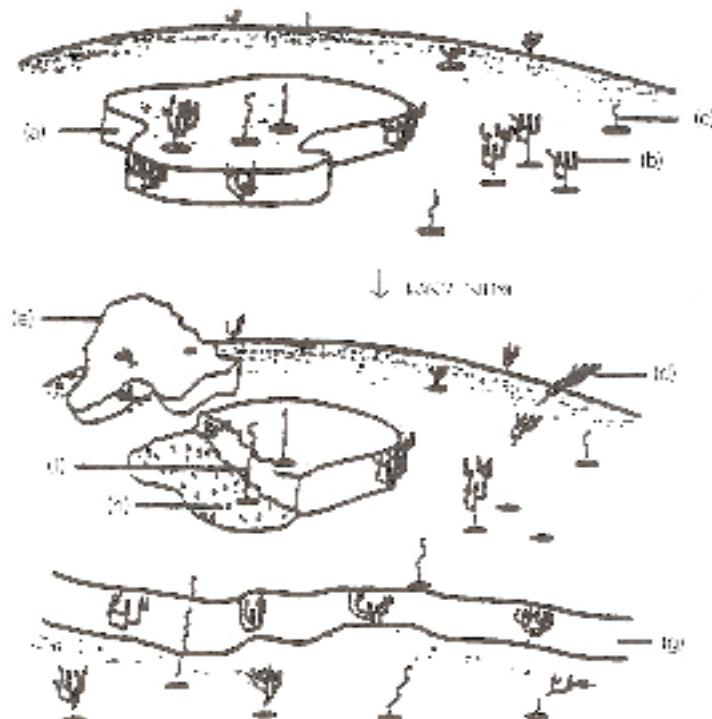
ภายในเม็ดสตาร์ชทั้งแอมิโลสและแอมิโลเพกทินจะถูกสร้างออกไปตามแนวรัศมีของเม็ดสตาร์ชจากจุดไฮลัมไปสู่ขอบเม็ดสตาร์ช ภายในจะประกอบด้วยบริเวณชั้นผลึก (crystalline) ลักษณะเดียวกับชั้นอสัมฐาน (amorphous) เป็นชั้นลักษณะเดียวกันไป (ภาพที่ 3) บริเวณอสัมฐานที่ประกอบด้วยโมเลกุลของแอมิโลสที่อยู่อย่างอิสระและส่วนที่เป็นจุดเชื่อมกันของโมเลกุลแอมิโลเพกทิน (แอมิโลเพกทินที่มีพันธะ แอลฟ่า-1,6) อยู่เป็นจำนวนมาก ส่วนบริเวณผลึกจะประกอบด้วยสายโมเลกุลสตาร์ชที่สามารถเกิดอันตรายร้ายระหว่างกันได้ โดยเกิดเป็นเกลียวคู่ซึ่งภายในโครงสร้าง (Appelqvist and Debet, 1997) สายกันของแอมิโลเพกทินจะบานานกันไปตามลักษณะโครงสร้างคลัสเตอร์โดยมีแอมิโลสแทรกอยู่ในแอมิโลเพกทิน (วรรณा, 2549)

การจัดตัวอย่างเป็นระเบียบของโมเลกุลแอมิโลเพกทินออกไปตามแนวรัศมีภายในเม็ดสตาร์ชที่มีทั้งส่วนผลึกและอสัมฐานลักษณะเดียวกันไป เช่นนี้ จึงทำให้สามารถมองเห็นโครงสร้างที่เป็นระเบียบ และความสามารถในการบิดรูปแบบแสงโพลาไรซ์ (birefringence) ของเม็ดสตาร์ชได้ เมื่อส่องด้วยกล้องจุลทรรศน์ แล้วจะสังเคราะห์ตัวอย่างสตาร์ชระหว่างแผ่นโพลารอยด์ (polaroid) สองแผ่น โดยแผ่นหนึ่งทำหน้าที่เป็นโพลาไรเซอร์ (polarizer) และอีกแผ่นทำหน้าที่เป็นแอนาไลเซอร์ (analyzer) การหักเหของสองแนวที่มองเห็นจะปรากฏเป็นกาบทาไขว้สีดำ (maltese cross) ตัดกันที่จุดไฮลัมของเม็ดสตาร์ชแสดงให้เห็นถึงการมีระดับการจัดเรียงโมเลกุลสตาร์ชภายในอย่างเป็นระเบียบสูง (วรรณा, 2549)

เม็ดสตาร์ชที่มีสมบัติที่เป็นแบบกึ่งผลึกหรือเป็นผลึกบางส่วน ที่พบอยู่ในรูปเม็ดสตาร์ชขนาดเล็กโดยโมเลกุลของแอมิโลส และแอมิโลเพกทิน จะจัดเรียงตัวในเม็ดสตาร์ชเป็นโครงสร้างทั้งส่วนที่เป็นผลึก (crystallite) และส่วนอสัมฐาน (amorphous หรือ gel phase) แตกต่างกันออกไปตามชนิดของเม็ดสตาร์ช และแสดงรูปแบบโครงสร้างผลึกที่แตกต่างกัน 3 แบบ ขึ้นอยู่กับความหนาแน่นในการจัดเรียงตัว ของเกลียวคู่ ถ้าเกิดการจัดเรียงตัวหนาแน่นมากจะเกิดเป็นผลึกแบบ A (รั้งชาติต่างๆ) ถ้าจัดเรียงตัวกันหลวมๆ จะเกิดผลึกแบบ B (แบ่งจากพืชหัว) ถ้าเกิดการเรียงตัวแบบ A และ B รวมกันจัดเป็นผลึกแบบ C (แบ่งจากพืชตระกูลถั่ว) โครงสร้างผลึกที่ต่างกันจะให้ลักษณะการกระจายตัวของแสงต่างกัน ซึ่งสามารถตรวจสอบชนิดโครงสร้างของเม็ดเปลี่ยนได้ด้วยเครื่องเอกซ์เรย์ดิฟเฟรนต์ไซมิเตอร์ (x-ray diffractometer) (กล้านรงค์ และ เกื้อญุต, 2546)

แบ่งที่มีโครงสร้างผลึกแบบ A จะพีกที่ 17 และ  $17.9^{\circ}2\theta$  แต่ไม่มีพีกที่  $5.6^{\circ}2\theta$  แบ่งจากรั้งชาติ เช่น ข้าว ข้าวโพด จะมีลักษณะผลึกแบบ A แบ่งที่มีโครงสร้างผลึกแบบ B จะให้พีกที่ 5.6 และ  $17^{\circ}2\theta$  แต่ไม่มีพีกที่  $17.9^{\circ}2\theta$  ซึ่งได้แก่พืชจากพากหัว เช่น มันฝรั่ง เป็นต้น แบ่งที่มีโครงสร้าง

ผลึกแบบ C จะให้ลักษณะรวมกันระหว่างผลึกแบบ A และ B กด้าวคือ จะมีพีคที่  $5.6^{\circ}$  และ  $17.9^{\circ}$  ตัวอย่างเช่น แบ่งจากพืชตระกูลถั่ว แบ่งบางชนิดอาจให้ลักษณะของผลึกได้มากกว่า 1 ชนิด เช่น แบ่งจากมันสำปะหลัง ซึ่งสามารถตรวจสอบลักษณะของผลึกทั้งแบบ A และ C (Rickard *et al.*, 1991)



- a) การสร้างพื้นผิวน้ำใหม่
- b) กลุ่มแอมิโลเพกทินที่ยื่นออกมานอก
- c) ส่วนปลายของสายแอมิโลส
- d) ส่วนของแอมิโลเพกทินที่หลุดออกเนื่องจากการทำลายอย่างอ่อน
- e) ส่วนของพื้นผิวที่หลุด เนื่องจากการทำลายอย่างอ่อน
- f) ส่วนปลายของแอมิโลสที่ยื่นออกมานอกจากพื้นผิวส่วนล่าง
- g) ส่วนของสันฐานที่เปิดออก
- h) พื้นผิวของเม็ดแบ่งที่เกิดจากการทำลายอย่างรุนแรง

#### ภาพที่ 4 แบบจำลองพื้นผิวของเม็ดแบ่ง

ที่มา: Stark and Lynn (1992)

โครงสร้างของเม็ดแป้งที่พื้นผิวไม่เรียบ มีบางส่วนของสายที่ยื่นออกไป ดังภาพที่ 4 (Lineback, 1986) พื้นผิวของเม็ดแป้งมีส่วนปลายแฉะและแฉมโลเพกทินที่ยื่นออกไปเป็นจุดเริ่มต้นของชั้นที่จะเจริญต่อไป จากการศึกษาโครงสร้างของเม็ดแป้งพบว่า รูบปริเวณพื้นผิวของเม็ดแป้งที่สามารถให้น้ำและโมเลกุลเล็กๆ ผ่านได้ เป็นส่วนอสัมฐาน (gel phase) ที่แทรกเข้าไปในเม็ดแป้งอยู่ระหว่างช่องของส่วนผลึกที่ขนาดใหญ่เกิน 100 ดาลตันสามารถผ่านได้ และพบช่องเปิดบนพื้นผิวเม็ดแป้งมีขนาดเส้นผ่านศูนย์กลาง 0.1-0.3 ไมครอน มีช่องภายในขนาด 0.07-0.1 ไมครอน (Oates, 1997)

### สาร์ชที่เสียหาย (damaged starch)

ในระหว่างการบดข้าวสาลี มีบางส่วนของเม็ดสาร์ชที่ได้รับความเสียหายที่เกิดจากการเสียดสี เม็ดสาร์ชที่เสียหายจะคุดซึมน้ำอย่างรวดเร็วประมาณ 2 ถึง 4 เท่า และจะถูกย่อยด้วยเอนไซม์ สาร์ชที่เสียหายจะมีการคุดซึมน้ำที่เหมาะสมและช่วยในการหักกระหว่างกระบวนการทำงานปั่น อย่างไรก็ตามถ้าเกิดสาร์ชที่เสียหายมากเกินไปจะทำให้โคคุดน้ำมากเกินไปมีผลไปเร่งการเกิดปฏิกิริยาสีน้ำตาล ทำให้โดเนีย เกิดปัญหาเนื้อขนมปังบาง และอาจเกิดรักษาของขนมปัง (Medcalf and Gilles, 1965) จึงได้มีการตรวจปริมาณสาร์ชที่เสียหายเป็นประจำในโรงงานอุตสาหกรรมผลิตขนมปัง โครงสร้างกึ่งผลึก (semi-crystalline) ของเม็ดสาร์ชสามารถที่จะเกิดความเสียหายจากการเสียดสี ซึ่งโดยทั่วไปจะมีเปอร์เซ็นต์ของสาร์ชที่เสียหายในระหว่างการไม่ประมาณ 5-12 เปอร์เซ็นต์ ซึ่งลักษณะของสาร์ชที่เสียหายจะมี 2 ลักษณะคือ เป็นความเสียหายที่เกิดจากการแตกออกเป็นชิ้นเล็ก ชิ้นน้อยที่บริเวณพื้นผิวของเม็ดสาร์ช (crack) และเป็นความเสียหายที่เกิดจากการแตกออกเป็นสองชิ้นแยกออกจากกัน (break) (Sandstedt and Schroeder, 1960) ซึ่งสาร์ชทางการค้าควรมีความเสียหายไม่เกิน 8.20 เปอร์เซ็นต์ (Guraya, 2002)

อย่างไรก็ตามยังมีการศึกษาถึงวิธีการตรวจวัดปริมาณสาร์ชที่เสียหายทั้งวิธีที่ใช้และไม่ใช้เอนไซม์ แต่โดยทั่วไปแล้วจะใช้เอนไซม์ในการตรวจสอบความเสียหายของสาร์ช วิธีการตรวจที่นิยมกันมากในปัจจุบันคือ วิธี 76-30A ของ American Association of Cereal Chemists (AACC, 2000) แต่วิธีนี้ใช้เวลามากกว่า 1 ชั่วโมงในแต่ละครั้งของการทดลอง นอกจากนี้ยังมีวิธีการ iodine-absorption และวิธีการใช้ความจำเพาะของเอนไซม์  $\alpha$ -amylase ซึ่งเอนไซม์เหล่านี้จะมีความจำเพาะต่อสับสเตรต ไม่สามารถย่อย native starch ได้ และใช้เวลาไม่นานในการตรวจสอบ จึงเป็นวิธีที่นิยมกันแพร่หลายในปัจจุบัน

ในกรณีที่เม็ดสตาร์ชธรรมชาติไม่สมบูรณ์ เช่น เกิดการเสียหายจากการสี (milling) แป้งหรือสตาร์ชด้วยแรงกล เช่นการทำน้ำอลล์มิลลิง (ball milling) ก็จะส่งผลต่อค่าอุณหภูมิเจลาทีไนเซชัน และสมบัติเพสติงของสตาร์ช ซึ่งสามารถติดตามด้วยเครื่องบรรเทนเดอร์ พบว่า แรงกลจากการสีจะมีผลทำลายพันธะภายในเม็ดสตาร์ช ให้แตกออกบ้าง สตาร์ชมันฝรั่งมีความเสียหายมากกว่าเม็ดสตาร์ชมันสำปะหลัง ทั้งนี้เนื่องจากขนาดของเม็ดสตาร์ชที่แตกต่างกัน เม็ดสตาร์ชมันฝรั่งมีขนาดในช่วง 15-100 ไมโครเมตร (ค่าเฉลี่ย 35 ไมโครเมตร) ส่วนเม็ดสตาร์ชมันสำปะหลังมีขนาดในช่วง 4-35 ไมโครเมตร (ค่าเฉลี่ย 20 ไมโครเมตร) (Ellis *et al.*, 1998) ดังนั้น การที่มีเม็ดสตาร์ชที่มีพื้นผิวมากกว่าจะได้รับแรงกระแทก (impact force) สูงกว่า (Morrison *et al.*, 1994) เมื่อเวลาการสีนานขึ้น อุณหภูมิเจลาทีไนเซชันเริ่มต้น ( $T_g$ ) จึงลดลง และลดลงแตกต่างกันระหว่างสตาร์ชทั้งสอง (วรรณา, 2549)

### ลักษณะโครงสร้างของเม็ดสตาร์ชที่ถูกทำลายด้วยวิธีต่างๆ

#### 1. การลดขนาดของเม็ดสตาร์ชด้วยแรงกล

ขนาดของเม็ดแป้งมีผลต่อคุณสมบัติหลายอย่างของเม็ดแป้ง เช่นการพองตัว การละลายเป็นตื้น การที่เม็ดแป้งถูกทำให้แตกหรือทำให้มีขนาดเล็กลง โดยกระบวนการใช้แรงกล (mechanical process) ที่สามารถบดปัจจัยที่สำคัญ เช่น อุณหภูมิได้ จะทำให้เม็ดแป้งมีขนาดเล็กลง และมีคุณสมบัติแตกต่างไปจากเดิม โดยเฉพาะหมู่ไฮดรอกซิล (OH-group) ที่สามารถทำปฏิกิริยาจะมีมากขึ้น ในการเตรียมเม็ดแป้งขนาดเล็กปกติทำได้โดยการไม่ด้วยลูกบอล (ball mill) ที่ใช้เม็ดแก้ว (glass bead) ขนาดเล็ก (0.1 มม.) บดโดยใช้สารตัวกลาง เช่น แอลกอฮอล์ต่างๆ หรือในน้ำบริสุทธิ์ (Jane *et al.*, 1992) สำหรับแป้งมันสำปะหลังสามารถลดขนาดลงจาก 18-25 ไมครอน เหลือ 3-5 ไมครอน โดยการไม่ด้วยลูกบอล (ควบคุมอุณหภูมิ) เวลา 20 นาที ความเร็วรอบ 2200 รอบต่อนาที และขนาดของเม็ดแก้วเท่ากับ 0.4 มิลลิเมตร (Piyachomkwan *et al.*, 1998) การใช้ประโยชน์ของเม็ดแป้งขนาดเล็กในอุตสาหกรรมอาหาร ได้แก่ การนำไปใช้แทนส่วนของไขมันในอาหารจำพวกไอกรีม น้ำสัดด เป็นต้น (กล้ามวงศ์ และ เกื้อฤล, 2546)

Guraya *et al.* (2002) ได้ทำการศึกษา สตาร์ชขาวที่ผ่านการไฮโนมิไนเซชันด้วยความดันสูง (high-pressure homogenization) ที่ความดันประมาณ 14,503.78 ปอนด์ต่อตารางนิ้ว พบว่าความดันสูง มีผลทำให้ขนาดของเม็ดสตาร์ชเล็กลง ขนาดของเม็ดสตาร์ช ที่มีส่วนสำคัญต่อความหนืดกล่างคือขนาดเม็ดสตาร์ชที่ใหญ่ ย่อมมีกำลังการพองตัวสูง และให้ค่าความหนืดสูงสุดสูงกว่า เม็ด

สตาร์ชที่มีขนาดเล็ก (กล้ามรังค์ และ เกือกุล, 2546) เมื่อเม็ดแป้งข้าวที่ผ่านการโซโนจีนเซชันในครั้งที่ 2 พบว่าเม็ดสตาร์ชมีขนาดเล็กลงกว่าในครั้งแรก แต่ยังคงเป็นเม็ดสตาร์ชที่สมบูรณ์เพียงแต่มีขนาดเล็กลง และนอกจากนี้ยังพบว่าความบริสุทธิ์ของสตาร์ชเพิ่มขึ้น เมื่อเม็ดสตาร์ชมีขนาดเล็กลง ทั้งนี้อาจเป็นเพราะ โปรดินที่อยู่บริเวณผิวของเม็ดสตาร์ชหลุดออกไปด้วย ซึ่งได้สรุปไว้ว่าเม็ดสตาร์ชซึ่งมีขนาดเล็กความบริสุทธิ์ของสตาร์ชก็จะสูงตามไปด้วย นอกจากนี้ยังได้ศึกษาความสัมพันธ์ระหว่างปริมาณสตาร์ชที่เสียหายกับคุณสมบัติด้านความหนืด พบว่าปริมาณสตาร์ชที่เสียหายจะมีผลต่อค่าความหนืดลดลง ค่าความหนืดสุดท้าย และอุณหภูมิที่เริ่มเกิดความหนืด อย่างมีนัยสำคัญ

## 2. การย่อยด้วยกรด

ลักษณะ โครงสร้างอนุภาคของเม็ดสตาร์ชที่ผ่านการย่อยด้วยกรดมีพื้นผิวเปื่อยยุบ เป็นหลุมตื้นคล้ายผิวเม็ดถูกปัดออก เมื่อทำการย่อยด้วยกรดเป็นระยะเวลานานจะเห็นชัดขึ้น (Robin *et al.*, 1974; Colonna *et al.*, 1987; Oates, 1997; Singh and Ali, 2000; Wang *et al.*, 2003) สอดคล้องกับงานวิจัยของ Atichkudomchi *et al.* (2000) ซึ่งศึกษา โครงสร้างอนุภาคของเม็ดสตาร์ชมันสำปะหลัง เมื่อย่อยสตาร์ชด้วยกรด ไฮโดรคลอริก พบว่าทำให้ลักษณะ โครงสร้างอนุภาคของเม็ดสตาร์ชเกิดลักษณะผุกร่อนภายนอก (exo-corrosion) ขึ้นทั่วทั้งเม็ด เหลือผิวใหม่ที่เรียบเนียนของชั้นที่อยู่ลึกลงไปภายในเม็ดแป้ง และเมื่อทำการย่อยเป็นเวลานานขึ้น (768 ชั่วโมง) ผิวที่ผุกร่อนจะหลุดออกไปทั้งชั้น

## 3. การย่อยด้วยเอนไซม์

ลักษณะ โครงสร้างของเม็ดสตาร์ชข้าวโพด ข้าวสาลี ข้าว และมันฝรั่งที่ผ่านการย่อยด้วยเอนไซม์กลูโคแอมิเลสажมีรู เมื่อทำการย่อยนานขึ้นรูจะมีขนาดใหญ่ขึ้น (Aggarwal and Dollimore 1998) ซึ่งแบ่งลักษณะการย่อยออกเป็น 2 แบบ คือแบบที่มีการผุกร่อนภายนอก (exo-corrosion) การย่อยทำให้เกิดลักษณะผุกร่อนที่บริเวณพื้นผิวเม็ดสตาร์ช และแบบที่มีการผุกร่อนภายใน (endo-corrosion) การย่อยจะทำให้เกิดลักษณะช่องลึกลงไปในเม็ดสตาร์ชทั้งนี้เนื่องจากเอนไซม์กลูโคแอมิเลสเป็นเอนไซม์ที่ย่อยไม่เลกูลของสตาร์ชาจากปลาย non-reducing (Fujii *et al.*, 1988; Franco and Ciacco, 1992) นอกจากนี้พบว่าเม็ดสตาร์ชที่มีขนาดเล็ก อย่างเช่นเม็ดสตาร์ชของข้าว จะทำปฏิกิริยา กับเอนไซม์ได้เร็วกว่าเม็ดสตาร์ชที่มีขนาดใหญ่ เช่นเม็ดสตาร์ชของมันฝรั่ง เนื่องจากมีพื้นที่ผิวมากกว่า ส่วนลักษณะรูปร่างของเม็ดสตาร์ชข้าวสาลีที่ผ่านการย่อยด้วยเอนไซม์แอลฟ่าแอมิโลสเป็น

หลุมดิน (Colona *et al.*, 1987; Franco *et al.*, 1988, Jiang and Liu, 2000) ทั้งนี้เนื่องจากเอนไซน์ชนิดนี้ย่อยทำให้เกิดลักษณะหลุมบริเวณผิวเม็ดสตาร์ช

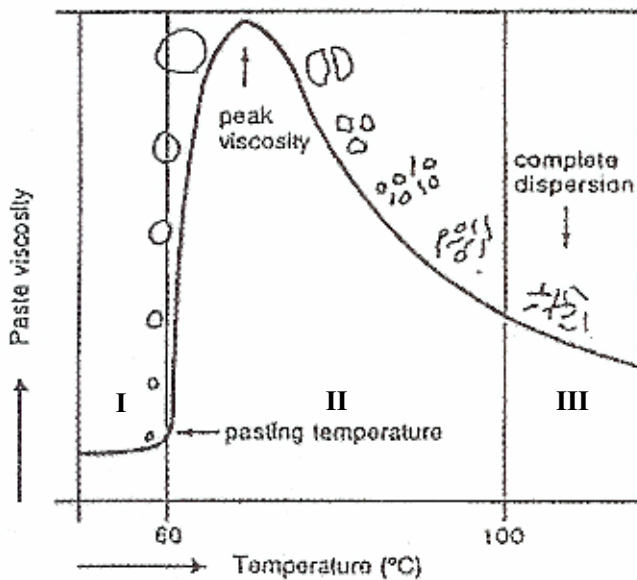
#### 4. การหมัก

ขนาดเม็ดสตาร์ชมันสำปะหลังที่ผ่านการย่อยด้วยการหมักทางธรรมชาติจะมีขนาดเล็กลง (Moorthy and Mathew, 1998) ทั้งนี้เนื่องจากการสลายตัวของผิวเม็ดสตาร์ชเพิ่มขึ้นระหว่างกระบวนการหมัก เมื่อระยะเวลาการหมักนานขึ้นเม็ดสตาร์ชมีขนาดเล็กลง เนื่องจากผิวชั้นนอกสุดถูกย่อยสลาย (Martinez and Quiroga, 1988) และพบว่าเม็ดสตาร์ชที่ผ่านการหมักจะกลุ่มรวมกันทั้งนี้เนื่องจากเม็ดสตาร์ชที่สูญเสียผิวบริเวณชั้นนอกสุดทำให้มีแรงไฟฟ้าสถิตย์ (Mathew *et al.*, 1995)

#### สมบัติด้านความหนืดของแป้งและสตาร์ช (pasting properties)

การเปลี่ยนแปลงความหนืดของแป้ง เกิดจากการเกิดปฏิกิริยา กับน้ำ ซึ่งสามารถแบ่งออกได้เป็น 3 ระยะ คือ ระยะแรกเมื่ออุ่นน้ำเย็น เม็ดแป้งจะสามารถดูดซึมน้ำ และพองตัวได้เล็กน้อย แต่เนื่องจากโมเลกุลของแป้งประกอบด้วยหมู่ไฮdroอกซิล (hydroxyl group) เป็นจำนวนมากและมีเด冈เกะกันด้วยพันธะไฮโดรเจน เมื่อนำไปทำให้แห้งก็จะมีลักษณะเหมือนเดิม (Leach *et al.*, 1959) เนื่องจากส่วนที่เป็นผลึกสามารถดูดซึมน้ำได้อย่างจำกัดดังนั้น ความหนืดของสารแ变幻ลดอยจะไม่เพิ่มขึ้นจนเห็นได้ชัด เม็ดแป้งยังคงรูปร่างและมีสมบัติโครงสร้างที่เป็นระเบียบ และความสามารถในการบีดร้านแสงโพลาไรซ์ สังเกตดูได้โดยส่องด้วยกล้องจุลทรรศน์ใช้แสงโพลาไรซ์ (French, 1984) ระยะที่สอง เมื่อให้ความร้อนกับน้ำแป้งจนถึงอุณหภูมิ 65 องศาเซลเซียส (ขึ้นกับชนิดแป้ง) จะทำให้พันธะไฮโดรเจนคลายลง เม็ดแป้งจะดูดซึมน้ำแล้วพองตัวอย่างรวดเร็วและถาวร ทำให้ส่วนผสมดังกล่าวมีความหนืดและใสมากขึ้น ปรากฏการณ์นี้เรียกว่า การพองตัวอย่างไม่ผันกลับ (irreversible swelling) และเรียกอุณหภูมิที่สารละลายแป้งเริ่มมีการเปลี่ยนแปลงความหนืดว่า ค่าอุณหภูมิเริ่มต้นของความหนืด (pasting temperature) เม็ดแป้งจะมีการเปลี่ยนแปลงรูปร่างและสูญเสียโครงสร้างที่เป็นระเบียบ และความสามารถในการบีดร้านแสงโพลาไรซ์ เม็ดแป้งจะมีการพองตัวสูงขึ้นทำให้ความหนืดของแป้งสูงขึ้น การเกิดเจลาทีนในเชซั่นของแป้งจะแตกต่างกันไปในแป้งแต่ละชนิด ขึ้นกับองค์ประกอบทางเคมีที่มีอยู่ เช่น สัดส่วนของปริมาณแอมิโลสและแอมิโลเพกติน ปริมาณไขมัน การจัดเรียงตัวของโมเลกุลภายในเม็ดสตาร์ช และการจัดเรียงตัวกันของแอมิโลสและแอมิโลเพกติน เม็ดสตาร์ชที่มีส่วนประกอบดังกล่าวมาแล้วไม่สามารถจะทำให้มีการเกิดเจลาทีนในเชซั่นที่อุณหภูมิแตกต่างกัน ซึ่งจะมีอุณหภูมิอยู่ในช่วงประมาณ 50-70 องศาเซลเซียส

เม็ดสตาร์ช มีการพองตัวสูงสุดจะทำให้มีความหนืดสูงสุด (peak viscosity) เม็ดสตาร์ช เริ่มแตกออก เมื่อเพิ่มอุณหภูมิต่อไป เม็ดสตาร์ชเริ่มเข้าสู่ระยะที่สาม คือมีการแตกตัวของเม็ดสตาร์ชอย่างสมบูรณ์ (complete dispersion) การละลายของเม็ดสตาร์จะสูงขึ้นด้วย (ภาพที่ 8)



ภาพที่ 5 การเปลี่ยนแปลงความหนืดของน้ำแป้ง 3 ระยะ

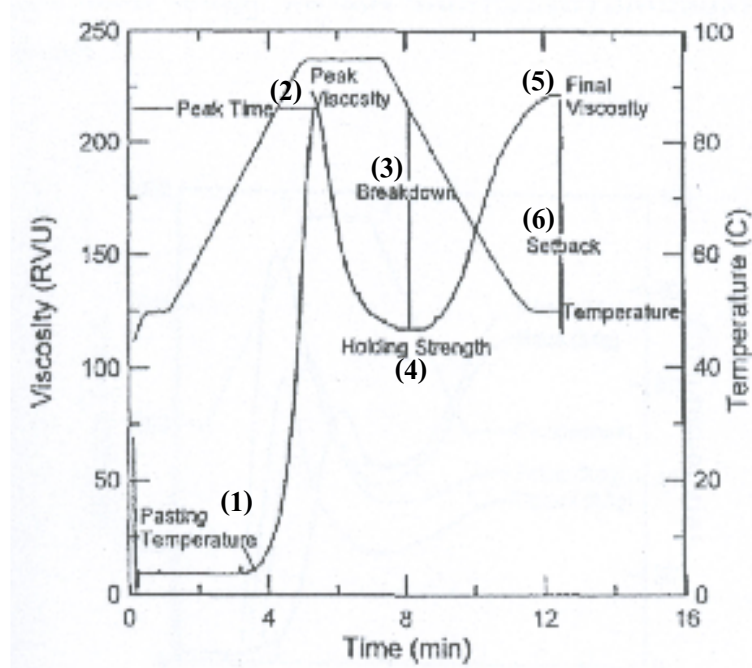
ที่มา: Sander (1996)

สำหรับการกลับคืนสู่สภาพเดิมนั้น เมื่อเม็ดสตาร์ช ได้รับความร้อนจนถึงอุณหภูมิที่เกิดเจลที่ในเชิงนี้ แล้วให้ความร้อนต่อไป เม็ดสตาร์จะพองตัวเต็มที่แล้วแตกออกในที่สุด โดยโน้มเลกุลของแอมิโลสที่มีขนาดเล็กจะกระจายตัวออกจากเม็ดสตาร์ชก่อน ความหนืดของสตาร์ชเพลสที่จะลดลง เมื่อปล่อยให้สารละลายแป้งเย็นตัวลง จะเกิดการจัดเรียงตัวเป็นโครงร่างแพลตินัมมิคิฟิน โดยโน้มเลกุลของแอมิโลส ที่ออกมากจากเม็ดสตาร์ชที่อยู่ใกล้เคียงกันจะเข้ามายัดเรียงตัวใกล้ๆ กัน และเกะเกียวกันเองเกิดพันธะไฮโดรเจนขึ้นระหว่างโน้มเลกุลของแอมิโลสทำให้ได้ลักษณะโครงสร้างใหม่ ที่สามารถอุ่มน้ำและไม่ละลายน้ำอีก จึงทำให้สารละลายกลับมามีความเข้มข้นหนึ่ดอีก โครงสร้างที่ได้มีลักษณะเป็นเจล (gel) การเกิดเจลจะเกิดขึ้นได้เมื่อมีแอมิโลสอยู่ และการจับตัวเป็นเจล (gelation) จะเกิดเร็วที่สุดเมื่อมีแอมิโลสที่มีน้ำหนักโน้มเลกุลสูง แต่ถ้าส่วนผสมมีความเข้มข้นของแป้งต่ำมากจะไม่เกิดเจล แต่จะรวมตัวกันตกตะกอน (precipitate) การเกิดเจลของแป้งสุกนั้น เมื่อลด

อุณหภูมิให้ต่ำลงและทิ้งไว้นานขึ้น การจัดเรียงตัวกันเป็นโครงสร้างดังกล่าวยิ่งแน่นมากขึ้น ทำให้โมเลกุลอิสระของน้ำที่อยู่ภายในถูกบีบออกมารอยู่นอกเซลล์ (syneresis) และเซลล์มีลักษณะขาวขุ่น ความหนืดจะกลับมาเพิ่มขึ้นใหม่ ปรากฏการณ์นี้คือการเกิดรีไทร์เกรเดชันหรือเรียกว่าการคืนตัวของแป้ง โดยปัจจัยที่มีผลต่อการคืนตัวได้แก่ความเข้มข้นของแป้ง อุณหภูมิ ความเป็นกรด-ด่าง ของระบบ ปริมาณและขนาดของ แอมิโลส และ แอมิโลเพกติน รวมทั้งองค์ประกอบของเคมีอื่นๆ ในแป้ง (Beynum, 1985)

ความหนืดเป็นสมบัติที่สำคัญและเป็นประโยชน์มากที่สุดของแป้ง เกิดจากการเปลี่ยนแปลงทางกายภาพของแป้ง การเปลี่ยนแปลงความหนืดของแป้งเป็นสมบัติเฉพาะตัว และแตกต่างไปตามชนิดและสายพันธุ์ของแป้ง การตรวจวัดค่าความหนืดมีความสำคัญในแง่การใช้แป้งในอุตสาหกรรมอาหาร เช่น ใช้เป็นสารให้ความเข้มข้นหนืดและให้เนื้อสัมผัสในอาหาร เป็นต้น การเปลี่ยนแปลงความหนืดของแป้งมีเครื่องมือหลายชนิดที่ใช้ในการวัดความหนืด ซึ่งมีทั้งแบบปรับอุณหภูมิได้ เช่น Brookfield viscometer capillary viscometer และ Rheometer ซึ่งจะวัดค่าที่อุณหภูมิหนึ่งๆ เท่านั้น ส่วนเครื่องมือแบบปรับและควบคุมอุณหภูมิได้ เช่น Rapid visco analyzer และ แบรนเดอร์ วิสโคอะโนโล กراف แบบปรับและควบคุมอุณหภูมิได้ มีความสำคัญในการศึกษาลักษณะของ Graf ความหนืดเมื่อมีการเปลี่ยนแปลงอุณหภูมิให้กับน้ำแป้ง ทำให้ทราบอุณหภูมิที่เกิดเจลาทีนเซชัน ค่าความหนืดที่จุดสูงสุด และค่าความหนืดสุดท้ายเมื่อสารละลายแป้งเกิดการกลับคืนสภาพเดิมได้ (กล้ามวงศ์ และ เกื้อกูล, 2546)

ในการวัดการเปลี่ยนแปลงความหนืดของแป้งด้วยเครื่อง Rapid Visco Analyzer (RVA) จะมีข้อดี คือเครื่องมีน้ำสำหรับเปลี่ยนระดับอุณหภูมิ ทั้งการทำให้ร้อน และทำให้เย็น ได้อย่างแม่นยำ แน่นอน ควบคู่ไปกับความสามารถในการรักษาอุณหภูมิให้คงที่ ในการทดลองนั้น เม็ดสตาร์ชเมื่อได้รับความร้อนจะดูดซึมน้ำและพองตัวขยายใหญ่ขึ้น ขณะเดียวกันน้ำที่เหลืออยู่รอบๆ เหลือน้อยลง ทำให้เม็ดสตาร์ชเคลื่อนไหวได้ยาก แป้งจะเกิดเจลาทีนเซชัน มีผลทำให้ความหนืดเพิ่มขึ้นจนถึงจุดที่มีความหนืดสูงสุด (peak viscosity) ซึ่งเป็นจุดที่เม็ดสตาร์ชมีการพองตัวเต็มที่ การเพิ่มอุณหภูมิ และมีการกวนภายในแรงเฉือน (shear force) ที่คงที่ค่าหนึ่งต่อไปอีกจะมีผลทำให้โครงสร้างภายในแตกออกทำให้ความหนืดลดลง และเมื่อลดอุณหภูมิลงจะเกิดรีไทร์เกรเดชัน มีผลทำให้ความหนืดเพิ่มขึ้นอีก ซึ่งเป็นความหนืดที่เกิดจากการจัดเรียงตัวใหม่ของโมเลกุลแอมิโลสที่ละลายออกจากเม็ดสตาร์ช ลักษณะของ Graf ความหนืดที่วัดด้วยเครื่อง Rapid Visco Analyzer (Newport Scientific, 1995) แสดงดังภาพที่ 6



ภาพที่ 6 ลักษณะกราฟความหนืดและค่าตัวแปรต่างๆ ที่วิเคราะห์ด้วยเครื่อง Rapid Visco Analyzer

ที่มา: Newport Scientific (1995)

### ค่าตัวแปรต่างๆ ที่เครื่อง RVA แสดงผลดังต่อไปนี้

#### 1. ค่าอุณหภูมิเริ่มต้นของความหนืด (pasting temperature)

ค่าอุณหภูมิเริ่มต้นของความหนืด หมายถึง อุณหภูมิที่เริ่มมีการเปลี่ยนค่าความหนืดหรือ อุณหภูมิที่ความหนืดเพิ่มขึ้น 2 RVU ในเวลา 20 วินาที มีหน่วยเป็นองศาเซลเซียส โดยปกติแล้ว สตาร์ชจะไม่ละลายน้ำที่อุณหภูมิต่ำกว่าอุณหภูมิเจลาทีน เช่น เนื่องจากเม็ดสตาร์ชเกิดจากสายเออมิโลสและแอมิโลเพกตินที่จับกันด้วยพันธะ ไฮโดรเจนจากหมู่ไฮดรอกซิลของโมเลกุลกลูโคสที่อยู่ใกล้ๆ กัน แต่เมื่อให้พลังงานความร้อนแก่สตาร์ชเพสท์ ผลของการร้อนทำให้โมเลกุลน้ำแทรกตัวเข้าไปทำลายพันธะ ไฮโดรเจน โดยเริ่มจากส่วนอสัณฐานก่อน หมู่ไฮดรอกซิลที่อิสระเกิดมากขึ้น โมเลกุลของน้ำจะเข้าไปจับกับหมู่ไฮดรอกซิลที่อิสระเหล่านั้น ทำให้เม็ดสตาร์ชเกิดการพองตัว (swelling) กระบวนการนี้จะเกิดขึ้นอย่างช้าๆ

## 2. ค่าความหนืดสูงสุด (peak viscosity)

ค่าความหนืดสูงสุด หมายถึง จุดที่เกิดความหนืดสูงสุดในขณะที่ถูกความร้อน หน่วยเป็น RVU เป็นค่าที่ใช้บอกความสามารถในการพองตัวอย่างอิสระของเม็ดสตาร์ชก่อนที่เม็ดสตาร์จะแตก (Singh *et al.*, 2003)

## 3. ความหนืดต่ำสุด (holding strength)

Holding strength หรือค่า Trough หมายถึง ความหนืดต่ำสุดระหว่างการทำให้เย็น หน่วยเป็น RVU เป็นความหนืดที่เกิดขึ้นภายหลังการให้ความร้อนและแรงกวน ส่วนใหญ่ให้มีดสตาร์ชเกิดการเจลาทินไซด์ทำให้ความหนืดของเพสท์ค่อยๆ ลดลง

## 4. ค่าความหนืดคลดลง (breakdown)

ค่าความหนืดคลดลง หมายถึง ความแตกต่างของความหนืดสูงสุด และความหนืดต่ำสุด หน่วยเป็น RVU บอกถึงความคงตัว และความแข็งแรงของเม็ดสตาร์ชต่อการให้ความร้อนและแรงกวนที่เกิดขึ้น ซึ่งขึ้นอยู่กับอันตรภิภัย ระหว่างสายโนมเลกุลภายในเม็ดสตาร์ช ซึ่งจะทำให้มีดสตาร์ชที่พองตัว ทนต่อแรงเฉือน (Chung *et al.*, 2003) เป็นความหนืดที่เกิดขึ้นภายหลังจากการให้ความร้อนและแรงกวน ส่วนใหญ่ให้มีดสตาร์ชที่เกิดการเจลาทินไซด์ แล้วแตกออก จึงทำให้ความหนืดของเพสท์ค่อยๆ ลดลง และความโปร่งแสงจะเพิ่มขึ้น มีการสูญเสียโครงสร้างที่เป็นระเบียบ และความสามารถในการบิดระนาบแสงโพลาไรซ์ (อรอนงค์, 2547)

## 5. ค่าความหนืดสุดท้าย (final viscosity)

ค่าความหนืดสุดท้ายของการทดลอง หน่วยเป็น RVU เป็นค่าความหนืดที่วัดได้เมื่อเพสท์ของแป้งผ่านการทำให้เย็นที่อุณหภูมิ 50 องศาเซลเซียส ซึ่งบ่งบอกถึงความแข็งแรงของเจลที่ได้

## 6. ค่าเซตแบค (setback)

ค่าเซตแบค หมายถึง ผลต่างของความหนืดสูดท้ายกับความหนืดที่จุดต่ำสุด หน่วยเป็น RVU เป็นค่าที่แสดงถึงการยึดเกาะกันหรือการเกิดริโตรเกรดของส่วนประกอบต่างๆ ได้แก่ เม็ดสตาร์ชที่พองตัว ส่วนที่แตกออกของเม็ดสตาร์ชที่พองตัวและโมเลกุลของสตาร์ชที่แขวนลอยหรือกระจายอยู่ในแพสท์ นั่นคือในส่วนอสัมฐานจะมีการจัดเรียงอย่างเป็นระเบียบมากขึ้นหรือจัดเรียงตัวกันเป็นผลึกทำให้ความแน่นแน่น (firmness) หรือความแข็ง (rigidity) เพิ่มขึ้น มีการสูญเสียความสามารถในการกัดเก็บน้ำ และเกิดสภาพที่เป็นผลึกอีกรังหนึ่ง โดยการเปลี่ยนแปลงจะเพิ่มขึ้นเมื่อระยะเวลาในการเก็บนานขึ้นซึ่งเรียกปรากฏการณ์นี้ว่า การเกิดริโตรเกรเดชัน (อรอนงค์, 2547)

### การเปลี่ยนแปลงความหนืดของเม็ดสตาร์ชด้วยวิธีต่างๆ

#### 1. การใช้คลื่นเสียงความถี่สูง (high-intensity ultrasound, HIU)

Chung *et al.* (2003) ได้ทดสอบคุณสมบัติทางเคมีกายภาพของน้ำเปลี่ยนข้าว ที่อุณหภูมิ 65 75 85 และ 95 องศาเซลเซียส แล้วผ่าน HIU เป็นเวลา 1 3 และ 5 นาที พบร่วมกันว่า HIU ทำให้มีความหนืดสูงสุด ต่ำกว่าตัวอย่างควบคุมอย่างมีนัยสำคัญ ( $p<0.05$ ) เนื่องจากการใช้ HIU จะทำลายที่ผิวของเม็ดสตาร์ชให้เกิดความเสียหาย แต่ไม่มีผลต่อระดับของโพลิเมอไรเซชัน (degree of polymerization) ซึ่งเมื่อเปรียบเทียบกับการใช้กรดจะทำให้ค่าความหนืดสูงสุดลดลง โดยการทำลายพันธะกลูโคสิติกของกลูโคสโพลิเมอร์ แต่การใช้ HIU จะทำให้ผิวของเม็ดสตาร์ชถูกทำลาย และมีขนาดเล็กลง จึงมีกำลังการพองตัวต่ำ ทำให้มีความหนืดสูงสุดลดลง

Wang and Wang (2004b) ได้ศึกษาการสกัดสตาร์ชข้าวเจ้าเพื่อลดระยะเวลาในการแยกสกัดสตาร์ชข้าว โดยใช้เปลี่ยน 100 กรัม กระจายในน้ำ 200 กรัม ผ่านคลื่นเสียงที่มีความถี่สูง HIU (20 กิโลเฮิรตซ์) ที่ 75 เปอร์เซ็นต์แอมพลิจูด เป็นเวลา 30 นาที พบร่วมกันว่าทำให้ได้ผลของสตาร์ชประมาณ 78 เปอร์เซ็นต์ และมีโปรตีนที่เหลืออยู่ประมาณ 0.9-1.7 เปอร์เซ็นต์ และเกิดสตาร์ชที่เสียหายประมาณ 3.1-3.5 เปอร์เซ็นต์ แต่เมื่อนำ HIU มาใช้ร่วมกับสารลดแรงตึงผิว (Surfactants) (Sodium dodecyl sulfate, SDS) ที่ความเข้มข้น 0.5 เปอร์เซ็นต์ ซึ่งทำให้ได้ผลได้ของสตาร์ชเพิ่มขึ้น คือมีประมาณ 85 เปอร์เซ็นต์ มีโปรตีนที่เหลืออยู่ประมาณ 0.2 เปอร์เซ็นต์ และเกิดสตาร์ชที่เสียหายประมาณ 3.1 เปอร์เซ็นต์ Wang and Wang (2004b) ได้สรุปว่าผลของการใช้ HIU ที่มีต่อคุณสมบัติด้านความหนืดของสตาร์ชนั้นยังไม่เป็นที่ชัดเจน อาจมีความซับซ้อนกันอยู่ระหว่างผลของปริมาณ โปรตีนที่

เหลืออยู่และสตาร์ชที่เสียหาย ซึ่งผลการทดลองไม่สอดคล้องกับปริมาณโปรตีนและสตาร์ชที่เสียหายที่เกิดขึ้น และพบว่าการใช้อ่อนไชม์ร่วมกับ HIBP นั้น โดยทั่วไปน่าจะมีค่าความหนืดสูงสุด และค่าความหนืดลดลง สูงขึ้น และมีค่าเซตแบคต่ำลง เมื่อเทียบกับการใช้อ่อนไชม์เพียงอย่างเดียว แต่กลับมีค่าความหนืดสูงสุด และค่าความหนืดลดลง ต่ำกว่า ซึ่งผลที่เกิดขึ้นนี้ยังไม่มีการอธิบายถึงเหตุผลที่ชัดเจน

## 2. การใช้สารลดแรงตึงผิว

Hamaker and Griffin (1993) ได้ทำการศึกษาผลของการทำลายพันธะไดซัลไฟฟ์ของโปรตีน โดยใช้ dithiothreitol จากการศึกษาเป็นข้าวทั้ง 9 พันธุ์ ที่มีผลต่อการเกิดเจลและความหนืดของแป้งข้าว พบว่าเมื่อพันธะไดซัลไฟฟ์ของโปรตีนถูกทำลายทำให้มีค่าสตาร์ชพองตัวได้ดี ขนาดเม็ดสตาร์ชใหญ่ขึ้น มีผลต่อความหนืด และอุณหภูมิเจลาตินซ์ที่สูงขึ้น พันธะไดซัลไฟฟ์ของโปรตีนจะทำให้มีค่าสตาร์ชเกิดการพองได้ด้วยน้อยโดยจะเพิ่มความแข็งแรงให้แก่เม็ดสตาร์ชที่พองตัว ทำให้มีค่าสตาร์ชที่เจลาตินซ์แล้วทนต่อความร้อนและแรงเฉือนเพิ่มขึ้น สตาร์ชที่มีความหนืดลดลงน้อยลง เมื่อพันธะไดซัลไฟฟ์ถูกตัด ระดับการเกิดเจลาตินซ์ และความแข็งแรงของเจลจะเพิ่มขึ้น จากการศึกษาความสัมพันธ์เชิงเส้นของโปรตีนกับค่าความหนืดพบว่า โปรตีนมีผลต่อการพองตัวของเม็ดสตาร์ช ระดับการเกิดเจลาตินซ์ และความแข็งแรงของเจล อย่างมีนัยสำคัญ ( $P<0.05$ )

## 3. การใช้อ่อนไชม์

Wang and Wang (2001) ได้ทำการเปรียบเทียบวิธีการสกัดสตาร์ชข้าว โดยใช้โปรตีเอส ที่ระดับความเป็นกรด-เบส ต่างๆ เปรียบเทียบกับวิธีการใช้สารละลายค่าง และหาความสัมพันธ์ของโปรตีน และสตาร์ชที่มีผลต่อคุณสมบัติค้านความหนืดที่เปลี่ยนไป พบว่า โปรตีนและสตาร์ชที่เสียหายมีผลต่อคุณสมบัติค้านความหนืด โดยปริมาณโปรตีนมีความสัมพันธ์กับค่าความหนืดลดลงของสตาร์ชเพียงเล็กน้อย ( $r = 0.58, P = 0.05$ ) แต่มีความสัมพันธ์แบบผกผันกับค่าความหนืดสูงสุดน้อยกว่า โดยสตาร์ชที่เสียหายจะมีความสัมพันธ์แบบผกผันกับค่าความหนืดสูงสุด ( $r = -0.78, P = 0.05$ ) สูงกว่า โปรตีนมาก ดังนั้นปริมาณโปรตีนและสตาร์ชที่เสียหายจะมีผลต่อคุณสมบัติค้านความหนืดของสตาร์ช

Jiang and Liu (2002) ได้ศึกษากำลังการพองตัวและการเปลี่ยนแปลงความหนืดของสตาร์ช มันฟรั่งและสตาร์ชข้าวโพดที่ผ่านการย่อยด้วยเอนไซม์แอลอฟาเอมิโลส พบว่ากำลังการพองตัวของ สตาร์ชที่ผ่านการย่อยลดลง เมื่อระยะเวลาในการย่อยนานขึ้น ทั้งนี้เนื่องจากเมื่อระยะเวลาการย่อย นานขึ้น ทำให้อัตราส่วนแอมิโลสต่อแอมิโลเพกทินลดลง นอกจากนี้การที่เอนไซม์ย่อยแอมิโลเพ กทินเป็นผลทำให้ปริมาณของแอมิโลเพกทินที่มีมวลโนเมเลกุลปานกลาง (intermediate Mw fraction) เพิ่มขึ้น ซึ่งทำให้มีกำลังการพองตัวลดลง และจากการศึกษาการเปลี่ยนแปลงความหนืด พบว่าสตาร์ชที่ผ่านการย่อยมีความหนืดสูงสุดต่ำ ทั้งนี้เนื่องจากสตาร์ชที่ผ่านการย่อยมีปริมาณแօ มิโลส ลดลงเป็นผลมาจากการไนซ์แอลอฟาเอมิโลสทำปฏิกิริยาภายใน (endo-acting) โนเมเลกุลสตาร์ช ตรงพันธะแอลอฟา 1,4 ไกลโคลสิติดกับกลุ่มสุ่ม ได้เป็นโอลิโกลแซคคาไรด์ (oligosaccharide) และแอลอฟา ลิมิตเด็กซ์ทริน ( $\alpha$ -limit dextrin) ซึ่งโอลิโกลแซคคาไรด์เป็นส่วนที่ละลายน้ำและถูกกำจัดออกไปกับ น้ำทั้งนี้เนื่องจากแอมิโลเพกทินที่เหลือภายในเม็ดสตาร์ชทำตัวเลียนแบบแอมิโลสคือไปจับกับ โนเมเลกุลของไอกันทำให้เม็ดสตาร์ชมีความแข็งแรงมาก นอกจากนี้เมื่อระยะเวลาการย่อยเพิ่มขึ้น อัตราส่วนแอมิโลสต่อแอมิโลเพกทินทำให้มีปริมาณของแอมิโลเพกทินที่มีมวลโนเมเลกุลปานกลาง (intermediate Mw fraction) เพิ่มขึ้น การที่มีแอมิโลเพกทินมวลโนเมเลกุลปานกลางเพิ่มขึ้น ทำให้เม็ด สตาร์ชใช้เวลาในการเปลี่ยนแปลงความหนืดสูงสุด ทำให้ความหนืดสูงสุดลดลง

#### 4. การย่อยด้วยกรด

Wang *et al.* (2003) ศึกษากำลังการพองตัวและการเปลี่ยนแปลงความหนืดของสตาร์ช ข้าวโพดที่ผ่านการย่อยด้วยกรดไฮโดรคลอริก พบว่าสตาร์ชข้าวโพดที่ผ่านการย่อยมีกำลังการพอง ตัวลดลง ทั้งนี้เนื่องจากในช่วงแรกไฮโดรเจนไอออนเข้าทำปฏิกิริยาตรงบริเวณผิวของเม็ดสตาร์ช ก่อนที่จะกระจายเข้าทำปฏิกิริยาภายในผิวของเม็ดสตาร์ช ส่วนอสัมฐานอยู่บริเวณของเม็ดสตาร์ช ซึ่งเป็นส่วนที่ยึดหยุ่นถูกกำจัดออกไป (Rohwer and Klem, 1984; ; Betancur and Chel, 1997) ทำให้ สตาร์ชที่ได้จากการย่อยมีสัดส่วนของผลึกมากขึ้น ส่งผลให้สตาร์ชข้าวโพดที่ผ่านการย่อยด้วยกรด ไฮโดรคลอริกมีกำลังการพองตัวลดลง นอกจากนี้งานวิจัยของ Haros *et al.* (2004) ศึกษากำลังการ พองตัวของสตาร์ชข้าวโพดที่ผ่านการแช่ด้วยกรดแลกติก พบว่ามีกำลังการพองตัวลดลงเนื่องจาก กรดแลกติกเข้าทำปฏิกิริยากับโนเมเลกุลของสตาร์ช ทำให้ระดับขั้นการเกิดโพลิเมอร์ของแอมิโลส และแอมิโลเพกทินในส่วนอสัมฐานของเม็ดสตาร์ชถูกย่อย (Monica *et al.*, 2003) และจากการ ทดลองของ Wang *et al.* (2003) พบว่าสตาร์ชที่ผ่านการย่อยด้วยกรดมีสมบัติด้านความหนืดลดลง ทั้งนี้เนื่องจากสตาร์ชที่ผ่านการย่อยมีกำลังการพองตัวลดลง เพราะส่วนอสัมฐานซึ่งเป็นส่วนที่ ยึดหยุ่นถูกกำจัดออกไป (Wang and Wang, 2001) ทำให้เม็ดสตาร์ชพองตัวได้น้อยลง (Rohwer and

Klem, 1984; Betancur and Chel, 1997) เมื่อส่วนอสัณฐานถูกกำจัดออกไปทำให้ปริมาณแอมิโลสลดลง ส่งผลให้ค่าเซตแบคลดลง (Franco *et al.*, 1988; Wang and Wang, 2001; Jiang and Liu, 2002) สอดคล้องกับงานวิจัยของ Haros *et al.* (2004) ศึกษาความหนืดของสารชี้ว่าโพดที่ผ่านการแช็คด้วยกรดแลกติก พ布ว่าสารชี้มีความหนืดลดลง ทั้งนี้เนื่องจากการกรดแลกติกย่อยส่วนอสัณฐานของเม็ดสารชี้ทำให้สายโนไมเลกุลของแอมิโลสและแอมิโลเพกทินซึ่งเป็นส่วนที่ทำปฏิกิริยากับกันน้ำลดลง ส่งผลให้มีความหนืดลดลง (Monica *et al.*, 2003)

## 5. การหมัก

Moorthy and Mathew (1998) ศึกษาการเปลี่ยนแปลงกำลังการพองตัวและการเปลี่ยนแปลงความหนืดของสารชี้มันฝรั่งที่ผ่านการหมัก พ布ว่าสารชี้ที่ผ่านการหมักมีกำลังการพองตัวลดลง ทั้งนี้เนื่องจากการหมักทำให้เม็ดสารชี้ขนาดเล็กลง เป็นผลจากบริเวณผิวของเม็ดสารชี้ถูกย่อยไปในระหว่างการหมักทำให้บริเวณผิวของเม็ดสารชี้หลุดออกไป และเม็ดสารชี้ขนาดเล็กที่เกิดขึ้นมีส่วนผลึกมาก ส่งผลให้กำลังการพองตัวลดลง และจากการเปลี่ยนแปลงความหนืด พ布ว่าสารชี้ที่ผ่านการหมักที่มีอุณหภูมิรีมต้นของความหนืด ความหนืดลดลง และเซตแบคลดลง ทั้งนี้เนื่องจากเม็ดสารชี้ที่ผ่านการหมักมีความคงตัวมากเป็นผลมาจากการแอมิโลสที่ลดลงและมีส่วนของแอมิโลเพกทินมวลโนไมเลกุลปานกลางเพิ่มขึ้น ทำให้กำลังการพองตัวลดลง ส่งผลให้ความหนืดลดลง

### การเกิดเจลาทีไนเซชัน (gelatinization)

เมื่อสารละลายเปิ่งได้รับความร้อน ความร้อนจะส่งเสริมให้ทำลายพันธะไฮโดรเจนของโนไมเลกุลน้ำที่อยู่ล้อมรอบเม็ดเปิ่งได้ดีและเข้าสู่ภายในเม็ดเปิ่งได้ ทำให้เม็ดเปิ่งเกิดการพองตัว (swelling) กระบวนการนี้จะเกิดขึ้นอย่างช้าๆ จนกระทั่งอุณหภูมิวิกฤต (critical temperature) ซึ่งเป็นจุดที่มีความสำคัญ คือ ในบางเม็ดที่มีการพองตัว จะสูญเสียโครงสร้างที่เป็นระเบียบ และความสามารถในการบิดระนาบแสงโพลาไรซ์ ทำให้มีการเปลี่ยนแปลงความหนืดและการละลาย ซึ่งเรียกปรากฏการณ์นี้ว่าการเกิดเจลาทีไนเซชัน (gelatinization) (Alexander and Zobel, 1992) การสูญเสียสมบัติทั้ง 2 จะเริ่มเกิดขึ้นที่ไฮดัมและจะขยายตัวไปยังบริเวณโดยรอบเม็ดสารชี้ นอกจากนั้นการเกิดเจลาทีไนเซชันยังมีผลทำให้ค่าความโปร่งแสงและค่าความหนืด มีค่าเพิ่มขึ้น

การใช้พัลส์งานในการหลอมเม็ดเปิ่งสามารถวิเคราะห์ได้ด้วยเครื่อง Differential Scanning Calorimeter (DSC) เครื่อง DSC ใช้ในการศึกษาการเปลี่ยนแปลงของสารที่เกี่ยวข้องกับการ

เปลี่ยนแปลงพลังงาน โดยมีหลักการคือ ทั้งตัวอย่างและสารอ้างอิงจะเริ่มต้นที่อุณหภูมิเดียวกัน หลังจากนั้นจะมีกระบวนการให้ความร้อนหรือการทำให้เย็นลงในอัตราที่กำหนดไว้ ดังนั้นปริมาณความร้อนจะ ให้ผลเข้าสู่ระบบทั้งสารตัวอย่างและสารอ้างอิง ในการรักษาระดับความแตกต่างของ อุณหภูมิของสารตัวอย่างและสารอ้างอิงให้เท่ากัน ปริมาณความร้อนที่ให้หรือภายในจะเป็น ฟังก์ชันกับเวลาหรืออุณหภูมิ

เครื่อง DSC เริ่มน้ำมาใช้ศึกษาเปลี่ยนรังสีโดย Stevens และ Elton จากนั้นจึงเริ่มนี้ การศึกษาเปลี่ยนนิดต่างๆ และปัจจัยที่มีผลต่อการเกิดเจลาติในเชื้อ (Zobel, 1988) ค่าทางเทอร์โม ไดนามิกที่ได้จากการวิเคราะห์ด้วยเครื่อง DSC จะมีตัวแปรดังนี้

To หมายถึง อุณหภูมิที่จุดเริ่มต้น (onset temperature) หน่วยเป็นองศาเซลเซียส

Tp หมายถึง อุณหภูมิที่จุดสูงสุด (peak temperature) หน่วยเป็นองศาเซลเซียส

Tc หมายถึง อุณหภูมิที่จุดสุดท้าย (conclusion temperature) หน่วยเป็นองศาเซลเซียส

$\Delta H$  หมายถึง ความร้อนทั้งหมดของปฏิกิริยาหรือ enthalpy หน่วยเป็นจูดต่อกรัม

อุณหภูมิในการเปลี่ยนแปลงพลังงาน (transition temperature) และพลังงานความร้อน ทั้งหมด (enthalpy) ในการเกิดเจลาติในเชื้อนของเม็ดแป้ง จากการวัดด้วยเครื่อง DSC จะมี ความสัมพันธ์กับระดับของผลึก (degree of crystalline) ของเม็ดสตาร์ช โดยที่ระดับของผลึกที่สูงจะ มีผลทำให้อุณหภูมิที่ใช้ในการเปลี่ยนแปลงพลังงานสูงขึ้นด้วย ระดับของผลึกเป็นตัวบ่งบอกถึง ความคงตัว (stability) ของโครงสร้างเม็ดสตาร์ช ทำให้มีความต้านทานต่อการเกิดเจลาติในเชื้อ และเป็นผลมาจากการความคงตัวของส่วนอสัมฐาน (amorphous region) หรือส่วนของกิ่งก้านสาขาด้วย

Singh *et al.* (2003) ได้ทำการศึกษาความสัมพันธ์ระหว่างปริมาณแอมิโลส และค่าเอนทอล ปีของการเกิดเจลาติในช์ ของข้าว 19 พันธุ์ พบว่าข้าวแต่ละพันธุ์ จะมีค่า อุณหภูมิเริ่มต้นในการเกิด เจลาติน (T<sub>o</sub>) เอนทอลปี และช่วงอุณหภูมิในการเกิดเจลาติในช์ ( $\Delta T = T_c - T_o$ ) แตกต่างกันเนื่องจากมี ความขาวของแอมิโลเพกติน ไม่เท่ากัน สตาร์ชพันธุ์ที่มีแอมิโลเพกตินขาวกว่าจะมีค่าเอนทอลปี สูง กว่าแอมิโลเพกตินที่สันน แอมิโลเพกตินที่ถูกตัดความขาวของสายโซ่ให้สั้นลง อาจเกิดจากความร้อน หรือแรงกลุ่มที่เพิ่มขึ้น มีผลทำให้ค่าความหนืดสูงสุด และค่าความหนืดลดลงต่ำลง และจากการหา ค่าความสัมพันธ์พบว่า แอมิโลสจะมีความสัมพันธ์กับ ค่าความหนืดสูงสุด ค่าความหนืดสุดท้าย ( $r = 0.464$ ,  $P < 0.05$ ) และค่าเซตแบค ( $r = 0.614$ ,  $P < 0.01$ ) โดยค่าความหนืดสูงสุดจะมีความสัมพันธ์กับ การของตัวของเม็ดสตาร์ช ( $r = 0.49$ ,  $P < 0.05$ ) และอุณหภูมิเริ่มเกิดความหนืด ( $r = -0.434$ ,  $P < 0.05$ )

## วิธีที่ใช้ในการสกัดสารชี้ข้าว

แบ่งได้เป็น 2 ประเภท ดังนี้คือ

### 1. การสกัดสารชี้ด้วยวิธีทางเคมี (chemical methods)

1.1 การใช้ด่าง (alkali solution) นิยมใช้โซเดียมไฮดรอกไซด์ หรืออาจใช้แคลเซียมไฮดรอกไซด์ แต่ให้ผลได้ต่ำกว่า การใช้โซเดียมไฮดรอกไซด์ โดยโปรตีนในแป้งข้าวส่วนใหญ่เป็นกลูเทินประมาณ 80 เปอร์เซ็นต์ ซึ่งละลายได้ในสารละลายด่าง ซึ่งโปรตีนแอลบูมินที่ละลายได้ในน้ำ และโกลบูลินที่ละลายได้ในเกลือ ที่อยู่ในชั้นแอลิวอนจะถูกกำจัดออกไปในขั้นตอนการโม่เปียก (Lim *et al.*, 1999) ดังนั้นการใช้โซเดียมไฮดรอกไซด์ จึงทำให้โปรตีนแยกออกจากสารชี้ได้อย่างสมบูรณ์ ความเข้มข้นและระยะเวลาที่ใช้ในการสกัดสารชี้ จะแตกต่างกันขึ้นอยู่กับความเหมาะสมของตัวอย่าง วิธีนี้จะได้สารชี้ที่มีความบริสุทธิ์สูงและเป็นวิธีที่ง่ายที่สุด แต่ก่อให้เกิดปัญหาร่องน้ำเสียง และมีผลทำให้ความเป็นผลึกของสารชี้ (starch crystallinity) ลดลง (Han and Hamaker, 2002; Wang and Wang, 2001) โดยทั่วไปการสกัดสารชี้ด้วยวิธีนี้จะใช้โซเดียมไฮดรอกไซด์เข้มข้นประมาณ 0.1-0.2 เปอร์เซ็นต์ มีผลได้ประมาณ 73-85 เปอร์เซ็นต์ มีปริมาณโปรตีนที่เหลืออยู่ประมาณ 0.07-0.42 เปอร์เซ็นต์ และมีปริมาณสารชี้ที่เสียหายประมาณ 0.07-2.6 เปอร์เซ็นต์ (Yang *et al.*, 1984; Lumdubwong and Seib, 2000) โดยการเกิดสารชี้ที่เสียหายจากการใช้โซเดียมไฮดรอกไซด์นี้ เนื่องมาจากสารละลายด่างสามารถย่อย (hydrolysis) พอดิ薛喀ไรด์ได้ ดังนั้นสารละลายด่างจึงสามารถเป็นตัวทำละลายสารชี้ได้ เช่น กัน ซึ่งความเสียหายของสารชี้จะเกิดจากสารละลายด่างจะทำให้เกิดการเคลื่อนย้ายแอมิโนโลสที่มีน้ำหนักโมเลกุลสูง (high molecular weight) ออกจากเม็ดสารชี้ (Chiou *et al.*, 2002)

การแยกสกัดสารชี้จากข้าวนั้นยากกว่าการแยกสกัดสารชี้จากข้าวโพด หรือข้าวสาลี เพราะสารชี้ข้าวจะปฏิสัมพันธ์ (association) กับโปรตีนบอดีของโพรามิน (protein body I) และกลูเทลิน (protein body II) การที่กลูเทลินในแป้งข้าวละลายได้ยากมากเนื่องจากพันธะไฮดร็อฟบิกกับพันธะไดซัลไฟด์ นอกจากนี้รูปแบบของสารประกอบที่มีน้ำหนักโมเลกุลสูงมีส่วนทำให้กลูเทลินละลายยากได้ยาก และทางเดียวที่จะทำละลายกลูเทลินได้คือ การใช้สารละลายที่มีความเป็นกรด-เบสที่ต่ำกว่า 3 หรือสูงกว่า 10 แต่สารชี้ข้าวจะมีความบริสุทธิ์สูงเมื่อใช้สารละลายที่เป็นด่าง สารลดแรงดึงดูด (surfactants) และการใช้ออนโซเมิร์ฟโปรตีอสในการย่อยโปรตีน ซึ่งการสกัด

โดยวิธีการ ใช้สารละลายด่างน้ำจะมีความบริสุทธิ์สูงที่สุด และคุณสมบัติของสาร์ชที่สกัดด้วยวิธีการใช้ด่าง จะมีค่าอุณหภูมิของความหนืด (pasting temperature) และมีค่าความหนืดสูงสุด (peak viscosity) ต่ำกว่าสาร์ชที่ผ่านการไม่เปียกทางการค้า การใช้โซเดียมไฮดรอกไซด์ เป็นสารละลายด่าง ซึ่งอาจจะเกิดการออกซิไดซ์กับไขมันบางส่วน และส่งเสริมทำให้เกิดกลิ่นที่ไม่ดี (off-odor) ในสาร์ช สาร์ชข้าวที่สกัดได้จากโซเดียมไฮดรอกไซด์ 0.1 เปอร์เซ็นต์ (น้ำหนักต่อปริมาตร) มีระดับของปริมาณไขมันทั้งหมด และไลโซฟอสโฟลิพิด (lysophospholipids) ลดลง แต่มีระดับของกรดไขมันอิสระ (free fatty acid) เพิ่มขึ้น แต่มีโปรตีนที่แตกตัวและเปปไทด์ที่ได้จากสกัดสาร์ชข้าวลดลง วิธีนี้จะไม่ทำลายโครงสร้างส่วนที่เป็นผลึกของเม็ดสาร์ช (Wang and Wang, 2001; Han and Hamaker, 2002) และไม่พบการ depolymerization ของโมเลกุลสาร์ชสาลีที่สกัดด้วยด่าง (Han and Hamaker, 2002)

1.2 การใช้สารลดแรงตึงผิว (surfactants) นิยมใช้ sodium dodecyl sulfate (SDS) dodecyl benzene sulfonate (DBS) และ sodium lauryl sulfate (SLS) ซึ่งเป็นสารที่ใช้โดยทั่วไปในการแยกสกัดโปรตีนออกจากเนื้อของเมล็ดข้าว (endosperm) ตัวทำละลายเหล่านี้จะทำลายบางส่วนของโครงสร้างโปรตีน (oligomeric protein structure) และแปรสภาพโปรตีนเหล่านั้นให้อยู่ในรูปที่สามารถถูกคลายได้ (Cagampange *et al.*, 1966) ด้วยเหตุนี้สารลดแรงตึงผิวจึงจะไม่สามารถจัดโปรตีนออกได้อย่างสมบูรณ์ (Cone and Wolters, 1990) Juliano and Boulter (1976) ได้รายงานว่า การใช้โซเดียมไฮดรอกไซด์ที่ความเข้มข้น 0.1 N และสารละลาย SDS ที่ความเข้มข้น 0.5 เปอร์เซ็นต์ สามารถแยกสกัดโปรตีนได้ถึง 94-98 เปอร์เซ็นต์ นอกจากนี้ Kun *et al.* (1987) ได้ใช้สารลดแรงตึงผิว SDS ในการแยกโปรตีนร่างแหออกจากสาร์ชข้าวได้ผลได้ประมาณ 88 เปอร์เซ็นต์ และมีปริมาณโปรตีนที่เหลืออยู่ประมาณ 1.6 เปอร์เซ็นต์ (Wang and Wang, 2004b) มีผลต่ออุณหภูมิการเกิดเจลาทินซ์ ความหนืดน้ำแข็งสูง และมีผลให้ความชุนของสาร์ชเพลสลงข้อเดียวกัน ยังคงมีปัญหารื่องน้ำเสีย (Puchongkavarin *et al.*, 2005)

1.3 การใช้เอนไซม์โปรตีอส (protease; proteolytic enzyme) ในการแยกสกัดสาร์ช โดยเอนไซม์โปรตีอส ซึ่งเป็นเอนไซม์โปรตีอส (endo-proteas) และมีหน้าที่ในการตัดพันธะเปปไทด์จากภายในของโมเลกุลโปรตีน เอนไซม์โปรตีอสสามารถทำให้โปรตีนละลายน้ำ และย่อยโปรตีนจนได้เป็นสารประกอบที่มีกรดอะมิโน 2 ตัว การใช้เอนไซม์ในการสกัดสามารถใช้ได้ทั้งสภาวะที่เป็นกลางและสภาวะที่เป็นด่าง แต่ในสภาวะที่มีความเป็นกรด-เบสที่เป็นกลาง (ความเป็นกรด-เบสเท่ากับ 7) ต้องใช้เวลานานในการสกัด (ประมาณ 24 ชั่วโมง) ที่อุณหภูมิ 38 องศาเซลเซียส และนอกจากจะใช้เวลานานแล้วยังเป็นการเพิ่มต้นทุนการผลิตในอุตสาหกรรมอีกด้วย เนื่องจากเอนไซม์

มีราคาสูง จากการทดลองของ Lumdubwong and Seib (2000) ได้ทำการเปรียบเทียบต้นทุนราคากองกระบวนการผลิตสารารช ระหว่างกระบวนการผลิตโดยใช้อ่อนไชม์กับกระบวนการผลิตโดยใช้สารละลายค่าง พนว่า การกระบวนการผลิตที่ใช้อ่อนไชม์นั้นมีต้นทุนการผลิตสูงกว่ากระบวนการผลิตโดยใช้สารละลายค่างมากถึง 2.63 เท่า แม้ว่าความนิสัยของสารารชจะสูงกว่าวิธีการใช้สารละลายค่างประมาณ 24 เปอร์เซ็นต์ โดยไม่ทำให้เกิดการเปลี่ยนแปลงโครงสร้างผลึก (crystallinity) ของสารารชข้าว (โครงสร้างแบบอ่อน) แต่จะมีค่า x-ray crystallinity ที่ดีกว่าสารารชข้าวที่ได้จากการแยกสักด้วยสารลดแรงตึงผิวเล็กน้อย (Lugay and Juliano, 1965) และสีของสารารชที่ได้จากการสักด้วยอ่อนไชม์จะมีความขาวและสว่างกว่าวิธีการใช้สารละลายค่าง (Lumdubwong and Seib, 2000) นอกจากนี้พบว่าการนำอ่อนไชม์ไปรตีอ่อนมาใช้ร่วมกับสารละลายค่าง ในการแยกสักด้วยอ่อนไชม์จะมีความขาวและสว่างกว่าวิธีการใช้สารละลายค่าง (Lumdubwong and Seib, 2000) นอกจากนี้พบว่าการนำอ่อนไชม์ไปรตีอ่อนมาใช้ร่วมกับสารละลายค่าง ในการแยกสักด้วยอ่อนไชม์จะมีความขาวและสว่างกว่าวิธีการใช้สารละลายค่าง (Lumdubwong and Seib, 2000) โดยการใช้ไปรตีอ่อนสักด้วยสารละลายค่างที่ความเป็นกรด-เบส เท่ากับ 7.5 เป็นเวลา 6 ชั่วโมง ที่อุณหภูมิประมาณ 37 องศาเซลเซียส ใน การแยกสักด้วยอ่อนไชม์ ทำให้ได้ผลได้ของสารารชข้าวอ่อน 78 เปอร์เซ็นต์ และมีไปรตีนที่เหลืออยู่ประมาณ 1.1 เปอร์เซ็นต์ (Lim *et al.*, 1992; Lumdubwong and Seib, 2000) โดยการใช้ไปรตีอ่อนสักด้วยสารละลายค่างที่ความเป็นกรด-เบส เท่ากับ 7.5 เป็นเวลา 6 ชั่วโมง ที่อุณหภูมิประมาณ 37 องศาเซลเซียส ใน การแยกสักด้วยอ่อนไชม์ ทำให้ได้ผลได้ของสารารชข้าวอ่อน 78 เปอร์เซ็นต์ และมีไปรตีนที่เหลืออยู่ประมาณ 1.1 เปอร์เซ็นต์ (Lim *et al.*, 1992) ในการประยุกต์ใช้อ่อนไชม์กับสารละลายค่างเพื่อกระบวนการผลิตในอุตสาหกรรมการสักด้วยสารารชข้าว โดยมีสภาวะที่ใช้ในการผลิตคือที่ความเป็นกรด-เบส เท่ากับ 10 เป็นเวลา 12 ชั่วโมง อุณหภูมิ 55 องศาเซลเซียส ทำให้ได้ผลได้ของสารารชประมาณ 95 เปอร์เซ็นต์ และมีปริมาณไปรตีนที่เหลืออยู่ประมาณ 0.52 เปอร์เซ็นต์ มีสารารชที่เสียหายประมาณ 2.1 เปอร์เซ็นต์ แต่การใช้สารละลายค่างที่ความเป็นกรด-เบส เท่ากับ 10 นั้น ยังคงทำให้เกิดน้ำทึบที่ต้องนำบัดอีกเป็นจำนวนมาก (Wang and Wang, 2001) ดังนั้น Wang and Wang (2001) จึงได้ทำการศึกษาความแตกต่างของสภาวะระหว่างการใช้อ่อนไชม์ที่สภาวะความเป็นกรด-เบส ที่เป็นกรด เป็นกลาง และสภาวะที่เป็นด่าง และการใช้อ่อนไชม์ในสภาวะที่เป็นกลาง (มีความเป็นกรด-เบส เท่ากับ 6.5) นั้น ใช้เวลาสักด้วยไชม์ 18 ชั่วโมง โดยทำการย่อยที่อุณหภูมิ 50 องศาเซลเซียส ซึ่งวิธีนี้จะทำให้ได้ผลได้สูงกว่า และมีปริมาณสารารชที่เสียหายน้อยกว่าสารารชที่สักด้วยวิธีทางเคมี แต่การใช้อ่อนไชม์ในสภาวะที่เป็นกลางจะมีปริมาณไปรตีนที่เหลืออยู่ใกล้เคียงกับสารารชที่สักด้วยวิธีทางเคมี ดังนั้น การผลิตสารารชด้วยวิธีนี้สามารถพัฒนากระบวนการผลิตให้มีผลได้ที่สูงขึ้น และปราศจากน้ำเสียที่มีความเข้มข้นของค่าง และเกลือสูง ภายหลังกระบวนการผลิต แต่ยังต้องมีการปรับปรุงในเรื่องระยะเวลาในการสักด้วยสารารชที่เป็นกรด เวลาที่นานเกินไปอาจทำให้เกิดปัญหาเรื่องการเน่าเสียของแป้งได้ และเมื่อไม่นานมานี้ Puchongkavarin *et al.* (2005) ได้นำอ่อนไชม์เซลลูโลสมาใช้ในช่วงเริ่มต้นของการสักด้วยสารารชที่มีสภาวะที่เป็นกรดเล็กน้อยเพื่อย่อยเนื้อเยื่อผนังเซลล์ ตามด้วยอ่อนไชม์ไปรตีอ่อน ภายใต้สภาวะที่เป็นกลาง เพื่อทำให้ไปรตีนบดี ที่มีปฏิสัมพันธ์ (association) กับเม็ดสารารชหลุดออก ในการสักด้วยไชม์

โปรตีอส พบว่า การใช้โปรตีอสจะมีปริมาณของสตาร์ชที่ได้ประมาณ 76 เปอร์เซ็นต์ และมีปริมาณโปรตีนที่เหลืออยู่ประมาณ 0.6 เปอร์เซ็นต์

1.4 การตกรดกอนสตาร์ช (purification by precipitation) โดยวิธีนี้จะใช้สารละลายน้ำมันในการทำลายผนังเซลล์ให้แตกออก เพื่อให้ไขมันออกมานอกเซลล์ จากนั้นจะใช้เอทานอล (ethanol) และโซตัน (acetone) และ ไดเอทิล อีเทอร์ (diethyl ether) ในการตกรดกอนสตาร์ช แต่ วิธีนี้ไม่สามารถที่จะสกัดโปรตีนออกมายได้หมด และทำให้เกิดการเปลี่ยนแปลงโครงสร้างของเม็ดสตาร์ช (Matheson and Welsh, 1988)

## 2. การสกัดสตาร์ชด้วยวิธีทางกายภาพ (physical methods)

เป็นการใช้แรงเนื้อน้ำหนักเพื่อแยกโปรตีนออก แต่วิธีการนี้ได้สตาร์ชที่มีความบริสุทธิ์สูงกว่าวิธีอื่น แต่ไม่มีปัญหาเรื่องน้ำเสียเหมือนการใช้สารเคมีในการสกัด วิธีเหล่านี้ได้แก่

2.1 การไฮโนจีไนเชชันด้วยความดันสูง high-pressure homogenization (micro fluidizer) โดยอาศัยหลักการในการแยกไขมันเลกุลของโปรตีนออกจากสตาร์ชข้าวด้วยแรงดันสูง (14503.78 kPa) แบ่งข้าวที่ผ่านเข้าหัวไฮโนจีไนเชชัน จะเกิดการแยกออกของไขมันเลกุล โปรตีน ที่ผิวสตาร์ชเม็ดสตาร์ช วิธีนี้มีผลได้ประมาณ 72 เปอร์เซ็นต์ มีโปรตีนเหลืออยู่ประมาณ 2.7 เปอร์เซ็นต์ และเกิดสตาร์ชเสียหายประมาณ 5.3 เปอร์เซ็นต์ (Guraya and James, 2002)

2.2 การใช้ HIU ในการแยกสตาร์ช ซึ่งเป็นอีกวิธีหนึ่งที่ใช้ในการแยกสตาร์ชข้าว โดย ปราศจากการใช้สารเคมีที่ทำให้เกิดน้ำเสีย การใช้ HIU ช่วยในการสกัดโปรตีน จะช่วยเพิ่ม ความสามารถในการละลายของโปรตีน (Morel *et al.*, 2000; Moulton and Wang, 1982; Wang, 1975) แต่จะมีผลทำให้น้ำหนักไขมันเลกุลของโปรตีนที่สกัดได้ลดลง (Morel *et al.*, 2000)

Tang *et al.* (2002) ได้ทำการสกัดโปรตีนจากรำข้าว โดยใช้วิธีทางกายภาพเพื่อลดปริมาณ การใช้สารละลายด่างในการสกัดโปรตีน โดยเลือกใช้ HIU (20 % output, output energy of 40W) เป็นเวลา 5 นาที และสามารถสกัดโปรตีนจากรำข้าวได้ประมาณ 15 เปอร์เซ็นต์

Wang and Wang (2004b) ได้นำ HIU มาใช้ในศึกษาการสกัดสตาร์ชข้าวเจ้าเพื่อลด ระยะเวลาในการแยกสกัดสตาร์ชข้าว โดยใช้แบ่งข้าว 100 กรัม ละลายในน้ำ 200 กรัม นำมาผ่าน

คลื่นเสียงที่มีความถี่สูง (20 กิโลเฮิรตซ์) ที่ 75 เปอร์เซ็นต์แอมพลิจูด เป็นเวลา 30 นาที พบว่า ทำให้ได้ผลได้ของสารซัพเพร์มาณ 78 เปอร์เซ็นต์ มีโปรตีนเหลืองอยู่ประมาณ 0.9-1.7 เปอร์เซ็นต์ และเกิดสารซัพเพร์มาณ 3.1-3.5 เปอร์เซ็นต์ แต่เมื่อนำ HIU มาใช้ร่วมกับสารลดแรงตึงผิว (surfactants) (sodium dodecyl sulfate, SDS) ที่ความเข้มข้น 0.5 เปอร์เซ็นต์ ซึ่งทำให้ได้ผลได้ของสารซัพเพร์มาณ 85 เปอร์เซ็นต์ มีโปรตีนที่เหลืองอยู่ประมาณ 0.2 เปอร์เซ็นต์ และเกิดสารซัพเพร์มาณ 3.1 เปอร์เซ็นต์

นอกจากนี้ Wang and Wang (2004a) ยังได้ทำการศึกษาวิธีสกัดสารซัพเพร์มาณ โดยใช้โปรดีเจส ที่ความเข้มข้น 0.01 0.03 และ 0.05 เปอร์เซ็นต์ ร่วมกับการใช้ HIU (20 กิโลเฮิรตซ์) ที่ 25 50 และ 75 เปอร์เซ็นต์แอมพลิจูด เป็นเวลา 15 30 และ 60 นาที เพื่อลดระยะเวลาในการสกัดสารซัพเพร์มาณ พบว่า การใช้โปรดีเจสเพียงอย่างเดียว จะได้ผลได้ของสารซัพเพร์มาณ 62.5-71.8 เปอร์เซ็นต์ มีปริมาณโปรตีนที่เหลืองอยู่ประมาณ 0.53-0.88 เปอร์เซ็นต์ และมีสารซัพเพร์มาณ 0.99-1.81 เปอร์เซ็นต์ วิธีการสกัดสารซัพเพร์มาณ โดยใช้โปรดีเจสร่วมกับการใช้ HIU นั้นทำให้ได้ผลได้ของสารซัพเพร์มาณ ที่สูงขึ้น ซึ่งมีค่าประมาณ 79.8-86.7 เปอร์เซ็นต์ กับปริมาณสารซัพเพร์มาณ ที่เหลืองอยู่ประมาณ 0.5-0.96 เปอร์เซ็นต์ และมีสารซัพเพร์มาณ ที่เสียหาย 0.98-1.87 เปอร์เซ็นต์ โดยมีสภาวะในการสกัดที่ดีที่สุดคือ การย่อยด้วยโปรดีเจสเข้มข้น 0.03 เปอร์เซ็นต์ เป็นเวลา 2 ชั่วโมง ก่อนแล้วตามด้วยการใช้ HIU ที่ 75 หรือ 50 เปอร์เซ็นต์แอมพลิจูด เป็นเวลา 15 หรือ 30 นาที

Zhang *et al.* (2005) ได้มีการนำ การใช้คลื่นเสียงที่มีความถี่สูงมาใช้ในการสกัดสารซัพเพร์มาณ โดยใช้ชัลเฟอร์ไดออกไซด์ พบร่วมกับสารซัพเพร์มาณ ที่ได้จากการไม่เปียกที่สกัดด้วย HIU จะมีผลได้ (66.93-68.72 เปอร์เซ็นต์) ที่ใกล้เคียงกับสารซัพเพร์มาณ ที่ไม่เปียกโดยใช้ชัลเฟอร์ไดออกไซด์ (68.92 เปอร์เซ็นต์) เพื่อสกัดโปรดีนแม่ทริกซ์ออก และเมื่อนำสารซัพเพร์มาณ ที่ได้จากการไม่เปียกแล้วสกัดด้วย HIU มาเปรียบเทียบกับสารซัพเพร์มาณ ที่ไม่โดยไม่เติมชัลเฟอร์ไดออกไซด์ พบร่วมกับสารซัพเพร์มาณ ที่ได้จากการสกัดด้วย HIU จะทำให้สามารถลดการใช้สารเคมีในการผลิตสารซัพเพร์มาณ ที่ดี ดังนั้น การสกัดด้วยการไม่เปียกร่วมกับ HIU จะทำให้สามารถลดการใช้สารเคมีในการผลิตสารซัพเพร์มาณ ที่ดี

## คลื่นเสียงความอิสุจ (high-intensity ultrasound, HIU)

### 1. คลื่น (waves)

คลื่นเกิดจากการรับกวน ซึ่งการรับกวนนั้นจะเคลื่อนที่หรือแผ่ออกจากจุดหนึ่งไปยังอีกจุดหนึ่ง เรียกว่าการเคลื่อนที่ การเคลื่อนที่ของคลื่นอาจใช้ตัวกลางหรือไม่ก็ได้ การสั่นของตัวกลาง ทำให้คลื่นเคลื่อนที่ผ่านไปด้วยความเร็วที่ขึ้นอยู่กับชนิดของตัวกลางนั้น (Serway, 1991) การเคลื่อนที่ของคลื่นจะมีการถ่ายทอดพลังงานจากแหล่งกำเนิดไปยังตำแหน่งที่คลื่นเคลื่อนที่ไปถึง ทำให้คลื่นสามารถทำงานได้ การจำแนกคลื่น สามารถจำแนกได้หลายวิธีขึ้นอยู่กับว่าจะพิจารณาโดยวิธีใด เช่น ถ้าพิจารณาที่การเคลื่อนที่ของตัวกลาง จะแบ่งออกได้เป็น 2 ชนิด คือ คลื่นตามยาว (longitudinal wave) และคลื่นตามขวาง (transverse wave) (Giancoli, 1991) คลื่นตามยาว เกิดขึ้นเมื่อมีอนุภาคของตัวกลางสั่นในแนวเดียวกับทิศทางการเคลื่อนที่ของคลื่น เช่น คลื่นเสียง คลื่นสปริง คลื่นในเส้นเชือก เป็นต้น คลื่นตามขวาง เป็นคลื่นที่อนุภาคของตัวกลางจะสั่นไปในทิศทางตั้งฉากกับทิศทางการเคลื่อนที่ของคลื่น เช่น คลื่นน้ำ ถ้าพิจารณาความจำเป็นของการใช้ตัวกลางในการเคลื่อนที่จะแบ่งคลื่นออกเป็น 2 ชนิด คือ คลื่นกล (mechanical wave) และคลื่นแม่เหล็กไฟฟ้า (electromagnetic wave) คลื่นกล เป็นคลื่นที่ต้องใช้ตัวกลางในการเคลื่อนที่ เช่น คลื่นเสียง คลื่นน้ำ เป็นต้น ส่วนคลื่นแม่เหล็กไฟฟ้าเป็นคลื่นที่ไม่จำเป็นต้องอาศัยตัวกลางในการเคลื่อนที่ สามารถเคลื่อนที่ได้ในสูญญากาศ เช่นแสง เป็นต้น (Breithaupta, 1999)

คลื่นจะส่งผ่านพลังงานจากที่หนึ่งไปยังอีกที่หนึ่งเมื่อเคลื่อนที่ผ่านตัวกลาง พลังงานนี้เกิดจากการสั่นของตัวกลางที่เคลื่อนที่ผ่าน โดยมีพลังงานเป็น  $E = \frac{1}{2} kx_0^2$

เมื่อ  $x_0$  เป็นแอนเพลวิจุดของการเคลื่อนที่  
 $k$  มีค่าเป็น  $4\pi^2 m f^2$  ทั้งคลื่นตามยาวและคลื่นตามขวาง  
 $m$  เป็นมวลของคลื่น

ดังนั้นกำลังของคลื่น (พลังงานต่อหน่วยเวลา, P) จะมีค่าเป็น

$$P = 2\pi^2 \rho A V f^2 x_0^2$$

เมื่อ  $f$  เป็นความถี่ของคลื่น  
 $\rho$  เป็นความหนาแน่นของตัวกลาง

A เป็นพื้นที่ภาคตัดขวางที่คลื่นเคลื่อนที่ผ่าน

V เป็นอัตราเร็วของคลื่น (Giancoli, 1991)

## 2. ความเข้มของเสียง (sound intensity, I)

ในขณะที่เสียงเคลื่อนที่ จะมีการถ่ายทอดพลังงานไปให้กับวัตถุที่เสียงตกกระทบ โดยอัตราการถ่ายทอดพลังงานของเสียง ต่อพื้นที่ที่ตั้งฉากกับทิศการเคลื่อนที่ของเสียง เรียกว่า ความเข้มเสียง (intensity) หรืออาจกล่าวได้ว่า ความเข้มเสียง หมายถึง กำลังของเสียงจากแหล่งกำเนิดที่ตกกระทบบนพื้นที่ 1 ตารางหน่วยในแนวตั้งจากที่พิจารณาเนื่องจากเสียงแผ่ออกทุกทิศทาง ดังนั้นพื้นที่เสียงตกกระทบ ก็คือ  $A = 4\pi r^2$  จะได้ (ปริยา, 2550)

$$I = \frac{P}{A} = \frac{P}{4\pi r^2}$$

โดยที่ I แทนความเข้มเสียง มีหน่วยเป็นวัตต์ต่อตารางเมตร ( $\text{W/m}^2$ )

P แทนกำลังของแหล่งกำเนิดเสียง มีหน่วยเป็นวัตต์ (W)

A แทนพื้นที่ที่เสียงตกกระทบ มีหน่วยเป็นตารางเมตร ( $\text{m}^2$ )

ความเข้มของเสียง และระดับความเข้มเสียง เป็นตัวบ่งบอกความดังของเสียง เสียงดังแสดงว่า  $I_{\text{มาก}}$  เกิดจาก  $P_{\text{มาก}}$  และ  $r_{\text{น้อย}}$  และเสียงค่อนข้างดัง  $I_{\text{น้อย}}$  อาจเกิดจาก  $P_{\text{น้อย}}$  และ  $r_{\text{มาก}}$  นอกจากเสียงดัง และเสียงค่อนข้างดังจะขึ้นอยู่กับ  $r$  และ  $P$  แล้ว ยังขึ้นอยู่กับแอมเพลิจูด (A) ของความดันด้วย กล่าวคือ แอมเพลิจูดน้อยพลังงานต่ำ แอมเพลิจูดมากพลังงานสูง เสียงดังสุดที่คนฟังได้ 1 วัตต์ต่อตารางเมตร และเสียงค่อนข้างดังสุดที่คนรับฟังได้  $10^{-12}$  วัตต์ต่อตารางเมตร (พิสิกส์ราชมงคล, 2550)

## 3. ความถี่ของคลื่นเสียง (frequency of waves, f)

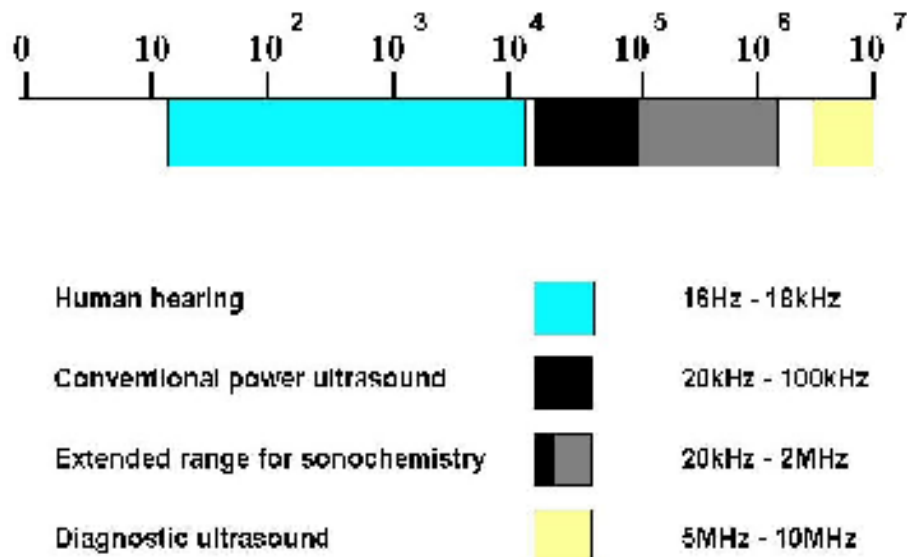
ความถี่ของคลื่นเสียงจะเป็นตัวกำหนดระดับสูงต่ำของ เสียง คลื่นเสียงที่มีความถี่สูงจะทำให้เกิดเสียงต่ำ สำหรับคลื่นเสียงที่มีความถี่ต่ำ จะทำให้เกิดเสียงสูง โดยปกติหูของคนเราจะได้ยินเสียงความถี่ในช่วง 20-20,000 (16-18,000) เฮิรตซ์ คลื่นเสียงที่มีความถี่ต่ำกว่า 20 เฮิรตซ์ เรียกว่า อิฟราโซนิก (infrasonics waves) จะมีความยาวคลื่นมาก เป็นเสียงที่หูคนปกติไม่ได้ยิน เกิดจากการสั่นของตัวกำเนิดเสียงขนาดใหญ่ คลื่นเสียงที่มีความถี่สูงกว่า 20,000 เฮิรตซ์ เรียกว่า คลื่นอัลตร้าโซนิกส์ (ultrasonics waves) หรือ HIU มีความยาวคลื่นน้อย เมื่อผ่านช่องแคบๆ จะเลี้ยวเบนได้น้อย

และสามารถบีบให้เป็นลำเดือกๆ ที่มีพลังงานสูง จึงสามารถส่งไปได้ไกลกว่าเสียงธรรมชาติ (ศิริโรม์, 2550; Berg and Stork, 1996)

การนำอัลตราโซนิก (ultrasonic) หรือมาใช้ในอุตสาหกรรมอาหาร เป็นหัวข้อที่มีการค้นคว้าและพัฒนามาหลายปีแล้ว โดยมีการศึกษาเกี่ยวกับระดับของเสียง (sound ranges) ซึ่งสามารถแบ่งออกได้ตามพาวเวอร์อัลตราชาวด์ (power ultrasound) (ภาพที่ 7) ในอุตสาหกรรมอาหารมีการนำ HIU มาประยุกต์ใช้กันอย่างแพร่หลาย ซึ่งในกระบวนการผลิตอาหาร ความแรงของเสียงจะเป็นสาเหตุทำให้เกิดการเกิดฟองอากาศในของเหลว (cavitation) ซึ่งเป็นปรากฏการณ์สำคัญในการนำ HIU ไปประยุกต์ใช้เนื่องจากจะไปมีผลต่อพิวของวัสดุและไปมีผลต่อการเร่งหรือลดปฏิกิริยาของสารเคมี ความถี่ของคลื่นเสียงที่มีการนำมาใช้ส่วนมากถูกกำหนดอยู่ในช่วง 20-40 กิโลเฮิรตซ์ โดยปกติช่วงที่ถูกนำมาใช้มากคือ พาวเวอร์อัลตราชาวด์ ซึ่งถูกนำมาใช้ในการทำความสะอาดผิววัสดุ การทำให้เซลล์แตก เป็นต้น

#### 4. การเกิดคลื่นอัลตราโซนิก

การเกิดคลื่น HIU หรือ อัลตราโซนิก ทำได้โดยการเปลี่ยนแปลงพลังงานไฟฟ้าเป็นพลังงานคลื่นอัลตราโซนิก โดยใช้ทรานซ์ดิวเซอร์ (transducer) ซึ่งเป็นส่วนประกอบของตะกั่ว titanate-zirconate โโคเนต (lead titanate zirconate) หรือเป็นผลึกของแบนเรียมติตานเนต เมื่อต่อผลึกนี้เข้ากับวงจรอลีกทรอนิกส์ ที่มีการป้อนความต่างศักย์เป็นจังหวะเข้าไป จะทำให้ผลึกเกิดการสั่นออกม้าด้วยความถี่คลื่นอัลตราโซนิก จะมีค่าอยู่ระหว่าง 1.0 วัตต์ต่อตารางเซนติเมตร (ความถี่ 20 กิโลเฮิรตซ์) ถึง  $10^5$  วัตต์ต่อตารางเซนติเมตร (ความถี่ 1 เมกะเฮิรตซ์) โดยช่วงความถี่ระหว่าง 20 กิโลเฮิรตซ์ ถึง 100 กิโลเฮิรตซ์ ความเข้มของคลื่นอัลตราโซนิก จะมีค่าความเข้มข้นอยู่ระหว่าง 1.0 ถึง 10 วัตต์ต่อตารางเซนติเมตร แต่ความถี่ที่สูงกว่า 100 กิโลเฮิรตซ์ ซึ่งไปความเข้มของคลื่นอัลตราโซนิกจะมีค่าเพิ่มสูงขึ้นอย่างรวดเร็ว (Wolfson, 1995)



ภาพที่ 7 ช่วงความถี่ของคลื่นเสียง

ที่มา: Prosonix Co., Ltd., 2007

## 5. ชนิดของคลื่นอัลตราโซนิกหรือคลื่นเสียงความถี่สูง

เครื่องอัลตราโซนิกที่นำมาใช้มากในอุตสาหกรรมอาหาร จะมีความแตกต่างกันไปตามการออกแบบ ของตัวกำเนิดพลังงาน ไฟฟ้า อุปกรณ์อัลตราโซนิกที่ใช้ในการทำให้เกิดอัลตราโซนิก โดยอัลตราโซนิกที่นิยมใช้ในการอาหาร มีอยู่สองชนิดคือ เครื่องอัลตราโซนิกแบบอ่าง (ultrasonic baths) และเครื่องอัลตราโซนิกแบบหัวโพรง (ultrasonic probe)

5.1 เครื่องอัลตราโซนิกแบบอ่าง (ultrasonic baths) ปัจจุบันได้มีการนำเครื่องอัลตราโซนิก แบบอ่างมาใช้เป็นจำนวนมากในห้องปฏิบัติการ เนื่องจากสะดวก หาจ่าย มีขนาดค่อนข้างใหญ่ และ มีราคาถูกกว่า แบบหัวโพรง โดยทั่วไปฐานซึ่งเชื่อมขึ้นอยู่กับขนาดของแท็งก์ และ ส่วนมากอัลตราโซนิก แบบอ่างจะทำงานอยู่ที่ 40 กิโลเฮรตซ์ ดังนั้น อัลตราโซนิกแบบอ่างจึงมีความแรงสูง (high intensity) เท่ากันโดยตลอดความลึกของอ่าง ดังภาพที่ 8



ภาพที่ 8 เครื่อง HIU หรือคลีนอัลตราโซนิกแบบอ่าง

ที่มา : Rampantapathy Co., Ltd., 2007

5.2 เครื่องอัลตราโซนิกแบบหัวโพรบ (Ultrasonic probe) การขยายพลังงานเสียงที่กำเนิดจากทรานซ์ดิวเซอร์ โดยทั่วไปทรานซ์ดิวเซอร์จะต่ออยู่กับโพรบดังภาพที่ 9 รูปแบบของโพรบแต่ละแบบ จะส่งผลให้มีความสามารถในการขยายคลื่นเสียง ได้แตกต่างกัน แอมพลิจูดที่เกิดขึ้นจากระบบขึ้นอยู่กับรูปร่างของโพรบ ในการใช้เครื่องอัลตราโซนิกแบบหัวโพรบควรระมัดระวังไม่ให้หัวโพรบ เกิดความเสียหายจากความเครียดภายใน (internal stress)

ลักษณะของวัสดุที่ใช้ประกอบเป็นตัวทรานซ์ดิวเซอร์และหัวโพรบ จะต้องเป็นวัสดุที่สามารถส่งผ่านการสั่นสะเทือนได้ดี และต้องเป็นวัสดุที่ทนต่อการเสียหายจากแรงกล วัสดุที่ใช้ได้แก่ ไ���ทาเนียม และอะลูมิเนียมอัลลอย บริเวณพื้นที่ที่ทำให้เกิดแรงสั่นสะเทือน ขึ้นอยู่กับขนาดของโพรบ และภาชนะที่ใช้บรรจุสารตัวอย่าง



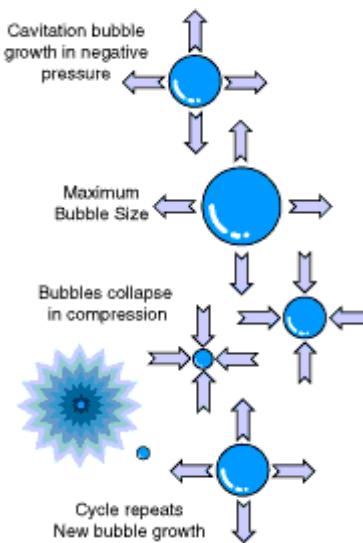
ภาพที่ 9 เครื่องอัลตราโซนิกแบบหัวไประบ

ที่มา : Bio-polymer Lab, 2008

## 6. การเกิดฟองอากาศในของเหลว (cavitation) และการระเบิด (implosion)

คลื่นเสียงที่เคลื่อนที่แบบสั่นผ่านในตัวกล่างอย่างต่อเนื่อง จะทำให้เกิดการแพร่กระจายของคลื่นในตัวกล่าง และถ่ายเทพลังงาน โดยไม่มีการถ่ายเทมวล ซึ่งความเร็วในการแพร่จะขึ้นอยู่กับสมบัติทางกายภาพของตัวกล่าง เช่น เมื่อเกิดการถ่ายเทพลังงานอย่างต่อเนื่อง ในตัวกล่างที่เป็นน้ำ จะเกิดการสั่นสะเทือนของอนุภาค และเมื่อมีอนุภาคของของเหลวได้รับพลังงานเพิ่มขึ้น จำนวนมาก พอก็จะทำให้ของเหลวเกิดการแตกตัวและเกิดฟองอากาศขึ้น ปรากฏการณ์นี้เรียกว่า การเกิดอากาศในของเหลว (cavitation) และในขณะที่คลื่นเสียงเดินทางผ่านของเหลว ฟองอากาศที่เกิดขึ้นจะมีการขยายและหดตัว กลับไปกลับมาเป็นจังหวะ และเมื่อมันขยายตัวจนมีขนาดที่ไม่เสถียรภาพ มันจะเกิดการระเบิด ซึ่งเรียกการระเบิดนี้ว่า implosion (ภาพที่ 10) การระเบิดนี้อาจทำให้เกิด shock wave ขึ้น ได้ถ้าในของเหลวเกิดฟองอากาศจำนวนมาก และถูกกระตุ้นด้วย อัลตราโซนิกหรือ HIU ให้เกิดการ

ระเบิดพร้อมๆ กัน จะทำให้เกิดความดันที่สูงกว่า 10,000 ปอนด์ต่อตารางนิว และอุณหภูมิที่สูงกว่า 10,000 องศา Fahrern ไช ณ จุดที่เกิดการระเบิด (ศิริโตรตม์, 2550; Wang and Wang, 2004a; Knorr, 2004; Moholkar and Pandit, 2001; Moholkar *et al.*, 1999) ดังนั้นการเกิดฟองอากาศในของเหลว และการระเบิดของฟองอากาศในของเหลวนั้น จะทำให้เกิดความดันไอยที่มีผลต่อการกำลایของผิว วัสดุต่างๆ หรือผนังเซลล์ของจุลินทรีย์ได้ (Mason, 1990)



ภาพที่ 10 การแตกตัวของฟองอากาศในของเหลว

ที่มา : Variclean Benelux b.v., 2007a

## 7. ประโยชน์ของการใช้คลื่นเสียงในกระบวนการทางอุตสาหกรรม ได้แก่

7.1 ช่วยในการสกัดสารต่างๆ ตัวอย่างเช่น การสกัดโปรตีนออกจากถั่วเหลืองที่ปราศจากไขมัน Wang (1975) ได้ทำการศึกษาพัฒนากระบวนการสกัดแบบต่อเนื่อง โดยการใช้ HIU ร่วมกับการวนคลอดเวลา (convention-stir) ด้วยน้ำ และโซเดียมไฮดรอกไซด์ เพิ่มขึ้น 1 นอร์มอล โดยมีสภาวะการใช้ HIU ที่ใช้ที่ 20 กิโลเอิร์ตซ์ โดยพลังงานที่ใช้ (output power) 125 วัตต์ พบร่วมกับประสิทธิภาพสูงกว่าการสกัดด้วยการวนแบบเดิม โดยการใช้ HIU กับน้ำในการสกัดโปรตีนได้ประมาณ 88 เปอร์เซ็นต์ ในขณะที่การใช้ HIU กับสารละลายค่างโปรตีนได้ประมาณ 95 เปอร์เซ็นต์

ส่วนโปรตีนที่สกัดได้จากการกรองแบบเดิมกับน้ำ และสารละลายน้ำนั้น จะได้ประมาณ 60 และ 91 เปอร์เซ็นต์ ตามลำดับ

Moulton and Wang (1982) ได้พัฒนาการสกัดโปรตีนจากเปลือกหอยห้องที่ปราศจากไขมัน โดยการนำ HIU มาประยุกต์ใช้ในโรงงานต้นแบบ (pilot plant) พบว่า กระบวนการสกัดนี้สามารถ นำมาใช้ในอุตสาหกรรมได้มีประสิทธิภาพดี โดยสภาวะที่ดีที่สุดในการสกัดด้วย HIU คือ ใช้ความถี่ 20 กิโลเฮิรตซ์ และพลังงานในการสกัด 550 วัตต์

Wang and Wang (2004b) ได้ศึกษาการสกัดสารชี้化เจ้าเพื่อลดระยะเวลาในการแยกสกัด สารชี้化เจ้า โดยใช้เปลือกหอย 100 กรัม กระจายในน้ำ 200 กรัม ผ่าน HIU (20 กิโลเฮิรตซ์) ที่ 75 เปอร์เซ็นต์แอมพลิจูด เป็นเวลา 30 นาที พบร่วมกับสารลดแรงตึงผิว (surfactants) (sodium dodecyl sulfate, SDS) ที่ความเข้มข้น 0.5 เปอร์เซ็นต์ ซึ่งทำให้ได้ผลได้ของสารชี้化เจ้าเพิ่มขึ้น คือมีประมาณ 85 เปอร์เซ็นต์ มีโปรตีนที่เหลืออยู่ประมาณ 0.2 เปอร์เซ็นต์ และเกิดสารชี้化เจ้าที่เสียหายประมาณ 3.1 เปอร์เซ็นต์

ในปี พ.ศ. 2005 Zhang *et al.* ได้นำ การใช้ HIU มาใช้ในการสกัดสารชี้化เจ้าโพด เพื่อลด ปริมาณการใช้ชัลเฟอร์ไคออกไซด์เพื่อฟอกขาวสารชี้化เจ้า พบว่าสารชี้化เจ้าโพดที่ได้จากการไม่เปียกที่ ผ่านการใช้ HIU จะให้มีผลได้ (66.93-68.72 เปอร์เซ็นต์) ที่ใกล้เคียงกับสารชี้化เจ้าโพดที่ผ่านการไม่เปียกโดยใช้ชัลเฟอร์ไคออกไซด์ (68.92 เปอร์เซ็นต์) เพื่อสกัดโปรตีนแม่ทริกซ์ออก และเมื่อนำมา เปรียบเทียบกับสารชี้化เจ้าโพดที่ผ่านการไม่โดยไม่เติมชัลเฟอร์ไคออกไซด์ พบว่า สารชี้化เจ้าที่ได้จากการ ใช้ HIU จะมีผลได้ และความขาวของสารชี้化เจ้าโพดสูงกว่า ดังนั้นการไม่ร่วมกับ HIU จะทำให้ สามารถลดการใช้สารเคมีในการผลิตสารชี้化เจ้าโพดได้ และยังพบว่าการใช้ HIU ทำให้มีแรงต้าน การกรองมากขึ้น สามารถเกิดเจลที่แข็งแรงมากหลังจากการทำให้เย็น ซึ่งเกิดจากการที่สารชี้化เจ้าเกิด ความเสียหาย เกิดการสึกกร่อน หรือเกิดหลุมที่ผิว ซึ่งสภาวะเหล่านี้อาจมีผลต่อการเปลี่ยนแปลง รูปทรงภายนอก (configuration) ของโครงสร้างเม็ดสารชี้化เจ้าเนื่องจากความร้อนและความดันสูงของ HIU

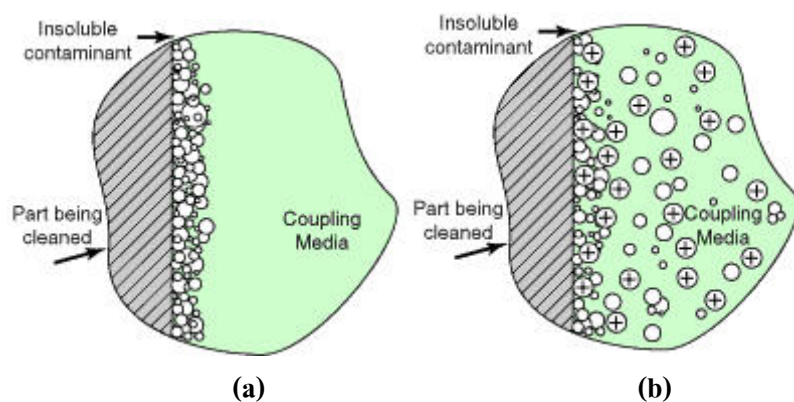
Wang and Wang (2004a) ได้ศึกษาการสกัดสารชี้化เจ้า เพื่อลดระยะเวลาในการแยกสกัด สารชี้化เจ้า โดยใช้เปลือกหอย 100 กรัม กระจายในน้ำ 200 กรัม สกัดด้วยอ่อนใช้มีโปรตีนเอสที่ความ

เพิ่มขึ้น 0.01 0.03 และ 0.05 เปอร์เซ็นต์ เป็นเวลา 2 ชั่วโมง พบว่า ทำให้มีผลได้ของสารชั้ประมาณ 62.5-71.8 เปอร์เซ็นต์ และมีโปรตีนที่เหลืออยู่ประมาณ 0.53-0.88 เปอร์เซ็นต์ และเกิดสารชั้ที่เสียหายประมาณ 0.99-1.81 เปอร์เซ็นต์ แต่เมื่อนำออกไชม์ที่ความเข้มข้น 0.03 เปอร์เซ็นต์ เป็นเวลา 2 ชั่วโมง มาสกัดร่วมกับ HIU (20 กิโลเมตริกซ์) ที่ 25 50 และ 75 เปอร์เซ็นต์แอมพลิจูด เป็นเวลา 15 30 และ 60 นาที พบว่ามีผลได้ของสารชั้ประมาณสูงขึ้น ประมาณ 79.8-86.7 เปอร์เซ็นต์ และมีโปรตีนที่เหลืออยู่ประมาณ 0.50-0.96 เปอร์เซ็นต์ และเกิดสารชั้ที่เสียหายประมาณ 0.98-1.87 เปอร์เซ็นต์ ที่ 50 เปอร์เซ็นต์แอมพลิจูด เมื่อเวลาเพิ่มขึ้น ระหว่างที่ย่อยด้วยเอนไซม์ สามารถปรับปรุงผลได้ของสารชั้จาก 83.9 ถึง 86.1 เปอร์เซ็นต์ และจะทำการแยกสกัดได้โดยใช้อ่อนไชม์ย่อยเป็นเวลา 2 ชั่วโมง ตามด้วยการใช้ HIU ที่ 75 หรือ 50 เปอร์เซ็นต์ เป็นเวลา 15 หรือ 30 ໂຄຮສ້າງຂອງสารชົງກວິເຄຣະທີ່ດ້ວຍ high performance size-exclusion chromatography (HPSEC) และ scanning electron microscopy (SEM) แสดงให้เห็นว่า ไม่มีความเสียหายเกิดขึ้นบนໂຄຮສ້າງໂມເລກຸລ໌ຫຼືທີ່ພິວຫັນຂອງເມັດສຕາຮ່ ແລະຈະມີຄ່າຄວາມໜີດສູງສຸດຂອງສຕາຮ່ພິ່ມขື້ນຫັ້ງຈາກຜ່ານກັດດ້ວຍ HIU

7.2 ช່າຍຄວະຍະເວລາໃນກາຮຸງຕົ້ມ Paniwnyk (1993) ໄດ້ສຶກຍາພລຂອງ HIU ຕ່ອພິວຫັນຂອງເມັດຂ້າວຂາວທີ່ຜ່ານກັດຂັ້ນ (white rice) ແລະເມັດຂ້າວກລື້ອງ (brown rice) ພບວ່າສາມາດຮ່າຍຄວະຍະເວລາໃນກາຮຸງຕົ້ມ (cooking time) ໂດຍໃຫ້ອຸນຫຼຸມໃນກາເກີດເຈລາທີໃນເຊັ້ນທີ່ 80 ອົງຄາ ເຊລເຊີຍສ ໂດຍໃຫ້ເມັດຂ້າວທີ່ກະຈາຍຕ້າວຍູ້ໃນນໍ້າ ຜ່ານ HIU ເປັນເວລາ 5 ນາທີ ຈະມີຜລທາໃຫ້ທີ່ພິວຫັນຂອງເມັດຂ້າວກຸກທໍາລາຍ ໂດຍຈະເກີດກາຮັກກ່ຽວກັບອຳນວຍ ແລະເກີດຮ່ອງລຶກທີ່ເມັດຂ້າວ ແລະເມື່ອເວລາຜ່ານໄປ 10 ນາທີ ຈະເກີດກາແຕກຫັກຂອງເມັດຂ້າວ ທຳໄຫ້ມີນາດອນຸກາຄເລັກຄົງ ສ່າງຜລໃຫ້ແປ້ງເກີດເຈລ ໄດ້ເຮົວໃໝ່ ດັ່ງນີ້ນກາຮຸງໃຫ້ HIU ກັນຂ້າວຂາວແລະຂ້າວກລື້ອງ ຈະໜ່າຍຄວະຍະເວລາໃນກາຮຸງຕົ້ມ ແລະຢັງທຳໄຫ້ຂ້າວຂາວ ມີຄ່າຄວາມສ່ວ່າງສູງຂື້ນອຶກດ້ວຍ ແລະສາມາດຮ່າຍຄວະຍະເວລາໃນກາເກີດເຈລາທີໃນເຊັ້ນໄດ້ທັງຂ້າວຂາວແລະຂ້າວກລື້ອງ ຈາກລ່າວໄດ້ວ່າ HIU ມີຜລຕ່ອກກະເທະເປົ້ອກຂອງເມັດຂ້າວກລື້ອງ (Masom *et al.*, 1996)

7.3 Isono *et al.* (1994) ໄດ້ສຶກຍາກາຮະລາຍຂອງແປ້ງຂ້າວເໜີຍ (waxy rice starch) ທີ່ລະລາຍໃນນໍ້າດ້ວຍຄື່ນອັດຕາໂໂຈນິກ ໂດຍສຶກຍານໍ້າຫັນກໂມເລກຸລ໌ເນີ່ມຍະແລ້ວ ດັ່ງນີ້ນກາຮຸງໃຫ້ HIU ດັ່ງວິທີ gel permeation chromatography ປຽກງູ່ວ່າຄື່ນອັດຕາໂໂຈນິກຈະທຳໄຫ້ເກີດກາ depolymerization ແນບໄມ່ສຸ່ມ (nonrandom process) ມີຜລທາໃຫ້ຈຳນວນນໍ້າຫັນກໂມເລກຸລ໌ເນີ່ມຍະ ລດຄົງ ໂດຍມີອັດຕາ degradation ເພີ່ມາກື່ນທີ່ອຸນຫຼຸມເຈລາທີໃນເຊັ້ນຫຼືສູງກວ່າ ແຕ່ຄໍາຜ່ານຄື່ນອັດຕາໂໂຈນິກເປັນເວລາຍາວນາ ຈຳນວນນໍ້າຫັນກໂມເລກຸລ໌ເນີ່ມຍະແນວໄນ້ນົມຄອງທີ່ ອ່າກາຮະຈາຍຕ້ວງອອນ ນໍ້າຫັນກໂມເລກຸລ໌ມີແນວໄນ້ນົມເປົ້ອງແປ່ງເລັກນ້ອຍ ແລະດ້ວຍເຫຼຸ່ນຈຶ່ງມີຜລທາໃຫ້ເມັດສຕາຮ່ອ່ອນແອນແລະ

กระบวนการซึ่งในขณะหุงต้มจะเกิดการพองตัวและแตกออกได้ง่ายช่วยเพิ่มความเร็วในการทำความสะอาด โดยจะไปทำลายพันธุ์ไออ้อนนิกของสิ่งสกปรก ที่มีอนุภาคเล็กๆ และเกาะตัวกันอย่างหลวมๆ ดังนั้น สิ่งสกปรกเหล่านี้ สามารถถูกกำจัดได้โดยการทำลายแรงดึงดูดระหว่างอนุภาคคลื่นอัลตราโซนิกจะสร้างฟองอากาศในของเหลว และการระเบิดของอากาศในของเหลว เพื่อไปทำลายแรงดึงดูดระหว่างอนุภาคเล็กๆ ทำให้สิ่งสกปรก เช่น ฝุ่นละออง หลุดออกจากพื้นผิวของชิ้นส่วน การกำจัดสิ่งสกปรกให้มีประสิทธิภาพนั้น ต้องใช้ตัวกลาง (coupling medium) ที่สามารถทำให้ออนุภาคเล็กๆ เปียกได้ง่าย (ภาพที่ 11)



ภาพที่ 11 การทำลายแรงดึงดูดระหว่างอนุภาค (a) อนุภาคของสิ่งสกปรกที่ยึดติดอยู่ และ (b) อนุภาคของสิ่งสกปรกปั่นป่วนหลังการใช้ HIU

ที่มา : Variclean Benelux b.v., 2007b

#### การแข่yerickแข็งอุณหภูมิตำ (DF)

การ DF ความเย็นสามารถเปลี่ยนแปลงคุณสมบัติของแป้งได้ มีปัจจัยที่มีความสำคัญและต่อผลกระทบสมบัติของแป้งได้แก่ ความชื้นและชนิดของแป้ง การดัดแปลงด้วยความเย็นส่งผลให้เกิดการเปลี่ยนแปลงลักษณะผิวและความเป็นผลึกของเม็ดสตาร์ช แต่ไม่พบว่าทำให้เกิดการเปลี่ยนแปลงชนิดของโครงสร้างผลึก การเปลี่ยนแปลงลักษณะผิวของเม็ดสตาร์ชและความเป็นผลึกนำไปสู่การเปลี่ยนแปลงคุณสมบัติบางประการของแป้ง เช่น คุณสมบัติในการละลายน้ำ ความหนืด การคืนตัว ประสิทธิภาพในการถูกย่อยด้วยเอนไซม์ เป็นต้น (Szymonska et al., 2000)

จากการศึกษาการคัดแปรสตาร์ชมันฟรั่ง โดยการ DF พบว่า ความชื้นของแป้งข้าวมีผลต่อความเป็นผลึกในเม็ดสตาร์ช โดยสตาร์ชที่มีความชื้นสูง จะมีความเป็นผลึกสูงกว่าสตาร์ชที่มีความชื้นต่ำ และปัจจัยสำคัญในกระบวนการ การแข็งเยือกแข็งและทำละลาย (freeze-thawing) ที่มีผลต่อความเป็นผลึกของเม็ดสตาร์ชได้แก่น้ำ (ความชื้นของแป้ง) (Szymonska *et al.*, 2000) การศึกษาการแข็งเยือกแข็งและทำละลาย ของสตาร์ชข้าวโพดที่มีแอมิโลสสูง (ประมาณ 70 เปอร์เซ็นต์) พบว่า ความเป็นผลึก (crystallinity) ของเม็ดสตาร์ชลดลง เมื่อเพิ่มจำนวนครั้งในการทำการแข็งเยือกแข็ง และทำละลาย (Jeong and Lim, 2003) นอกจากการเปลี่ยนแปลงโครงสร้างภายในของเม็ดสตาร์ช แล้วกระบวนการแข็งเยือกแข็งและทำละลาย ยังทำให้เกิดการเปลี่ยนแปลงลักษณะของผิวภายนอกซึ่งมีผลต่อคุณสมบัติในการละลายและการอุ้มน้ำของแป้งเล็กน้อย และพบว่าคุณสมบัติดังกล่าวของสตาร์ชจะเกิดการเปลี่ยนแปลงมากที่สุดหลังจาก การแข็งเยือกแข็งและทำละลาย ครั้งแรก (Szymonska *et al.*, 2003a) การเปลี่ยนแปลงลักษณะพื้นผิวและโครงสร้างภายในของเม็ดสตาร์ช นокจากจะมีผลต่อคุณสมบัติต่างๆ ตามที่กล่าวมาแล้วยังมีผลต่อประสิทธิภาพในการถูกย่อยสลาย โดยเออนไซม์ด้วย หลังจากการคัดแปรสตาร์ชมันฟรั่งด้วยกระบวนการแข็งเยือกแข็งและทำละลาย พบว่าเม็ดสตาร์ชมีแนวโน้มที่สามารถทนต่อการย่อยโดยเออนไซม์แอลฟานามิเลสได้สูงขึ้น แม้ว่า การคัดแปรดังกล่าวจะมีผลต่อพื้นผิวของเม็ดสตาร์ชซึ่งทำให้อ่อนไซม์สามารถผ่านเข้าไปทำปฏิกิริยาภายในเม็ดสตาร์ชได้มากขึ้น แต่ก็ทำให้เกิดการสูญเสียความชื้นที่มีความจำเป็นต่อการเกิดปฏิกิริยา ไฮโดรไลซิส นอกจากนี้การที่โครงสร้างภายในของเม็ดสตาร์ชถูกทำลายยังส่งผลต่อความสามารถในการจับกันระหว่างเออนไซม์กับสับสเตรทซึ่งอาจยับยั้งไม่ให้อ่อนไซม์สามารถผ่านเข้าไปทำปฏิกิริยานิพัมเม็ดสตาร์ชได้ (Szymonska and Wodnicka, 2005)

จากการทดลองของ Szymonaka *et al.* (2000) โดยให้สตาร์ชมันฝรั่งผ่านการ DF พบว่า เม็ดสตาร์ชจะถูกแรงอัดจากการขยายตัวของน้ำแข็ง ทำให้ที่บริเวณผิวหรือขอบของเม็ดสตาร์ชเกิดความเสียหาย แตกละลาย แต่แรงอัดที่เกิดขึ้นไม่สามารถทำให้เกิดความเสียหายถึงขนาดทำลายโครงสร้างที่เป็นระเบียบและความสามารถในการบีบชนะแสงโพลาไรซ์ (birefringence) ของเม็ดสตาร์ชได้ ซึ่งให้ผลเช่นเดียวกับสตาร์ชที่ผ่านการ โอโนมิจิไนเซ็นด้วยความดันสูง (ที่ความดันประมาณ 14,503.78 ปอนด์ต่อตารางนิวตัน) ที่ทำให้ขนาดของเม็ดสตาร์ชเล็กลง การ DF ทำให้เกิดรอยแยกที่ผิวเพิ่มขึ้นจากเดิม และแอมิโลเพกทินที่อยู่ภายใต้ส่วนที่เป็นโครงสร้างผลึกจะถูกดันออกมาเป็นสาเหตุให้ไม่เลกูลของน้ำสามารถแทรกเข้าไปทำลายพันธะ ไฮดรอลิก จากช่องแคบๆ ที่อยู่บนผิวเม็ดสตาร์ช เหล่านี้ ทำให้มีหมุนไฮดรอกซิลที่อิสระเกิดมากขึ้น ไม่เลกูลของน้ำจะเข้าไปปัจจัยกับหมุนไฮดรอกซิลที่อิสระเหล่านี้ ทำให้มีเม็ดสตาร์ช เกิดการพองตัว (swelling) ได้ดีกว่าและอาจเกิด

การแตกของเม็ดสตาร์ชีนด้วย และนอกจากปัจจัยที่กล่าวมาแล้ว การ DF ยังทำให้ขนาดของอนุภาคของเม็ดเป็นเด็กลง เช่นกัน

## อุปกรณ์และวิธีการ

### อุปกรณ์

#### 1. วัตถุดิน

ข้าวหักพันธุ์ข้าวคอกมะลิ 105 เป็นข้าวที่มีแอมิโน酳ส์ต่ำ เป็นข้าวที่ผ่านการขัดสีจาก ห.จ.ก. โรงสีไฟฟ้าพัฒนาธุรกิจรุ่งเรือง 3 อ.กมลาพิสัย จ.กาฬสินธุ์

#### 2. สารเคมี

สารเคมีที่ใช้ในการวิเคราะห์ทั้งหมดเป็นสารเคมีคุณภาพ Analytical grade

##### 2.1 สารเคมีสำหรับสกัดสารารช

- 2.1.1 ไนโตรเจนเหลว
- 2.1.2 โซเดียมไฮดรอกไซด์เข้มข้น 0.05 โมลาร์
- 2.1.3 กรดไฮโดรคลอริกเข้มข้น 1 โมลาร์

##### 2.2 สารเคมีสำหรับวิเคราะห์แอมิโน酳ส์

- 2.2.1 เอทิลแอลกอฮอล์ร้อยละ 95
- 2.2.2 โซเดียมไฮดรอกไซด์
- 2.2.3 กรดแอซิติกถ้วน (glacial acetic acid)
- 2.2.4 แอมิโน酳ส์บริสุทธิ์จากมันฝรั่ง (Sigma, USA)
- 2.2.5 ไอโอดีน
- 2.2.6 โพแทสเซียมไฮโอดีด

##### 2.3 สารเคมีสำหรับวิเคราะห์โปรตีน

- 2.3.1 กรดซัลฟิวโรกความเข้มข้นร้อยละ 95-97
- 2.3.2 คอเปปีโรซัลเฟต
- 2.3.3 โซเดียมไฮดรอกไซด์
- 2.3.4 กรดบอริก

2.3.5 โพแทสเซียมซัลเฟต

2.3.6 กรดไอกอโรคตอริก

2.3.7 เมธิลเอนไซม์และไบร์ โนมครีซอลกรีน

2.4 สารเคมีสำหรับวิเคราะห์ไขมัน ได้แก่ ปิโตรเลียมอีเชอร์

2.5 สารเคมีสำหรับวิเคราะห์สตาร์ชที่เสียหาย ได้แก่ ชุดวิเคราะห์สตาร์ชที่เสียหาย (Enzyme kits) (Sigma, USA)

2.6 สีข้อมที่ใช้สำหรับการตรวจดูโครงสร้างและโปรตีนตามเม็ดสตาร์ชโดยใช้ Confocal laser scanning microscopy, CLSM ได้แก่ สีข้อมโรห์ดามินบี (Rhodamine B)

### 3. เครื่องมือและอุปกรณ์

3.1 เครื่องมือผลิตแป้งข้าวและสตาร์ช

3.1.1 เครื่องโม่หินไฟฟ้า (stone mill)

3.1.2 เครื่องบด (hammer mill) พื้นที่บดขนาด 0.5 และ 0.2 มิลลิเมตร

3.1.3 ตะแกรงร่อนแป้งขนาด 100 เมช

3.1.4 ตู้อบลมร้อน (hot air oven, memmert รุ่น LE-500, Germany)

3.1.5 เครื่องแยกแบบตะกร้า

3.1.6 เครื่อง Sonicator Vibra-cell (รุ่น Vcx-500, vcx-750, Power-500, Freq-20 kHz, USA)

3.1.7 เครื่องกวนที่สามารถควบคุมความเร็วรอบได้ (High torque stirrer, Ingenieurburo CAT, M.Zip รุ่น R50D, Germany)

3.2 เครื่องมือที่ใช้วิเคราะห์สมบัติทางเคมี

3.2.1 ตู้อบลมร้อน (hot air oven, Memmert รุ่น ULE500, Germany)

3.2.2 เครื่องวิเคราะห์ความหนืดแบบรวดเร็ว (rapid visco analyzer, RVA3D, Newport Scientific Instrument & Engineering, Australia)

3.2.3 เครื่องวัดสี (Minolta Spectrophotometer รุ่น CM-3500d, USA)

3.2.4 เครื่องหมุนเหวี่งควบคุมอุณหภูมิต่ำได้ (refrigerated centrifuge, Hitachi รุ่น Himec CR 20B2, Germany)

3.2.5 เครื่องมือวิเคราะห์ปริมาณไนโตรเจน (Kjeldahl apparatus, Buchi, USA)

3.2.6 เครื่องมือวิเคราะห์ปริมาณไขมัน (Tecator รุ่น Soxtec system HT, USA)

3.2.7 อ่างน้ำแบบควบคุมอุณหภูมิได้ (Memmert, รุ่น WB22, Germany)

3.2.8 スペクトロไฟโตมิเตอร์ (spectrophotometer, Labomed, รุ่น Spectronic 22, )

3.2.9 เครื่องชั่ง 4 ตำแหน่ง (Scaltee รุ่น SPB31)

3.2.10 นาฬิกาจับเวลา

3.2.11 เทอร์โมมิเตอร์

3.2.12 อุปกรณ์เครื่องแก้ว

### 3.3 เครื่องมือวิเคราะห์สมบัติทางกายภาพ

3.3.1 กล้องจุลทรรศน์อิเล็กตรอนแบบส่องกราด (Scanning Electron Microscope, SEM) รุ่น JEOL JSM-5600LV, England)

3.3.2 กล้อง Confocal laser scanning micrographs, CLSM ความเข้มแสง 548 และ 645, Amplifier Gain 1.00, Amplifier offset -0.09 and Pinhole 134  $\mu\text{m}$  (รุ่น LSM 5 PASCAL VarioOne, GB, Germany)

3.3.3 เครื่องวัดสี (Minolta Spectrophotometer รุ่น CM-3500d, USA)

### 3.4 เครื่องมือวิเคราะห์สมบัติทางเคมีเชิงฟิสิกส์

3.4.1 เครื่องดิฟเฟอเรนเชียล สเกนนิng แคลอริมิเตอร์ (differential scanning calorimeter, DSC, รุ่น Pyris 1, USA)

3.4.2 เครื่องเอกซ์เรย์ดิฟฟรากໂຖมิเตอร์ (X-ray diffractometer, JEOL, JDX-3530, Japan)

## วิธีการ

### 1. การเตรียมแป้งข้าว

นำข้าวหัก พันธุ์ข้าวคอκομະລີ 105 ที่ผ่านการขัดสีแล้วจาก ห.ຈ.ກ. โรงสีไฟฟ้ากาພສິນຫຼຸງເຮືອງ 3 อ.ກມລາພິລັຍ ຈ.ກາພສິນຫຼຸງ มาล้างและ เช่น้ำที่อุณหภูມิห้องเป็นเวลาประมาณ 4 ชั่งโมง แล้ว นำมาไม่ด้วยเครื่องไม่พิน พร้อมกับค่อยๆ เติมน้ำตลอดเวลา ในอัตราส่วน ข้าวต่อน้ำ เท่ากับ 1 ต่อ 2 จากนั้นเหวี่ยงแยกน้ำออกด้วยเครื่องหมุนเหวี่ยงที่ความเร็วรอบ 1,700 รอบต่อนาที และนำข้าวบนแท่นในคุ้บล่มร้อนที่มีอุณหภูມิ 45 องศาเซลเซียส เป็นเวลา 15 ชั่วโมง นำแป้งหลังอบมาบดโดยใช้ เครื่องบดคละເອີຍດ (Hammer mill) จากนั้nr่อนแป้งที่ได้โดยใช้ตะแกรง 100 เมช

### 2. การสกัดสารช้ำจากแป้งโดยวิธีทางกายภาพ

#### 2.1 การสกัดด้วยคลื่นเสียงความถี่สูง (high-intensity ultrasound, HIU)

การใช้ HIU ในการสกัดโปรตีนออกจากแป้งข้าว เริ่มจากนำแป้งข้าวคอκοມະລີ 105 จำนวน 60 กรัม มาผสมกับน้ำในอัตราส่วน แป้งข้าว:น้ำ เท่ากับ 1:2 เท่า (โดยน้ำหนัก) จากนั้นนำไปผ่าน HIU ด้วยเครื่อง Sonicator Vibra-cell (Power-500, Freq-20 kHz, USA) ที่ 50 70 และ 90 เปอร์เซ็นต์แอมเพลจูด เป็นเวลา 15 30 และ 45 นาที หลังจากนั้นนำไปแยกเหวี่ยงที่ 3000 x g เป็นเวลา 10 นาที แยกส่วนน้ำออก ทำเช่นนี้ 3 รอบแล้วนำส่วนที่เหลือเข้าอบในคุ้บล่มร้อนที่มีอุณหภูມิ 45 องศาเซลเซียส เป็นเวลา 15 ชั่วโมง นำตัวอย่างหลังอบมาบดและร่อนผ่านตะแกรง 100 เมช

#### 2.2 การแช่เยือกแข็งอุณหภูมิต่ำ (deep freezing, DF)

การ DF ในการสกัดโปรตีนออกจากข้าวหัก เริ่มจากนำแป้งข้าวที่ผ่านการไม่ปีกและอบแห้งที่ห้าความชื้นแล้ว จำนวน 60 กรัม นำมาผสมกับน้ำในอัตราส่วน แป้งข้าว : น้ำ เท่ากับ 1:2 (โดยน้ำหนัก) แล้วเทในໂຕຣເຈນແຄວລ່ວໄປໃຫ້ທ່ວນທັນທີ (deep freezing) (ปริมาตรประมาณ 400 มິლລິລິຕຣ) ຖີ່ໄວ້ เป็นเวลา 30 นาที จากนั้นนำมาทำລະຄາຍ (thawing) โดยการหล่อด้วยน้ำที่มีอุณหภูມิ 35 องศาเซลเซียส เป็นเวลา 30 นาที นับเป็นการ DF จำนวน 1 รอบ และตัวอย่างที่สอง ทำซ้ำ 6 รอบ จากนั้นนำไปแยกเหวี่ยงที่ 3000 x g เป็นเวลา 10 นาที แยกส่วนน้ำออก นำส่วนที่เหลือ

เข้าอบแห้งในตู้อบลมร้อนที่มีอุณหภูมิ 45 องศาเซลเซียส เป็นเวลา 15 ชั่วโมง นำตัวอย่างหลังอบมาบดโดยใช้เครื่องบดคละอี้คและ ร่อนผ่านตะแกรง 100 เมช

### 2.3 การใช้คลื่นเสียงความถี่สูงร่วมกับการแช่เยือกแข็งอุณหภูมิต่ำ (combination of high-intensity ultrasound and deep freezing, HIU + DF)

เริ่มจากนำแป้งข้าวขาวดอกมะลิ 105 มารสมกับน้ำที่อัตราส่วน แป้งข้าว:น้ำ เท่ากัน 1:2 เท่า (โดยน้ำหนัก) จากนั้นนำไปผ่าน HIU ด้วยเครื่อง Sonicator Vibra-cell ที่ 70 เบอร์เซ็นต์แอมเพลจูด เป็นเวลา 30 นาที จากนั้นนำไป DF เป็นจำนวน 1 และ 6 รอบ หลังจากนั้นนำไปแยกเหวี่ยงที่ 3000 x g เป็นเวลา 10 นาที แยกส่วนน้ำออก ทำเช่นนี้ 3 รอบแล้วนำเข้าอบในตู้อบลมร้อนที่มีอุณหภูมิ 45 องศาเซลเซียส เป็นเวลา 15 ชั่วโมง นำตัวอย่างหลังอบมาบดและร่อนผ่านตะแกรง 100 เมช

## 3. การสกัดสารสำคัญโดยวิธีทางเคมี (สารละลายด่าง)

นำแป้งข้าวจากข้อ 1 มาสกัดเป็นสารสำคัญ โดยดัดแปลงจากวิธีของ Lumdubwong และ Seib (2000) เริ่มจากโดยนำแป้งข้าว 60 กรัมผสมกับสารละลายโซเดียมไฮดรอกไซด์ (สารละลายด่าง) ที่มีความเข้มข้น 0.05 นอร์มอล ปริมาตร 150 มิลลิลิตร กว่าตลดอดเวลาด้วยความเร็วรอบ 250 รอบต่อนาที เป็นเวลา 3 ชั่วโมง จากนั้นกรองผ่านตะแกรงขนาด 200 เมช ใช้เครื่องหมุนเหวี่ยงที่อุณหภูมิ 25 องศาเซลเซียส ด้วยความเร็วรอบ 3000 x g เหวี่ยงแยกน้ำออกเป็นเวลา 20 นาที ทิ้งส่วนที่เป็นน้ำและบุกส่วนที่มีสีเหลืองบริเวณด้านบนของน้ำ ทำการล้างด้วยน้ำและเหวี่ยงแยกที่ 3000 x g นาน 15 นาที ทำซ้ำอีก 1 ครั้ง จากนั้นปรับความเป็นกรด-ด่างให้มีค่าเท่ากัน 7 ด้วยสารละลายกรดไฮโดรคลอริกความเข้มข้น 0.01 นอร์มอล นำไปเหวี่ยงแยกน้ำที่ 3000 x g นาน 15 นาที ทำซ้ำอีก 3 ครั้ง นำตัวอย่างไปอบที่อุณหภูมิ 40 องศาเซลเซียส เวลา 15 ชั่วโมงนำตัวอย่างหลังอบมาบดและอี้คและร่อนผ่านตะแกรง 100 เมช

## 4. การเลือกสภาพที่เหมาะสมในการสกัดสารสำคัญ ด้วยวิธีทางกายภาพ ใช้ตัวชี้วัดดังต่อไปนี้

4.1 เบอร์เซ็นต์ผลได้ของสารสำคัญหลังจากที่สกัดด้วยวิธีทางกายภาพ และวิธีการใช้สารละลายด่างโดยคำนวณจากสูตรต่อไปนี้

$$\text{เปอร์เซ็นต์ผลได้ หรือ} = \frac{\text{น้ำหนักสารชุดลังการอบแห้ง (กรัม)} \times 100}{\text{น้ำหนักเปลี่ยง (db) เริ่มต้น (กรัม)}}$$

#### 4.2 สมบัติทางเคมีของสตาร์ชที่สกัดด้วยวิธีทางกายภาพ และการใช้สารละลายค่าง

##### 4.2.1 ปริมาณความชื้น วิเคราะห์โดยการอบแห้ง ตามวิธีของ AACC (2000)

(รายละเอียดตามภาคพนวก ข1)

4.2.2 ปริมาณโปรตีน วิเคราะห์โดยดัดแปลงตามวิธีของ AACC (2000) ด้วยเครื่องวิเคราะห์โปรตีนในโตรเจน (2000-Digestion System)(รายละเอียดตามภาคพนวก ข1)

4.2.3 ปริมาณสตาร์ชที่เสียหาย (damaged starch) วิเคราะห์ตามวิธีของ AACC 2000 ด้วยชุดวิเคราะห์สตาร์ชที่เสียหาย (enzyme kits) (Sigma, USA)(รายละเอียดตามภาคพนวก ข1)

#### 4.3 สมบัติทางกายภาพของสตาร์ชที่สกัดด้วยวิธีทางกายภาพ และวิธีการใช้สารละลายค่าง

4.3.1 การตรวจดูโครงสร้างและโปรตีนที่เกิดตามเม็ดสตาร์ชโดยใช้ Confocal laser scanning microscopy, CLSM (Germany, รุ่น LSM 5 PASCAL VarioOne, GB ผลิตโดยบริษัท Rushmore Precision) ตามวิธีของ Hongsprabhas *et al.* (2007) โดยใช้ตัวอย่างสารละลายสตาร์ชเข้มข้น 1.25 (w/v)

4.3.2 การตรวจดูโครงสร้างระดับจุลภาคของเม็ดสตาร์ชด้วยกล้องจุลทรรศน์อิเล็กtronแบบส่องกราด (Scanning electron microscope, JEOL, JSM-5600LV, England)

#### 4.4 สมบัติทางเคมีเชิงฟิสิกส์ของสตาร์ชที่สกัดด้วยวิธีทางกายภาพ และวิธีการใช้สารละลายค่าง

4.4.1 สมบัติความหนืด (Pasting properties) วิเคราะห์ด้วยเครื่องวัดความหนืดแบบเร็ว (rapid visco analyzer, RVA)(รายละเอียดตามภาคพนวก ข1)

4.4.2 สมบัติด้านความร้อน (thermal properties) ด้วยเครื่องดิฟเฟอเรนเชียล สแกนนิงแคลอริมิเตอร์ (Differential scanning calorimeter, DSC) ตามวิธีของ Thirathumthavorn and Charoenrein (2005)(รายละเอียดตามภาคพนวก ข1)

4.4.3 ความเป็นผลึก ด้วยเครื่องเอกซ์เรย์ดิฟแฟร์กโตมิเตอร์ (X-ray diffractometer, JEOL, JDX-3530, Japan) ตามวิธีการของ Barth (2004)(รายละเอียดตามภาคพนวก ข1)

## 5. การเปรียบเทียบข้อได้เปรียบและสมบัติของสตาร์ช ระหว่างสตาร์ชข้าวที่สกัดด้วยวิธีทางกายภาพที่เหมาะสม กับวิธีการใช้สารละลายค่าง

5.1 เปรียบเทียบปริมาณน้ำทึบ ค่าความเป็นกรด-ด่าง ของน้ำทึบ และเปอร์เซ็นต์พลิได้ จากกระบวนการสกัดสตาร์ชด้วยวิธีทางกายภาพที่เหมาะสมกับวิธีการใช้สารละลายค่าง

5.2 เปรียบเทียบเวลาที่ใช้ในการสกัดของสตาร์ชที่สกัดด้วยวิธีทางกายภาพที่เหมาะสมกับวิธีการใช้สารละลายค่าง

5.3 เปรียบเทียบคุณสมบัติทางเคมีและทางกายภาพ ของสตาร์ชที่สกัดด้วยวิธีทางกายภาพที่เหมาะสมกับวิธีการใช้สารละลายค่าง

5.3.1 ปริมาณความชื้น ตามวิธีของ AACC (2000)

5.3.2 ปริมาณโปรตีน ตามวิธีของ AACC (2000)

5.3.3 ปริมาณไขมัน ตามวิธีของ AACC (2000)

5.3.4 ปริมาณแอมิโนลส ตามวิธีของ Juliano (1971)

5.3.5 สมบัติด้านความหนืดของสตาร์ชข้าว AACC (2000)

5.3.6 ปริมาณสีของสตาร์ชข้าว ตามวิธีของ Hsu *et al.* (2003)

## 6. การวิเคราะห์ทางสถิติ

วางแผนการทดลองทางสถิติโดยใช้ Completely Randomize Design (CRD) นำผลการทดลองที่ได้มาวิเคราะห์ความแปรปรวน (ANOVA) เปรียบความแตกต่างของตัวอย่างในแต่ละวิธีการสกัดสตาร์ชข้าว โดยใช้ Duncan's new Multiple Rang Test (DMRT) เพื่อทดสอบความแตกต่างของค่าเฉลี่ย โดยโปรแกรมสำเร็จรูป Statistical Package for the Social Science (SPSS) version 10.01

## 7. สถานที่ทดลอง

ห้องปฏิบัติการและอาคารแปรรูป ภาควิชาวิทยาศาสตร์และเทคโนโลยีการอาหาร คณะอุตสาหกรรมเกษตร มหาวิทยาลัยเกษตรศาสตร์

## 8. ระยะเวลาการทดลอง

ตั้งแต่เดือนมีนาคม 2548 ถึงเดือนพฤษภาคม 2550

## ผลและวิจารณ์

### 1. การศึกษาวิธีและสภาวะที่เหมาะสมในการสกัดสารชี้ห้าว ด้วยวิธีทางกายภาพ คือการใช้คลื่นเสียงความถี่สูง (HIU) การแช่เยือกแข็งอุณหภูมิต่ำ (DF) และการใช้คลื่นเสียงความถี่สูงร่วมกับการแช่เยือกแข็งอุณหภูมิต่ำ (HIU + DF)

ในกระบวนการผลิตอาหารที่มีการใช้ HIU นั้น ความแรงของเสียงจะเป็นสาเหตุทำให้เกิดการควิเตชัน (cavitation) ซึ่งจะมีผลต่อผิวน้ำของวัสดุ ในการนำ HIU มาใช้ส่วนมากกำหนดความถี่อยู่ในช่วง 20-40 กิโลเฮิรตซ์ โดยปกติช่วงที่ถูกนิยามาใช้มากคือ พาวเวอร์อัลตราชาวด์ ซึ่งถูกนำมาใช้ในการทำความสะอาดผิววัสดุ การทำให้เซลล์แตก เป็นต้น

ส่วนการแช่เยือกแข็งที่อุณหภูมิต่ำส่งผลให้เกิดการเปลี่ยนแปลงลักษณะของพื้นผิวและความเป็นผลลัพธ์ของเม็ดแป้ง โดยการขยายตัวของปริมาตรของน้ำแข็งทำให้เกิดการทำลายที่บริเวณผิวน้ำของเม็ดสารชี้ห้าวไม่ค่อยรุนแรงนัก (Szymonska *et al.*, 2000)

ผู้วิจัยจึงคิดว่าวิธีทางกายภาพทั้ง 2 วิธีนี้น่าจะมีผลทำให้โปรดีนร่างแทและโปรดีนบอดีที่เก่าอยู่บริเวณผิวน้ำเม็ดสารชี้ห้าวหลุดออกได้ จึงได้ศึกษานำวิธีทั้งสองมาประยุกต์ใช้ในการสกัดสารชี้ห้าวที่ได้จากข้าวหัก โดยเปรียบเทียบผลกับการสกัดด้วยสารละลายค่าง

1.1 เปรอร์เซ็นต์ผลได้และสมบัติทางเคมีของสารชี้ห้าวที่สกัดด้วยวิธีทางกายภาพและวิธีสกัดโดยใช้สารละลายค่าง

1.1.1 เปรอร์เซ็นต์ผลได้และปริมาณความชื้นของสารชี้ห้าวที่สกัดด้วยวิธีทางกายภาพและวิธีการใช้สารละลายค่าง

จากการทดลองเพอร์เซ็นต์ผลได้ของสารชี้ห้าวขาวลดลงเหลือ 105 ที่สกัดด้วย HIU ที่สภาวะต่างๆ พบว่าที่สภาวะ 50-90 เพอร์เซ็นต์แอมพลิจูด เมื่อเวลาในการสกัดนานขึ้น ทำให้เพอร์เซ็นต์ผลได้ค่อนข้างเพิ่มขึ้นเล็กน้อย (74.88-80.12) (ตารางที่ 2) โดยมีค่าแตกต่างกันอย่างไม่มีนัยสำคัญ ( $p>0.05$ ) ระหว่างทรีทเมนต์ และพบว่าวิธีการนี้สามารถแยกสกัดสารชี้ห้าวได้ เพอร์เซ็นต์ผลได้สูงกว่าสารชี้ห้าวที่สกัดด้วยวิธีการใช้สารละลายค่าง (47.47 เพอร์เซ็นต์) อย่างมีนัยสำคัญ

( $p \leq 0.05$ ) (ตารางที่ 2) ซึ่งโดยทั่วไปการสกัดด้วยวิธีทางเคมีโดยการใช้โซเดียมไฮดรอกไซด์ขึ้นต้น ประมาณ 0.1-0.2 เปอร์เซ็นต์ ทำให้ได้ผลได้ประมาณ 73.85 เปอร์เซ็นต์ (Yang *et al.*, 1984; Lumdubwong and Seib, 2000) ซึ่งสูงกว่าเปอร์เซ็นต์ผลได้ที่ได้จากการทดลอง ทึ้งนี้อาจเนื่องมาจากการปริมาณตัวอย่างที่ใช้สักด้วยการทดลองนี้มากกว่าวิธีทดลองของ Lumdubwong and Seib (2000) ประมาณ 3 เท่า ซึ่งอาจมีผลต่อประสิทธิภาพในการสกัดและเปอร์เซ็นต์ผลได้ของสารชั้นต้น

จากการ DF พบร่วมกับการ DF เพิ่มขึ้น ทำให้เปอร์เซ็นต์ผลได้แตกต่างกันอย่างไม่มีนัยสำคัญ ( $p > 0.05$ ) และมีเปอร์เซ็นต์ผลได้สูงกว่าสารชั้นต้นที่สกัดด้วยสารละลายด่างอย่างมีนัยสำคัญ ( $p \leq 0.05$ ) เนื่องจาก การ DF มีความบริสุทธิ์น้อยกว่า (เมื่อพิจารณาจากปริมาณโปรตีนในตารางที่ 3) และมีค่าไกลีเคียงกันແป็นข้าว โดยมีค่าปริมาณโปรตีนแตกต่างกันอย่างไม่มีนัยสำคัญ ( $p > 0.05$ ) ซึ่งอาจแสดงถึงประสิทธิภาพในการสกัดของการ DF นั้นไม่สามารถแยกส่วนประกอบอื่นๆ ออกจากเม็ดสารชั้นต้นได้ จึงทำให้มีปริมาณผลได้สูงกว่าสารชั้นต้นที่สกัดด้วยสารละลายด่างที่มีความบริสุทธิ์ของสารชั้นต้น

การใช้ HIU ที่สภาวะ 70 เปอร์เซ็นต์แอมพลิจูด เป็นเวลา 30นาที และการใช้ HIU ร่วมกับการ DF พบร่วมกับการ DF เพิ่มขึ้น ทำให้มีค่าไกลีเคียงกันและมีค่าแตกต่างกันอย่างไม่มีนัยสำคัญ ( $p > 0.05$ ) แต่มีเปอร์เซ็นต์ผลได้สูงกว่าสารชั้นต้นที่สกัดด้วยสารละลายด่างอย่างมีนัยสำคัญ ( $p \leq 0.05$ ) ซึ่งอาจล่าวได้ว่าสารชั้นต้นที่สกัดด้วย HIU ร่วมกับการ DF ไม่สามารถเพิ่มเปอร์เซ็นต์ผลได้และประสิทธิภาพในการสกัดให้สูงขึ้นได้

จากรูปภาพความชื้นในตารางที่ 2 พบร่วมกับการ DF และสารชั้นต้นที่สกัดด้วย HIU เกือบทุกทรีตเมนต์ จะมีปริมาณความชื้นค่อนข้างใกล้เคียงกัน นอกจากนี้ยังพบว่าสารชั้นต้นที่สกัดด้วย HIU ร่วมกับการ DF และสารชั้นต้นที่สกัดด้วยสารละลายด่าง จะมีปริมาณความชื้นน้อยกว่า แบ่งข้าวอย่างมีนัยสำคัญ ( $p \leq 0.05$ ) เนื่องจากปริมาณโปรตีนในแบ่งข้าว (ตารางที่ 3) มีค่าสูงกว่าสารชั้นต้นที่ผ่านกระบวนการสกัดด้วย HIU การใช้ HIU ร่วมกับการ DF และสารละลายด่าง ซึ่งโปรตีนเหล่านี้จะประกอบด้วยกรดอะมิโนชนิดที่เป็นโพลาร์จำนวนมาก ดังนั้นจึงสามารถลดความชื้นได้ดีกว่าสารชั้นต้นที่ผ่านกระบวนการสกัดโปรตีนออกแล้ว อย่างเช่นสารชั้นต้นที่ได้จากการทดลองนี้ (นิธิยา, 2524, Leach *et al.*, 1959)

**ตารางที่ 2 ผลของเปอร์เซ็นต์ผลได้ และปริมาณความชื้น ของแป้งข้าว และสตาร์ชข้าวที่สกัดด้วยวิธีทางกายภาพ และวิธีสกัดด้วยสารละลายต่าง**

ตัวอย่างสตาร์ชข้าว	ความชื้น	ร้อยละ โดยน้ำหนักแห้ง	
		ผลไม้ดี	ผลได้
<b>HIU<sup>1</sup></b>			
50 %แอมพลิจูด 15 นาที	6.84 ± 0.23 <sup>c</sup>	78.43 ± 0.40 <sup>a</sup>	
50 %แอมพลิจูด 30 นาที	8.16 ± 0.12 <sup>d</sup>	77.78 ± 1.57 <sup>a</sup>	
50 %แอมพลิจูด 45 นาที	8.92 ± 0.31 <sup>bcd</sup>	77.50 ± 1.18 <sup>a</sup>	
70 %แอมพลิจูด 15 นาที	9.04 ± 0.09 <sup>bcd</sup>	80.12 ± 1.81 <sup>a</sup>	
70 %แอมพลิจูด 30 นาที	9.15 ± 0.18 <sup>bcd</sup>	76.48 ± 2.71 <sup>a</sup>	
70 %แอมพลิจูด 45 นาที	9.34 ± 0.05 <sup>bc</sup>	74.88 ± 3.32 <sup>a</sup>	
90 %แอมพลิจูด 15 นาที	8.68 ± 0.18 <sup>bcd</sup>	79.56 ± 2.30 <sup>a</sup>	
90 %แอมพลิจูด 30 นาที	9.55 ± 1.38 <sup>b</sup>	77.19 ± 0.01 <sup>a</sup>	
90 %แอมพลิจูด 45 นาที	8.34 ± 0.07 <sup>cd</sup>	75.51 ± 5.67 <sup>a</sup>	
แป้งข้าว	11.12 ± 0.16 <sup>a</sup>	-	
การสกัดโดยใช้สารละลายต่าง	8.47 ± 0.04 <sup>bcd</sup>	47.47 ± 3.59 <sup>b</sup>	
<b>DF<sup>2</sup></b>			
1 รอบ	9.72 ± 0.99 <sup>a</sup>	93.68 ± 1.40 <sup>a</sup>	
6 รอบ	10.04 ± 0.19 <sup>a</sup>	93.92 ± 0.19 <sup>a</sup>	
แป้งข้าว	11.12 ± 0.16 <sup>a</sup>	-	
การสกัดโดยใช้สารละลายต่าง	8.47 ± 0.04 <sup>b</sup>	47.47 ± 3.59 <sup>b</sup>	
<b>การใช้สองวิธีร่วมกัน (HIU และ DF)<sup>3</sup></b>			
70 %แอมพลิจูด 30 นาที	9.15 ± 0.18 <sup>c</sup>	76.48 ± 2.71 <sup>a</sup>	
70 %แอมพลิจูด 30 นาที และ DF 1 รอบ	9.19 ± 0.19 <sup>c</sup>	72.44 ± 3.31 <sup>a</sup>	
70 %แอมพลิจูด 30 นาที และ DF 6 รอบ	10.00 ± 0.62 <sup>b</sup>	69.63 ± 3.11 <sup>a</sup>	
แป้งข้าว	11.12 ± 0.16 <sup>a</sup>	-	
การสกัดโดยใช้สารละลายต่าง	8.47 ± 0.04 <sup>d</sup>	47.47 ± 3.59 <sup>b</sup>	

- <sup>1,2,3</sup> อักษรตัวเดียวกันแสดงความแตกต่างตามแนวตั้ง (ในแต่ละกลุ่ม) ที่ระดับความเชื่อมั่นร้อยละ 95 ( $p \leq 0.05$ )

- ค่าเฉลี่ย ± ส่วนเบี่ยงเบนมาตรฐานได้จากการทดลองสกัดสตาร์ชสองครั้ง วิเคราะห์สมบัติตัวอย่าง ละ 2 ชุด

จากการทดลองด้วยวิธีสกัดด้วยการ DF เพียงอย่างเดียว พบร่วมกับมีปริมาณความชื้นไกล์เดียงกับแบ่งข้าวอย่างมีนัยสำคัญ ( $p \leq 0.05$ ) และจากปริมาณโปรตีนในตารางที่ 3 พบร่วมกับการ DF มีปริมาณโปรตีนที่เหลืออยู่น้อยกว่าแบ่งข้าวอย่างมีนัยสำคัญ ( $p \leq 0.05$ ) แต่มีปริมาณความชื้นไกล์เดียงกันเนื่องจากการ DF เพียงอย่างเดียวนั้นทำให้มีปริมาณสารอาหารที่เสียหายเพิ่มขึ้น ซึ่งปริมาณสารอาหารที่เสียหายที่เกิดขึ้นนั้นมีผลทำให้มีค่าสารซุกคาวมชื้นมากขึ้น ทำให้มีปริมาณความชื้นไกล์เดียงกับแบ่งข้าว และจากผลการทดลองนี้อาจสรุปได้ว่า ปริมาณความชื้น เกิดจากปัจจัยที่สำคัญสองปัจจัย คือ ปริมาณโปรตีนและปริมาณสารอาหารที่เสียหาย

#### 1.1.2 ปริมาณโปรตีนที่เหลืออยู่และสารอาหารที่เสียหายของสารอาหารแยกกากบาทและวิธีสกัดด้วยสารละลายค่าง

จากการที่ 3 พบร่วมกับการสกัดด้วย HIU และการใช้สารละลายค่างสามารถแยกโปรตีนเริ่มต้น 7.02 เปอร์เซ็นต์ ของแบ่งข้าวหักขาวดอกมะลิ 105 ได้โดยเรียงลำดับตามประสิทธิภาพในการแยกโปรตีนจากน้อยไปมาก ได้เป็น 6 กลุ่ม ดังนี้ กลุ่มที่หนึ่งแยกโปรตีนได้น้อยที่สุดคือ ที่สภาวะ 50 เปอร์เซ็นต์แอมพลิจูด เป็นเวลา 15 นาที กลุ่มที่สอง ที่สภาวะ 50 เปอร์เซ็นต์ แอมพลิจูด เป็นเวลา 30 นาที และ 70 เปอร์เซ็นต์แอมพลิจูด เป็นเวลา 15 นาที กลุ่มที่สาม ที่สภาวะ 90 เปอร์เซ็นต์แอมพลิจูด เป็นเวลา 15 นาที ที่สภาวะ 50 เปอร์เซ็นต์แอมพลิจูด เป็นเวลา 45 นาที กลุ่มที่ห้า ที่สภาวะ 70 เปอร์เซ็นต์แอมพลิจูด เป็นเวลา 30 นาที 90 เปอร์เซ็นต์แอมพลิจูด เป็นเวลา 30 นาที และ 90 เปอร์เซ็นต์แอมพลิจูด เป็นเวลา 45 นาที และกลุ่มที่หกแยกโปรตีนออกได้มากที่สุดคือที่สภาวะ 70 เปอร์เซ็นต์แอมพลิจูด เป็นเวลา 45 นาที และการสกัดด้วยสารละลายค่าง โดยภายในแต่ละกลุ่มจะมีปริมาณโปรตีนที่เหลืออยู่แตกต่างกันอย่างไม่มีนัยสำคัญ ( $p > 0.05$ ) ส่วนปริมาณโปรตีนระหว่างกลุ่มจะมีความแตกต่างอย่างมีนัยสำคัญ ( $p \leq 0.05$ ) และจากการสังเกตที่สภาวะ 50 และ 70 เปอร์เซ็นต์แอมพลิจูดพบว่าเมื่อเวลาในการแยกสกัด และเปอร์เซ็นต์แอมพลิจูดเพิ่มขึ้น มีผลให้ปริมาณโปรตีนที่เหลืออยู่ลดลงอย่างมีนัยสำคัญ ( $p \leq 0.05$ ) เนื่องจากเมื่อเปอร์เซ็นต์แอมพลิจูดเพิ่มขึ้น มีผลทำให้ขนาดของฟองอากาศที่ได้ใหญ่ขึ้น ทำให้มีความดันและอุณหภูมิสูงกว่าเปอร์เซ็นต์แอมพลิจูดต่ำๆ ที่ทำให้เกิดฟองอากาศที่มีขนาดเล็ก (Malcolm et al., 1998) ดังนั้นอาจกล่าวได้ว่า เมื่อเปอร์เซ็นต์แอมพลิจูดในการสกัดเพิ่มขึ้นอาจทำให้ประสิทธิภาพในการสกัดเพิ่มขึ้นด้วย หรือเป็นการเพิ่มความรุนแรงในการสกัด แต่ที่สภาวะ 90 เปอร์เซ็นต์แอมพลิจูด เป็นเวลา 30 และ 45 นาที ปริมาณโปรตีนจะไม่ลดลงอีก เนื่องจาก ที่สภาวะนี้เกิดความร้อนสูงทำให้สารอาหารเกิดการเจลาทีนเซชันไปบางส่วน ซึ่งสอดคล้องกับผลของการศึกษาการเกิดเจลาทีนเซชัน

ของตัวอย่าง โดยใช้เครื่อง DSC และผลสมบัติค้านความหนืดของสตาร์ช ซึ่งจะกล่าวในหัวข้อ 1.3.1 ต่อไป

การใช้ HIU สกัดสตาร์ชทำให้ปริมาณโปรตีนที่เหลืออยู่ลดลง เนื่องจากการแตกสลายของฟองอากาศเล็กๆ (cavitations) ในตัวกลางที่เป็นน้ำ มีผลทำลายและแยกการเชื่อมต่อระหว่างโปรตีนร่างแท้ (protein matrix) ซึ่งผลการทดลองที่ได้สอดคล้องกับงานวิจัยของ Wang and Wang (2004a) โดยใช้อ่อนไขม์โปรตีอส 0.01 0.03 และ 0.05 เปอร์เซ็นต์ ร่วมกับ HIU (20 กิโล-เอิร์ตซ์) ที่สภาวะ 25 50 และ 75 เปอร์เซ็นต์แอมพลิจูด เป็นเวลา 15 30 และ 60 นาที พบว่าเมื่อเพิ่มเปอร์เซ็นต์แอมพลิจูดและเวลาในการแยกสกัดมีผลทำให้ปริมาณโปรตีนลดลง (มีปริมาณโปรตีนที่เหลืออยู่ประมาณ 0.5-0.96 เปอร์เซ็นต์) และมีสตาร์ชที่เสียหายเพิ่มขึ้น (มีปริมาณสตาร์ชที่เสียหายประมาณ 0.98-1.87 เปอร์เซ็นต์) โดยมีสภาวะในการสกัดที่ดีที่สุดคือ การใช้อ่อนไขม์โปรตีอส ร่วมกับ HIU โดยใช้เวลาในการย่อยด้วยโปรตีอส 2 ชั่วโมง ก่อนแล้วตามด้วยการใช้ HIU ที่ 75 หรือ 50 เปอร์เซ็นต์แอมพลิจูด เป็นเวลา 15 หรือ 30 นาที

จากการทดลองนี้พบว่า แบ่งข้าวขาวดอกมะลิ 105 มีปริมาณสตาร์ชที่เสียหายเริ่มต้น 5.47 เปอร์เซ็นต์ โดยปกติแล้วบนผิวของเม็ดแบ่งจะพบช่องเปิดที่มีขนาดเส้นผ่านศูนย์กลางประมาณ 0.1-0.3 ไมครอน ซึ่งรูพรุนเหล่านี้ อาจเกิดขึ้นในขั้นตอนการผลิตแบ่ง หรืออาจมีอยู่แล้วในธรรมชาติ แต่มีขนาดใหญ่ขึ้นเนื่องจากกระบวนการ ไม่แบ่ง (กล้านรงค์ และ เกื้อกูล, 2546) ซึ่งเป็นสาเหตุทำให้เกิดสตาร์ชที่เสียหาย สตาร์ชโดยทั่วไปจะมีปริมาณของสตาร์ชที่หายในระหว่างการไม่ประมาณ 5-12 เปอร์เซ็นต์ (Dubois, 1949) และในทางการค้าสตาร์ชข้าวครามมีปริมาณสตาร์ชที่เสียหายไม่เกิน 8.20 เปอร์เซ็นต์ (Guraya and James, 2002) และการเกิดสตาร์ชที่เสียหายจากการใช้โซเดียมไฮดรอกไซด์หรือสารละลายค่างน้ำ เนื่องมาจากสารละลายค่างสามารถย่อย (hydrolyzes) พอลิแซคคาไรด์ได้ ดังนั้นสารละลายค่างจะสามารถเป็นตัวทำลายสตาร์ชได้เช่นกัน ซึ่งความเสียหายของสตาร์ชที่เกิดจากสารละลายค่างทำให้เกิดการเคลื่อนย้ายแอมโมนิโอลที่มีน้ำหนักโน้มถ่วงสูง (high molecular weight) ออกจากเม็ดสตาร์ช (Chiou *et al.*, 2002) สตาร์ชที่เสียหาย เนื่องจากวิธีการแยกสกัดด้วย HIU สามารถแบ่งกลุ่มได้ออกเป็น 5 กลุ่ม (ตารางที่ 3) ซึ่งสามารถเรียงลำดับความเสียหายที่เกิดขึ้นจากน้อยไปมากดังนี้ กลุ่มที่หนึ่งเกิดสตาร์ชที่เสียหายน้อยที่สุดอยู่ในช่วงประมาณ 7.28-7.32 เปอร์เซ็นต์ คือที่สภาวะ 50 เปอร์เซ็นต์แอมพลิจูด เป็นเวลา 15 นาที และ 70 เปอร์เซ็นต์ แอมพลิจูด เป็นเวลา 15 นาที กลุ่มที่สอง เกิดสตาร์ชที่เสียหายอยู่ในช่วงประมาณ 7.83-8.00 เปอร์เซ็นต์ ที่ 70 เปอร์เซ็นต์แอมพลิจูด เป็นเวลา 30 นาที และที่สภาวะ 90 เปอร์เซ็นต์แอมพลิจูด

**ตารางที่ 3 ปริมาณโปรตีนที่เหลืออยู่ และปริมาณสตาร์ชที่เสียหายของแป้งข้าวและสตาร์ชที่สกัดด้วยวิธีทางกายภาพและวิธีการที่ใช้สารละลายค่าง**

ตัวอย่างสตาร์ชข้าว	ร้อยละ ไดชน้ำหนักแห้ง	
	โปรตีนที่เหลืออยู่	สตาร์ชที่เสียหาย
<b>HIU<sup>1</sup></b>		
50 เปอร์เซ็นต์แอมพลิจูด 15 นาที	3.52 ± 0.00 <sup>b</sup>	7.28 ± 0.09 <sup>e</sup>
50 เปอร์เซ็นต์แอมพลิจูด 30 นาที	2.43 ± 0.06 <sup>c</sup>	9.03 ± 0.03 <sup>c</sup>
50 เปอร์เซ็นต์แอมพลิจูด 45 นาที	1.75 ± 0.06 <sup>e</sup>	9.11 ± 0.11 <sup>c</sup>
70 เปอร์เซ็นต์แอมพลิจูด 15 นาที	2.44 ± 0.06 <sup>c</sup>	7.32 ± 0.03 <sup>e</sup>
70 เปอร์เซ็นต์แอมพลิจูด 30 นาที	1.47 ± 0.02 <sup>f</sup>	8.00 ± 0.05 <sup>d</sup>
70 เปอร์เซ็นต์แอมพลิจูด 45 นาที	0.88 ± 0.01 <sup>g</sup>	9.23 ± 0.07 <sup>c</sup>
90 เปอร์เซ็นต์แอมพลิจูด 15 นาที	2.02 ± 0.05 <sup>d</sup>	7.83 ± 1.27 <sup>d</sup>
90 เปอร์เซ็นต์แอมพลิจูด 30 นาที	1.31 ± 0.02 <sup>f</sup>	11.12 ± 0.14 <sup>b</sup>
90 เปอร์เซ็นต์แอมพลิจูด 45 นาที	1.37 ± 0.09 <sup>f</sup>	12.93 ± 0.39 <sup>a</sup>
แป้งข้าว	7.01 ± 0.00 <sup>a</sup>	5.48 ± 0.24 <sup>f</sup>
สารละลายค่าง	0.77 ± 0.00 <sup>g</sup>	8.93 ± 0.04 <sup>c</sup>
<b>DF<sup>2</sup></b>		
1 รอบ	5.15 ± 0.01 <sup>b</sup>	7.26 ± 0.09 <sup>c</sup>
6 รอบ	5.01 ± 0.10 <sup>b</sup>	7.82 ± 0.11 <sup>b</sup>
แป้งข้าว	7.01 ± 0.00 <sup>a</sup>	5.48 ± 0.24 <sup>d</sup>
สารละลายค่าง	0.77 ± 0.00 <sup>c</sup>	8.93 ± 0.04 <sup>a</sup>
<b>HIU และ DF<sup>3</sup></b>		
70 เปอร์เซ็นต์แอมพลิจูด 30 นาที	1.47 ± 0.02 <sup>b</sup>	8.00 ± 0.05 <sup>b</sup>
70 เปอร์เซ็นต์แอมพลิจูด 30 นาที และ DF 1 รอบ	1.36 ± 0.02 <sup>b</sup>	8.41 ± 0.96 <sup>ab</sup>
70 เปอร์เซ็นต์แอมพลิจูด 30 นาที และ DF 6 รอบ	1.14 ± 0.00 <sup>c</sup>	8.99 ± 1.23 <sup>a</sup>
แป้งข้าว	7.01 ± 0.00 <sup>a</sup>	5.48 ± 0.24 <sup>c</sup>
สารละลายค่าง	0.77 ± 0.00 <sup>d</sup>	8.93 ± 0.04 <sup>ab</sup>

-<sup>1,2,3</sup> อัตราตัวเล็กแสดงความแตกต่างตามแนวตั้ง (ในแต่ละกลุ่ม) ที่ระดับความเชื่อมั่นร้อยละ 95 ( $p \leq 0.05$ )

- ค่าเฉลี่ย ± ส่วนเบี่ยงเบนมาตรฐาน ได้จากการทดลอง 2 ครั้ง ๆ ละ 2 ชุด

เป็นเวลา 15 นาที กลุ่มที่สาม เกิดสตาร์ชที่เสียหายอยู่ในช่วงประมาณ 9.03-9.11 เปอร์เซ็นต์ ที่ สภาวะ 50 เปอร์เซ็นต์แอมพลิจูด เป็นเวลา 30 นาที ที่ สภาวะ 50 เปอร์เซ็นต์แอมพลิจูด เป็นเวลา 45 นาที และที่ สภาวะ 70 เปอร์เซ็นต์แอมพลิจูด เป็นเวลา 45 นาที กลุ่มที่สี่ เกิดสตาร์ชที่เสียหายประมาณ 11.12 เปอร์เซ็นต์ ที่ สภาวะ 90 เปอร์เซ็นต์แอมพลิจูด เป็นเวลา 30 นาที และกลุ่มที่ห้า เกิดสตาร์ชที่เสียหายประมาณ 12.93 เปอร์เซ็นต์ ที่ สภาวะ 90 เปอร์เซ็นต์แอมพลิจูด เป็นเวลา 45 นาที โดยภายในกลุ่มจะมีปริมาณสตาร์ชที่เสียหายแตกต่างกันอย่างไม่มีนัยสำคัญ ( $p>0.05$ ) ส่วนปริมาณสตาร์ชที่เสียหายระหว่างกลุ่มจะมีความแตกต่างกันอย่างมีนัยสำคัญ ( $p\leq0.05$ ) จากผลการทดลองนี้ สังเกตได้ว่าที่ สภาวะ เปอร์เซ็นต์แอมพลิจูดใดๆ เมื่อระยะเวลาในการสกัดเพิ่มขึ้นทำให้มีเปอร์เซ็นต์สตาร์ชที่เสียหายเพิ่มขึ้นอย่างมีนัยสำคัญ ( $p\leq0.05$ ) แต่เพิ่มเปอร์เซ็นต์แอมพลิจูด โดยใช้เวลาสกัดเท่ากัน ทำให้ปริมาณสตาร์ชที่เสียหาย มีความแตกต่างอย่างไม่มีนัยสำคัญ ( $p>0.05$ ) ซึ่งอาจกล่าวได้ว่า เวลาที่ใช้ในการสกัดสตาร์ชด้วย HIU มีผลต่อปริมาณสตาร์ชที่เสียหาย นอกจากนี้ สตาร์ชที่สกัดด้วยสารละลายค่างจะมีปริมาณ เปอร์เซ็นต์สตาร์ชที่เสียหาย ใกล้เคียงกับสตาร์ชที่แยกสกัดด้วย HIU ในกลุ่มที่สอง และกลุ่มที่สาม โดยมีค่าแตกต่างกันอย่างไม่มีนัยสำคัญ ( $p>0.05$ ) ในขณะที่ สภาวะ 90 เปอร์เซ็นต์แอมพลิจูด เมื่อเวลาเพิ่มขึ้น ปริมาณสตาร์ชที่เสียหายจะเพิ่มขึ้นอย่างมีนัยสำคัญ ( $p\leq0.05$ ) ที่เวลา 30 และ 45 นาที เนื่องจากที่ 90 เปอร์เซ็นต์แอมพลิจูด เป็นสภาวะที่รุนแรงและยังเกิดการเจลบที่ในเชื้อนของสตาร์ชมากเนื่องจากความร้อน ทำให้เกิดสตาร์ชที่เสียหายเพิ่มขึ้นตามไปด้วย ซึ่งสอดคล้องกับผลของการศึกษาการเกิดเจลบที่ในเชื้อนของตัวอย่าง โดยใช้เครื่อง DSC และผลสมบัติ ด้านความหนืดของสตาร์ช ซึ่งจะกล่าวต่อไปในหัวข้อ 1.3.1 อย่างไรก็ตามผลของเปอร์เซ็นต์สตาร์ชที่เสียหายที่ได้จากการทดลองนี้พบว่าไม่ใกล้เคียงกับผลการทดลองของ Wang and Wang (2004b) ที่ศึกษาการสกัดสตาร์ชข้าวเจ้า เพื่อลดระยะเวลาในการแยกสกัดสตาร์ชข้าวโดยใช้แป้งข้าว 100 กรัม ทำให้กระจายในน้ำ 200 กรัม ผ่าน HIU (20 กิโลไฮรตซ์) ที่ 75 เปอร์เซ็นต์แอมพลิจูด เป็นเวลา 30 นาที พ布ว่า มีสตาร์ชที่เสียหายประมาณ 3.1-3.5 เปอร์เซ็นต์ แต่เมื่อนำ HIU มาใช้ร่วมกับสารลดแรงตึงผิว (Surfactants) (Sodium dodecyl sulfate, SDS) ที่ความเข้มข้น 0.5 เปอร์เซ็นต์ เกิดสตาร์ชที่เสียหายประมาณ 3.1 เปอร์เซ็นต์ โดยที่สตาร์ชที่สกัดด้วยสารละลายค่างที่ความเข้มข้น 0.1 เปอร์เซ็นต์ เป็นเวลา 18 ชั่วโมง มีสตาร์ชที่เสียหายประมาณ 1.6 เปอร์เซ็นต์ โดยในการทดลองนี้ที่แป้งข้าวมีสตาร์ชที่เสียหายเริ่มต้นสูงถึง 5.4 เปอร์เซ็นต์ อาจเนื่องมาจากการถูกทำลายด้วยวิธีการโน้มข้าว และ/หรือ ชนิดของพันธุ์ข้าว ที่แตกต่างกัน ซึ่งอาจมีผลทำให้สตาร์ชที่ผ่าน HIU ในการทดลองนี้มีค่าสูงกว่า โดย HIU จะทำให้ของเหลวเกิดการแตกตัวและเกิดฟองอากาศขึ้น (cavitation) ซึ่งจะทำให้เกิดความดัน ไอที่มีผลต่อการทำลายบนผิวน้ำของวัสดุหรือผนังเซลล์ของจุลินทรีย์ได้ (Mason *et al.*, 1996) และน่าจะมีผลต่อการถูกทำลายที่ผิวน้ำของเม็ดสตาร์ช เช่นเดียวกัน

นอกจากนี้ในงานวิจัยนี้ยังได้ศึกษาถึงความเป็นไปได้ที่จะใช้ DF ซึ่งเป็นวิธีทางการภาพอีกวิธีหนึ่งที่น่าจะนำมาใช้ในการสักด้าสตาร์ช หรืออาจนำมาใช้ร่วมกับวิธีการใช้ HIU ที่มีปริมาณสตาร์ชที่เสียหายต่ำกว่าหรือใกล้เคียงกับสตาร์ชที่สักด้าด้วยสารละลายค่อนข้างมากที่สุด แต่มีปริมาณโปรตีนที่เหลืออยู่มากกว่าสตาร์ชที่สักด้าด้วยสารละลายค่อนข้าง สภาวะที่เลือกมาใช้ในการทดลองต่อไปคือ ที่สภาวะ 70 เปอร์เซ็นต์แอมพลิจูด เป็นเวลา 30 นาที โดยนำมาใช้ร่วมกับ DF ที่จำนวน 1 และ 6 ครั้ง ซึ่งได้แสดงไว้ในตารางที่ 3

การใช้วิธีการแยกสักด้าโดยการ DF เพียงอย่างเดียว ที่จำนวนการ DF 1 และ 6 รอบ พบว่า เมื่อเพิ่มจำนวนรอบในการแซ่เยือกแข็ง ทำให้ปริมาณโปรตีนที่เหลืออยู่ลดลง แต่มีค่าแตกต่างกันอย่างไม่มีนัยสำคัญ ( $p>0.05$ ) และมีสตาร์ชที่เสียหายเพิ่มขึ้นแตกต่างกันอย่างมีนัยสำคัญ ( $p\leq 0.05$ ) นอกจากนี้ยังมีปริมาณโปรตีนที่เหลืออยู่น้อยกว่า และมีสตาร์ชที่เสียหายสูงกว่าແປื้งข้าวอย่างมีนัยสำคัญ ( $p\leq 0.05$ ) (ตารางที่ 3) ซึ่งความเสียหายที่เกิดขึ้นจากการ DF นั้น เกิดจากการขยายตัวของผลึกน้ำแข็ง เกิดความดัน และมีปริมาตรของน้ำแข็งเพิ่มขึ้น ความดันที่เกิดขึ้นจะทำให้ผิวน้ำของเม็ดสตาร์ชได้ โดยความเสียหายที่เกิดขึ้นจะไม่สามารถกลับสู่สภาพเดิม ได้หลังจากทำการละลาย (Szymonaka *et al.*, 2000) ซึ่งทำให้โปรตีนที่เกาะอยู่บริเวณผิวน้ำของเม็ดสตาร์ชจะหลุดออก จึงทำให้ปริมาณโปรตีนที่เหลืออยู่ลดลง โดยเม็ดสตาร์ชมีขนาดเล็กจะมีแรงต้านแรงกดอัดมากกว่าเม็ดสตาร์ชที่มีขนาดใหญ่กว่า ไม่สามารถทำลายโดยกรองสร้างที่เป็นระเบียบและความสามารถในการบิดระนาบแสงโพลาไรซ์ (birefringence) ของเม็ดสตาร์ชได้ (Szymoneka *et al.*, 2000) ซึ่งให้ผลเช่นเดียวกับสตาร์ชที่ผ่านความดันสูง (Kudla and TomasiK, 1992) ดังนั้นการ DF จึงทำลายบริเวณผิวน้ำของเม็ดสตาร์ชอย่างไม่ค่อยรุนแรงนัก (Szymonska *et al.*, 2000) น่าจะเป็นสาเหตุที่ทำให้เกิดสตาร์ชที่เสียหายน้อยกว่าสตาร์ชที่สักด้าได้ทางเคมี และการใช้ HIU ดังนั้นจึงอาจกล่าวได้ว่าเม็ดสตาร์ชข้าวสามารถทนต่อแรงดันของผลึกน้ำแข็งได้ดีจึงไม่ทำให้เกิดความเสียหายมากนัก

ส่วนการใช้ HIU ร่วมกับการ DF นั้น พบว่า สตาร์ชที่สักด้าจาก HIU ที่ 70 เปอร์เซ็นต์แอมพลิจูด เป็นเวลา 30 นาที ร่วมกับการ DF จำนวน 1 รอบ มีปริมาณโปรตีนที่เหลืออยู่ (ประมาณ 1.36 เปอร์เซ็นต์) แตกต่างอย่างไม่มีนัยสำคัญ ( $p>0.05$ ) กับสตาร์ชที่สักด้าด้วย HIU ที่ สภาวะ 70 เปอร์เซ็นต์แอมพลิจูด เป็นเวลา 30 นาที (ประมาณ 1.47 เปอร์เซ็นต์) แต่มีค่าแตกต่างกันอย่างมีนัยสำคัญกับสตาร์ชที่ได้จาก HIU ที่ 70 เปอร์เซ็นต์แอมพลิจูด เป็นเวลา 30 นาที ร่วมกับ DF จำนวน 6 รอบ (ประมาณ 1.14 เปอร์เซ็นต์) เมื่อพิจารณาจากปริมาณของสตาร์ชที่เสียหายพบว่า สตาร์ชที่ได้จากการสักด้าด้วย HIU ที่ สภาวะ 70 เปอร์เซ็นต์แอมพลิจูด เป็นเวลา 30 นาที สตาร์ชที่ได้

จากการสกัดด้วย HIU ร่วมกับการ DF เป็นจำนวน 1 รอบ มีปริมาณสาร์ชที่เสียหายแตกต่างกันอย่างไม่มีนัยสำคัญ ( $p>0.05$ ) แต่มีความแตกต่างกันอย่างมีนัยสำคัญ ( $p\leq 0.05$ ) กับที่สภาวะ 70 เบอร์เซ็นต์แอมพลิจูด เป็นเวลา 30 นาที ร่วมกับการ DF เป็นจำนวน 6 รอบ จากการใช้ HIU ร่วมกับการ DF ทั้ง 1 และ 2 รอบ พบร้า มีปริมาณโปรตีนที่เหลืออยู่สูงกว่าสาร์ชที่สกัดด้วยสารละลายด่างและมีเบอร์เซ็นต์ของสาร์ชที่เสียหายใกล้เคียงกันอย่างมีนัยสำคัญ ( $p\leq 0.05$ ) ดังนั้นการใช้ HIU ร่วมกับการ DF เป็นจำนวน 1 และ 6 ครั้ง ยังมีปริมาณโปรตีนที่เหลืออยู่สูงกว่าสาร์ชที่สกัดด้วยสารละลายด่างอย่างมีนัยสำคัญ ( $p\leq 0.05$ ) และนอกจากนี้ยังมีปริมาณของสาร์ชที่เสียหายสูงใกล้เคียงกับสาร์ชที่สกัดด้วยสารละลายด่างอีกด้วย ดังนั้นการใช้ HIU ร่วมกับการ DF จึงไม่สามารถทำให้มีโปรตีนที่เหลืออยู่ต่ำกว่าสาร์ชที่สกัดได้ด้วยสารละลายด่างอีกทั้งยังทำให้มีปริมาณสาร์ชที่เสียหายเพิ่มขึ้นจากการใช้ HIU เพียงอย่างเดียวอีกด้วย เนื่องจากการ DF นั้นยังมีประสิทธิภาพไม่เพียงพอที่จะทำให้โปรตีนที่เหลืออยู่ลดลงได้ต้านทานกว่าหรือใกล้เคียงสาร์ชที่สกัดด้วยสารละลายด่าง

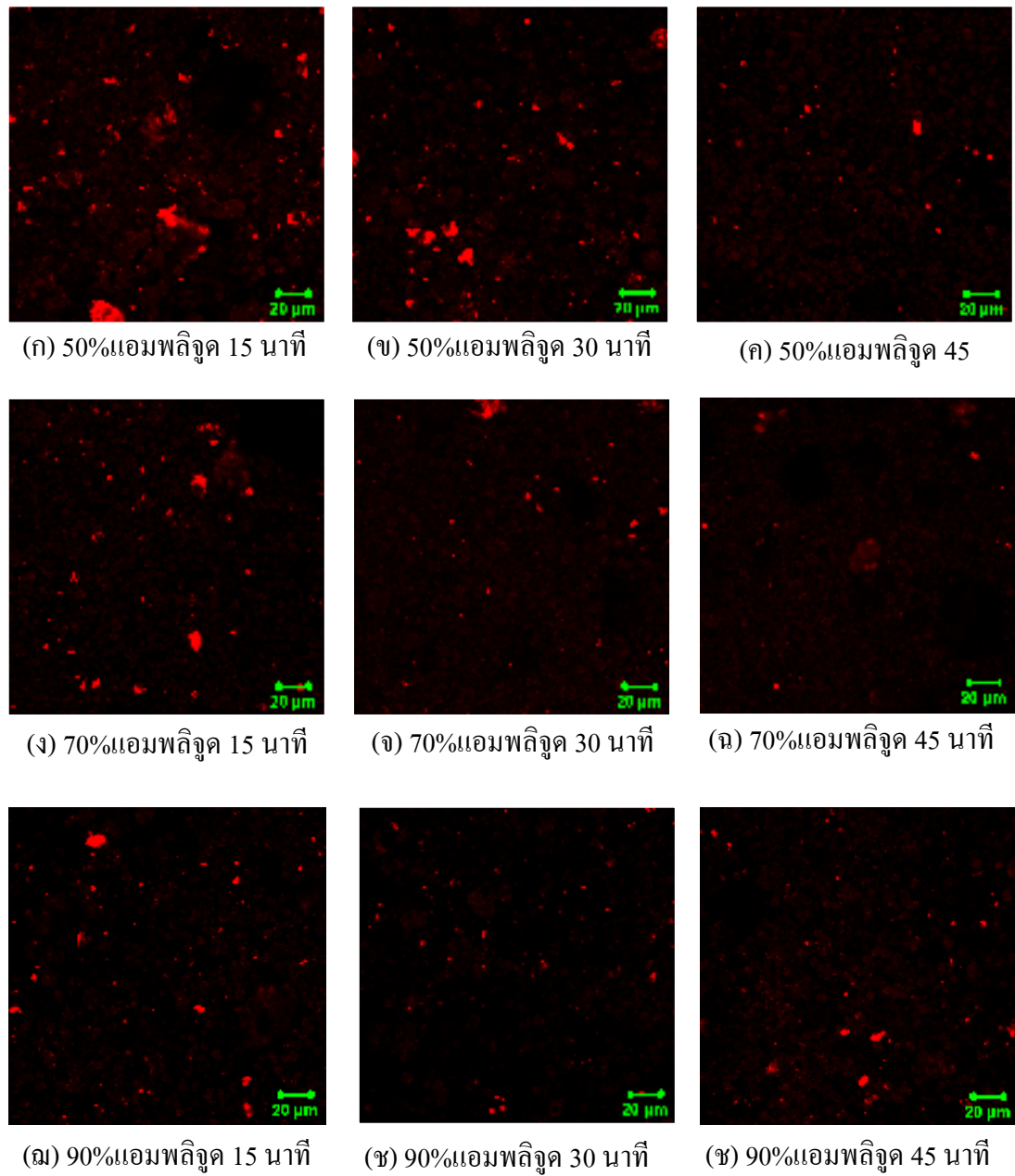
จากการทดลองของปริมาณโปรตีนที่ลดลงและปริมาณสาร์ชที่เสียหายเพิ่มขึ้นหลังจากการสกัดด้วย HIU การ DF และการสกัดร่วมกันของวิธีการใช้ HIU ร่วมกับการ DF พบร้า สภาวะที่เหมาะสมในการสกัดคือ การใช้ HIU ที่สภาวะ 70 เบอร์เซ็นต์แอมพลิจูด เป็นเวลา 45 นาที เนื่องจาก มีปริมาณโปรตีนที่เหลืออยู่ และสาร์ชที่เสียหายต่ำ และใกล้เคียงกับสาร์ชที่สกัดด้วยการใช้สารละลายด่างมากที่สุด

## 1.2 สมบัติทางกายภาพของสาร์ชที่สกัดด้วยวิธี HIU และการ DF กับวิธีการสกัดโดยใช้สารละลายด่าง

### 1.2.1 การตรวจดูโครงสร้างและโปรตีนที่เกาะตามเม็ดสาร์ชโดยใช้ Confocal laser scanning microscope (CLSM)

จากการที่ 12 และ 13 จะเห็นสีแดงของโปรตีนที่คิดสีขึ้น Rhodamine B (Red fluorescent) ที่มีความจำเพาะกับโปรตีน ที่ความเข้มแสงของเลเซอร์ 548 บันเม็ดสาร์ชของเป็นข้าวสาร์ชที่สกัดด้วยสารละลายด่าง และสาร์ชที่สกัดด้วย HIU จากการส่องด้วย CLSM สาร์ชที่สกัดด้วย HIU ที่สภาวะ 50 เบอร์เซ็นต์แอมพลิจูดเป็นเวลา 15 30 และ 45 นาที (ภาพที่ 12ก-ค) พบร้า ปริมาณสีแดงค่อนข้าง ลดลง เมื่อระยะเวลาขึ้น ซึ่งอาจกล่าวได้ว่า ที่สภาวะ 50 เบอร์เซ็นต์แอมพลิจูด เมื่อเพิ่มระยะเวลาในการสกัด จะทำให้ปริมาณโปรตีนที่เหลืออยู่ลดลง และสอดคล้องกับผลของ

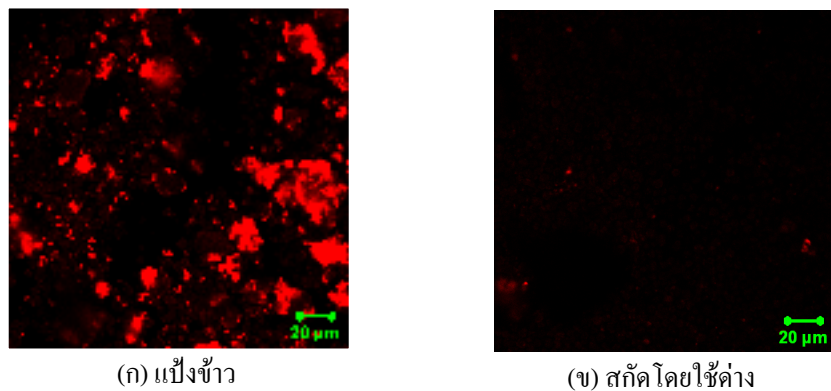
ปริมาณโปรตีนในตัวอย่างสตาร์ชข้าวจากการสกัดด้วย HIU ดังตารางที่ 3 ที่สภาวะ 50 เปอร์เซ็นต์ แอมพลิจูด เป็นเวลา 15 ปริมาณโปรตีนลดลงอย่างไม่มีนัยสำคัญ ( $p>0.05$ ) เมื่อเวลาในการสกัดนานขึ้นที่เวลา 30 นาที แต่ที่เวลา 45 นาที ปริมาณโปรตีนจะลดลงอย่างมีนัยสำคัญ ( $p\leq 0.05$ )



ภาพที่ 12 CLSM ของสตาร์ชข้าวที่สกัดด้วย HIU ที่สภาวะต่างๆ บริเวณสีแดงคือส่วนของโปรตีนที่ติดสีข้อมของ Rhodamine B (ความเข้มแสงของเลเซอร์ 548, กำลังขยายเลนส์วัตถุที่ใช้ 100 เท่า)

สตาร์ชที่สกัดด้วย HIU ที่สภาวะ 70 เปอร์เซ็นต์แอมพลิจูด เป็นเวลา 15 30 และ 45 นาที (ภาพที่ 12ง-ฉ) พบว่า ปริมาณสีแดงลดลง เมื่อระยะเวลาเพิ่มขึ้น ซึ่งอาจกล่าวได้ว่า ที่สภาวะ 70 เปอร์เซ็นต์แอมพลิจูด เมื่อระยะเวลาในการสกัดนานขึ้น จะทำให้ปริมาณโปรตีนที่เหลืออยู่ลดลง สอดคล้องกับผลของปริมาณโปรตีนที่ได้จากการทารังที่ 3 ที่สภาวะ 70 เปอร์เซ็นต์แอมพลิจูด เป็นเวลา 15 30 และ 45 นาที ปริมาณโปรตีนจะลดลงอย่างมีนัยสำคัญ ( $p \leq 0.05$ ) เมื่อระยะเวลาในการสกัดนานขึ้น

จากผลปริมาณโปรตีนที่ลดลงของสตาร์ชที่สกัดด้วย HIU ที่สภาวะ 50 และ 70 เปอร์เซ็นต์แอมพลิจูด ที่ได้จากการวิเคราะห์สมบัติทางเคมี และสมบัติทางกายภาพด้วยกล้อง CLSM นั้น สามารถยืนยันได้ว่าการใช้ HIU สามารถลดปริมาณโปรตีนในแป้งข้าวได้ ซึ่งสอดคล้องกับงานวิจัยของ Wang and Wang (2004b) ที่กล่าวว่าการสกัดด้วย HIU ที่ 50 หรือ 75 เปอร์เซ็นต์แอมพลิจูด สามารถทำให้โปรตีนบดี้ และ โปรตีนร่างแท้ที่เชื่อมกัน (associate) อยู่บนผิวของเม็ดสตาร์ช หลุดออกมา (Wang and Wang, 2004a)



**ภาพที่ 13** CLSM ของแป้งข้าวและสตาร์ชที่สกัดด้วยสารละลายด่างบริเวณสีแดงคือส่วนของโปรตีนที่ติดสีข้อมของ Rhodamine B (ความเข้มแสงของเลเซอร์ 548, กำลังขยายเลนส์วัตถุที่ใช้ 100 เท่า)

สตาร์ชที่สกัดด้วย HIU ที่สภาวะ 90 เปอร์เซ็นต์แอมพลิจูด เป็นเวลา 15 30 และ 45 นาที (ภาพที่ 12ช-ฉ) พบว่า ปริมาณสีแดงจะค่อยๆ เพิ่มขึ้น เมื่อระยะเวลาเพิ่มขึ้น ซึ่งอาจกล่าวได้ว่า ที่ 90 เปอร์เซ็นต์แอมพลิจูด เมื่อเพิ่มระยะเวลาในการสกัด จะทำให้ปริมาณโปรตีนที่เหลืออยู่เพิ่มขึ้น ซึ่งสอดคล้องกับผลของปริมาณโปรตีนที่ได้ดังตารางที่ 3 ที่สภาวะ 90 เปอร์เซ็นต์แอมพลิจูด เป็นเวลา 15 และ 30 นาที ปริมาณโปรตีนจะลดลงอย่างมีนัยสำคัญ ( $p \leq 0.05$ ) และที่เวลา 45 นาที

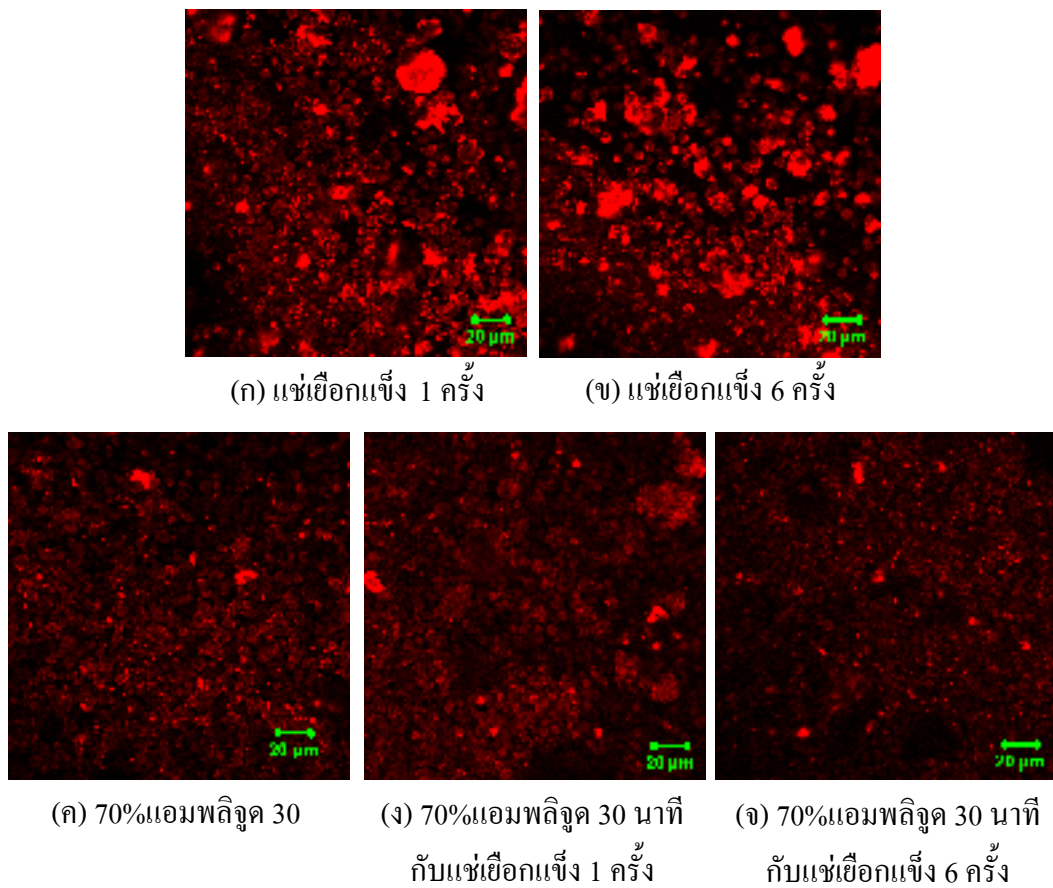
ปริมาณโปรตีนจะลดลงอย่างไม่มีนัยสำคัญ ( $p>0.05$ ) แต่ปริมาณสตาร์ชที่เสียหายเพิ่มขึ้นอย่างมีนัยสำคัญ ( $p\leq 0.05$ ) และจากผลปริมาณโปรตีนที่มีแนวโน้มว่าเพิ่มขึ้นของสตาร์ชที่ผ่าน HIU ที่สภาวะ 90 เปอร์เซ็นต์แอมพลิจูด เป็นเวลา 45 นาที ที่ได้จากการวิเคราะห์สมบัติทางเคมี และสมบัติทางกายภาพด้วยกล้อง CLSM นั้น อาจอธิบายได้ว่า สตาร์ชเกิดการเจลาทินไนเซ็นต์ไปบางส่วนเนื่องจากการแตกสลาย หรือการระเบิดของฟองอากาศในระบบของน้ำแข็ง การใช้佩อร์เซ็นต์แอมพลิจูดที่สูงเกินไป อาจทำให้เกิดการเกิด shock wave ขึ้น ถ้า佩อร์เซ็นต์ของแอมพลิจูดที่ใช้สูงขึ้น ขนาดของฟองอากาศจะเพิ่มขึ้นและเมื่อเวลาเพิ่มขึ้น จำนวนของฟองอากาศจะเพิ่มขึ้นจำนวนมากในระบบ ของเหลวจะถูกกระตุนให้เกิดการระเบิดพร้อมกันด้วย HIU และทำให้เกิดความดันที่สูงกว่า 10,000 พีโอดาลิ และอุณหภูมิที่สูงกว่า 10,000 องศา Fahrer ไอท์ ณ จุดที่เกิดการระเบิด (ศิริโรตม์, 2550; Wang and Wang, 2004a; Knorr, 2004; Moholkar and Pandit, 2001; Moholkar *et al.*, 1999) ดังนั้นการใช้ HIU ที่ 90 เปอร์เซ็นต์แอมพลิจูดจึงทำให้แบ่งบางส่วนเกิดจากเจลาทินเซ็นต์เป็นผลให้ประสิทธิภาพในการสกัดลดลง ซึ่งผลที่ได้สอดคล้องกับผลของการศึกษาการเกิดเจลาทินไนเซ็นต์ของตัวอย่าง โดยใช้เครื่อง DSC และผลสมบัติค้านความหนืดของสตาร์ช ซึ่งจะกล่าวในหัวข้อ 1.3.1 ต่อไป

จากการพิริมาณสีแดงของโปรตีนที่ติดสี Rhodamine B ของแบ่งข้าว (ภาพที่ 13ก) สังเกตได้ว่ามีปริมาณสีแดงที่พบมากกว่าสตาร์ชที่สกัดด้วย HIU (ภาพที่ 12ก-ณ) และสตาร์ชที่สกัดด้วยสารละลายด่าง (ภาพที่ 13ข) ซึ่งอาจกล่าวได้ว่าแบ่งข้าวมีปริมาณโปรตีนสูงกว่าสตาร์ชที่สกัดด้วย HIU และสตาร์ชที่สกัดด้วยสารละลายด่างอย่างเห็นได้ชัด ซึ่งสอดคล้องกับผลของปริมาณโปรตีนจากตารางที่ 3 ที่พบว่าแบ่งข้าวมี佩อร์เซ็นต์โปรตีนสูงกว่าสตาร์ชที่สกัดด้วยวิธีทางกายภาพและการใช้สารละลายด่างอย่างมีนัยสำคัญ ( $p\leq 0.05$ )

การสกัดด้วย HIU ที่สภาวะ 70 เปอร์เซ็นต์แอมพลิจูด เป็นเวลา 45 นาที (ภาพที่ 12ฉ) พบว่ามีปริมาณสีแดงใกล้เคียงกับสตาร์ชที่สกัดด้วยสารละลายด่าง ซึ่งอาจกล่าวได้ว่าการสกัดด้วย HIU ที่สภาวะ 70 เปอร์เซ็นต์แอมพลิจูด เป็นเวลา 45 นาที มีปริมาณโปรตีนใกล้เคียงกับสตาร์ชที่สกัดด้วยสารละลายด่าง ซึ่งสอดคล้องกับปริมาณโปรตีนในตารางที่ 3 ซึ่งมีค่าแตกต่างกันอย่างไม่มีนัยสำคัญ ( $p>0.05$ )

ภาพที่ 14 เป็นการเปรียบเทียบสตาร์ชที่ผ่านการ DF จากการส่องด้วย CLSM ที่ความเข้มแสงของเลเซอร์ 645 พบว่าการ DF เป็นจำนวน 1 และ 6 รอบ (ภาพที่ 12ก และ 12ข) มีปริมาณสีแดงใกล้เคียงกัน ซึ่งอาจกล่าวได้ว่าการ DF สองสภาวะนี้มีปริมาณโปรตีนใกล้เคียงกัน

และสอดคล้องกับปริมาณ โปรตีนในตารางที่ 3 ที่มีปริมาณ โปรตีนแตกต่างกันอย่าง ไม่มีนัยสำคัญ ( $p>0.05$ ) เมื่อเพิ่มจำนวนครั้ง ในการแช่เยือกแข็ง



**ภาพที่ 14** CLSM ของสาร์ชข้าวที่สกัดด้วย DF และการ HIU ร่วมกับ DF ที่สภาพต่างๆ บริเวณสีแดงคือส่วนของโปรตีนที่ติดสีข้อมูลของ Rhodamine B (ความเข้มแสงของเลเซอร์ 645, กำลังขยายเลนส์วัตถุที่ใช้ 100 เท่า)

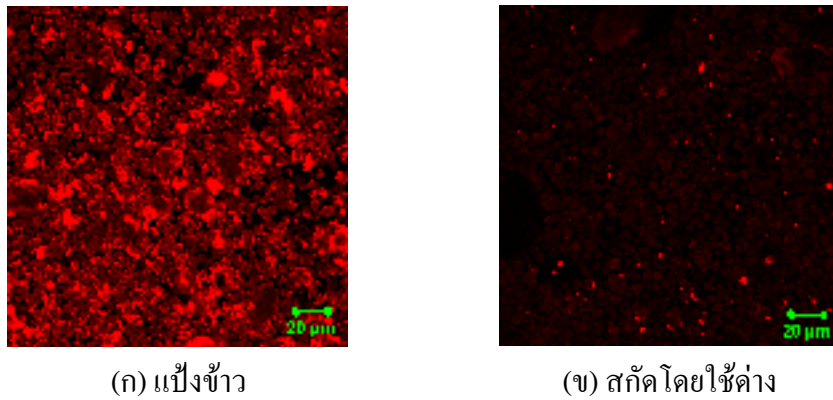
จากภาพที่ 14ก เป็นการเปรียบเทียบสตาร์ชที่ผ่าน HIU ที่สภาวะ 70 เปอร์เซ็นต์ แอมพลิจูด เป็นเวลา 30 นาที เพียงอย่างเดียว กับสตาร์ชที่สกัดด้วย HIU ร่วมกับการ DF จำนวน 1 และ 6 รอบ จากภาพที่ 14ง และ 14จ ตามลำดับ พบว่าสตาร์ชที่สกัดด้วย HIU มีปริมาณสีแดง ใกล้เคียงกับสตาร์ชที่สกัดด้วย HIU ร่วมกับการ DF จำนวน 1 รอบ สตาร์ชที่สกัดได้ทึ้งสองสภาวะนี้ พบว่ามีปริมาณสีแดงมากกว่าสตาร์ชที่สกัด HIU ร่วมกับการ DF จำนวน 6 รอบ ซึ่งอาจกล่าวได้ว่าสตาร์ชที่สกัดด้วย HIU เพียงอย่างเดียว มีปริมาณ โปรตีนใกล้เคียงกับสตาร์ชที่สกัดด้วย HIU ร่วมกับการ DF จำนวน 1 รอบ และสตาร์ชที่ได้จากการสกัดทึ้งสองสภาวะนี้ มีปริมาณ โปรตีนที่

เหลืออยู่มากกว่าสตาร์ชที่สกัดด้วย HIU ร่วมกับการ DF จำนวน 6 รอบ ซึ่งสอดคล้องกับเปอร์เซ็นต์โปรตีนในตารางที่ 3 คือสตาร์ชที่สกัดด้วย HIU เพียงอย่างเดียว มีเปอร์เซ็นต์โปรตีนที่เหลืออยู่แตกต่างอย่างไม่มีนัยสำคัญ ( $p>0.05$ ) กับสตาร์ชที่สกัดด้วย HIU ร่วมกับการ DF จำนวน 1 รอบ และสตาร์ชที่ได้จากการสกัดทั้งสองสภาวะนี้ มีเปอร์เซ็นต์โปรตีนที่เหลืออยู่มากกว่าสตาร์ชที่ผ่าน HIU ร่วมกับการ DF จำนวน 6 รอบอย่างมีนัยสำคัญ ( $p\leq 0.05$ )

จากผลการสกัดร่วมกันระหว่าง HIU กับ DF นั้นอาจสรุปได้ว่าการใช้ HIU อาจไปช่วยเพิ่มประสิทธิภาพในการสกัดของการ DF โดยการสกัดด้วย HIU อาจไปทำให้พันธะระหว่างโปรตีนและสตาร์ชที่ผิวเม็ดสตาร์ชอ่อนแอลง และเมื่อนำมาผ่านการ DF จำนวน 6 รอบจึงทำให้โปรตีนหลุดออกได้ง่ายขึ้น

สตาร์ชที่ได้จากการ DF เพียงอย่างเดียว (ภาพที่ 14ก และ 14ข) และสตาร์ชที่ได้จาก HIU ร่วมกับการ DF (ภาพที่ 14ง และ 14จ พบว่ามีสีแดงน้อยกว่าแป้งขาว (ภาพที่ 15ก) แต่มีสีแดงมากกว่าสตาร์ชที่สกัดด้วยด่างอย่างเห็นได้ชัด ซึ่งอาจล่าวได้ว่า สตาร์ชที่ได้จากการ DF เพียงอย่างเดียว และสตาร์ชที่ได้จาก HIU ร่วมกับการ DF มีปริมาณโปรตีนที่เหลืออยู่ต่ำกว่าแป้งขาว แต่มีปริมาณโปรตีนที่เหลืออยู่สูงกว่าสตาร์ชที่สกัดด้วยสารละลายค่าง ซึ่งสอดคล้องกับปริมาณโปรตีนที่เหลืออยู่ในตารางที่ 3 คือ สตาร์ชที่ได้จากการ DF เพียงอย่างเดียว และสตาร์ชที่ได้จาก HIU ร่วมกับการ DF จำนวน 1 และ 6 รอบ มีปริมาณโปรตีนที่เหลืออยู่ต่ำกว่า แป้งขาวอย่างมีนัยสำคัญ ( $P\leq 0.05$ ) แต่มีปริมาณโปรตีนที่เหลืออยู่สูงกว่าสตาร์ชที่สกัดด้วยด่างอย่างมีนัยสำคัญ ( $P\leq 0.05$ ) การนำวิธีการ DF มาใช้ในการสกัดสตาร์ช หรือนำมาใช้ในการสกัดร่วมกับ HIU นั้นไม่สามารถสกัดสตาร์ชให้มีปริมาณโปรตีนที่เหลืออยู่ได้ใกล้เคียงกับสตาร์ชที่สกัดด้วยสารละลายค่าง

จากภาพที่ 13 และภาพที่ 15 เป็นภาพของแป้งขาวและสตาร์ชที่สกัดด้วยสารละลายค่าง พบว่ามีสีแดงแตกต่างกันอย่างเห็นได้ชัด เนื่องจากมีความเข้มแสงของเลเซอร์แตกต่างกัน ภาพที่ 13 มีความเข้มแสงของเลเซอร์ 548 ซึ่งต่ำกว่า ภาพที่ 15 ที่มีความเข้มแสงของเลเซอร์ 645 เนื่องจากผู้ทดลองคาดว่าเมื่อการสกัดด้วย HIU แล้วเพิ่มวิธีการสกัดด้วย DF น่าจะทำให้ปริมาณสีแดงลดลงกว่าเดิมที่มีการสกัดด้วย HIU เพียงอย่างเดียว จึงให้ปริมาณความเข้มแสงของเลเซอร์ที่ใช้สูงขึ้น ซึ่งตัวอย่างแป้งขาว และสตาร์ชที่สกัดด้วยสารละลายค่าง ที่จะนำมาเปรียบเทียบ นั้นต้องนำมาถ่ายภาพใหม่โดยใช้ความเข้มแสงของเลเซอร์เดียวกันด้วยถึงจะนำมาเปรียบเทียบกันได้

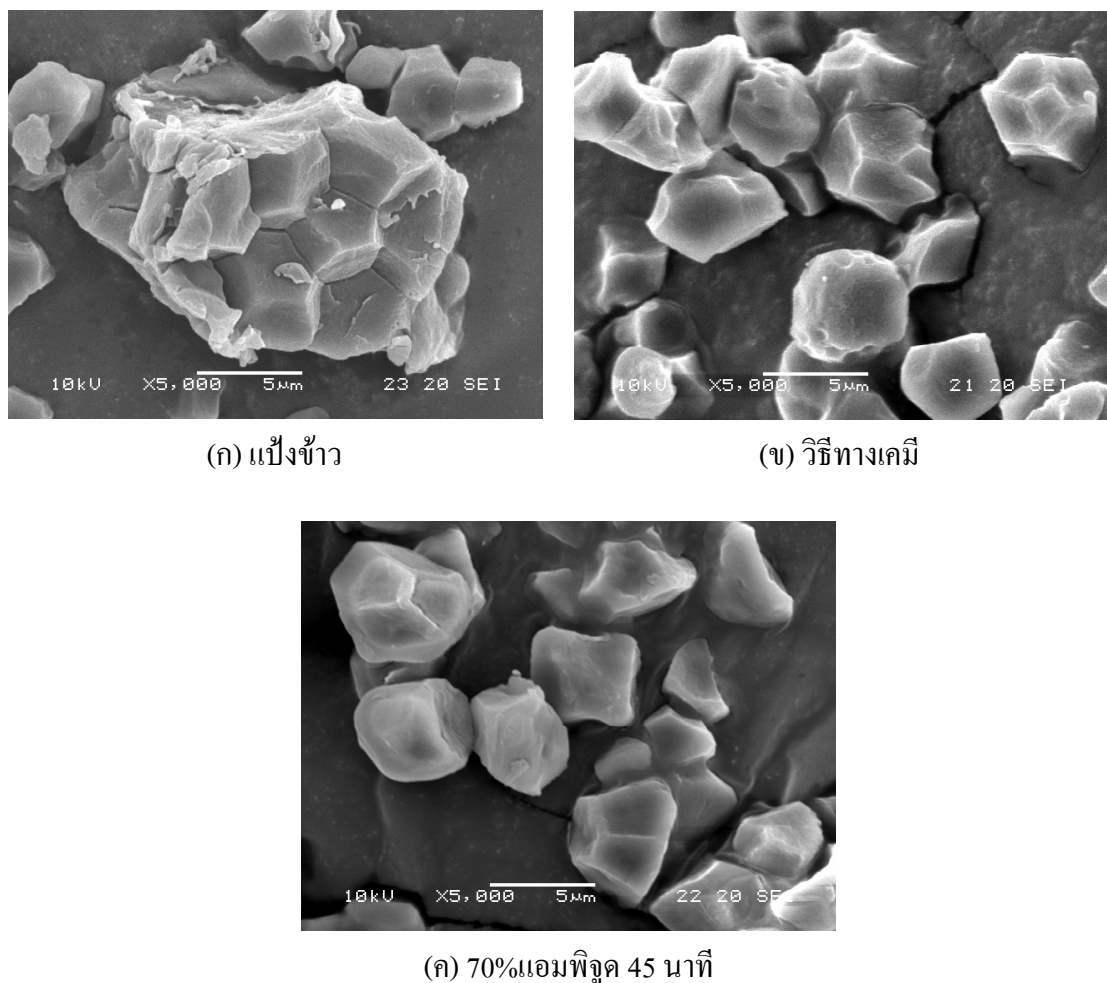


**ພາຫີ່ 15** CLSM ຂອງແປ້ງຂ້າວແລະສຕາຮ໌ທີ່ສັກັດດ້ວຍສາරະລາຍດ່າງບຣິເວນສີແແດງຄື່ອສ່ວນຂອງໂປຣຶນທີ່ຕິດສີຂຶ້ມນຂອງ Rhodamine B (ໃຊ້ຄວາມເຂັ້ມແໜງຂອງເລເຊອຣ໌ 645, ກຳລັງຂໍາຍເລັນສີວັດຖຸທີ່ໃຊ້ 100 ເທົ່າ)

#### 1.2.2 ການຕຽບຕູ້ໂຄຮູ່ຮ່າງຮະດັບຈຸດການຂອງເມື່ອສຕາຮ໌ດ້ວຍກລິ້ອງຈຸດທຣຣັນ ອີເລີກຕຣອນແບບສ່ອງກຣາດ (Scanning electron microscope, JEOL, JSM-5600LV, England)

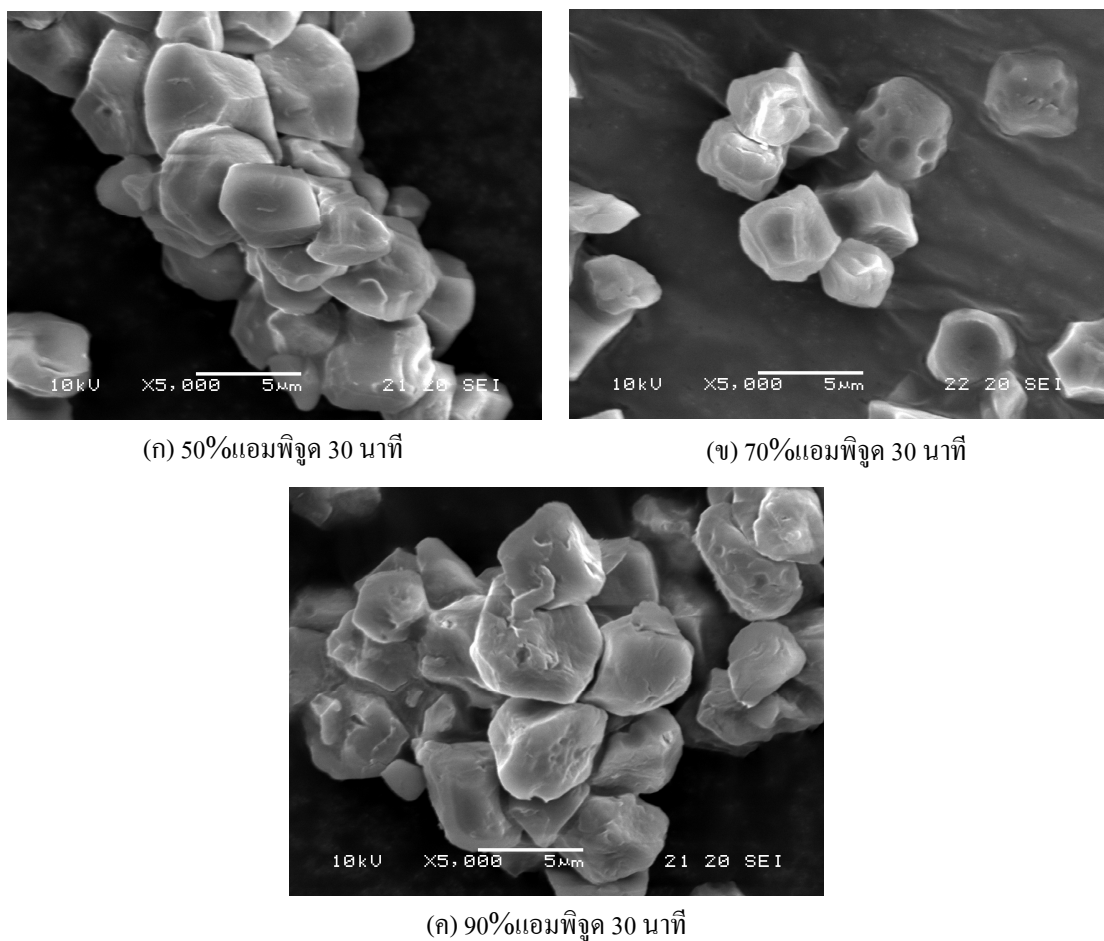
ຈາກພາຫີ່ 16 ພບວ່າລັກນະໂຄຮູ່ຮ່າງກາຍນອກຂອງເມື່ອສຕາຮ໌ແປ້ງຂ້າວ (ພາຫີ່ 16ກ) ມີຮູ່ປ່າຍຫລາຍເຫັ້ນ ພື້ນຜົວເຮີຍ ເມື່ອສຕາຮ໌ຂັງຄົງເກາະຕິດກັນເປັນກຸ່ມ ໄນແຍກອອກຈາກກັນອ່າງຊັດເຈນ ເນື່ອຈາກຍັງມີສ່ວນທີ່ຫ່ອຫຼຸມເມື່ອສຕາຮ໌ແລະອົງກໍປະກອບອື່ນໆ ທີ່ເກາະຮົມອູ່ກັບເມື່ອສຕາຮ໌ ຄື່ອໂປຣຶນແລະໄຟມັນ ໃນພາຈະສັງເກດເຫັນໂປຣຶນບອດີຕິດອູ່ດ້ວຍ ຜົ່ງລັກນະການເກາະຂອງເມື່ອສຕາຮ໌ ຈະແຕກຕ່າງກັບສຕາຮ໌ທີ່ສັກັດດ້ວຍສາරະລາຍດ່າງ (ພາຫີ່ 16ບ) ແລະສຕາຮ໌ທີ່ສັກັດດ້ວຍ HIU ທີ່ສກວະ 70 ເປົ້ອຮັ້ນຕໍ່ແອມພລິຈຸດ ເປັນເວລາ 45 ນາທີ (ພາຫີ່ 16ຄ) ພບວ່າເມື່ອສຕາຮ໌ຮູ່ປ່າຍຫລາຍເຫັ້ນໄມ່ເກາະຕິດກັນ ທີ່ນີ້ເນື່ອຈາກໂປຣຶນແລະໄຟມັນທີ່ແກຣກອູ່ຮ່າງວ່າງເມື່ອສຕາຮ໌ແລະບຣິເວນຜົວຂອງເມື່ອສຕາຮ໌ຫລຸດອອກໄປໜັງແກ່ກັນກົດກັນນີ້ທີ່ເໜື່ອງແຍກອອກ (Yoenyong-buddhagal and Noomhorm, 2002; Chiang and Yeh, 2002; Haros *et al.*, 2002; Haros *et al.*, 2004) ຄວາມເລີຍຫາທາງກາຍກາພຂອງສຕາຮ໌ທີ່ສັກັດ ໂດຍໃຊ້ສາරະລາຍດ່າງ ແລະ HIU ທີ່ມີລັກນະເປັນຫລຸມຕົ້ນ ບຽບຮະນັ້ນ ຜົ່ງມີລັກນະທີ່ໄກລີເຄີຍກັນ ແຕ່ມີລັກນະແຕກຕ່າງຈາກແປ້ງຂ້າວໂດຍແປ້ງຂ້າວຈະມີລັກນະພື້ນຜົວທີ່ເຮີຍກວ່າ ແສດງວ່າແປ້ງຂ້າວກ່ອນທີ່ຈະຝ່າຍກົດກັນກົດກັນນີ້ທີ່ເໜື່ອງແຍກອອກ ຈະມີອົງກໍປະກອບອື່ນໆ ເຊັ່ນໂປຣຶນ ຮ່ອຫຼຸມຫຼືເກາະອູ່ບຣິເວນຜົວໜ້າຂອງສຕາຮ໌ ແລະເນື່ອຝ່າຍກົດກັນ ສັກັດອົງກໍປະກອບເຫັນນີ້ ຈະຫລຸດອອກໄປ ເໜື້ອໃຫ້ເຫັນແຕ່ເມື່ອສຕາຮ໌ທີ່ມີລັກນະຫລາຍເຫັ້ນຊັດເຈນ ຂຶ້ນແລະມີຮ່ອງຮອຍກາຮຫລຸດຂອງໂປຣຶນບອດີທີ່ມີລັກນະເປັນຫລຸມຕົ້ນບຽບຮະ ຜົ່ງຮ່ອງຮອຍກາຮຫລຸດອອກຂອງໂປຣຶນບອດີທີ່ພົນນັ້ນ ແສດງໃຫ້ເຫັນວ່າປຣິມານໂປຣຶນທີ່ເໜື້ອອູ່ກວ່າຈະລົດລົງຫລັງຈາກຝ່າຍກົດກັນນີ້

สกัดด้วย HIU และสารละลายน้ำ ซึ่งสอดคล้องกับการศึกษาสมบัติทางเคมีของแป้งข้าว สตาร์ชที่ผ่านการสกัดด้วยสารละลายน้ำ และสตาร์ชที่สกัดด้วย HIU ที่สภาวะ 70 เปรอร์เซ็นต์แอมพลิจูด เป็นเวลา 45 นาที (ตารางที่ 3) นั่นคือ แป้งข้าวധิมีปริมาณโปรตีนเริ่มต้นสูงกว่าสตาร์ชที่สกัดด้วยสารละลายน้ำ และ HIU ที่สภาวะ 70 เปรอร์เซ็นต์แอมพลิจูด เป็นเวลา 45 นาที อย่างมีนัยสำคัญ ( $P \leq 0.05$ ) และจากความเสียหายที่เกิดขึ้นบนผิวของเม็ดสตาร์ช ของทั้งสามตัวอย่าง สอดคล้องกับปริมาณสตาร์ชที่เสียหาย คือ แป้งข้าวจะมีปริมาณของสตาร์ชที่เสียหายเริ่มต้นน้อยกว่าสตาร์ชที่สกัดโดยใช้สารละลายน้ำ และสตาร์ชที่สกัดด้วยด้วย HIU ที่สภาวะ 70 เปรอร์เซ็นต์แอมพลิจูด เป็นเวลา 45 นาที อย่างมีนัยสำคัญ ( $P \leq 0.05$ ) และสตาร์ชที่สกัดด้วยสารละลายน้ำ และสตาร์ชที่สกัดด้วย HIU จะมีปริมาณสตาร์ชที่เสียหายแตกต่างกันอย่างไม่มีนัยสำคัญ ( $P > 0.05$ )



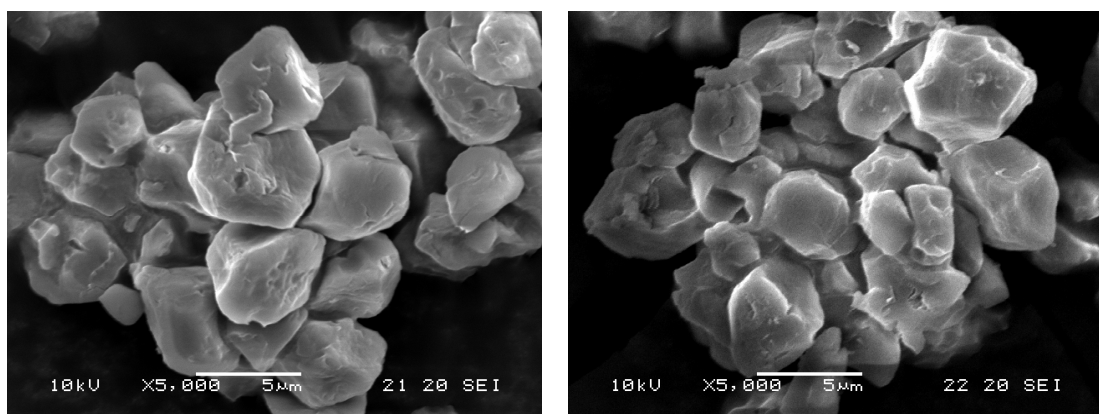
**ภาพที่ 16** SEM ของแป้งข้าว สตาร์ชที่สกัด HIU และสตาร์ชที่สกัดด้วยสารละลายน้ำ (กำลังขยาย 5,000 เท่า)

ลักษณะโครงสร้างอนุภาคของเม็ดสตาร์ช ที่สกัดจาก HIU ที่สภาวะ 50 70 และ 90 เปอร์เซ็นต์แอมพลิจูด เป็นเวลา 30 นาที เมื่อศึกษาด้วย SEM พบว่าลักษณะโครงสร้างภายนอกของเม็ดสตาร์ชที่ผ่าน HIU ที่สภาวะ 50 เปอร์เซ็นต์แอมพลิจูด (ภาพที่ 17 ก) มีรูปร่างหลายเหลี่ยม พื้นผิวค่อนข้างเรียบมน เม็ดสตาร์ซึ่งคงสภาพติดกันเป็นกลุ่ม ไม่แยกออกจากกันอย่างชัดเจน เนื่องจากยังมีส่วนที่ห่อหุ้มเม็ดสตาร์ชและสารอื่นๆ ที่เกาะรวมอยู่กับเม็ดสตาร์ช คือ โปรตีนและไขมัน ซึ่งเมื่อเพิ่มเปอร์เซ็นต์แอมพลิจูดเป็น 70 เปอร์เซ็นต์แอมพลิจูด (ภาพที่ 17 ข) จะมีลักษณะแตกต่างกันคือ ที่มีรูปร่างหลายเหลี่ยมชัดเจนขึ้น พื้นผิวลักษณะเป็นหลุมตื้น ชรุบระ ไม่เกาะติดกัน ทั้งนี้เนื่องจากโปรตีนและไขมันที่แทรกอยู่ระหว่างเม็ดสตาร์ชและบริเวณผิวของเม็ดสตาร์ชหลุดออกไปหลังผ่านการสกัดโดยใช้ HIU และถูกแยกออกไปกับน้ำที่เหวี่ยงแยกออก (Yoenyong-buddhal and Noomhorm, 2002; Chiang and Yeh, 2002; Haros *et al.*, 2002; Haros *et al.*, 2004)



**ภาพที่ 17** Scanning electron micrographs สตาร์ชที่ผ่าน HIU ที่สภาวะ 50 70 และ 90 เปอร์เซ็นต์ แอมพลิจูด เป็นเวลา 30 นาที (กำลังขยาย 5,000 เท่า)

และเมื่อเพิ่มเปอร์เซ็นต์แอมพลิจูดเป็น 90 เปอร์เซ็นต์ (ภาพที่ 17ค) พบร่วมกับการเก่าตัวกันแน่น และมีลักษณะหลอมเชื่อมติดกันของเม็ดสตาร์ช ซึ่งน่าจะเกิดจากความร้อนทำให้การเจลาทีไนเซชันของเม็ดสตาร์ชบางส่วนขณะทำการแยกสกัดด้วย HIU ที่สภาวะนี้ ผลของลักษณะโครงสร้างนี้ สอดคล้องกับการศึกษาสมบัติทางเคมีของสตาร์ชที่ผ่านการสกัดด้วย HIU ที่สภาวะ 50 70 และ 90 เปอร์เซ็นต์แอมพลิจูด เป็นเวลา 30 นาที (ตารางที่ 3) นั่นคือ เมื่อเปอร์เซ็นต์แอมพลิจูดเพิ่มขึ้น ที่ 50 และ 70 เปอร์เซ็นต์ เป็นเวลา 30 นาที ปริมาณโปรตีนที่เหลืออยู่จะลดลงอย่างมีนัยสำคัญ ( $P \leq 0.05$ ) แต่เมื่อเพิ่มเปอร์เซ็นต์แอมพลิจูดเป็น 90 เปอร์เซ็นต์แอมพลิจูด เป็นเวลา 30 นาที ปริมาณโปรตีนจะ ไม่ลดลงอีก และมีแนวโน้มเพิ่มขึ้นอย่างมีนัยสำคัญ นอกจากนี้ความเสียหายที่เกิดขึ้นบนผิวของเม็ดสตาร์ช ของห้องสามตัวอย่าง ยังสอดคล้องกับปริมาณสตาร์ชที่เสียหายคือ สตาร์ชที่ผ่านการสกัด HIU ที่สภาวะ 50 และ 70 เปอร์เซ็นต์แอมพลิจูด เป็นเวลา 30 นาที มีปริมาณสตาร์ชที่เสียหายแตกต่างกันอย่างมีนัยสำคัญ ( $P \leq 0.05$ ) แต่การสกัดสตาร์ชทั้งสองสภาวะนี้ จะมีปริมาณสตาร์ชที่เสียหายน้อยกว่าสตาร์ชที่สกัดที่สภาวะ 90 เปอร์เซ็นต์แอมพลิจูด เป็นเวลา 30 นาที อย่างมีนัยสำคัญ ( $P \leq 0.05$ ) ซึ่งความเสียหายที่เกิดขึ้นน่าจะเกิดจากการเจลาทีไนเซชันของเม็ดสตาร์ชบางส่วนขณะทำการแยกสกัดด้วย HIU ที่สภาวะนี้



(ก) 90%แอมพลิจูด 30 นาที

(ข) 90%แอมพลิจูด 45 นาที

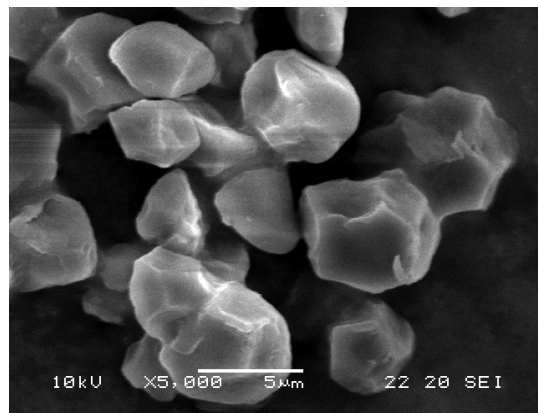
**ภาพที่ 18** SEM สตาร์ชที่ผ่าน HIU ที่สภาวะ 90 เปอร์เซ็นต์แอมพลิจูด เป็นเวลา 30 และ 45 นาที  
(กำลังขยาย 5,000 เท่า)

ลักษณะโครงสร้างของเม็ดสตาร์ช ที่สกัดจาก HIU ที่สภาวะ 90 เปอร์เซ็นต์แอมพลิจูด เป็นเวลา 30 และ 45 นาที (ภาพที่ 18ก และ 18ข) พบร่วมกับการเก่าตัวกันแน่น และมีลักษณะหลอมเชื่อมติดกันของเม็ดสตาร์ช ทั้งสองสภาวะ แต่ที่สภาวะ 90 เปอร์เซ็นต์แอมพลิจูด เป็นเวลา 45 นาที เม็ดสตาร์ชจะเกิดความเสียหายหรือมีลักษณะหลอมเชื่อมติดกันมากกว่า ซึ่งน่าจะเกิดจากการเจ

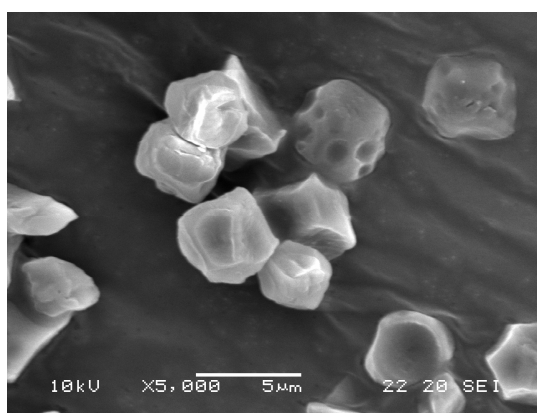
ล่าที่ในเชื้อชาติเม็ดสตาร์ชบางส่วนจะทำการแยกสกัดด้วย HIU ที่สภาวะนี้ ซึ่งผลของลักษณะโครงสร้างนี้ สอดคล้องกับการศึกษาสมบัติทางเคมีของสตาร์ชดังตารางที่ 3 จากค่าปริมาณสตาร์ชที่เสียหายพบว่า สตาร์ชที่สกัดที่สภาวะ 90 เปอร์เซ็นต์แอมพลิจูด เป็นเวลา 45 นาที มีปริมาณสตาร์ชที่เสียหายมากกว่า สตาร์ชที่สกัดด้วย HIU ที่สภาวะ 90 เปอร์เซ็นต์แอมพลิจูด เป็นเวลา 30 นาที อ่างมีน้ำสำคัญ ( $P \leq 0.05$ ) และนอกจากนี้ยังพบว่า ที่สภาวะ 90 เปอร์เซ็นต์แอมพลิจูด เมื่อเวลาเพิ่มขึ้น จากการเจลاثิโนไซด์ของเม็ดสตาร์ชจะมากขึ้นและจะมีค่าเพิ่มขึ้นอย่างมีนัยสำคัญ ( $P \leq 0.05$ ) ที่ 90 เปอร์เซ็นต์แอมพลิจูด เนื่องจากพลังงานความร้อนที่เพิ่มขึ้นจะสกัดด้วย HIU เป็นเวลา 45 นาที ซึ่งผลที่ได้สอดคล้องกับผลของการศึกษาการเกิดเจลاثิโนไซด์ของเม็ดสตาร์ชจะลดลงตัวอย่าง โดยใช้เครื่อง DSC และผลสมบัติค่านความหนืดของสตาร์ช ซึ่งจะกล่าวในหัวข้อ 1.3.1 และเป็นผลให้ประสิทธิภาพในการสกัดลดลง

จากการศึกษาโครงสร้างอนุภาคเม็ดสตาร์ชที่สกัดด้วยการ DF จำนวน 6 รอบ HIU ที่สภาวะ 70 เปอร์เซ็นต์แอมพลิจูด เวลา 30 นาที และ HIU ร่วมกับการ DF จำนวน 6 ครั้ง โดยใช้ SEM ดังแสดงในภาพที่ 17 พบว่าลักษณะโครงสร้างภายในของเม็ดสตาร์ชที่ผ่านการ DF 6 จำนวนรอบ (ภาพที่ 19ก) มีรูปร่างหลายเหลี่ยม พื้นผิวค่อนข้างเรียบ เม็ดสตาร์ชยังคงเกะดิดกันเป็นกลุ่มไม่แยกออกจากกันอย่างชัดเจนเนื่องจากยังมีส่วนที่ห่อหุ้มเม็ดสตาร์ชและสารอื่นๆ ที่เกาะรวมอยู่กับเม็ดสตาร์ช คือ โปรตีนและไขมัน ซึ่งแตกต่างกับสตาร์ชที่สกัดด้วย HIU ที่สภาวะ 70 เปอร์เซ็นต์แอมพลิจูด เป็นเวลา 30 นาที เพียงอย่างเดียว (ภาพที่ 19ข) และสตาร์ชที่สกัดด้วย HIU ร่วมกับการ DF (ภาพที่ 19ค) ที่มีรูปร่างหลายเหลี่ยมมีลักษณะกลมมนขึ้นเล็กน้อย พื้นผิวมีลักษณะเป็นหลุมดื่น บรู๊ฟ ไม่เกาะติดกัน ทั้งนี้เนื่องจากโปรตีนและไขมันที่แทรกอยู่ระหว่างเม็ดสตาร์ช และบริเวณผิวของเม็ดสตาร์ชหลุดออกไปหลังผ่านการสกัดโดยใช้ HIU และ DF และถูกแยกออกไปกับน้ำที่เทวี่ยงแยกออก (Yoenyong-buddhagal and Noomhorm, 2002; Chiang and Yeh, 2002; Haros *et.al.*, 2002; Haros *et.al.*, 2004) ความเสียหายทางกายภาพของสตาร์ชที่สกัดโดยใช้ HIU เพียงอย่างเดียว กับการสกัดด้วย HIU และ DF ที่มีลักษณะหลายเหลี่ยม กลมมนเล็กน้อย เป็นหลุมดื่น และบรู๊ฟนั้น มีลักษณะใกล้เคียงกัน แต่มีความแตกต่างจากสตาร์ชที่สกัดด้วยการ DF จำนวน 6 รอบ เพียงอย่างเดียว ที่มีลักษณะเหลี่ยมคมกว่า และมีพื้นผิวไม่บรู๊ฟเป็นหลุมดื่น (ภาพที่ 17ก) จากความเสียหายที่เกิดขึ้นบนผิวของเม็ดสตาร์ช ของทั้งสามตัวอย่าง สอดคล้องกับปริมาณสตาร์ชที่เสียหาย คือ สตาร์ชที่สกัดด้วย DF จะมีปริมาณสตาร์ชที่เสียหายน้อยกว่า สตาร์ชที่สกัดด้วย HIU ที่สภาวะ 70 เปอร์เซ็นต์แอมพลิจูด เป็นเวลา 30 นาที เพียงอย่างเดียว และสตาร์ชที่สกัดด้วย HIU ร่วมกับการ DF จำนวน 6 รอบ อ่างมีนัยสำคัญ ( $P \leq 0.05$ ) และสตาร์ชที่สกัดด้วย HIU ที่สภาวะ 70 เปอร์เซ็นต์แอมพลิจูด เป็นเวลา 30 นาที จะมีปริมาณที่เสียหายแตกต่างอย่างไม่มีนัยสำคัญ ( $P > 0.05$ )

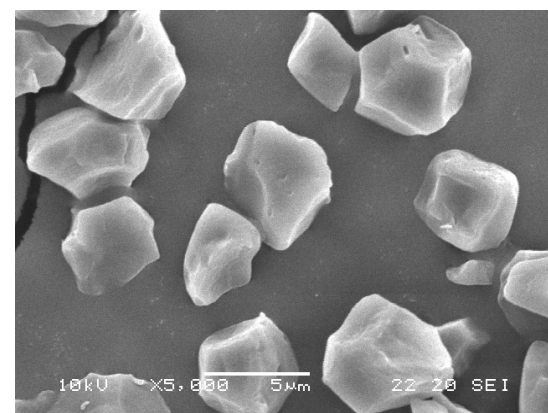
กับสตาร์ชที่สกัดด้วย HIU ร่วมกับการ DF จำนวน 6 รอบ จากภาพลักษณะของเม็ดสตาร์ชที่สกัดด้วยการ HIU ร่วมกับการ DF จำนวน 6 รอบ สังเกตได้ว่า บริเวณผิวน้ำของเม็ดสตาร์ชมีความเสียหาย โดยมีการแตกกระเทาะออก ทำให้ลักษณะของเม็ดสตาร์ชมีความสมบูรณ์น้อยกว่าสตาร์ชที่ผ่านการ DF เพียงอย่างเดียว (ภาพที่ 19ก และ 19ค)



(ก) แซ่เยือกแข็ง 6 รอบ



(ห) 70%แอลกอฮอล์ 30 นาที



(ค) 70%แอลกอฮอล์ 30 นาที กับแซ่เยือกแข็ง 6 รอบ

**ภาพที่ 19** SEM ของสตาร์ชที่การสกัดด้วย HIU และการ DF เพียงอย่างเดียว และสตาร์ชที่สกัดด้วย HIU ร่วมกับการแซ่เยือกแข็งอุณหภูมิต่ำ (กำลังขยาย 5,000 เท่า)

### 1.3 สมบัติทางเคมีเชิงฟิสิกส์ของสตาร์ชที่สกัดด้วย HIU และการ DF กับวิธีสกัดด้วยสารละลายน้ำ

#### 1.3.1 คุณสมบัติด้านความร้อน (thermal properties) โดยใช้การตรวจสอบด้วยเครื่อง

Differential Scanning Calorimeter (DSC)

การเกิดเจลาทีไนเซชันของแป้งข้าว สาร์ชที่สกัดด้วย HIU การ DF สาร์ชที่สกัดด้วย HIU ร่วมกับ DF และสาร์ชที่สกัดด้วยสารละลายค่าง เมื่อศึกษาด้วย DSC แสดงดังตารางที่ 4 และภาพภาคผนวก จ 1-3 ที่แสดงค่าอุณหภูมิเริ่มเกิดเจลาทีไนเซชัน (onset temperature,  $T_o$ ) อุณหภูมิสุดท้ายในการเกิดเจลาทีไนเซชัน (conclusion temperature,  $T_c$ ) และค่าพลังงานที่ใช้ในการเกิดเจลาทีไนเซชัน (enthalpy,  $\Delta H_{gel}$ )

เมื่อนำแป้งข้าวมาวิเคราะห์ด้วยขณะการเกิดเจลาทีไนเซชันพบว่า มีค่าอุณหภูมิเริ่มเกิดเจลาทีไนเซชัน และค่าพลังงานทั้งหมดที่ใช้ในการเกิดเจลาทีไนเซชันประมาณ 62.30 องศาเซลเซียสและ 12.99 จูลต่อกรัม ตามลำดับ เมื่อนำแป้งข้าวมาสกัดด้วย HIU ที่สภาวะต่างๆ พบว่า มีค่าอุณหภูมิเริ่มเกิดเจลาทีไนเซชันอยู่ในช่วงประมาณ 60.96-61.91 องศาเซลเซียส ซึ่งมีค่าลดลงหลังการสกัด แต่มีความแตกต่างกันอย่างไม่มีนัยสำคัญ ( $P>0.05$ ) กับแป้งข้าว และสาร์ชที่สกัดด้วยสารละลายค่าง (ประมาณ 62.05-62.30 องศาเซลเซียส) การที่อุณหภูมิเริ่มเกิดเจลาทีไนเซชันของสาร์ช หลังการสกัดมีค่าลดลง อาจมาจากการที่มีปริมาณสาร์ชที่เสียหายเพิ่มขึ้นหลังการสกัด อุณหภูมิในการเปลี่ยนแปลงพลังงาน (transition temperature) และพลังงานความร้อนทั้งหมด (enthalpy) ใน การเกิดเจลาทีไนเซชันของเม็ดสาร์ช จากการวัดด้วยเครื่อง DSC จะมีความสัมพันธ์กับระดับของ พลิก (degree of crystalline) ของเม็ดสาร์ช โดยที่ระดับของพลิกที่สูงจะมีผลทำให้อุณหภูมิที่ใช้ในการเปลี่ยนแปลงพลังงานสูงขึ้นด้วย ระดับของพลิกเป็นตัวบ่งบอกถึงความคงตัว (stability) ของโครงสร้างเม็ดสาร์ช ทำให้มีความต้านทานต่อการเกิดเจลาทีไนเซชัน และเป็นผลมาจากการความคงตัวของส่วนอัมorphous (amorphous region) หรือส่วนของก้านสาขาระหว่าง นอกจากนี้พบว่าสาร์ชที่สกัดด้วย HIU ที่สภาวะ 50 และ 70 เปรอร์เซ็นต์แอมพลิจูด เป็นเวลา 15 30 และ 45 นาที มีค่าพลังงานทั้งหมดที่ใช้ในการเกิดเจลาทีไนเซชันอยู่ในช่วงประมาณ 11.83-12.41 จูลต่อกรัม ซึ่งมีค่าใกล้เคียงกับแป้งข้าว และสาร์ชที่สกัดด้วยสารละลายค่าง (ประมาณ 12.99-13.33 จูลต่อกรัม) โดยมีความแตกต่างอย่างไม่มีนัยสำคัญ ( $P>0.05$ ) แต่ที่ 90 เปรอร์เซ็นต์แอมพลิจูด เป็นเวลา 15 30 และ 45 นาที จะมีค่าพลังงานทั้งหมดที่ใช้ในการเกิดเจลาทีไนเซชันอยู่ในช่วงประมาณ 9.18-11.46 จูลต่อกรัม ซึ่งมีค่าต่ำกว่าสาร์ชที่สกัดด้วย HIU ที่สภาวะ 50 และ 70 เปรอร์เซ็นต์แอมพลิจูด เป็นเวลา 15 30 และ 45 นาที สาร์ชที่สกัดโดยใช้สารละลายค่าง และแป้งข้าว คาดว่าเป็นเพราะสาร์ชที่สกัดที่สภาวะ 90 เปรอร์เซ็นต์แอมพลิจูด เป็นเวลา 15 30 และ 45 นาที เกิดการเจลาทีไนเซชันของเม็ดสาร์ชบางส่วน และการเกิดสาร์ชที่เสียหายขณะทำการแยกสกัดที่สภาวะนี้ จึงทำให้มีค่าพลังงานทั้งหมดที่ใช้ในการเกิดเจลาทีไนเซชันต่ำกว่าแป้งข้าวและสาร์ชที่สกัดด้วยค่างอย่างมีนัยสำคัญ ( $P\leq0.05$ )

เนื่องจากค่าพลังงานในการเกิดเจลาทีไนเซชันเป็นค่าที่ใช้บ่งบอกถึงปริมาณหรือคุณภาพของโครงร่างผลึกภายในเม็ดสตาร์ช (Ward *et al.*, 1994) และมีปริมาณแอมโอลเพกทินเป็นส่วนประกอบหลักในส่วนโครงร่างผลึกภายในสตาร์ช (Sasaki *et al.*, 2000) ซึ่งอาจเป็นไปได้ว่าสตาร์ชที่ผ่าน HIU ที่ 90 เบอร์เซ็นต์แอมพลิจูด ที่เวลา 30 และ 45 นาที จะทำให้ปริมาณหรือคุณภาพของโครงร่างผลึกภายในเม็ดสตาร์ชลดลง ซึ่งผลของค่าอุณหภูมิเริ่มเกิดเจลาทีไนเซชัน สอดคล้องกับผลของค่าอุณหภูมิที่เริ่มเกิดความหนืด และค่าความหนืดสูงสุดที่วัดด้วยเครื่อง RVA ดังตารางที่ 5 ที่จะกล่าวต่อไปในหัวข้อที่ 1.3.2

เมื่อนำไปปั่นข้าวมาผ่านวิธีการสกัดด้วย DF จำนวน 1 และ 6 รอบ พบร่วมกับ มีค่าอุณหภูมิเริ่มเกิดเจลาทีไนเซชันใกล้เคียงกัน ปั่นข้าว และสตาร์ชที่สกัดด้วยสารละลายด่าง ซึ่งมีค่าอยู่ในช่วงประมาณ 61.23-62.30 องศาเซลเซียส โดยมีความแตกต่างอย่างไม่มีนัยสำคัญ ( $P>0.05$ ) และสตาร์ชที่ผ่าน DF มีค่าพลังงานทั้งหมดที่ใช้ในการเกิดเจลาทีไนเซชันอยู่ในช่วงประมาณ 9.30-9.52 จูลต่อกรัม ซึ่งมีค่าต่ำกว่าปั่นข้าว (ประมาณ 12.99 จูลต่อกรัม) และสตาร์ชที่สกัดด้วยสารละลายด่าง (ประมาณ 13.33 จูลต่อกรัม) อย่างมีนัยสำคัญ ( $P\leq0.05$ ) ทั้งนี้เนื่องจากการ DF จะเกิดแรงกดอัดเนื่องจากความดันของการเปลี่ยนสถานะจากน้ำ (ความชื้นที่อยู่ในเม็ดปั่น) ทำให้ความหนาแน่นของเม็ดสตาร์ช (helium) ลดลงอย่างชัดเจน (Szymonska *et al.*, 2000)

จากการใช้ HIU ที่สภาวะ 70 เบอร์เซ็นต์แอมพลิจูด เป็นเวลา 30 นาที ร่วมกับ DF จำนวน 1 และ 6 รอบ พบร่วมกับ มีค่าอุณหภูมิเริ่มเกิดเจลาทีไนเซชันใกล้เคียงกัน ปั่นข้าว และสตาร์ชที่สกัดด้วยสารละลายด่าง โดยมีค่าอยู่ในช่วงประมาณ 60.95-62.30 องศาเซลเซียส ซึ่งมีความแตกต่างอย่างไม่มีนัยสำคัญ ( $P>0.05$ ) และมีค่าพลังงานทั้งหมดที่ใช้ในการเกิดเจลาทีไนเซชันอยู่ในช่วงประมาณ 10.17-10.47 จูลต่อกรัม ซึ่งมีค่าต่ำกว่าสตาร์ชข้าวที่สกัดด้วยสารละลายด่าง และสตาร์ชที่ผ่าน HIU ที่สภาวะ 70 เบอร์เซ็นต์แอมพลิจูด เป็นเวลา 30 นาที อย่างมีนัยสำคัญ ( $P\leq0.05$ ) ซึ่งมีค่าพลังงานทั้งหมดที่ใช้ในการเกิดเจลาทีไนเซชันอยู่ในช่วงประมาณ 12.41-13.33 จูลต่อกรัม

ซึ่งอาจกล่าวได้ว่าสตาร์ชที่สกัดด้วย HIU ที่สภาวะ 70 เบอร์เซ็นต์แอมพลิจูด ร่วมกับ DF จำนวน 1 และ 6 รอบ มีปริมาณหรือคุณภาพของโครงร่างผลึกภายในเม็ดสตาร์ชต่ำกว่าสตาร์ชที่ผ่าน HIU ที่สภาวะ 70 เบอร์เซ็นต์แอมพลิจูด เป็นเวลา 30 นาที สตาร์ชที่สกัดด้วยสารละลายด่าง และปั่นข้าว เพียงอย่างเดียว นอกจากนี้ค่าพลังงานในการสลายพันธะสอดคล้องกับผลของความเป็นผลึกสัมพันธ์ของสตาร์ช ด้วยเครื่องเอกซ์เรย์ดิฟแฟร์กโทมิเตอร์ ซึ่งจะกล่าวต่อไปในหัวข้อ 1.3.3

**ตารางที่ 4 การเกิดเจลภายในเชื้อนของแป้งข้าวและสตาร์ชข้าวที่สกัดด้วยวิธีทางกายภาพ และวิธีการใช้สารละลายด่าง โดยใช้เครื่อง DSC**

ตัวอย่างสตาร์ชข้าว	อุณหภูมิการเกิดเจลภายใน ( $^{\circ}\text{C}$ )			เอนthalpie ( $\Delta H_{\text{gel}}$ , J/g)
	อุณหภูมิเริ่มต้น ( $T_g$ )	อุณหภูมิสูงสุด ( $T_p$ )	อุณหภูมิสุดท้าย ( $T_c$ )	
<b>HIU<sup>1</sup></b>				
50 %แอมพลิชูด 15 นาที	60.96 <sup>a</sup> ± 0.51	67.62 <sup>b,c</sup> ± 0.09	74.18 <sup>b,c</sup> ± 0.60	11.96 <sup>abc</sup> ± 0.74
50 %แอมพลิชูด 30 นาที	61.67 <sup>a</sup> ± 0.25	68.18 <sup>abc</sup> ± 0.23	74.78 <sup>abc</sup> ± 0.25	11.98 <sup>abc</sup> ± 0.15
50 %แอมพลิชูด 45 นาที	62.23 <sup>a</sup> ± 0.17	68.36 <sup>abc</sup> ± 0.47	75.20 <sup>abc</sup> ± 0.63	12.25 <sup>abc</sup> ± 0.15
70 %แอมพลิชูด 15 นาที	61.34 <sup>a</sup> ± 1.10	67.42 <sup>c</sup> ± 0.36	74.10 <sup>c</sup> ± 0.53	11.92 <sup>abc</sup> ± 0.03
70 %แอมพลิชูด 30 นาที	61.35 <sup>a</sup> ± 1.82	68.01 <sup>abc</sup> ± 0.96	75.22 <sup>abc</sup> ± 1.82	12.41 <sup>abc</sup> ± 0.67
70 %แอมพลิชูด 45 นาที	61.43 <sup>a</sup> ± 0.99	67.42 <sup>c</sup> ± 0.36	74.08 <sup>c</sup> ± 0.28	11.83 <sup>abc</sup> ± 0.62
90 %แอมพลิชูด 15 นาที	61.69 <sup>a</sup> ± 1.11	68.52 <sup>abc</sup> ± 0.01	75.38 <sup>ab</sup> ± 0.05	11.46 <sup>c</sup> ± 0.75
90 %แอมพลิชูด 30 นาที	61.13 <sup>a</sup> ± 0.51	68.51 <sup>abc</sup> ± 0.46	75.31 <sup>abc</sup> ± 0.72	11.36 <sup>c</sup> ± 0.49
90 %แอมพลิชูด 45 นาที	61.91 <sup>a</sup> ± 0.43	68.75 <sup>ab</sup> ± 0.39	75.58 <sup>a</sup> ± 0.39	9.18 <sup>d</sup> ± 0.01
แป้งข้าว	62.30 <sup>a</sup> ± 2.07	68.93 <sup>a</sup> ± 1.05	75.50 <sup>a</sup> ± 0.99	12.99 <sup>ab</sup> ± 1.05
สารละลายด่าง	62.05 <sup>a</sup> ± 0.32	68.60 <sup>abc</sup> ± 0.12	75.07 <sup>abc</sup> ± 0.03	13.33 <sup>a</sup> ± 0.61
<b>DF<sup>2</sup></b>				
1 รอบ	61.62 <sup>a</sup> ± 0.14	68.63 <sup>a</sup> ± 0.27	74.76 <sup>a</sup> ± 0.38	9.52 <sup>b</sup> ± 0.22
6 รอบ	61.23 <sup>a</sup> ± 0.22	68.39 <sup>a</sup> ± 0.20	74.78 <sup>a</sup> ± 0.26	9.30 <sup>b</sup> ± 0.02
แป้งข้าว	62.30 <sup>a</sup> ± 2.07	68.93 <sup>a</sup> ± 1.05	75.50 <sup>a</sup> ± 0.99	12.99 <sup>a</sup> ± 1.05
สารละลายด่าง	62.05 <sup>a</sup> ± 0.32	68.60 <sup>a</sup> ± 0.12	75.07 <sup>a</sup> ± 0.03	13.33 <sup>a</sup> ± 0.61
<b>HIU และ DF<sup>3</sup></b>				
70 %แอมพลิชูด 30 นาที	61.35 <sup>a</sup> ± 1.82	68.01 <sup>a</sup> ± 0.96	75.21 <sup>a</sup> ± 0.01	12.41 <sup>a</sup> ± 0.67
70 %แอมพลิชูด 30 นาที และ DF 1 รอบ	60.95 <sup>a</sup> ± 0.47	67.91 <sup>a</sup> ± 0.36	74.63 <sup>a</sup> ± 0.42	10.17 <sup>b</sup> ± 0.09
70 %แอมพลิชูด 30 นาที และ DF 6 รอบ	61.56 <sup>a</sup> ± 0.37	68.28 <sup>a</sup> ± 0.12	75.05 <sup>a</sup> ± 0.39	10.47 <sup>b</sup> ± 0.16
แป้งข้าว	62.30 <sup>a</sup> ± 2.07	68.93 <sup>a</sup> ± 1.05	75.50 <sup>a</sup> ± 0.99	12.99 <sup>a</sup> ± 1.05
สารละลายด่าง	62.05 <sup>a</sup> ± 0.32	68.60 <sup>a</sup> ± 0.12	75.07 <sup>a</sup> ± 0.03	13.33 <sup>a</sup> ± 0.61

- <sup>1,2,3</sup> อักษรตัวเล็ก แสดงความแตกต่างตามแนวตั้ง (ในแต่ละกลุ่ม) ที่ระดับความเชื่อมั่นร้อยละ 95 ( $p \leq 0.05$ )

- ค่าเฉลี่ย ± ส่วนเบี่ยงเบนมาตรฐานได้จากการทดสอบ 2 ครั้ง ๆ ละ 2 ชั้น

1.3.2 สมบัติด้านความหนืด (pasting properties) ของสตาร์ชที่สกัดด้วยวิธีทางกายภาพและวิธีการใช้สารละลายค่าง โดยใช้การตรวจสอบด้วยเครื่อง Rapid Visco Analyzer (RVA)

สมบัติด้านความหนืดของสตาร์ชที่สกัดด้วย HIU ที่ 50 70 และ 90 เปอร์เซ็นต์ แอมพลิจูด 15 30 และ 45 นาที (ตารางที่ 5 และภาพผนวกที่ 5-6) พบว่า

ค่าอุณหภูมิเริ่มต้นของความหนืด (pasting temperature, PT) หมายถึง อุณหภูมิที่เริ่มมีการเปลี่ยนแปลงค่าความหนืดหรืออุณหภูมิที่ความหนืดเพิ่มขึ้น 2 RVU ในเวลา 20 วินาที และจากการทดลองของแป้งข้าว และสตาร์ชที่ผ่านการแยกด้วย HIU ที่ 50 70 และ 90 เปอร์เซ็นต์แอมพลิจูด ที่เวลาต่างๆ และสตาร์ชที่สกัดด้วยสารละลายค่างพบว่า ค่า PT มีค่าแตกต่างกันอย่างไม่มีนัยสำคัญ ( $P > 0.05$ ) เมื่อเปรียบเทียบกับแป้งข้าว ซึ่งสอดคล้องกับผลของอุณหภูมิเริ่มต้นในการเกิดเจลาติโนในเชชัน ( $T_g$ ) ที่วัดด้วยเครื่อง DSC มีความแตกต่างกันอย่างไม่มีนัยสำคัญ ( $p > 0.05$ ) แต่ค่า PT มีแนวโน้มลดลงเมื่อสกัดด้วย HIU ทั้งนี้อาจเป็นผลของการสกัดด้วย HIU มีผลทำให้มีดสตาร์ชเกิดการกัดกร่อนที่ผิวน้ำเกิดความเสียหาย และอาจทำให้รูพรุนบนพื้นผิวเม็ดสตาร์ชที่มีอยู่แล้วในธรรมชาติมีการขยายใหญ่ขึ้นซึ่ง Oates (1997) กล่าวว่ารูปริเวณพื้นผิวของเม็ดแป้งที่สามารถให้น้ำและไม่เลกฤทธิ์เด็กๆ ผ่านໄได้ เป็นส่วนอัมอร์ฟของเม็ดสตาร์ช (amorphous) ที่แทรกเข้าไปในเม็ดสตาร์ขออยู่ระหว่างช่องของส่วนผลึกที่ขนาดกัน ไม่เลกฤทธิ์ขนาดไม่เกิน 100 ดาลตันสามารถผ่านໄได้ และพบช่องเปิดบนพื้นผิวเม็ดแป้ง มีขนาดเส้นผ่านศูนย์กลาง 0.1-0.3 ไมครอน มีช่องภายในขนาด 0.07-0.1 ไมครอน ซึ่งรูพรุนเหล่านี้อาจเกิดขึ้นในขั้นตอนการผลิตแป้ง หรืออาจมีอยู่แล้วในธรรมชาติแต่มีขนาดขยายใหญ่ขึ้นเนื่องจากกระบวนการไม่แป้ง (กล้ามรังค์ และเกื้อกูล, 2546) ในระหว่างการบดข้าวสาลี มีบางส่วนของเม็ดสตาร์ชที่ได้รับความเสียหายที่เกิดจากการเสียดสี (Gibson *et al.*, 1992) เม็ดสตาร์ชที่เสียหายจะคุณค่าของเม็ดสตาร์ชที่ได้รับความเสียหายที่เกิดจากการเสียดสี

จากค่า PT ของสตาร์ชที่สกัดด้วย DF จำนวน 1 และ 6 รอบ พบร่วมกับค่าแตกต่างกันอย่างไม่มีนัยสำคัญ ( $p > 0.05$ ) กับแป้งข้าว และสตาร์ชที่สกัดด้วยสารละลายค่าง สอดคล้องกับผลของช่วงอุณหภูมิในการเกิดเจลาติโนในเชชันที่วัดด้วยเครื่อง DSC และค่า PT ของสตาร์ชที่สกัดด้วยการ DF จำนวน 1 และ 6 รอบ มีค่าใกล้เคียงกันนั้น เนื่องจากความรุนแรงของการสกัดด้วยการ DF จำนวน 1 และ 6 รอบ ยังมีความรุนแรงไม่ต่างกันมากนัก และจะเพิ่มขึ้นในครั้งแรกของการสกัดและอาจเพิ่มขึ้นเพียงเล็กน้อยเมื่อทำการสกัดผ่านไป 6 ครั้ง แต่ไม่มีผลต่อการเกิดเจลาติโนในเชชันของเม็ดสตาร์ช (Szymonska and Wodnicka, 2005)

ค่าอุณหภูมิเริ่มต้นของความหนืดของสตาร์ชที่ผ่าน HIU ร่วมกับการ DF จำนวน 1 และ 6 รอบ นั้นพบว่า มีค่าแตกต่างอย่างไม่มีนัยสำคัญ ( $p>0.05$ ) กับแป้งข้าว สตาร์ชที่สกัดด้วยด่าง และสตาร์ชที่ผ่าน HIU ที่สภาวะ 70 เบอร์เซ็นต์แอมพลิจูด เป็นเวลา 30 นาที ซึ่งสอดคล้องกับผลของ ช่วงอุณหภูมิในการเกิดเจลาทีไนเซชันที่วัดด้วยเครื่อง DSC

สำหรับค่าความหนืดสูงสุด (peak viscosity, PV) จุดที่เกิด PV คือเมื่อเม็ดสตาร์ช มีการพองตัวเต็มที่ในขณะที่ถูกความร้อน (หน่วยเป็น RVU) เป็นการบอกถึง ความสามารถในการ พองตัวอย่างอิสระของเม็ดสตาร์ช ก่อนที่เม็ดสตาร์จะแตก ซึ่งแสดงถึงความยากง่ายในการหุงต้ม จากผลการทดลองพบว่า โดยภาพรวมแล้วสตาร์ชที่แยกด้วย HIU มีค่า PV ต่ำกว่าแป้งข้าว และ สตาร์ชที่สกัดโดยใช้ด่างอย่างมีนัยสำคัญ ( $p\leq 0.05$ ) และที่สภาวะ 90 เบอร์เซ็นต์แอมพลิจูดจะมีค่า ความหนืดสูงสุดต่ำกว่าสตาร์ชข้าวที่สกัดด้วย HIU สภาวะ 50 และ 70 เบอร์เซ็นต์แอมพลิจูด อย่างมี นัยสำคัญ ( $p\leq 0.05$ ) เนื่องจากการสกัดที่สภาวะ 90 เบอร์เซ็นต์แอมพลิจูดเป็นเวลา 30 และ 45 นาที ทำให้สตาร์ชเกิดการเจลาทีไนเซชันไปบางส่วน เม็ดสตาร์ชที่ได้พองตัวไปก่อนแล้วเกิดการเรียงตัว ใหม่ ไม่มีการดูดน้ำเข้ามาอีก ซึ่งสอดคล้องกับผลของค่าพลังงานในการสลายพันธะ ( $\Delta H_{gel}$ ) ที่วัด ด้วยเครื่อง DSC กล่าวคือ ที่สภาวะ 90 เบอร์เซ็นต์แอมพลิจูด เมื่อเวลานานขึ้น จะมีค่าพลังงานในการสลายพันธะค่อยๆ ลดลง และลดลงอย่างมีนัยสำคัญ ( $P\leq 0.05$ ) ที่เวลา 45 นาที ซึ่งสตาร์ชที่สกัด ด้วยHIU มีค่า PV สูงกว่าแป้งข้าวนี้ สอดคล้องกับการทดลองของ Chung *et al.* (2003) ที่ทดสอบ คุณสมบัติทางเคมีกายภาพของน้ำแป้ง โดยนำน้ำแป้งที่มีอุณหภูมิ 65 75 85 และ 95 องศาเซลเซียส แล้วนำมาผ่าน HIU เป็นเวลา 1 3 และ 5 นาที พบว่า HIU ทำให้มีความหนืดสูงสุดต่ำกว่าแป้งข้าว อย่างมีนัยสำคัญ ( $p\leq 0.05$ ) เนื่องจากการที่เม็ดสตาร์ชถูกทำลายจากการใช้ HIU และสอดคล้องกับผล ของปริมาณสตาร์ชที่เสียหายในตารางที่ 3 ด้วย ดังที่ได้กล่าวมาแล้ว จะสามารถเห็นได้จากลักษณะ การหลอมเชื่อมติดกันเป็นกลุ่มก้อนดังภาพที่ 18

ตารางที่ 5 คุณสมบัติคุณค่าของน้ำ (pasting properties) ของปูนขาว และสารชีวภาพเคลวิค์ก้าริฟฟ์สำหรับลักษณะต่างๆ (ตาม RVA)

HIU	ความหนืด (RVU)						อุณหภูมิที่รีบมิกต์
	ความหนืดสูงสุด (PV)	ความหนืดกลาง (Trough)	ความหนืดต่ำสุด (BD)	ความหนืดสูตรที่ 1 (FV)	แรงดึง扯 (SB)	ความหนืด (°C) (PT)	
50 %เมอมพิกูต 15 นาที	381.46 <sup>b</sup> ± 6.54	313.79 <sup>a</sup> ± 4.54	67.67 <sup>e</sup> ± 2.00	409.63 ± 6.19 <sup>b</sup>	95.83 ± 1.65 <sup>c</sup>	72.63 ± 0.11 <sup>a</sup>	
50 %เมอมพิกูต 30 นาที	348.67 <sup>de</sup> ± 9.31	267.79 <sup>bc</sup> ± 1.71	80.88 <sup>cd</sup> ± 11.02	383.29 ± 15.62 <sup>b</sup>	115.50 ± 17.32 <sup>cde</sup>	72.65 ± 0.00 <sup>a</sup>	
50 %เมอมพิกูต 45 นาที	351.21 <sup>de</sup> ± 2.06	267.83 <sup>bc</sup> ± 11.55	83.38 <sup>cd</sup> ± 9.49	383.88 ± 3.83 <sup>b</sup>	116.04 ± 15.38 <sup>cde</sup>	72.70 ± 0.07 <sup>a</sup>	
70 %เมอมพิกูต 15 นาที	370.46 <sup>bcd</sup> ± 6.66	286.13 <sup>b</sup> ± 8.90	84.33 <sup>bcd</sup> ± 2.24	390.54 ± 1.24 <sup>b</sup>	104.42 ± 7.66 <sup>de</sup>	65.05 ± 11.88 <sup>a</sup>	
70 %เมอมพิกูต 30 นาที	366.50 <sup>bcd</sup> ± 8.25	284.29 <sup>b</sup> ± 12.67	82.21 <sup>cd</sup> ± 4.42	389.38 ± 17.97 <sup>b</sup>	105.08 ± 5.30 <sup>de</sup>	69.38 ± 4.63 <sup>a</sup>	
70 %เมอมพิกูต 45 นาที	355.92 <sup>cde</sup> ± 0.00	249.25 <sup>cd</sup> ± 0.24	106.67 <sup>a</sup> ± 0.24	388.58 ± 3.42 <sup>b</sup>	139.33 ± 3.65 <sup>ab</sup>	73.48 ± 0.04 <sup>a</sup>	
90 %เมอมพิกูต 15 นาที	334.25 <sup>ef</sup> ± 4.95	228.79 <sup>de</sup> ± 2.53	105.46 <sup>a</sup> ± 2.42	381.88 ± 13.49 <sup>b</sup>	153.08 ± 10.96 <sup>a</sup>	72.63 ± 0.04 <sup>a</sup>	
90 %เมอมพิกูต 30 นาที	313.46 <sup>f</sup> ± 23.39	227.79 <sup>de</sup> ± 19.03	85.67 <sup>bc</sup> ± 4.36	349.67 ± 23.10 <sup>c</sup>	121.88 ± 4.07 <sup>bed</sup>	72.73 ± 1.17 <sup>a</sup>	
90 %เมอมพิกูต 45 นาที	282.38 <sup>g</sup> ± 14.44	209.75 <sup>e</sup> ± 13.44	72.63 <sup>de</sup> ± 1.00	318.67 ± 13.32 <sup>d</sup>	108.92 ± 0.12 <sup>cde</sup>	72.68 ± 0.04 <sup>a</sup>	
แมงก้า	419.92 <sup>a</sup> ± 1.18	317.50 <sup>a</sup> ± 1.53	102.42 <sup>a</sup> ± 0.35	445.08 ± 1.30 <sup>a</sup>	127.58 ± 0.24 <sup>bc</sup>	73.85 ± 1.70 <sup>a</sup>	
สารลดลักษณะต่างๆ	377.25 <sup>bc</sup> ± 5.30	281.13 <sup>b</sup> ± 10.19	96.13 <sup>ab</sup> ± 4.89	388.54 ± 7.72 <sup>b</sup>	107.42 ± 2.47 <sup>cde</sup>	73.43 ± 0.04 <sup>a</sup>	

ตารางที่ 5 (ต่อ)

ตัวอย่างตัวรังษี	ความหนืดถุงสูญ (PV)	ความหนืด (RVU)			อุณหภูมิที่รีบ กัดความหนืด (°C) (PT)
		ความหนืดต่ำสุด (Trough)	(BD)	(FV)	
DF				(SB)	
1 ร้อน	291.75 ± 17.80 <sup>c</sup>	225.46 ± 27.52 <sup>b</sup>	66.29 ± 9.72 <sup>b</sup>	335.58 ± 20.74 <sup>c</sup>	110.13 ± 6.78 <sup>b</sup>
6 ร้อน	271.00 ± 5.66 <sup>c</sup>	223.92 ± 8.49 <sup>b</sup>	47.08 ± 2.83 <sup>c</sup>	324.08 ± 4.36 <sup>c</sup>	100.17 ± 4.12 <sup>b</sup>
แมงก้า	419.92 ± 1.18 <sup>a</sup>	317.50 ± 1.53 <sup>a</sup>	102.42 ± 0.35 <sup>a</sup>	445.08 ± 1.30 <sup>a</sup>	127.58 ± 0.24 <sup>a</sup>
สารละลายเดจ้า	377.25 ± 5.30 <sup>b</sup>	281.13 ± 10.19 <sup>a</sup>	96.13 ± 4.89 <sup>a</sup>	388.54 ± 7.72 <sup>b</sup>	107.42 ± 2.47 <sup>b</sup>
<b>HIU และ DF</b>					
70 % เมอมพิกูต 30 นาที	366.50 ± 8.25 <sup>b</sup>	284.29 ± 12.67 <sup>a</sup>	82.21 ± 4.42 <sup>b</sup>	389.38 ± 17.97 <sup>b</sup>	105.08 ± 5.30 <sup>d</sup>
HIU และ DF 1 ร้อน	276.63 ± 9.96 <sup>c</sup>	161.79 ± 24.45 <sup>b</sup>	93.67 ± 9.66 <sup>ab</sup>	326.13 ± 7.84 <sup>c</sup>	143.17 ± 11.79 <sup>ab</sup>
HIU และ DF 2 ร้อน	265.17 ± 15.67 <sup>c</sup>	182.96 ± 19.62 <sup>b</sup>	103.38 ± 8.78 <sup>a</sup>	317.04 ± 11.61 <sup>c</sup>	155.25 ± 12.85 <sup>a</sup>
แมงก้า	419.92 ± 1.18 <sup>a</sup>	317.50 ± 1.53 <sup>a</sup>	102.42 ± 0.35 <sup>a</sup>	445.08 ± 1.30 <sup>a</sup>	127.58 ± 0.24 <sup>bc</sup>
สารละลายเดจ้า	377.25 ± 5.30 <sup>b</sup>	281.13 ± 10.19 <sup>a</sup>	96.13 ± 4.89 <sup>ab</sup>	388.54 ± 7.72 <sup>b</sup>	107.42 ± 2.47 <sup>cd</sup>
<b>- ค่าเฉลี่ย ± ส่วนเบี่ยงบานมาตรฐาน ได้จากการทดสอบทั้งหมดของตัวอย่างตัวอ่อน 2 ชุด</b>					
<b>- อุณหภูมิตัวต้านเดจังหวัด ที่ปรับรีเซ็นต์เอนเพลจิตรและเวลาต่างๆ ที่ระดับความชื้นน้ำร้อยละ 95 (<math>p \leq 0.05</math>)</b>					

ค่า PV ของสตาร์ชที่ผ่าน HIU ที่สภาวะ 50 และ 70 เปอร์เซ็นต์แอมพลิจูด ที่เวลาต่างๆ มีค่าต่ำกว่าแบ่งข้าวอย่างมีนัยสำคัญ เนื่องจากสตาร์ชที่ผ่าน HIU สามารถเกิดการเจลาทีนซ์ได้เร็วขึ้น ทั้งนี้เนื่องจาก HIU จะไปทำให้บนผิวของเม็ดสตาร์ชถูกกัดกร่อนบางส่วน บนผิวของเม็ดสตาร์ชแตก และการใช้ความร้อนสูงหรือมีการใช้แรงกลมาก จะทำให้เม็ดแบ่งแตกและค่าความหนืดลดลง (กล้านรงค์ และเกื้อภูด, 2546) สอดคล้องกับการทดลองของ Paniwnyk (1993) ที่ศึกษาผลของ HIU ต่อผิวน้ำข่องเม็ดข้าวขาวที่ผ่านการขัดสี (white rice) และเม็ดข้าวกล้อง (brown rice) และการลดระยะเวลาในการหุงต้ม (cooking time) โดยให้อุณหภูมิในการเกิดเจลที่ 80 องศาเซลเซียส และเมื่อผ่าน HIU เป็นเวลา 5 นาที พบว่า HIU จะมีผลทำให้ผิวน้ำข่องเม็ดข้าวถูกทำลาย โดยจะเกิดการสึกกร่อน และเกิดร่องลึกที่เม็ดข้าว ส่งผลให้เม็ดแบ่งเกิดเจลาทีน เช่น ได้เร็วขึ้น และจากการทดลองนี้สังเกตได้ว่าการสักดัดด้วย HIU ที่เปอร์เซ็นต์แอมพลิจูดต่างๆ เมื่อระยะเวลาในการสักดันนานขึ้น ทำให้ค่า PV มีแนวโน้มลดลง ในขณะที่ปริมาณสตาร์ชที่เสียหายมีค่าเพิ่มขึ้น เมื่อระยะเวลาในการสักดันนานขึ้น ดังนั้นในการทดลองนี้อาจกล่าวได้ว่าค่า PV ที่ลดลง อาจมีความสัมพันธ์แบบพกผันกับปริมาณสตาร์ชที่เสียหายที่เพิ่มขึ้น ซึ่งสอดคล้องกับค่าสตาร์ชที่เสียหาย ดังตารางที่ 3 ซึ่งสอดคล้องกับผลการทดลองของ Wang and Wang (2001) ที่ศึกษาความสัมพันธ์ของปริมาณสตาร์ชข้าวที่เสียหายที่มีผลต่อความหนืด โดยศึกษาจากวิธีการสักดัดสตาร์ชข้าวด้วยสารละลายน้ำ เปรียบเทียบกับการใช้อ่อนไชม์ พบว่า สตาร์ชที่เสียหายมีผลต่อความสามารถในการจับกับน้ำ (water binding capacity) และการละลายน้ำ (solubility) สูงกว่าเม็ดสตาร์ชปกติที่ไม่ได้รับความเสียหาย นอกจากนี้ปริมาณโปรตีนและสตาร์ชที่เสียหาย ที่เกิดจากการสักดัดทั้งสองวิธี มีผลต่อกุณสมบัติความหนืดของสตาร์ชข้าว โดยปริมาณสตาร์ชที่เสียหายมีความสัมพันธ์แบบแปรผกผันกับค่าความหนืดสูงสุด ( $r = -0.78$ ,  $P = 0.05$ ) มากกว่าปริมาณโปรตีนที่เหลืออยู่ซึ่งมีความสัมพันธ์แบบแปรผกผันตรงปริมาณสตาร์ชที่เสียหาย สอดคล้องกับงานวิจัยของ Sanchez *et al.* (1986) และ Sabularse *et al.* (1992) ที่พบรายงานว่า สตาร์ชที่เสียหายมีความสัมพันธ์แบบพกผันกับค่าความหนืดสูงสุด และนอกจากนี้ยังสอดคล้องกับงานวิจัยของ Morrison *et.al.* (1994) ที่พบว่า เมื่อเม็ดสตาร์ชเกิดความเสียหายด้วยแรงกล จะส่งผลต่ออุณหภูมิเจลาทีน เช่นของสตาร์ช โดยเมื่อปริมาณสตาร์ชที่เสียหายสูงขึ้น อุณหภูมิเจลาทีน เช่นจะลดลง จากผลการรายงานงานวิจัยข้างต้นสนับสนุนผลการทดลองนี้ได้ว่า ปริมาณสตาร์ชที่เสียหายมีผลต่อค่าความหนืดสูงสุดมากกว่าปริมาณโปรตีนที่เหลืออยู่ของสตาร์ช (Wang and Wang, 2001)

ส่วนที่สภาวะ 90 เปอร์เซ็นต์แอมพลิจูด เมื่อเวลาในการสักดันนานขึ้น PV มีแนวโน้มลดลงอย่างมีนัยสำคัญ ( $p \leq 0.05$ ) อาจกล่าวได้ว่า ที่สภาวะนี้สตาร์ชจะเกิดการเจลาทีนซ์ไป

บางส่วนทำให้เกิดปริมาณสตาร์ชที่เสียหายสูง จากภาพที่ 18 เม็ดสตาร์ชมีลักษณะถูกหลอมเขื่อนติดกันเป็นกลุ่มก้อน

จากค่า PV ของสตาร์ชที่ผ่านการ DF เพียงอย่างเดียวที่จำนวน 1 และ 6 รอบ พบว่า มีค่า PV ต่ำกว่าแบ่งข้าว และสตาร์ชที่สกัดด้วยสารละลายค้าง อายุนัยสำคัญ ( $p \leq 0.05$ ) เนื่องจากการเจลาทีไนเซชัน จะเกิดการสูญเสียโครงสร้างที่เป็นระเบียบและความสามารถในการบิด ธนาณัติแสงโพลาไรซ์ซึ่งการสูญเสียสมบัติทั้ง 2 จะเริ่มเกิดขึ้นที่ไฮดัม Alexander and Zobel, 1992) และการ DF จะทำให้เกิดแรงกดอัด เนื่องจากความดันจากการเกิดผลึกน้ำแข็ง ทำให้ความหนาแน่นของเม็ดสตาร์ช (hilum) ลดลงอย่างชัดเจน (Szymonska *et al.*, 2000) ซึ่งสอดคล้องกับผลของความ เป็นผลึกสัมพันธ์ของสตาร์ชด้วยเครื่องอีกเซร์คิฟแฟรอก โทมิเตอร์ (ตารางที่ 6) ซึ่งจะกล่าวต่อไปใน หัวข้อ 1.3.3 ซึ่งการที่ความหนาแน่นของเม็ดสตาร์ช (hilum) ลดลงนั้นอาจเป็นสาเหตุที่ทำให้ค่า PV ของสตาร์ชที่สกัดด้วย DF ลดลง ต่ำกว่าแบ่งข้าว และสตาร์ชที่สกัดสารละลายค้างอย่างนัยสำคัญ ( $p \leq 0.05$ ) จากการทดลองของ Szymonaka *et al.* (2000) โดยให้สตาร์ชมันฝรั่งผ่านการ DF พบว่า เม็ดสตาร์ชจะถูกแรงอัดจากการขยายตัวของน้ำแข็ง ทำให้ที่บีบรีเวณผิวหรือขอบของเม็ดสตาร์ชเกิด ความเสียหาย แตกหักได้ และจากตารางที่ 3 สามารถนำมาอธิบายการที่ค่า PV ของสตาร์ชที่สกัด ด้วย DF มีค่าต่ำกว่าแบ่งข้าว อาจเป็นเพราะสตาร์ชที่สกัดด้วยการ DF นั้นมีปริมาณสตาร์ชที่เสียหายเพิ่มขึ้น สอดคล้องกับงานวิจัยของ Morrison *et.al.* (1994) พบว่า เมื่อเม็ดสตาร์ชเกิดความเสียหาย ด้วยแรงกด จะส่งผลต่ออุณหภูมิเจลาทีไนเซชันของสตาร์ช โดยเมื่อปริมาณสตาร์ชที่เสียหายสูงขึ้น อุณหภูมิเจลาทีไนเซชันจะลดลง

จากการสกัดสตาร์ชด้วยการ DF ที่จำนวน 1 และ 6 รอบ พบว่ามีค่า PV ต่ำกว่า สตาร์ชที่สกัดด้วยสารละลายค้าง ที่มีปริมาณสตาร์ชที่เสียหายสูงกว่า สตาร์ชที่สกัดด้วยการ DF นั้นอาจ เป็นเพราะอิทธิพลของปริมาณโปรตีนที่มีอยู่มากในสตาร์ชที่สกัดด้วยวิธี DF จึงทำให้ค่า PV ต่ำกว่า สตาร์ชที่สกัดด้วยสารละลายค้างอย่างนัยสำคัญ ( $p \leq 0.05$ ) และค่า PV ของสตาร์ชที่สกัดด้วย DF เป็นจำนวน 1 และ 6 รอบ มีค่าต่ำกว่าแบ่งข้าวอย่างนัยสำคัญ เพราะการ DF ทำให้เกิดแรงกดอัด เนื่องจากความดันของการเปลี่ยนสถานะจากน้ำ (ความชื้นที่อยู่ในเม็ดแบ่ง) ทำให้ความหนาแน่นของเม็ดสตาร์ช (helium) ลดลงอย่างชัดเจน และยังทำให้เกิดรอยแตก หรือรอยแยกที่ผิวของเม็ด สตาร์ช (Szymonska *et al.*, 2000) ซึ่งอาจเป็นผลทำให้ไม่เกิดกลุ่มน้ำสามารถแทรกเข้ามาทำลาย โครงสร้างภายในของเม็ดสตาร์ชทำให้เกิดจากเจลาทีไนเซชันได้เร็วขึ้น ทำให้มีค่า PV ต่ำ ซึ่งความ หนาแน่นของเม็ดสตาร์ชที่ลดลงนั้นสอดคล้องกับผลของค่าพลังงานในการสลายพันธะ ( $\Delta H$ ) ที่วัด

ด้วยเครื่อง DSC กล่าวคือ สถาร์ชที่ผ่านการ DF เพียงอย่างเดียวที่จำนวน 1 และ 6 รอบ พนว่า มีค่า พลังงานในการสลายพันธะต่ำกว่าแบ่งข้า และสถาร์ชที่สกัดโดยใช้ด่างอย่างมีนัยสำคัญ ( $p \leq 0.05$ )

ค่า PV ของสถาร์ชที่ผ่าน HIU ที่สภาวะ 70 เปอร์เซ็นต์แอมพลิจูดเป็นเวลา 30 นาที ร่วมกับการ DF จำนวน 1 และ 6 รอบ พนว่า มีค่า PV ต่ำกว่า สถาร์ชที่สกัดโดยใช้ HIU เพียง อย่างเดียว และมีค่าแตกต่างอย่างมีนัยสำคัญ ( $p \leq 0.05$ ) สันนิษฐานว่า การ HIU ร่วมกับการ DF มีผล ทำลายผิวน้ำของเม็ดสถาร์ชมากกว่า สถาร์ชที่สกัดด้วยสารละลายด่าง และสถาร์ชที่ผ่าน HIU เพียง อย่างเดียว ซึ่งส่งผลต่อปริมาณหรือคุณภาพของโครงร่างผลึกภายในเม็ดสถาร์ช โดยการ DF จะทำ ให้เกิดแรงกดอัด เนื่องจากความดันจากการเกิดผลึกน้ำแข็ง ทำให้ความหนาแน่นของเม็ดสถาร์ช (hilum) ลดลงอย่างชัดเจน (Szymonska *et al.*, 2000) ซึ่งสอดคล้องกับผลของการเป็นผลึกสัมพันธ์ ของสถาร์ชด้วยเครื่องอีกชุดไฟฟ้าโน้มเตอร์ (ตารางที่ 6) และสอดคล้องกับผลของค่าพลังงาน ในการสลายพันธะ ที่วัดด้วยเครื่อง DSC นอกจากนี้ยังสอดคล้องกับปริมาณของสถาร์ชที่เสียหายใน ตารางที่ 3 นั่นคือ สถาร์ชที่สกัด HIU ร่วมกับการ DF จะทำให้ปริมาณสถาร์ชที่เสียหายสูงขึ้นอย่างมี นัยสำคัญ ( $p \leq 0.05$ )

ค่าความหนืดคลดลง (breakdown, BD) บอกถึง ความแตกต่างของ PV และค่า ความหนืดต่ำสุด (trough) ความคงตัว และความแข็งแรงของเม็ดสถาร์ชต่อการให้ความร้อนและแรง กรณีที่เกิดขึ้น หรือบอกร่องความแข็งแรงหรือความอ่อนแอกองเม็ดสถาร์ชที่เกิดการพองตัว (Han and Hamaker, 2001) เม็ดสถาร์ชเกิดการพองตัวขึ้น เมื่อให้ความร้อนและแรงกับเม็ดสถาร์ชต่อไป จนกระทั่งเกิดการทำลายโครงสร้างผลึกของเม็ดสถาร์ช ทำให้ความหนืดคลดลง และความโปร่งแสง จะเพิ่มขึ้น ซึ่งเม็ดสถาร์ชที่มีความแข็งแรงต่อการให้ความร้อนและแรงกับเม็ดสถาร์ชที่เกิดขึ้น จะมีค่า BD ต่ำ

จากการทดลองนี้พบว่า แบ่งข้า สถาร์ชที่สกัดด้วย HIU ที่สภาวะ 70 เปอร์เซ็นต์แอมพลิจูด เป็นเวลา 45 นาที และ ที่ 90 เปอร์เซ็นต์แอมพลิจูด เป็นเวลา 15 นาที มีค่า BD สูงกว่าสถาร์ชที่สกัดด้วย HIU ที่สภาวะ 50 เปอร์เซ็นต์แอมพลิจูด เป็นเวลา 15 30 และ 45 นาที 70 เปอร์เซ็นต์แอมพลิจูด เป็นเวลา 15 และ 30 นาที และที่สภาวะ 90 เปอร์เซ็นต์แอมพลิจูด เป็นเวลา 30 และ 45 นาที อย่างมีนัยสำคัญ ( $p \leq 0.05$ ) แสดงว่าสถาร์ชที่สกัดด้วย HIU ดังสภาวะที่กล่าวมาข้างต้น นี้จะมีความแข็งแรงของเม็ดสถาร์ชต่อการให้ความร้อนและแรงกับสูงกว่าแบ่งข้า สถาร์ชที่ สกัดด้วย HIU ที่สภาวะ 70 เปอร์เซ็นต์แอมพลิจูด เป็นเวลา 45 นาที และ ที่ 90 เปอร์เซ็นต์แอมพลิจูด เป็นเวลา 15 นาที และสถาร์ชที่สกัดด้วยสารละลายด่าง โดยแบ่งข้ายังมีค่า BD แตกต่างกันอย่างไม่ มีนัยสำคัญ ( $p > 0.05$ ) กับสถาร์ชที่สกัดด้วย HIU ที่สภาวะ 70 เปอร์เซ็นต์แอมพลิจูด เป็นเวลา 45

นาที และที่ 90 เปอร์เซ็นต์แอมพลิจูด เป็นเวลา 15 นาที ซึ่งจะสังเกตได้ว่า เมื่อเปอร์เซ็นต์แอมพลิจูด สูงขึ้น จะทำให้ค่า BD ของสตาร์ชสูงขึ้นด้วย หรืออาจกล่าวได้ว่า เมื่อเปอร์เซ็นต์แอมพลิจูดสูงขึ้นจะ ทำให้มีค่าสตาร์ชมีความแข็งแรงต่อการให้ความร้อนและแรงกวนลดลง และสอดคล้องกับปริมาณ สтар์ชที่เสียหายที่เพิ่มขึ้นจากการใช้ HIU ใน การสักดสตาร์ชข้าว

เมื่อให้เวลาในการสักดันน้ำขึ้น ที่สภาวะ 50 และ 70 เปอร์เซ็นต์แอมพลิจูด พบว่าค่า BD มีค่าเพิ่มขึ้นแสดงว่า เม็ดสตาร์ชมีความแข็งแรงต่อการให้ความร้อนและแรงกวนลดลง ซึ่งมีแนวโน้มก่อนข้างสอดคล้องกับการเพิ่มขึ้นของปริมาณสตาร์ชที่เสียหาย และการลดลงของ ปริมาณโปรตีนที่เหลืออยู่ Wang and Wang (2001) กล่าวว่าทั้งปริมาณโปรตีนและสตาร์ชที่เสียหาย จะมีผลต่อคุณสมบัติด้านความหนืดของสตาร์ชข้าว แต่ปริมาณโปรตีนจะมีความสัมพันธ์กับค่า BD ของสตาร์ชเพียงเล็กน้อย ดังนั้นปริมาณสตาร์ชที่เสียหายจะมีผลต่อค่า BD อย่างมีนัยสำคัญ ( $p \leq 0.05$ ) และในผลการทดลองนี้ปริมาณสตาร์ชที่เสียหายจึงน่าจะมีอิทธิพลต่อค่าความหนืดที่ลดลงของ สтар์ชมากกว่า อาจกล่าวได้ว่า เมื่อปริมาณสตาร์ชที่เสียหายเพิ่มขึ้นจะทำให้ค่า BD มีแนวโน้ม เพิ่มขึ้น จากการทดลองของ Wang and Wang (2004a) ที่ทำการสักดสตาร์ชข้าวโดยใช้ HIU และ สารลดแรงดึงผิว พบว่าผลของค่าความหนืดของสตาร์ชข้าวที่ได้จากการใช้ HIU ที่เปอร์เซ็นต์แอม พลิจูดและเวลาต่างๆ ไม่สอดคล้องกับปริมาณโปรตีน และสตาร์ชที่เสียหาย ซึ่ง Wang and Wang (2004b) ได้สรุปไว้ว่าผลของการใช้ HIU ที่มีต่อคุณสมบัติด้านความหนืดของสตาร์ชนั้นยังไม่เป็นที่ ชัดเจนอาจมีความซับซ้อนกันอยู่ระหว่างปริมาณโปรตีนที่เหลืออยู่และสตาร์ชที่เสียหาย

ส่วนที่สภาวะ 90 เปอร์เซ็นต์แอมพลิจูด เมื่อเวลาในการสักดันเพิ่มขึ้น BD มี แนวโน้มลดลงอย่างมีนัยสำคัญ ( $p \leq 0.05$ ) เนื่องจากการเจลาทีไนซ์บางส่วนทำให้ค่า PV ลดลง มีผล ต่อค่า BD ลดลงตามไปด้วย ( $BD = PV - Troug$ ) ซึ่งอาจกล่าวได้ว่าที่สภาวะนี้เมื่อเกิดการเจลาที ไนซ์ไปบางส่วนมีผลทำให้มีค่าสตาร์ชมีการคืนตัวลดลง แต่มีปริมาณสตาร์ชที่เสียหายสูง จากภาพที่ 18 เม็ดสตาร์ชมีการเชื่อมติดกันเป็นกลุ่มก้อนทำให้สามารถทนต่อความร้อนและแรงกวนเพิ่มขึ้น สอดคล้องกับงานวิจัยของ สุพัตรา (2548) ที่ได้ทำการศึกษาคุณสมบัติด้านความหนืดของแป้งข้าว ในการผลิตแป้งแห่น พบร่วมแป้งแห่นมีค่าความหนืดลดลงต่ำกว่าแป้งข้าวที่ผ่านการไม่แห้ง ไม่ เปียก และแป้งที่ผ่านการหมัก ทั้งนี้เนื่องจากในแป้งแห่นมีส่วนของเม็ดสตาร์ชที่ผ่านการเจลาทีไนซ์ไป แล้ว (ซึ่งมีการคืนตัวต่ำ) ดังนั้นสตาร์ชที่ผ่านการเจลาทีไนซ์ไปบางส่วนจะทำให้มีค่าสตาร์ชทนต่อ ความร้อนและแรงกวนมากขึ้น

จากค่า BD ของสตาร์ชที่สกัดด้วยสารละลายค่างมีค่าต่ำกว่าแบ่งข้าวอย่างมีนัยสำคัญ ( $p \leq 0.05$ ) ซึ่งอาจล่าวได้ว่าสตาร์ชที่สกัดด้วยสารละลายค่างมีความแข็งแรง หรือทนต่อแรงเคี้ยวมากกว่าแบ่งข้าว ซึ่งอาจเกิดการจัดเรียงตัวของโมเลกุลสตาร์ชใหม่ที่มีความแข็งแรงหรือเป็นผลึกมากกว่าเดิม จากผลความเป็นผลึกสัมพันธ์ในข้อที่ 1.3.3 จึงทำให้มีความแข็งแรงทนต่อแรงงาน ทั้งนี้สอดคล้องกับผลของค่าพลังงานในการสลายพันธะด้วยเครื่อง DSC (ตารางที่ 4) สตาร์ชที่สกัดด้วยสารละลายค่างมีค่าพลังงานในการสลายพันธะสูงกว่าแบ่งข้าว ซึ่งสอดคล้องกับค่า DSC และค่าร้อยความเป็นผลิกพบว่ามีร้อยละความเป็นผลิกสูงกว่าแบ่งข้าว (ตารางที่ 6) และจากการวิจัยของ Pereva and Hoover (1997) พบว่าแบ่งมันฝรั่งมีค่า BD สูงกว่าสตาร์ชมันฝรั่งที่ผ่านการสกัดแล้ว เนื่องจากสตาร์ชที่ผ่านการสกัดแล้วจะทำให้มีค่าสตาร์ชมีโครงสร้างภายในที่แข็งแรงกว่า แบ่งมันฝรั่งที่ประกอบด้วยพันธะที่อ่อนแอกว่าสตาร์ชที่ผ่านการสกัดแล้ว

เนื่องจากผลของ HIU ที่มีต่อค่า BD ของเม็ดสตาร์ช ทิบอกรถึงความคงตัว และความแข็งแรงของเม็ดสตาร์ชต่อการให้ความร้อนและแรงงานที่เกิดขึ้น ซึ่งยังไม่มีการศึกษาอย่างชัดเจน ดังนั้นจึงเป็นที่น่าศึกษาต่อไปถึงสาเหตุที่แนวชัด

สตาร์ชที่สกัดด้วยการ DF จำนวน 1 และ 6 รอบ พบร่วมกับ BD ลดลงอย่างมีนัยสำคัญ ( $p \leq 0.05$ ) เมื่อเพิ่มจำนวนรอบในการแช่เยือกแข็ง และที่สองสภาวะนี้มีค่า BD ต่ำกว่าแบ่งข้าวอย่างมีนัยสำคัญ ( $p \leq 0.05$ ) ซึ่งจากการที่ Wang and Wang (2001) กล่าวไว้ว่าปริมาณโปรตีนและสตาร์ชที่เสียหายจะมีผลต่อคุณสมบัติด้านความหนืดของสตาร์ช โดยปริมาณโปรตีนมีความสัมพันธ์เชิงเส้นกับค่า BD ของสตาร์ชเพียงเล็กน้อยเท่านั้น จากผลการทดลองนี้สตาร์ชที่ผ่านการ DF ยังปริมาณโปรตีนที่เหลืออยู่มีค่อนข้างสูง อาจเรียกได้ว่าเป็นแบ่งที่มีปริมาณโปรตีนต่ำ (Guraya and James, 2002) เมื่อเปรียบเทียบกับปริมาณโปรตีนในแบ่งข้าวแล้ว จะเห็นได้ว่ามีค่าไม่แตกต่างกันมากพอที่จะทำให้ค่า BD ของสตาร์ชที่สกัดด้วยการ DF มีค่าแตกต่างจากแบ่งข้าวมากนัก และยังมีปริมาณสตาร์ชที่เสียหายยังไม่สูงมากพอที่จะทำให้มีผลต่อค่า BD ของสตาร์ชที่สกัดด้วยการ DF ที่มีค่าต่ำกว่าแบ่งข้าวมาก (ประมาณ 2 เท่า) ดังนั้น เม็ดสตาร์ชที่ถูกทำลายด้วย DF จะมีความคงตัวมากกว่าแบ่งข้าว เนื่องจากการ DF จะทำให้เกิดแรงกดอัด เนื่องจากความดันจากการเกิดผลึกน้ำแข็งทำให้ความหนาแน่นของเม็ดสตาร์ช (hilum) ลดลงอย่างชัดเจน (Szymonska et al., 2000) ซึ่งสอดคล้องกับผลของความเป็นผลึกสัมพันธ์ของสตาร์ชด้วยเครื่องอีกซ์เรย์ดิฟแฟร์กโบทมิเตอร์ (ตารางที่ 6) และสอดคล้องกับผลของค่าพลังงานในการสลายพันธะด้วยเครื่อง DSC และจากค่า BD ที่ลดลงนั้นอาจสันนิษฐานได้ว่า จากการที่ความหนาแน่นของเม็ดสตาร์ชมีค่าลดลงนั้น อาจไปมีผลต่อสายของแอมิโลเพกทิน ซึ่งอาจเกิดการแตกออกหรือหักงอของสายแอมิโลเพกทิน และอาจไป

ขัดขวางการแตกออกของเม็ดสตาร์ซจากการให้ความร้อนและแรงกวน ทำให้ค่า PV ลดลง และมีผลให้ค่า BD ลดลงด้วย ( $BD = PV - Trough$ ) ซึ่งจากผลของการ DF ที่มีต่อความหนืดน้ำยังไม่มีผู้ศึกษาถึงสาเหตุที่แน่ชัดจึงน่าจะมีการศึกษาต่อไปถึงสาเหตุที่แน่ชัด

สตาร์ซที่ผ่าน HIU ที่สภาวะ 70 เบอร์เซ็นต์แอมพลิจูด เป็นเวลา 30 นาที เพียงอย่างเดียว และสตาร์ซที่สกัดด้วย HIU ที่สภาวะ 70 เบอร์เซ็นต์แอมพลิจูด เป็นเวลา 30 นาที ร่วมกับการ DF จำนวน 1 รอบ และ 6 รอบ พนว่า มีค่า BD ค่อนข้าง สูงขึ้น เมื่อเพิ่มการ DF จำนวน 1 และ 6 รอบ เป็นลำดับ และมีค่าความแตกต่างกันดังนี้คือ สตาร์ซที่สกัดด้วย HIU (70 เบอร์เซ็นต์แอมพลิจูด เป็นเวลา 30 นาที) ร่วมกับการ DF จำนวน 1 รอบ มีค่า BD แตกต่างอย่าง ไม่มีนัยสำคัญ ( $p>0.05$ ) กับห้องสองที่รีทเมนต์ คือ ที่สภาวะ HIU เพียงอย่างเดียว และ HIU ร่วมกับการ DF จำนวน 6 รอบ แต่สตาร์ซที่สกัดด้วย HIU เพียงอย่างเดียวมีค่า BD แตกต่างอย่างมีนัยสำคัญ ( $p\leq0.05$ ) กับสตาร์ซที่สกัดด้วย HIU ร่วมกับการ DF จำนวน 6 รอบ หรืออาจกล่าวได้ว่า เมื่อเพิ่มวิธีการสกัดโดยใช้ HIU ร่วมกับการ DF จำนวน 1 และ 6 รอบ มีผลทำให้มีค่า BD ซึ่งอาจกล่าวได้ว่า เมื่อเพิ่มวิธีการสกัดโดยใช้ HIU ร่วมกับการ DF จำนวน 1 และ 6 รอบ มีผลทำให้ค่าพลังงานในการสลายพันธะด้วยเครื่อง DSC กล่าวคือ เมื่อเพิ่มวิธีการสกัดโดยใช้ HIU ร่วมกับการ DF จำนวน 1 และ 6 รอบ มีผลทำให้ค่าพลังงานในการสลายพันธะลดลง ซึ่งอาจกล่าวได้ว่า สตาร์ซมีความเป็นผลลัพธ์ลดลงสอดคล้องกับค่าร้อยละความเป็นผลลัพธ์ (ตารางที่ 6)

ค่าความหนืดสุดท้าย (final viscosity, FV) แสดงสมบัติความคืนตัวของสตาร์ซโดยจะบ่งบอกถึงความแข็งแรงของเจลที่ได้ และปัจจัยที่มีผลต่อค่า FV ได้แก่ ปริมาณแอมิโน\_acid โปรตีน ในมันในสตาร์ซ และปริมาณสตาร์ซที่เสียหาย จากการทดลอง ค่า FV ของสตาร์ซ สามารถแบ่งออกได้เป็นสองกลุ่มคือ กลุ่มที่หนึ่งได้แก่ สตาร์ซที่ถูกสกัดด้วย HIU ที่สภาวะ 50 และ 70 เบอร์เซ็นต์แอมพลิจูดที่เวลาต่างๆ และ ที่ 90 เบอร์เซ็นต์แอมพลิจูดเป็นเวลา 15 นาที และสตาร์ซที่สกัดด้วยสารละลายค่าง มีค่า FV อยู่ในช่วงประมาณ 381.88-409.63 RVU ส่วนกลุ่มที่สองได้แก่ สตาร์ซที่ถูกสกัดด้วย HIU ที่สภาวะ 90 เบอร์เซ็นต์แอมพลิจูดเป็นเวลา 30 และ 45 นาที มีค่า FV อยู่ในช่วงประมาณ 318.67-349.67 RVU ซึ่งภายในกลุ่มนี้มีค่า FV แตกต่างกันอย่าง ไม่มีนัยสำคัญ ( $p>0.05$ ) แต่มีค่าแตกต่างกันอย่างมีนัยสำคัญ ( $p\leq0.05$ ) ระหว่างกลุ่ม และห้องสองกลุ่มนี้จะมีค่า FV ต่ำกว่าแป้งข้าวอย่างมีนัยสำคัญ ( $p\leq0.05$ ) ที่มีค่า FV ประมาณ 445.08 RVU ซึ่งในการสกัดด้วย HIU นี้ ปัจจัยที่มีผลต่อค่า FV อาจสันนิษฐานได้ว่าน่าจะมีผลมาจากปริมาณสตาร์ซที่เสียหาย และปริมาณโปรตีนที่เหลืออยู่ ซึ่งที่มีความสัมพันธ์กับค่า FV ของสตาร์ซ จากผลการทดลองของ Baxter *et al.* (2004) และ Hamaker and Griffin (1990) พนว่า เมื่อสตาร์ซมีปริมาณโปรตีนที่สูงขึ้น มีผลให้ FV ของสตาร์ซสูงขึ้นตามไปด้วย ซึ่งในขณะเดียวกัน Guraya and James (2002) ได้ศึกษาความสัมพันธ์

ระหว่างปริมาณสตาร์ชที่เสียหายกับค่า FV ของสตาร์ชข้าวที่สักดัดด้วยการโซโนมิไนเซชันด้วยความดันสูง พบว่า เมื่อปริมาณสตาร์ชที่เสียหายสูงขึ้น มีผลทำให้ FV ของสตาร์ชลดลง ดังนั้นอาจกล่าวได้ว่าปริมาณโปรตีนและสตาร์ชที่เสียหายจะมีผลต่อค่าของ FV ในทางตรงข้ามกันหรือสวนทางกัน ซึ่งน่าจะสอดคล้องกับผลการทดลองนี้ นั่นคือเมื่อเปอร์เซ็นต์แอมพลิจูดและเวลาในการสักดันนานขึ้น มีผลให้ปริมาณโปรตีนนิแนวโน้มลดลง และในขณะเดียวกันก็มีผลทำให้ปริมาณสตาร์ชที่เสียหายเพิ่มสูงขึ้น จึงมีผลให้ค่า FV ของสตาร์ชในกลุ่มนี้มีค่าใกล้เคียงกัน แต่มีความแตกต่างกันระหว่างปริมาณโปรตีน และปริมาณสตาร์ชที่เสียหายซึ่งมีความสัมพันธ์และซ้อนทับกันอยู่ระหว่างทรีตเมนต์ ส่วนค่า FV ของสตาร์ชที่สักดัดด้วย HIU ในกลุ่มที่สองนั้น พบว่ามีแนวโน้มลดลงอย่างมีนัยสำคัญ ( $p \leq 0.05$ ) และมีปริมาณโปรตีนกับปริมาณสตาร์ชที่เสียหายไม่สอดคล้องกับค่า FV ของทรีตเมนต์นั้นๆ เนื่องจากตัวอย่างในกลุ่มแรก หันนี้เนื่องจาก เม็ดสตาร์ชในกลุ่มที่สองเกิดการเจลาทีไซป์บานส่วนเนื้องจากกระบวนการสักดัด จึงทำให้ค่า FV ของตัวอย่างลดลง และการเกิดเจลาทีไซป์ของตัวอย่างนี้สอดคล้องกับผลของ DSC ที่ได้กล่าวมาแล้ว โดยสตาร์ชในกลุ่มนี้จะมีค่าพลังงานทึ่งหมุดที่ใช้ในการเกิดเจลาทีไซป์นั้นต่ำกว่าสตาร์ชทุกกลุ่ม

สตาร์ชที่ได้จากการ DF ที่ 1 และ 6 รอบ พบว่ามีค่าความหนืดสุดท้ายอยู่ในช่วงประมาณ 324.08 - 335.58 มีค่าแตกต่างกันอย่างไม่มีนัยสำคัญ ( $p > 0.05$ ) และมีค่า FV ต่ำกว่าแป้งข้าวและสตาร์ชที่สักดัดด้วยสารละลายต่างอย่างมีนัยสำคัญ ( $p \leq 0.05$ ) อาจสันนิษฐานได้ว่าน่าจะเกิดจากอิทธิพลของสตาร์ชที่เสียหายเนื่องจาก เมื่อปริมาณของสตาร์ชที่เสียหายเพิ่มขึ้นจะทำให้ค่า FV มีแนวโน้มลดลงด้วย มีผลทำให้เจลของตัวอย่างที่ได้อ่อนแอลง ค่า FV ของตัวอย่างสัมพันธ์กับค่าร้อยละ ความเป็นผลึก และสอดคล้องกับผลของค่า DSC ที่ได้ เนื่องจากส่วนที่เป็นผลึกถูกทำลายหรือมีจำนวนลดลง ซึ่งส่วนที่เป็นผลึกจะเป็นส่วนที่ไม่อุ่มน้ำ จะดูดน้ำได้น้อยกว่าบริเวณอสัมฐาน (amorphous zone) (อรอนงค์, 2547) ส่วนบริเวณอสัมฐานจะอุ่มน้ำได้ดี ดังนั้นในการผึ่งเจลของสตาร์ชที่สักดัดด้วย DF จึงอ่อนแอกว่าแป้งข้าว และเนื่องจากสตาร์ชที่ได้จากการ DF ที่ 1 และ 6 รอบ ทำให้มีปริมาณโปรตีนที่เหลืออยู่ลดลงมากกว่าแป้งข้าวอย่างมีนัยสำคัญ จึงเป็นอีกปัจจัยหนึ่งที่ทำให้เจลของสตาร์ชที่ได้จากการ DF อ่อนแอกว่าแป้งข้าว สอดคล้องกับการทดลองของ Baxter *et al.* (2004) ที่พบว่าสตาร์ชข้าวที่มีปริมาณโปรตีนน้อยกว่าทำให้มีค่าความหนืดสุดท้ายต่ำกว่า สตาร์ชข้าวที่มีการเติมโปรตีนไปคลานีลงไป สอดคล้องกับ Hamaker and Geiffin (1990) ซึ่งพบว่าการทำลายพันธะไดซัลไฟฟ์ในเม็ดสตาร์ชข้าวด้วย dithiothreitol ทำให้ค่าความหนืดสุดท้ายลดลง

ค่า FV ของสตาร์ชที่ผ่าน HIU ที่สภาวะ 70 เปอร์เซ็นต์แอมพลิจูด เป็นเวลา 30 นาที ร่วมกับการ DF ที่ 1 และ 6 รอบ พบว่ามีค่า FV อยู่ในช่วงประมาณ 317.04 - 326.13 และมีค่า

FV ต่ำกว่าแป้งข้าว สตาร์ชที่ผ่าน HIU เพียงอย่างเดียว และสตาร์ชที่สกัดด้วยสารละลายค้าง อย่างมีนัยสำคัญ ( $p \leq 0.05$ ) เนื่องจากเม็ดสตาร์ชมีความคงตัวต่ำเม็ดสตาร์ชอ่อนแอเนื่องจากการสกัดด้วยวิธีทางกายภาพทั้งสองวิธีร่วมกันจึงทำให้ลักษณะเจลของตัวอย่างอ่อนลง และสอดคล้องกับผลของร้อยละความเป็นผลึกที่มีร้อยละความเป็นผลึกต่ำกว่า และต่ำของ DSC ที่มีพลังงานในการสลายพันธุ์ต่ำกว่าแป้งข้าวและสตาร์ชที่สกัดด้วย HIU เพียงอย่างเดียว

ค่าเซตแบค (set back, SB) เนื่องจากค่าเซตแบค เป็นค่าผลต่างของความหนืดสุดท้าย (final viscosity) และความหนืดต่ำสุด (trough viscosity) ค่าที่ใช้ให้เห็นถึงการเกิดรีโทรเกรเดชัน และแสดงถึงความคงตัวของแป้งและสตาร์ช เป็นค่าที่แสดงถึงการยึดเกาะกันหรือ การเกิดรีโทรเกรดของไมเลกุลแอมโมนิโอลิสต์อยู่ในลักษณะการจัดเรียงตัวกันใหม่ด้วยพันธะไฮโดรเจนระหว่างไมเลกุลเกิดเป็นโครงสร้างร่างแท้สามมิติสามารถอุ่นน้ำ และไม่มีการดูดน้ำเข้ามาอีก ดังนั้นมีค่า SB สูง แสดงว่าแป้งหรือสตาร์ชนั้น มีความคงตัวสูง เกิดการรีโทรเกรเดชันง่าย จากผลการทดลองพบว่า ค่า SB ของสตาร์ช สามารถแบ่งออกได้เป็นสีกลุ่มคือ กลุ่มที่หนึ่ง คือสตาร์ชที่ผ่านการสกัดด้วย HIU ที่ 50 เปรอร์เซ็นต์แอมพลิจูด ที่เวลา 15 30 และ 45นาที กลุ่มที่สองคือ ที่สภาวะ 70 เปรอร์เซ็นต์แอมพลิจูด เป็นเวลา 15 และ 30 นาที กลุ่มที่สามคือ ที่สภาวะ 70 เปรอร์เซ็นต์แอมพลิจูด เวลา 45 นาที และที่สภาวะ 90 เปรอร์เซ็นต์แอมพลิจูดที่เวลา 15 นาที และกลุ่มที่สี่คือ ที่สภาวะ 90 เปรอร์เซ็นต์แอมพลิจูด เวลา 30 และ 45 นาที ซึ่งค่า SB ภายในกลุ่มจะมีค่าแตกต่างอย่างไม่มีนัยสำคัญ ( $p > 0.05$ ) แต่มีความแตกต่างกันระหว่างกลุ่มอย่างมีนัยสำคัญ ( $p \leq 0.05$ ) นอกจากนี้ยังพบว่าสตาร์ชที่ผ่านการสกัดด้วย HIU ทุกกลุ่มนั้น มีค่า SB ต่ำกว่าแป้งข้าวอย่างมีนัยสำคัญ ( $p \leq 0.05$ ) ซึ่งจากการทดลองนี้อาจสันนิษฐานได้ว่าปริมาณสตาร์ชที่เสียหายน่าจะมีผลต่อค่า SB มากกว่าปริมาณโปรตีน ซึ่งสอดคล้องกับงานวิจัยของ Yoenyongbuddhagal and Noomhorm (2002) ที่ศึกษาการเปลี่ยนแปลงความหนืดของแป้งไม่แห้ง และแป้งไม่เปียกในข้าวพันธุ์เส้าไห พบร่วมกับปริมาณสตาร์ชที่เสียหายสูง (ไม่แห้ง) จะมีค่า SB สูงกว่าแป้งที่มีปริมาณสตาร์ชที่เสียหายต่ำ (ไม่เปียก) ดังนั้นอาจกล่าวได้ว่า เมื่อปริมาณสตาร์ชที่เสียหายเพิ่มขึ้น มีผลทำให้ SB ของสตาร์ชสูงขึ้น แต่ที่ 90 เปรอร์เซ็นต์ แอมพลิจูดที่เวลา 30 และ 45 นาที เมื่อเวลานานขึ้น จะมีค่า SB ต่ำลง ซึ่งที่สภาวะนี้เกิดเจลาทีนเชชันของสตาร์ช และในขณะที่ใช้ HIU จะมีความร้อนเกิดขึ้นทำให้มีดสตาร์ชบางส่วนเกิดการเจลาทีนซึ่งเป็นผลให้ค่าเซตแบคลดลง

สตาร์ชที่ได้จากการ DF จำนวน 1 และ 6 ครั้ง พบร่วมกับปริมาณสตาร์ชที่ได้จากการ DF จำนวน 1 และ 6 ครั้ง พบร่วมกับปริมาณสตาร์ชที่ได้จากการ DF ที่ 90 เปรอร์เซ็นต์ แอมพลิจูดที่เวลา 30 และ 45 นาที เมื่อเวลานานขึ้น จะมีค่า SB ต่ำลง ซึ่งที่สภาวะนี้เกิดเจลาทีนเชชันของสตาร์ช และในขณะที่ใช้ HIU จะมีความร้อนเกิดขึ้นทำให้มีดสตาร์ชบางส่วนเกิดการเจลาทีนซึ่งเป็นผลให้ค่าเซตแบคลดลง

ดันออกมา (Szymonaka *et al.*, 2000) ซึ่งน่าจะมีผลต่อการหักงอของสายของแมมิโลเพกทิน เมื่อลดอุณหภูมิลง อาจทำให้เกิดการจัดเรียงตัวกันใหม่ได้ยากขึ้น และมีผลทำให้มีค่าเซตแบคต่ำกว่าแบ่งข้าว

จากการทดลองนี้พบว่า การใช้ HIU ที่สภาวะ 70 เปอร์เซ็นต์แอมพลิจูด เป็นเวลา 30 นาที ร่วมกับการ DF จำนวน 1 และ 6 ครั้ง มีค่าเซตแบคสูงกว่าแบ่งข้าว สตาร์ชที่สักด้วยด่าง และสตาร์ชที่ผ่าน HIU ที่สภาวะ 70 เปอร์เซ็นต์แอมพลิจูด เป็นเวลา 30 นาที ดังนั้นอาจสันนิษฐานได้ว่าที่สภาวะนี้ เม็ดสตาร์ชมีความอ่อนแอมาก ดูจากค่า BD ที่สูงมาก (BD สูง แสดงว่าเม็ดสตาร์ชมีความแข็งแรงหรือมีความคงตัวต่ำ สามารถทนต่อความร้อนและแรงกรุนได้ต่ำ หลังจากให้ความร้อนและแรงกรุน อาจทำให้สายของแมมิโลเพกทินที่อ่อนแองเนื่องจากการถูกทำลายด้วยวิธีการสักด้วยสองวิธี เกิดแตกหักเป็นสายสั้นๆ ได้ มีลักษณะคล้ายแมมิโลส ซึ่งเมื่อลดอุณหภูมิลง จะขับตัวกันทำให้ค่า SB สูงขึ้น กล้ามแรงต่ำ และเกือบถูก (2546) รายงานว่าการตัดแบนแบ่งด้วยกรดเป็นการลดขนาดโมเลกุลของแบ่ง และทำให้เกิดการแตกหักของพันธะร่างแท ทำให้มีเด็กแบ่งกระจายออกเป็นชิ้นเล็กๆ ในขณะที่ให้ความร้อน ได้ค่าเซตแบคสูง เนื่องจากมีการคืนตัวได้เร็ว

1.3.3 คุณสมบัติด้านความเป็นผลึก (crystallinity) ของสตาร์ชที่สักด้วยวิธีทางกายภาพและวิธีการใช้ด่าง โดยใช้การตรวจสอบด้วยเทคนิคการเลือบเวนของรังสีเอกซ์ (x-ray diffraction)

จากตารางที่ 6 (ภาคผนวกที่ ฉ7) พบว่า การใช้ HIU และการ DF ไม่มีผลต่อการเปลี่ยนแปลงชนิดของโครงสร้างผลึก กล่าวคือแบ่งข้าวและสตาร์ชที่สักด้วยทุกตัวอย่างยังมีลักษณะโครงสร้างผลึกแบบ type A แต่มีผลเล็กน้อยต่อการลดลงของร้อยละความเป็นผลึก ซึ่งจากการเขียนเย้อกแข็งที่อุณหภูมิต่ำ พบว่า ไม่สามารถทำให้เกิดความเสียหายถึงขนาดทำลายคุณสมบัติการเกิดไบร์ฟริงเจนซ์ (birefringence) ของเม็ดสตาร์ชได้ ซึ่งให้ผลเช่นเดียวกับสตาร์ชที่ผ่านการไฮโนมิโนเจชันด้วยความดันสูง (High-Pressure Homogenization) (ที่ความดันประมาณ 14,503.78 ปอนด์ต่อตารางนิวตัน) ที่ทำให้ขนาดของเม็ดสตาร์ชเล็กลง และจากการใช้การ DF ทำให้เกิดรอยแยกที่ผิวน้ำมีขึ้นจากเคิม และแมมิโลเพกทินที่อยู่ภายในส่วนที่เป็นโครงสร้างผลึกจะถูกดันออกมาน (Szymoneka *et al.*, 2000) ซึ่งอาจมีผลทำให้สายของแมมิโลเพกทินแตกหักได้ และอาจเป็นสาเหตุที่ทำให้สตาร์ชมีค่าร้อยละความเป็นผลึกลดลง สามารถสังเกตได้จากที่สภาวะ การ DF จำนวน 1 และ 6 ครั้ง และการใช้ HIU ที่ 70 เปอร์เซ็นต์แอมพลิจูด เป็นเวลา 45 นาที มีร้อยละความเป็นผลึกต่ำกว่าทรีทเมนต์อื่นๆ

จากการทดลองของความเป็นผลึกของตัวอย่าง HIU สอดคล้องกับผลการทดลองค่าพลังงานในการถ่ายพันธุ์จาก DSC

**ตารางที่ 6 ความเป็นผลึกสัมพันธ์ของแป้งข้าวและสาหร่ายข้าว สาหร่ายที่สกัดด้วยวิธีทางกายภาพ และวิธีการใช้สารละลายค่าง**

ตัวอย่างสาหร่ายข้าว	เปอร์เซ็นต์ความเป็นผลึก
แป้งข้าว	16.89
DF 1 รอบ	15.54
DF 6 รอบ	14.88
HIU 70 เปอร์เซ็นต์แอมพลิจูด 30 นาที	15.93
HIU 70 เปอร์เซ็นต์แอมพลิจูด 30 นาทีและ DF 1 รอบ	15.27
HIU 70 เปอร์เซ็นต์แอมพลิจูด 45 นาที	16.22
สารละลายค่าง	17.06

จากการทดลองผู้วิจัยมีความเห็นว่า สาขาวะที่เหมาะสมที่สุดในการแยกสกัดสาหร่ายคือ การใช้ HIU ที่สาขาวะ 70 เปอร์เซ็นต์แอมพลิจูด เป็นเวลา 45 นาที เนื่องจากได้พิจารณาจากผลการทดลองดังต่อไปนี้ คือ ระยะเวลาที่ใช้ในการสกัดที่มีระยะเวลาที่ดีกว่าการสกัดด้วยสารละลายค่างถึง 1.1 เท่า มีปริมาณผลได้สูงกว่าสาหร่ายที่สกัดโดยใช้สารละลายค่าง มีปริมาณเปอร์เซ็นต์โปรตีนที่เหลืออยู่น้อยที่สุดเมื่อเทียบกับทุกทรีทเมนต์ และยังมีค่าไกล์เคียงกับสาหร่ายที่สกัดด้วยสารละลายค่างมากที่สุด โดยที่มีค่าเปอร์เซ็นต์สาหร่ายที่เสียหายไม่แตกต่างกับสาหร่ายที่สกัดด้วยสารละลายค่างอีกด้วย และสมบัติด้านความหนืด และการเกิดเจลาทีนเชชันที่ได้ในแต่ละทรีทเมนต์ไม่แตกต่างกันอย่างชัดเจน

## 2. การเปรียบเทียบวิธีการสกัดสาหร่ายข้าวด้วยวิธีทางกายภาพที่เหมาะสมกับวิธีสกัดโดยใช้สารละลายค่าง

2.1 การเปรียบเทียบปริมาณค่าความเป็นกรด-鹼 (pH) ของน้ำทึบ และปริมาณผลได้ ของสาหร่ายจากการวนการสกัดสาหร่ายด้วยวิธีทางกายภาพที่เหมาะสมกับวิธีการสกัดโดยใช้สารละลายค่าง

เมื่อเปรียบเทียบปริมาณน้ำทึ้งจากวิธีการสกัดโดยใช้สารละลายน้ำด่างกับวิธีการใช้ HIU ที่สภาวะ 70 เปอร์เซ็นต์แอมพลิจูด เป็นเวลา 45 นาที พบว่า การแยกสกัดด้วย HIU จะมีปริมาณน้ำทึ้งน้อยกว่าวิธีสกัดโดยใช้สารละลายน้ำด่างประมาณ 4.5 เท่าและมีค่าความเป็นกรด-เบสของน้ำทึ้งต่ำกว่าค่าความเป็นกรด-เบสของน้ำทึ้งที่ได้จากการสกัดโดยใช้สารละลายน้ำด่างมาก ดังนั้นการใช้ HIU ใน การแยกสกัดสตาร์ชข้าวจะทำให้ลดปริมาณน้ำเสียจากการกระบวนการผลิต และสามารถนำกลับคืนน้ำเสียได้ง่ายเนื่องจากมีค่าความเป็นกรด-เบสใกล้เคียง 7

**ตารางที่ 7** เปรียบเทียบปริมาณและความเป็นกรด-เบส ( $\text{pH}$ ) ของน้ำทึ้งจากการกระบวนการสกัดสตาร์ชด้วยวิธีทางกายภาพที่เหมาะสมและวิธีการใช้สารละลายน้ำด่าง

ตัวอย่าง	ปริมาณน้ำทึ้ง (㎖)	ความเป็นกรด-เบส
HIU 70 เปอร์เซ็นต์แอมพลิจูด 45 นาที	$186 \pm 4.95$	$5.88 \pm 0.01$
สารละลายน้ำด่าง	$840 \pm 4.24$	$10.82 \pm 0.01$

2.2 การเปรียบเทียบเวลาที่ใช้ในการสกัดสตาร์ชด้วยวิธีทางกายภาพที่เหมาะสมกับวิธีการใช้สารละลายน้ำด่าง

การใช้ HIU ยังสามารถลดระยะเวลาในการแยกสกัดสตาร์ชได้ถึง 1.1 เท่าของเวลาในการสกัดด้วยวิธีทางเคมี

**ตารางที่ 8** เปรียบเทียบเวลาที่ใช้ในการสกัดสตาร์ชด้วยวิธีทางกายภาพที่เหมาะสมกับวิธีการใช้สารละลายน้ำด่าง (ไม่รวมขั้นตอนการอบแห้ง)

ตัวอย่าง	เวลา (ชั่วโมง)
HIU 70 เปอร์เซ็นต์แอมพลิจูด 45 นาที	$1.15 \pm 0.03$
สารละลายน้ำด่าง	$5.30 \pm 0.05$

**หมายเหตุ:** เป็นข้อมูลในการผลิตสตาร์ช 60 กรัม ในระดับห้องปฏิบัติการ

2.3 การเปรียบเทียบสมบัติทางเคมีและทางกายภาพ ของสตาร์ชที่สกัดด้วยวิธีทางกายภาพที่เหมาะสมกับวิธีการใช้สารละลายน้ำด่าง

จากการที่ 9 เป็นการเปรียบเทียบสมบัติทางเคมีและทางกายภาพของสารชีที่สกัดด้วย HIU ที่ 70 เปรอเซ็นต์แอมพลิจูด 45 นาที ซึ่งเป็นสภาวะการแยกสกัดที่ดีที่สุดในการทดลองนี้ กับสารชีที่สกัดโดยใช้สารละลายด่าง และสารชีทางการค้า โดยสารชีที่สกัดด้วย HIU จะมีปริมาณความชื้น และไขมัน ต่ำกว่าสารชีทางการค้า แต่สูงกว่าสารชีที่สกัดด้วยสารละลายด่างเล็กน้อย นอกจากนี้ยังมีโปรตีน และแอมโมนีติก 酸 สูงกว่าสารชีที่สกัดด้วยสารละลายด่าง โดยสารชีที่สกัดด้วย HIU มีค่าปริมาณโปรตีนสูงกว่าเพียงเล็กน้อยเท่านั้น และมีค่าความหนืดสูงสุด สูงกว่าสารชีทางการค้า แต่ต่ำกว่าสารชีที่สกัดด้วยสารละลายด่างในห้องปฏิบัติการเพียงเล็กน้อยเท่านั้น จากการวัดคุณภาพสีของสารชีที่สกัดด้วย HIU กับแบ่งข้าว พบว่า สารชีที่สกัดด้วย HIU มีค่าความสว่าง (+L) สูงกว่า และมีค่าความเป็นสีเหลือง (+b) ต่ำกว่าแบ่งข้าวอย่างเห็นได้ชัด และมีค่าความเป็นสีแดง (-a) อ่อนกว่าแบ่งข้าวเล็กน้อย ดังนั้นอาจกล่าวได้ว่า ของสารชีที่สกัดด้วย HIU มีคุณภาพสี คือมีความเป็นสีขาวและความสว่างมากกว่าแบ่งข้าวอย่างชัดเจน จากการสมบัติทางเคมีและทางกายภาพของสารชีที่สกัดด้วย HIU เปรียบเทียบกับแบ่งข้าว สารชีที่สกัดด้วยสารละลายด่าง และสารชีทางการค้า ทั้งนี้เพื่อประโยชน์ในการนำไปประยุกต์ใช้ในอุตสาหกรรมต่างๆ ตามความเหมาะสมต่อไป และจากค่าการวัดคุณภาพสีของสารชีที่สกัดด้วย HIU กับสารชีทางการค้า พบว่าสารชีที่สกัดด้วย HIU มีค่าความสว่าง (+L) น้อยกว่าสารชีทางการค้าเล็กน้อย และมีค่าความเป็นสีแดง (-a) และค่าความเป็นสีเหลือง (+b) เข้มกว่าสารชีทางการค้าน้อย ส่วนค่าการวัดสีของสารชีที่สกัดด้วย HIU กับสารชีที่สกัดด้วยสารละลายด่าง พบว่า สารชีที่สกัดด้วย HIU มีค่าความสว่าง (+L) และค่าความเป็นสีเหลือง (+b) น้อยกว่าสารชีที่สกัดด้วยสารละลายด่างเพียงเล็กน้อย และมีค่าความเป็นสีแดง (-a) เข้มกว่าสารชีที่สกัดด้วยสารละลายด่างเพียงเล็กน้อยเท่านั้น ดังนั้นอาจกล่าวได้ว่า คุณภาพสีของสารชีที่สกัดด้วย HIU มีความเป็นสีขาวและความสว่างใกล้เคียงกับสารชีทางการค้า และสารชีที่สกัดด้วยสารละลายด่างในห้องปฏิบัติการ

เมื่อเปรียบเทียบสารชีที่สกัดด้วย HIU กับแบ่งข้าวพบว่า การใช้ HIU ที่สภาวะนี้จะมีเปอร์เซ็นต์ความชื้น สูงกว่าแบ่งข้าวเนื่องจากมีปริมาณสารชีที่เสียหายสูงกว่าหลังการสกัด แต่มีปริมาณโปรตีนที่เหลืออยู่น้อยกว่า 1 แสดงว่าสารชีที่สกัดได้มีความบริสุทธิ์ค่อนข้างสูง (Vandeputte *et al.*, 2003) นอกจากนี้ยังสามารถลดปริมาณไขมันได้อย่างมีประสิทธิภาพได้อีกด้วย จากปริมาณแอมโมนีติก 酸 ส่วนตัวของสารชีที่สกัดด้วย HIU มีผลทำให้ปริมาณแอมโมนีติก เพิ่มขึ้นเล็กน้อย และมีค่าความหนืดสูงสุดของสารชีที่สกัดด้วย HIU ต่ำกว่าแบ่งข้าว เนื่องจากปริมาณสารชีที่เสียหายที่มีความสัมพันธ์แบบแปรผันกับค่าความหนืดสูงสุด ซึ่งสอดคล้องกับผลการทดลองของ Wang and Wang (2001) ที่ศึกษาความสัมพันธ์ของปริมาณสารชีข้าวที่เสียหายที่มีผลต่อค่าความหนืด โดยศึกษาจากวิธีการสกัดสารชีข้าวด้วยสารละลายด่าง เปรียบเทียบกับการใช้อ่อนใช้มีพบร่วมกับสารชีที่

เสียหายมีผลต่อความสามารถในการจับกับน้ำ (water binding capacity) และการละลาย (solubility) 強くกว่าเม็ดสตาร์ชปกติที่ไม่ได้รับความเสียหาย นอกจากนี้ปริมาณโปรตีนและสตาร์ชที่เสียหาย ที่เกิดจากการสักดักทั้งสองวิธี มีผลต่อกุณสมบัติความหนืดของสตาร์ชข้าว โดยปริมาณสตาร์ชที่เสียหายมีความสัมพันธ์แบบแปรผกผัน กับค่าความหนืดสูงสุด ( $r = -0.78$ ,  $P = 0.05$ ) หากกว่าปริมาณโปรตีนที่เหลืออยู่ซึ่งมีความสัมพันธ์แบบแปรผันตรงกับปริมาณสตาร์ชที่เสียหาย สอดคล้องกับงานวิจัยของ Sanchez *et al.* (1986) และ Sabularse *et al.* (1992) ที่พบรายงานว่า สตาร์ชที่เสียหายมีความสัมพันธ์แบบแปรผกผันกับค่าความหนืดสูงสุด และนอกจากนี้ยังสอดคล้องกับงานวิจัยของ Morrison *et.al.* (1994) ที่พบว่า เมื่อเม็ดสตาร์ชเกิดความเสียหายด้วยแรงกล จะส่งผลต่ออุณหภูมิเดลตาที่ในเชชันของสตาร์ช โดยเมื่อปริมาณสตาร์ชที่เสียหายสูงขึ้น อุณหภูมิเดลตาที่ในเชชันจะลดลง จากผลการรายงานงานวิจัยข้างต้นสนับสนุนผลการทดลองนี้ได้ว่า ปริมาณสตาร์ชที่เสียหายมีผลต่อค่าความหนืดสูงสุดมากกว่าปริมาณโปรตีนที่เหลืออยู่ของสตาร์ช (Wang and Wang, 2001)

ตารางที่ 9 เปรียบเทียบต้นทุนติดตั้งคอมเมล็ดทางภายนอกของตัวรัชดา ด้วยวิธีทางภายนอกที่เหมาะสมกับวิธีการใช้สารเคมีต่างๆ

ต้นทุนติดตั้งคอมเมล็ดทางภายนอก	ปริมาณ (ปลูกต้น)			ความหนืดสูงสุด (RVU)	คุณภาพสี
	ความชื้น	ปริมาณ	หมายเหตุ		
ไม้ป่า	7.02	7.02	0.14	25.56	90.74 L a b
สต๊าร์ชจากสารสกัดถั่วญี่ปุ่น HPU	9.34	0.88	0.00	31.00	355.92 92.34 -1.41 0.71
สต๊าร์ชจากสารสกัดถั่วญี่ปุ่นสารละลายน้ำ	8.47	0.77	0.00	28.49	377.25 93.18 -1.34 0.93
สต๊าร์ฟางกราวด์*	11.20	0.95	0.00	43.84	260.92 94.30 -1.29 0.60
สต๊าร์ฟางกราวด์**	13.00	0.50	0.20	42.49	270 (B.U.) 93.0 0.2 1.8

\* ป้อมดูจากกราวด์คราฟท์ เนื้อห้องปฏิบัติการ

\*\* ป้อมดูจากผู้ผลิต

## สรุปผลการทดลอง

งานวิจัยฉบับนี้ทำเพื่อศึกษาวิธีและสภาวะที่เหมาะสมในการสกัดสารชี้หัว ด้วยวิธีทาง  
กายภาพ คือ การใช้คลื่นเสียงความถี่สูง และการแช่เยือกแข็งอุณหภูมิต่ำและการเปลี่ยนเที่ยบ  
คุณสมบัติของสารชี้หัวที่สกัดด้วยวิธีทางเคมี ได้แก่ การใช้สารละลายต่างในการสกัด

การนำ HIU มาใช้ในการแยกสารชี้หัว สามารถใช้เวลาในการแยกสารชี้หัวได้  
เร็วกว่าการใช้สารละลายต่าง นอกจากราคาของการสกัดด้วย HIU ยังมีปริมาณน้ำทึ้งน้อยกว่าการสกัดโดย  
ใช้สารละลายต่าง ประมาณ 4.5 เท่า และมีความเป็นกรด-เบสใกล้เคียง 7 หากกว่าการสกัดด้วย  
สารละลายต่าง และที่สภาวะ 70 เปรอร์เซ็นต์แอมพลิจูด 45 นาที สามารถลดปริมาณโปรตีนและเกิด  
ปริมาณสารชี้หัวที่เสียหาย มีค่าไกล์เคียงกับการสกัดด้วยสารละลายต่าง นอกจากราคาที่ยังพบว่า สารชี้หัวที่  
ได้จากการสกัดด้วย HIU ยังมีสมบัติความหนืด (pasting properties) ค่าอุณหภูมิริ่มต้นของความ  
หนืด ค่าความหนืดสูงสุด ค่าความหนืดลดลง และค่าความหนืดสุดท้าย ไกล์เคียงกับสารชี้หัวที่สกัดได้  
ด้วยสารละลายต่าง ในขณะที่มีค่าเขตแบคซูงกว่าสารชี้หัวที่สกัดได้ด้วยสารละลายต่างเล็กน้อย ส่วน  
สมบัติด้านความร้อน (thermal properties) มีค่าไกล์เคียงกับแป้งข้าว และสารชี้หัวที่สกัดได้ด้วย  
สารละลายต่าง

การนำการ DF มาใช้ในการแยกสารชี้หัว สามารถลดปริมาณโปรตีนได้จริง  
แต่ไม่สามารถสกัดสารชี้หัวมีความบริสุทธิ์ไกล์เคียงกับสารชี้หัวที่แยกสกัดด้วย HIU และจากการนำ  
สองวิธีนี้มาสกัดร่วมกัน ระหว่างการใช้ HIU ที่สภาวะ 70 เปรอร์เซ็นต์แอมพลิจูด เป็นเวลา 30 นาที  
กับการ DF จำนวน 1 และ 2 รอบ พบร่วมกัน ไม่สามารถทำให้ปริมาณโปรตีนลดลงได้ไกล์เคียงกับ  
สารชี้หัวที่สกัดด้วยสารละลายต่าง ดังนั้นที่สภาวะนี้จึงไม่เหมาะสมที่จะนำมาสกัดสารชี้หัวได้เท่ากับ  
วิธีการสกัด ที่สภาวะ 70 เปรอร์เซ็นต์แอมพลิจูดเป็นเวลา 45 นาที

การนำ HIU มาประยุกต์ใช้จึงเป็นอีกทางเลือกหนึ่งที่มีความเป็นไปได้ในการนำมาใช้  
ในทางอุตสาหกรรมอาหารต่อไป

## ข้อเสนอแนะ

การศึกษาการเปลี่ยนแปลงของโนมเลกุลสตราชเอมิโลส และแอมิโลเพกทิน ในระหว่างการสกัดด้วย HIU และการ DF เพื่อนำมาอธิบายผลการเปลี่ยนแปลงทางเคมี กายภาพ และเคมีเชิงฟิสิกส์ของสตราช ได้ชัดเจนและถูกต้องสมบูรณ์มากยิ่งขึ้น

ในขั้นตอนการสกัดสตราชด้วยการใช้คลื่นเสียงความถี่สูงร่วมกับการแช่เยือกแข็งอุณหภูมิตาม น่าจะมีการทำการสกัดสลับขั้นตอนกัน โดยทำการสกัดด้วยการแช่เยือกแข็งอุณหภูมิต่ำก่อนการสกัดด้วยคลื่นเสียงความถี่สูง แล้วนำผลการทดลองที่ได้มาเปรียบเทียบกัน เพื่อให้ได้ข้อมูลของผลจากการสกัดด้วยสองวิธีนี้ชัดเจนและสมบูรณ์ยิ่งขึ้น

กระบวนการสกัดสตราชด้วยการแช่เยือกแข็งอุณหภูมิตาม ในช่วงขั้นตอนการแยกเหวี่ยงและบูดโปรตีนที่ผิวน้ำออก หลังจากทำการสกัดที่จำนวน 1 และ 6 รอบ เพียงครั้งเดียวันนี้ ควรทำการแยกเหวี่ยงสตราชและบูดโปรตีนที่ผิวน้ำออกทุกครั้งของการสกัดสตราชด้วยการแช่เยือกแข็ง อุณหภูมิตามในแต่ละรอบ เพื่อให้แน่ใจถึงประสิทธิภาพในการสกัด

## เอกสารและสิ่งอ้างอิง

กล้า้มรงค์ ศรีรอด และ เกี้ยวฤทธิ์ ปะจอมขวัญ. 2546. เทคโนโลยีของแป้ง. พิมพ์ครั้งที่ 3.  
สำนักพิมพ์มหาวิทยาลัยเกษตรศาสตร์, กรุงเทพฯ.

นิธิยา รัตนานปนท. 2545. เคมีอาหาร. สำนักพิมพ์ไอเดียนสโตร์, กรุงเทพฯ.

ปรีชา อนุพงษ์องอาจ. 2550. ความเข้มเสียงและระดับความเข้มเสียง. เสียง. แหล่งที่มา:  
[http://www.rsu.ac.th/science/physics/pom/physics\\_2/sound/sound\\_2.htm](http://www.rsu.ac.th/science/physics/pom/physics_2/sound/sound_2.htm), 9 กันยายน  
2550

ฟลิกส์ราชมงคล, ผู้ร่วบรวม. 2550. ความเข้มเสียงและระดับความเข้มเสียง. เสียงและการได้ยิน.  
แหล่งที่มา: <http://www.rmutphysics.com/charud/specialnews/1/sound/sound5.htm>, 9  
กันยายน 2550.

วรรณฯ ตุลยธัญ. 2549. เคมีอาหารของคาร์โบไฮเดรต. สำนักพิมพ์แห่งจุฬาลงกรณ์มหาวิทยาลัย,  
กรุงเทพฯ.

ศศิโรจน์ เกตุแก้ว. 2550. การประยุกต์ใช้พลังงานคลื่นอัลตราโซนิก สำหรับทำความสะอาด  
ชิ้นส่วนเครื่องยนต์ขนาดเล็ก. วิทยานิพนธ์ปริญญาโท, มหาวิทยาลัยรามคำแหง.

สุพัตรา โพธิวิเศษ. 2548. การเปลี่ยนแปลงทางเคมี กายภาพและเคมีเชิงพิสิกส์ของแป้งข้าวในการ  
ผลิตแป้งแผ่น. วิทยานิพนธ์ปริญญาโท, มหาวิทยาลัยเกษตรศาสตร์.

อรอนงค์ นัยวิถุ. 2547. ข้าว: วิทยาศาสตร์และเทคโนโลยี. สำนักพิมพ์มหาวิทยาลัยเกษตรศาสตร์,  
กรุงเทพฯ.

A.A.C.C. 2000. **Approved Methods of the American Association of Cereal Chemists.** 10 ed.  
American Association of Cereal chemists, St. Paul, MN.

Aggarwal, P. and D. Dollimore. 1998. Athermal analysis investigation of partially hydrolyzed starch. **Thermochimica Acta.** 319: 17-25.

Alexander, R.J. and H.Z. Zobel. 1992. **Developments in Carbohydrate Chemistry.** American Association of Cereal Chemists, Minnesota.

Appelqvist, A.M. and M.R.M. Debet. 1997. Starch-biopolymer interaction-a review. **Food Rev. Int.** (2): 163-224.

Barth, A.M. 2004. **Role and Proposed Mechanism of starch Retrogradation in Determining Sorghum Porridge Texture.** Bauer, B.A., M. Hartmann, K. Sommer and D. Knorr. M.S. theisi thesis, Purdue University, USA.

2004. Optical in situ analysis of starch granules under high pressure with a high pressure cell. **Innovative Food Science and Emerging Technologies.** 5: 293-298.

Baxter, G., C. Blanchard. and J. Zhao. 2004. Effects of prolamin on the textural and pasting properties of rice flour and starch. **J. Cereal Sci.** 40: 205-211.

BeMILLER, J.N. and R.L. WHISTLER. 1996. Carbohydrates, pp. 157-223. In O.R. Fennema, ed. **Food Chemistry.** Marcel Dekker, Inc., New York.

Berg, R.E. and D.G. Stork. 1996. **The Physics of Sound.** Prentice-Hall, Inc., U.S.A.

Betancur, A.D. and G.L. Chel. 1997. Acid hydrolysis and Canacalia ensiformis starch. **J. Agr. Food Chem.** 45: 4237-4241.

Beynum, G.M.A. van and J.A. Roels. 1985. **Starch Conversion Technology.** Marcel Dekker Inc., New York.

Bio-polymer Lab. 2008. **Probe type sonicator.** Equipment. Available Source:  
[http://polymer.cnu.ac.kr/@biopoly/equi.\\_.brd/](http://polymer.cnu.ac.kr/@biopoly/equi._.brd/), 9 September 2008.

Breithaupt, J. 1999. **Foundations physics.** Macmillan Press, London.

Cagampang, G.B., L.J. Cruz, S.G. Espiritu, R.G. Santiago and B.O. Juliano. 1966. Studies on the extraction and composition of rice proteins. **Cereal Chem.** 43: 145-155.

Champagne, E.T. 1996. Rice starch composition and characteristics. **Cereal Foods World.** 41(11): 833-838.

Chiang, P.Y. and A.I. Yeh. 2002. Effect of soaking on wet-milling of rice. **J. Cereal Sci.** 35: 58-94.

Chiou, H., M. Martin and M. Fitzgerald. 2002. Effect of Purification Methods on Rice Starch. **Starch /starke.** 54: 415-420.

Choudhury, N.H. and B.O. Juliano. 1980. Lipids in developing and mature rice grain. **Phytochem.** 19: 1063-1069.

Chung, J.H., H.Y. Jeong and S.T. Lim. 2003. Effects of acid hydrolysis and defatting on crystallinity and pasting properties of freeze-thawed high amylase corn starch. **Carbohydrate polymers.** 54: 449-455.

Colonna, P., A. Buleon and F. Lemarie. 1987. Action of *Bacillus subtilis*  $\alpha$ -amylase on native wheat starch. **Biotech and Bioeng.** 31: 895-904.

Cone, J.W. and M.G.E. Wolters. 1990. Some properties and degradability of isolated starch granules. **Starch/Starke.** 42: 298-301.

- Ellis, R.P., M.P. Cochrane, M.F.B. Dale, C. M. Duffus, A. Lynn, I. M. Morrison, R.D.M. Prentice, J.S. Swanston and S.A. Tiller. 1998. Starch production and industrial use. **J. Sci. Food Agric.** 77: 289-331.
- French, D. 1984 "Organization of starch granules" **Starch : Chemistry and Technology**. (edited by R. L. Whistler, J. N. BeMiller & E. F. Paschall). New York, Academic Press, 234.
- Franco, C.M.L., and C.F. Ciacco. 1992. Factors that affect the enzymatic degradation of natural starch granules. Effect of the size of the granules. **Starch/Starke**. 44: 422-426.
- Franco, C.M.L., S.J.R. Preto, C.F. Ciacco. 1988. Studies on the susceptibility of granular cassava and corn starches to enzymatic attack. Part 2: study of the granular structure of starch. **Starch/Starke**. 40: 29-32.
- Fujii, M., T. Homma and M. Taniguchi. 1988. Synergism of  $\alpha$ -amylase and glucoamylase on hydrolysis of native starch granules. **Biotechnol. B.oeng.** 32: 910-915.
- Giancoli, D.C. 1991. **Physic**. 3 ed. Prentice Hall, New Jersey.
- Godet, M.C., V. Tran and M.M. Delagw. 1993. Molecular modelling of the specific interaction in amylose complexation by fatty acids. **Int. J. Biological Macromolecules**. 15: 11-16.
- Guraya, H. S. and C. James. 2002. Deagglomeration of Rice Starch-Protein Aggregates by High-Pressure Homogenization. **Starch/Starke**. 54: 108-116.
- Hamaker, R.B. and V.K. Griffin. 1990. Changing the viscoelastic properties of cook rice through protein disruption. **Cereal Chem.** 67: 261-264.
- \_\_\_\_\_. 1993. Effect of disulfide bond-containing protein on rice starch gelatinization and pasting. **Cereal Chem.** 70: 377-380.

- Han, X.Z. and B.R. Hamaker. 2001. Amylopectin fine structure and rice paste breakdown. **Journal Cereal Science.** 54: 454-460.
- \_\_\_\_\_. 2002. Partial Leaching of Granule-Associated Proteins from Rice Starch during Alkaline Extraction and Subsequent Gelatinization. **Starch/Starke.** 54: 454-460.
- Haros, M., O.E. Perea, and C.M. Rosell. 2004. Effect of steeping corn with lactic acid on starch properties. **Cereal Chem.** 81(1): 10-14.
- Hatairat, P., V. Saiyavit and B. Wolfgang. 2005. Comparative Study of Pilot Scale Rice Starch Production by an Alkaline and an Enzymatic Process. **Starch/Starke.** 57: 134-144.
- Hinton, J.J.C. and B. Shaw. 1954. The distribution of nicotinic acid in the rice grain. **Brit. J. Nutrition.** 8: 65-71. Cited Z. Zhou, K. Robards, S. Helliwell and C. Blanchard. 2002. Review composition and functional properties of rice. **Int. J. Food Sci. and Tech.** 37: 849-868.
- Hizukuri, S. 1986. Polymodal distribution of the chain lengths of amylopectin and its significance. **Carbohydrate Res.** 147: 342-347.
- Hongsprabhas P., I. Kamolwan and C. Rattanawattanprakit. 2007. Architectural changes of heated mungbean, rice and cassava starch granules: Effects of hydrocolloids and protein-containing envelope. **Carbohydrate Polymers.** 67: 614-622.
- Immel, S. and F.W. Lichtenhaler. 2000. The hydrophobic Topographies of Amylose and it Blue Iodine. **Starch/Starke.** 1(52): 1-8.
- Isono, Y., T. Kumagai and T. Watanabe. 1994. Ultrasonic Degradation of Waxy Rice Starch. **Biosci. Biotech. Biochem.** 10(58): 1799-1802.

Jackson, D.S., C. Choto-Owen, R. D. Waniska, and L. W. Rooney. 1988. Characterization of starch cooked in alkali by aqueous high-performance size exclusion chromatography. **Cereal Chem.** 65: 493-496.

\_\_\_\_\_, R. D Waniska and L. W Rooney. 1989. Differential water solubility of corn and sorghum starches as characterized by aqueous high-performance size-exclusion chromatography. **Cereal Chem.** 66: 228-232.

Jane, J., L. Shen, L. Wang and C.C. Maningat. 1992. Preparation and properties of small particle corn starch. **Cereal Chem.** 69 (3): 280-283.

Jane, J. and J.F. Chem. 1992. Effects of amylose molecular size and amylopectin branch chain length on paste properties of starch. **Cereal Chem.** 69: 60-65.

Jeong, H. and S. Lim. 2003. Crystallinity and pasting properties of freeze-thawed high amylose maize starch. **Starch/Starke.** 55: 511-517.

Jiang, G. and Q. Liu. 2002. Characterization of from partially hydrolyzed potato and high amylose corn starches by pancreation  $\alpha$ -amylase. **Starch/Starke.** 54: 527-533.

Juliano, B.O. 1985. Polysaccharides proteins and lipids of rice, pp. 59-174. In **Rice: Chemistry and Technology.** 2<sup>nd</sup> ed. B.O. Juliano, ed. Am. Assoc. Cited B.O.Juliano. **Cereal Chemical.** St.Paul, MN.

\_\_\_\_\_. 1992. Structure, chemistry, and function of the rice grain and its fraction. **Cereal Foods World.** 37: 772-779.

\_\_\_\_\_. and D. Boulter. 1976. Extraction and composition of rice endosperm glutenin. **Phytochemistry.** 15: 1601-1606.

- Kalichevsky, M.T., P.D. Orford and S.G. Ring. 1990. The retrogradation and gelation of amylopectins from various botanical sources. **Carbohydrate Res.** 198: 49-55.
- Knorr, D., M. Zenker., V. Heninz and D.U. Lee. 2004. Applications and potential of ultrasonics in food processing. **Trends in Food Science and technology.** 15: 261-266.
- Kudla E and P. Tomasik. 1992. The modification of starch by high pressure. Part I: air and oven dried potato starch. **Starch/Starke.** 44: 167-253.
- Kun, L. L., H.J. Chen and H.Y. Sung. 1987. A new method for separation of rice protein and starch. **Journal of Chinese Agricultural Chemistry Society.** 25: 299-307.
- Leach, H.W., L.D. McCowen and T.J. Schoch. 1959. Structure of the starch granule Swelling and solubility patterns of various starches. **Cereal Chem.** 36: 534-544.
- Leadley, C. and A.S. Williams. 2002. **Power ultrasound-current and potential applications for food processing. Review No. 32.** Campden and Chorleywood Food Research Association.
- Lim, S.T., J.H. Lee, D.H. Shin and H.S. Lim. 1999. Comparison of protein extraction solutions for rice starch isolation and effects of residual protein content on starch pasting properties. **Starch/Starke.** 51: 120-125.
- Lineback, D.R. 1984. The starch granule: Organization and properties. **Bakers Digest.** 58(2): 16-21.
- Lim, W. J., Y. T. Liang, P.A. Seib and C. S. Rao. 1992. Isolation of oat starch from oat flour. **Cereal Chem.** 69: 233-236.

Lugay, C. J. and B.O. Juliano. 1965. Crystallinity of rice starch and its in relation to gelatinization and pasting characteristics. **Journal of Applied Polymer Science.** 9: 3775-3780.

Lumdubwong, N. and P.A. Seib. 2000. Rice starch isolation by alkaline protease digestion of wet-milled rice flour. **J. Cereal Sci.** 31: 63-74.

Malcolm, J., W. Povey and J. M. Timothy. 1998. Ultrasound in food processing. **An Imprint of Chapman & Hall**, London.

Martinez, A. and M.C. Quiroga. 1988. Study of some physicochemical properties of cassava starch during fermentation. **Technologia.** 28: 23.

Mason, T.J. 1990. A general introduction to sonichemistry, pp. 1-8. In T.J.Masno, ed. **Sonochemistry: The Uses of Ultrasoud in Chemistry.** The Royal Society of Chemistry, Cambridge, UK.

\_\_\_\_\_, L. Paniwnyk and J. P. Lorimer. 1996. The uses of ultrasound in food technology. **Ultrasonics Sonochemistry.** 3: S253-S260.

Matheson, N.K. and L.A. Welsh. 1988. Welsh Estimation and fraction of the essentially unbranched (amylose) and branched (amylopectin) components of starches with concanavalin A. **Caebohydr. Res.** 180: 301-313.

Mathew, G., S.N. Moorthy and G. Padmaja. 1995. Biochemical changes in cassava tuber during fermentation and its effect on extracted starch and residue. **J. Sci Food Agric.** 69: 36'102

Mitsuda, H., K. Yasumoto, K. Murakami, T. Kusano and H. Kishida. 1967. Studies on the proteinaceous subcellular particles in rice endosperm: electron-microscopy and isolation. **Agr. Biol. Chem.** 31: 293-300.

- Moholkar, V.S. and A.B. Pandit. 2001. Numerical investigations in the behaviour of one-dimensional bubbly flow in hydrodynamic cavitation. **Chemical Engineering Science.** 56:1411-1418.
- \_\_\_\_\_, P.S. Kumar and A.B. Pandit. 1999. Hydrodynamic cavitation for sonochemical effects. **Ultrasound Sonochemistry.** 6: 53-65.
- Monica, H., O.E. Perez and C.M. Posel. 2003. Effect of steeping corn with lactic acid on starch Properties. **Cereal Chem.** 81: 10-14.
- Moorthy, S.N. and G. Mathew. 1998. Cassava fermentation and associated changes in physicochemical and functional properties. **Critical Reviews in Food Science and Nutrition.** 38(2): 73-121.
- Morel, M.H., P. Dehlon, J.C. Autran, J.P. Leygue and C. Bar-L'Helgouac'h. 2000. Effects of temperature, sonication time and power setting on size distribution and extractability of total wheat flour proteins as determined by size-exclusion liquid chromatography. **Cereal Chemistry.** 77: 685-691.
- J.E., Morgan and P.C. William. 1995. Starch Damage in Wheat Flour: A Comparison of Enzymatic, Iodometric and Near-Infrared Reflectance Techniques. **Cereal Chem.** 72 (2): 209-212.
- Julino, B.O. 1971. A simplified essay for milled-rice amylase. **Cereal Sci. Today** 16 (10): 334-360.
- Morrison, W.R., R.F. Tester and M.J. Gidley. 1994. Properties of damaged starch granule. II Crystallinity, molecular order and gelatinization of ball-milled starches. **J. Cereal Science** 19: 209-217.

Moulton, K.J. and L.C. Wang. 1982. A pilot-plant study of continuous ultrasonic extraction of soybean protein. **Journal of Food Science.** 47: 1127-1129.

Newport Scientific. 1995. **Operation Manual for the Series 4 Rapid Visco Analyzer.** Warriewood, New South Wales. 93 p.

Oates, C.G. 1997. Towards an understanding of starch granule structure and hydrolysis. **Trends in Food Science and Technology.** 8: 375-382.

Padhye, V.W. and D.K. Salunkhe. 1979. Extraction and characterization of rice protein. **Cereal Chem.** 56: 389-393.

Paniwnyk, L. 1993. **The effect of ultrasound on organic synthesis and processing from laboratory to large scale.** PhD thesis, Coventry University.

Park, J.k., S.S. Kim and K.O. Kim. 2001. Effect of milling ratio on sensory properties of cooked rice and on physicochemical properties of milled and cooked rice. **Cereal Chem.** 78: 151-156.

Perera, C. and R. Hoover. 1997. The effect of hydroxypropylation on the structure and physicochemical properties of native defatted and heat-moisture treated potato starches. **Food Research International.** 30: 235-243.

Piyachomkwan, K., R. Chollakup, S. Chotineeranat, N. Termvejsayanon and K. Sriroth. 1998. Thermal properties of physically treated cassava starch. In "The 10<sup>th</sup> Annual meeting of the National Center for Genetic Engineering and Biotechnology for a self-sufficient economy" November 25-27, 1998. Sol Twin Town Hotel, Bangkok.

Prosonix Co. Ltd. 2003. **Ultrasound.** World leaders in ultrasonic particle engineering . Available Source: <http://www.sonochemistry.info/Research.htm>, 9 September 2007.

- Puchongkavarin, H., S. Varavinit and W. Bergthaller. 2005. Comparative study of pilot rice starch production by an alkaline and an enzymatic process. **Starch/Starke.** 57:134-144.
- Rampantapathy Co., Ltd. 2002. **Ultrasonic Bath.** 12c508a Deprotection Tutorial. Available Source: <http://www.rampantapathy.co.uk/12c508a.html>, 9 September 2007
- Rickard, J.E, M. Asaoka and J.M.V. Blanshard. 1991. Review-the physicochemical properties of cassava starch. **Tropical Science.** (31): 189-207.
- Robin, J.P., C. Mercier, R. Charbonniere and A. Guilbot. 1974. Lintnerized starch : gel filtration and enzymatic studies of insoluble residues from prolonged acid treatment of potato starch. **Cereal Chem.** 51: 389-406.
- Rohwer, R.G. and R.E. Klem. 1984. Acid-modified starch: production and uses, pp. 529-541. In R.L. Whistler, J.N. BeMiller and E.F. Paschall (eds.). **Starch: Chemical and Technology.** 2<sup>nd</sup> ed. Academic Press, Inc., New York.
- Sabularse, V. C., J. A. Liuzzo, R. M. Rao and R. M. Grodner. 1992. Physicochemical characteristics of brown rice as influenced by gamma irradiation. **J. Food Sci** 57: 143-145.
- Sanders, J.P.M. 1996. Starch Processing Technologies, pp. T-02-1-T-02-13. In Advanced Post-Academic Course on Tapioca Starch Technology (1). 22-26 January 1996. AIT & KU, Bangkok.
- Sanchez, H.D., M.A. Torre, C.A. Osella and J.C. Mancuello. 1986. Effect of high damaged starch content on behavior of wheat flour. **Ind. Cereales** 42: 7-11.
- Sandstedt, R.M. and H. Schroeder. 1960. A photographic study of mechanically damaged wheat starch. **Food Technol.** 14: 257-265.

Sandstedt, R.M., T. Yasui and J. Matsuki. 2000. Effect of amylose content on gelatinization, retrogradation and pasting properties of starches from waxy and non-waxy wheat and their FI seed. **Cereal Chem.** 75: 524-529.

Serway, R.A. 1996. **Physics for Scientist & Engineers with modern physics.** 4 ed. Saunders college publishing, Florida.

Singh, N., J. Sing, L. Kaur, N.S. Sodhi and B.S. Gill. 2003. Morphological, thermal and rheological properties of starches from different botanical sources. **Food Chemistry.** 81: 219-231.

Singh, V. and S.Z. Ali. 2000. Acid degradation of starch: The effect of acid and starch type. **Carbohydrate Polymers.** 41: 191-195.

Star, J.R. and A. Lynn. 1992. Biochemistry of plant polysaccharides : Starch granules large and small. **Biochem. Soc. Trans.** 20 : 7-12.

Szymonska, J. and K. Wodnicka. 2005. Effect of multiple freezing and thawing on the surface and functional properties of granular potato starch. **Food Hydrocolloids.** 19: 753-760.

Szymonska, J., F. Krok. and P. Tomaszik. 2000. Deep-Freezing of potato starch. **Int. J. of Biological Macromolecules.** 27: 307-314.

Szymonska, J., F. Krok., E. Komorowska-Czepirska and K. Rebilas. 2003a. Modification of granular potato starch by multiple deep-freezing and thawing. **Carbohydrate Polymers.** 52: 1-10.

Takeda, Y., S. Hizukuri and B.O. Juliano. 1986. Purification and structure of amylose from rice starch. **Carbohydrate Res.** 148: 299-308.

Takeda, Y., S. Hizukuri and B.O. Juliano. 1987. Structure of rice amylopectins with low and high affinities for iodine. **Carbohydrate Res.** 168: 79-88.

Tanaka, K., T. Sugimoto, M. Ogawa and Z. Kasai. 1980. Isolation and characterization of two types of protein bodies in the rice endosperm. **Agri Biol. Chem.** 44: 1633-1639.

Tang, S., N.S. Hettiarachchy and T. H. Shellhammer. 2002. Protein extraction from Heat-stabilized defatted rice bran 1. physical processing and enzyme treatments. **J. Agric. Food Chem.** 50: 7444-7448.

Thirathumthavorn, D. and S. Charoenrein. 2005. Thermal and pasting properties of acid-treated rice starch. **Starch/Starke.** 5: 217-222.

Vandeputte, E.G. and J.A. Delcour. 2004. From sucrose to starch granule to starch physical behavior: a focus on rice starch. **Carbohydrate Polymers.** 58: 245-266.

\_\_\_\_\_, R. Vermeylen, J. Geeroms and J.A. Delcour. 2003. Rice starch. I. structural aspects provide insight into crystallinity characteristics and gelatinization behavior. **J. Cereal Sci.** 38: 43-52.

Variclean Benelux b.v. 2001a. **Cavitation and Implosion.** Theory ultrasonics. Available Source: <http://www.variclean.nl/Ultrasoon/theorie.php>, 9 September 2007.

Variclean Benelux b.v. 2001b. **Ultrasonics Speeds Cleaning by Dissolution.** Theory ultrasonics. Available Source: <http://www.variclean.nl/Ultrasoon/theorie.php>, 9 September 2007.

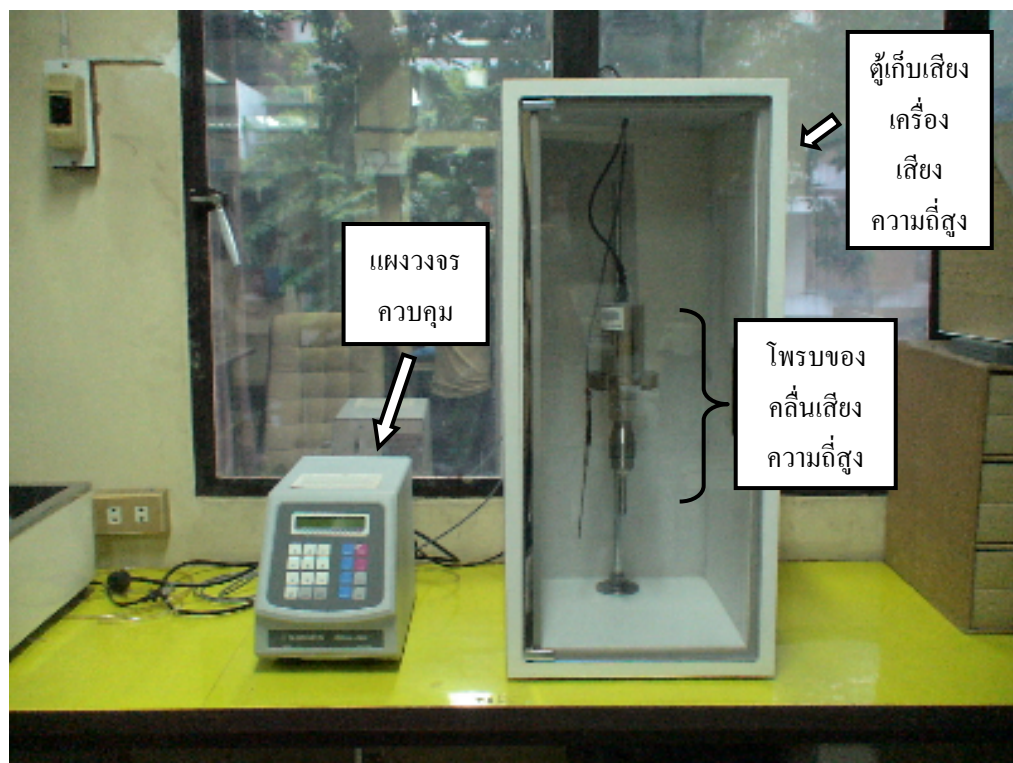
Walker, D.A. 1976. Preparation of geological samples for scanning electron microscopy, p. 68. In A. Delokkunanund. **Specimen Preparation for SEM.** Kasetsart University, Bangkok.

- Wang, L. and Y.J. Wang. 2001. Comparison of Protestion at Netral pH with Alkaline Steeping Method for Rice Starch Isolation. **Ceral Chem.** 78: 690-692.
- \_\_\_\_\_. 2004a. Rice starch isolation by neutral protease and hight-intensity ultrasound. **Cereal science.** 39: 291-296.
- \_\_\_\_\_. 2004b. Application of High-Intensity Ultrasound and Surfactant in Rice Starch Isolation. **Cereal Chem.** 81: 140-144.
- Wang, L.C. 1975. Ultrasonic extraction of proteins from autoclaved soybean flakes. **Journal of Food Science.** 40: 549-551.
- Wang, Y.J., V.D. Truong and L. Wang. 2003. Structures and rheological properties of corn starch as affected by acid hydrolysis. **Carbohydrate Polymers.** 52: 327-333.
- Ward, J.E.K., R.C. Hoseney and P.A. Seib. 1994. Retrogradation of amylopectin from maize and wheat starches. **Cereal Chem.** 71: 150.
- Wolfson, R. and J.M. Pasachoff. 1995. **Physics with modern physics.** 2 ed. Harper collins college publishers, New York.
- Yang, C.C., H.M. Lai and C.Y. Lii. 1984. The modified alkaline steeping method for the isolation of rice starch. **Food Sci.** 11: 158-162.
- Yoenyong-buddhagal, S. and A. Noomhorm. 2002. Effect of raw material preparation on rice vermicelli quality. **Starch/Starke.** 54: 534-539.
- Zhang, Z., Y. Niu, S.R. Eckhoff and H. Feng. 2005. Sonication Enhanced Cornstarch Separation. **Starch/Starke.** 57: 240-245.

- Zhou, Z., K. Robards, S. Helliwell and C. Blanchard. 2002. Review Composition and functional properties of rice. **International Journal of Food Science and Technology.** 37: 849-868.
- Zobel, H.F. 1988. Molecules to granules: a comprehensive starch review. **Starch/Starke.** 40: 44-50.

### ภาคผนวก

ภาคผนวก ก  
เครื่องคิดเลขชี้แจงความถี่สูง



ภาพพนวกที่ ก1 เครื่องคลื่นเสียงความถี่สูง

**ภาคผนวก ข**  
**การวิเคราะห์องค์ประกอบและสมบัติทางเคมี**

## การวิเคราะห์องค์ประกอบและสมบัติทางเคมีของแป้งข้าว

### ๑. การวิเคราะห์ปริมาณความชื้น (AACC, 2000) Method 44-15A

#### 2.5 เครื่องมือและอุปกรณ์

- 2.1 ตู้อบลมร้อน (hot air oven)
- 2.2 ภาชนะใส่ตัวอย่าง (moisture can)
- 2.3 เดซิคเกเตอร์ (desiccator)

#### 2.6 วิธีการวิเคราะห์

ปริมาณความชื้น อบภาชนะใส่ตัวอย่าง ในตู้อบลมร้อนที่อุณหภูมิ 130 องศาเซลเซียส นาน 1 ชั่วโมง นำออกมายังในเดซิคเกเตอร์ ทิ้งไว้ให้เย็นที่อุณหภูมิห้อง นำไปซึ่งน้ำหนักที่แน่นอน ซึ่งตัวอย่างแป้งใส่ภาชนะใส่ตัวอย่างให้ได้น้ำหนักที่แน่นอน 3 กรัม อบในตู้อบลมร้อนที่อุณหภูมิ 130 องศาเซลเซียส นาน 1 ชั่วโมง นำออกมายังเดซิคเกเตอร์ ทิ้งไว้ให้เย็นในอุณหภูมิห้อง นำไปซึ่งน้ำหนัก

#### 2.7 วิธีการคำนวณ

$$\text{ปริมาณความชื้น (ร้อยละ)} = \frac{(W_1 - W_2)}{W_1} \times 100$$

หมายเหตุ  $W_1$  = น้ำหนักตัวอย่างและภาชนะใส่ตัวอย่างก่อนอบ (กรัม)  
 $W_2$  = น้ำหนักตัวอย่างและภาชนะใส่ตัวอย่างหลังอบ (กรัม)

### ๒. การวิเคราะห์ปริมาณแอมิโลส (apparent amylose) (Juliano, 1971)

#### 2.1 เครื่องมือและอุปกรณ์

2.1.1 ขวดกำหนดปริมาตร 100 มิลลิลิตร

2.1.2 เครื่องสเปกโทรไฟฟ้ามิเตอร์

2.1.3 เครื่องชั่งละอีด

2.1.4 อ่างน้ำควบคุมอุณหภูมิ

## 2.2 สารเคมี

2.1.1 เอธิลแอลกอฮอล์ร้อยละ 95

2.1.2 สารละลายโซเดียมไฮดรอกไซด์ ความเข้มข้น 1 นอร์มอล

2.1.3 กรดอะซีติกล้วน ความเข้มข้น 1 นอร์มอล

2.1.4 แอมิโนสบาริสุทิชิจากมันฝรั่ง

2.1.5 ไอโอดีน

## 2.3 วิธีการวิเคราะห์

2.1.1 การละลายแป้ง ชั่งตัวอย่างแป้งให้ได้น้ำหนักที่แน่นอน 0.1 กรัม ใส่ในขวดปริมาตรขนาด 100 มิลลิลิตร ที่แห้งสนิท

2.1.2 นำแป้งมาเติมเอธิลแอลกอฮอล์ 1 มิลลิลิตร เขย่าเบาๆ

2.1.3 เติมสารละลายโซเดียมไฮดรอกไซด์ 1 นอร์มอล 9 มิลลิลิตร

2.1.4 ใส่แท่งแม่เหล็กลงไป ทำการปั่นตัวอย่าง และต้มในน้ำเดือดประมาณ 10 นาที จากนั้นนำแท่งแม่เหล็กออกจากขวดแก้ว

2.1.5 เติมน้ำกลั่น ปรับปริมาตรให้ได้ 100 มิลลิลิตร เขย่าขวด

2.1.6 เตรียมขวดปรับปริมาตรขนาด 100 มิลลิลิตร เติมน้ำกลั่น 70 มิลลิลิตร

2.1.7 ดูดน้ำแป้ง 5 มิลลิลิตร ด้วย volumetric pipette ขนาด 5 มิลลิลิตร ใส่ในขวดปรับปริมาตรที่เตรียมไว้ในข้อ 2.3.6

2.1.8 เติมกรดอะซีติกล้วนความเข้มข้น 1 นอร์มอล 1 มิลลิลิตร สารละลายไอโอดีน 2 มิลลิลิตร ปรับปริมาตรให้ได้ 100 มิลลิลิตร ด้วยน้ำกลั่น ตั้งทิ้งไว้ 20 นาที

2.1.9 ทำแบลงค์ นำขวดปรับปริมาตรขนาด 100 มิลลิลิตร เติมกรดอะซีติกล้วนความเข้มข้น 1 นอร์มอล 2 มิลลิลิตร และเติมสารละลายไอโอดีน 2 มิลลิลิตร ปรับปริมาตรให้ได้ 100 มิลลิลิตร ด้วยน้ำกลั่น ตั้งทิ้งไว้ 20 นาที

2.1.10 วัดความเข้มข้นของสีสารละลาย ด้วยเครื่องสเปกโตรโฟโตมิเตอร์ที่ความยาวคลื่น 640 นาโนเมตร อ่านค่าเป็นค่าการดูดกลืนแสง โดยปรับค่าของแบล็คเป็น 0 นำค่าค่าการดูดกลืนแสงไปคำนวณค่าปริมาณแอมิโลสเปรียบเทียบกับกราฟมาตรฐาน

## 2.4 การเขียนกราฟมาตรฐาน

2.1.1 ชั่งแอมิโลสบริสุทธิ์จากมันฝรั่งสักดจากเปลือกมันฝรั่ง 0.0400 กรัม ใส่ในขวดวัดปริมาตร 100 มิลลิตร และทำเช่นเดียวกับวิธีวิเคราะห์ในตัวอย่าง เป็นสารละลายมาตรฐาน

2.1.2 ปีเปตแบ่งสารละลายมาตรฐาน 0 1 2 3 4 และ 5 มิลลิลิตร ใส่ในขวดวัดปริมาตรขนาด 100 มิลลิลิตร เติมน้ำประมาณ 70 มิลลิลิตร เติมกรดอะซิติกล้วน 1 นอร์มอล ปริมาตร 0, 0.2, 0.4, 0.8 และ 1.0 มิลลิลิตร ลงในขวดแก้วที่มีสารละลายมาตรฐานตามลำดับ แล้วเติมสารละลายไอโอดีน 2 มิลลิลิตร เติมน้ำกลั่นให้ครบ 100 มิลลิลิตร ตั้งทิ้งไว้ประมาณ 20 นาที

2.1.3 วัดความเข้มข้นของสีสารละลาย ด้วยเครื่องสเปกโตรโฟโตมิเตอร์ที่ความยาวคลื่น 640 นาโนเมตร อ่านค่าเป็นค่าการดูดกลืนแสง โดยปรับค่าของแบล็คเป็น 0 นำค่าค่าการดูดกลืนแสงที่ได้มาเขียนกราฟมาตรฐาน

2.1.4 เขียนกราฟระหว่างค่าปริมาณแอมิโลส (แกน y) และค่าการดูดกลืนแสง (แกน x) โดยค่าปริมาณแอมิโลสของสารละลายมาตรฐาน

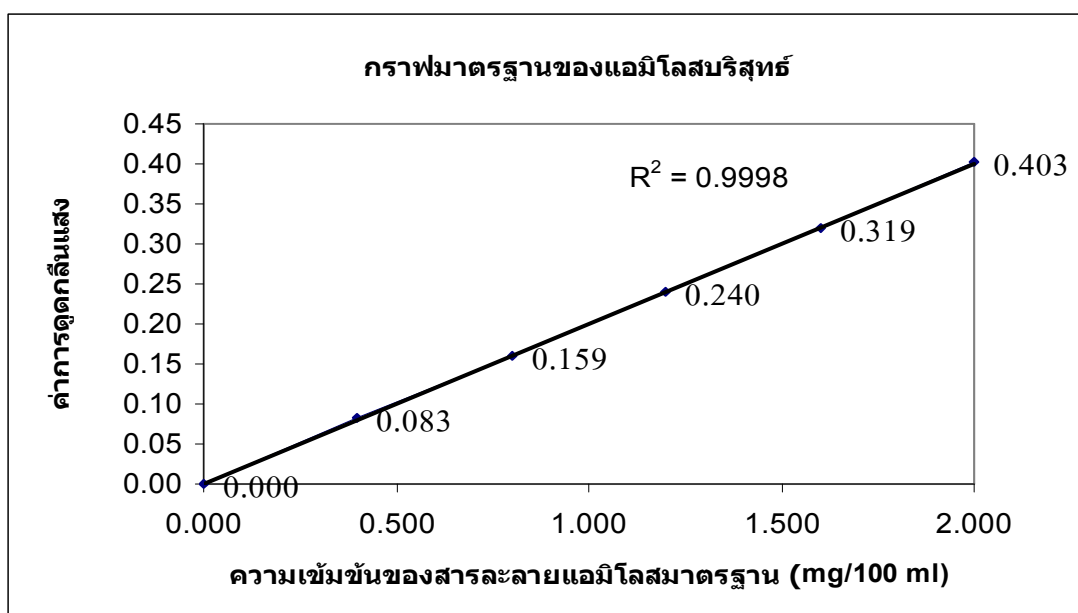
## 2.5 วิธีการคำนวณ

ความเข้มข้นที่อ่านได้จากสารละลายแอมิโลสมารฐาน

$$\text{ปริมาณแอมิโลส (ร้อยละ)} = \frac{\text{(มิลลิกรัมต่อ 100 มิลลิลิตร)} \times 10}{\text{5} \times \text{น้ำหนักแห้งแท้ (กรัม)}}$$

ตารางผนวกที่ ข1 ค่าดูดกลืนแสงของสารมาตรฐานโพเปตโอดีโนมิโลสที่ช่วงความยาวคลื่น 640 นาโนเมตร

ความเข้มข้น (mg/100ml)	0.00	0.04	0.80	1.20	1.60	2.00
ค่าการดูดกลืน แสงที่ 620 nm	0.000	0.083	0.159	0.240	0.319	0.403



ภาพพนักที่ ข1 ปริมาณเอมิโลสและค่าการดูดกลืนแสงของสารละลายน้ำมันมาตรฐาน

### ข3. การวิเคราะห์ปริมาณโปรตีน (AACC, 2000)

#### 3.1 เครื่องมือและอุปกรณ์

##### 3.2.1 เครื่องย่อยสลาย Buchi

##### 3.2.2 หลอด Kjeldahl สำหรับย่อย

##### 3.2.3 เครื่องกวนอัตโนมัติ Buchi

#### 3.2 สารเคมี

##### 3.2.1 กรดซัลฟิวริกเข้มข้น

##### 3.2.2 สารละลายน้ำโซเดียมไฮดรอกไซด์เข้มข้นร้อยละ 35

##### 3.2.3 สารละลายน้ำกรดอะซ็อกไซด์ร้อยละ 4

##### 3.2.4 สารละลายน้ำกรดไนโตรคลอริกมาตรฐาน 0.1 นอร์มอล

##### 3.2.5 คอปเปอร์ซัลเฟต

##### 3.2.6 โซเดียมโซเดียมซัลเฟต

##### 3.2.7 อินดิกเตอร์ฟลามาร์ห่วงแม็กซิลเรดและไบรอนิวเคลียร์

### 3.3 วิธีการวิเคราะห์

ชั้งตัวอย่างประมาณ 0.5-1 กรัม ให้ได้น้ำหนักแน่นอนลงบนกระดาษกรอง ใส่ลงในหลอดหยดเคลดคาล์ด (kjeldahl) ใส่ตัวเร่งปฏิกิริยาประกอบด้วย โซเดียมซัลเฟต 7 กรัม และคอปเปอร์ซัลเฟต 0.8 กรัม พร้อมด้วยสูญแก้ว 3 เม็ด เติมกรดซัลฟิวริกประมาณ 15 มิลลิลิตร ต่อชุดย่อย เช้ากับชุดไอกรดแล้วทำการย่อย ย่อยจนได้สารละลายใส ตั้งทึบไว้ให้เย็น แล้วเติมน้ำกลั่น 75 มิลลิลิตร ต่อเช้ากับชุดกลั่นซึ่งมีการเติมสารละลายโซเดียมไฮดรอกไซด์เข้มข้นร้อยละ 40 ลงไปประมาณ 50 มิลลิลิตร ทำการกลั่นเป็นเวลา 3 นาที แล้วรองรับสิ่งที่กลั่นได้ด้วยขวดรูปชમพู่ที่บรรจุสารละลายกรดบอริกเข้มข้นร้อยละ 4 ปริมาตร 25 มิลลิลิตร ที่มีอินดิเคเตอร์ซึ่งประกอบด้วยเมทิลเรด 0.1 กรัม และไบโรมิครีซอลกอร์น 0.1 กรัม ละลายในเอทานอล 100 มิลลิลิตร ประมาณ 3 หยดแล้วนำไปไหเทรตด้วยสารละลายมาตรฐานกรดไฮโดรคลอริก 0.1 นอร์มอล จนกระทั่งเปลี่ยนเป็นไม่มีสี โดยทำแบบลงค์ความคู่ไปกับตัวอย่าง

### 3.4 วิธีการคำนวณ

$$\text{ปริมาณโปรตีน (ร้อยละ)} = \frac{(T - B) \times N \times 1.401 \times 100 \times 5.95}{W}$$

หมายเหตุ T = ปริมาตรของกรดไฮโดรคลอริกที่ใช้ไหเทรตกับตัวอย่าง (มิลลิลิตร)

B = ปริมาตรของกรดไฮโดรคลอริกที่ใช้ไหเทรตกับแบบลงค์ (มิลลิลิตร)

N = ความเข้มข้นของกรดไฮโดรคลอริก (นอร์มอล)

W = น้ำหนักของตัวอย่าง (กรัม)

## 4. การหาปริมาณไขมันในแป้ง (AACC, 2000)

### 4.1 เครื่องมือและอุปกรณ์

4.1.1 เครื่องวิเคราะห์ไขมัน (Soxtec System HT2; 1045 Extraction unit)

4.1.2 เครื่องทำความเย็น

4.1.3 extraction cup

4.1.4 ทิมเบิล (thimble)

4.1.5 เดซิคเตอร์ (desiccator)

## 4.2 สารเคมี

ปีโตเดิมอีเชอร์ที่มีจุดเดือดในช่วง 40 – 60 องศาเซลเซียส

#### 4.3 ວິທີການວິເຄຣະໜີ

ชั้งตัวอย่างให้ได้น้ำหนักที่แน่นอน 2 กรัม บนกระดาษกรอง และห่อให้มิดชิด จากนั้นนำมาใส่ลงในทิมเบิลที่สะอาดและแห้ง ต่อเข้ากับเครื่องวิเคราะห์ไขมัน อบ extraction cup ที่อุณหภูมิ 100 องศาเซลเซียส เป็นเวลา 1 ชั่วโมง แล้วนำมาเก็บไว้ให้เย็นในเดซิเคเตอร์ เป็นเวลา 1 ชั่วโมงก่อนจะชั้งน้ำหนักที่แน่นอน เดิมปีโตรเลียมอิเชอร์ที่มีจุดเดือด 40 – 60 องศาเซลเซียส ประมาณ 45 มิลลิลิตร นำ extraction cup เข้าไปในเครื่องวิเคราะห์ไขมัน สะกัดไขมันโดยจุดทิมเบิลที่มีตัวอย่างลงในปีโตรเลียมอิเชอร์ที่มีการให้ความร้อนตลอดเวลา (boiling) เป็นเวลา 20 นาที และยกทิมเบิลที่มีตัวอย่าง โดยมีปีโตรเลียมอิเชอร์ไวหล่อผ่านและสะท้อนจากไขมันที่สะกัดได้ (evaporation) เป็นเวลา 10 นาที นำ extraction cup ที่มีไขมันที่ได้จากตัวอย่างมาอบในตู้อบลมร้อนที่อุณหภูมิ 100 องศาเซลเซียส เป็นเวลา 1 ชั่วโมง นำมาทำให้เย็นในเดซิเคเตอร์ แล้วชั้งน้ำหนัก

#### 4.4 วิธีการคำนวณ

$$\text{ปริมาณไขมัน} (\text{ร้อยละ}) = \frac{W_3 - W_2}{W_1} \times 100$$

หมายเหตุ  $W_1$  = น้ำหนัก ตัวอย่าง (กรัม)

$W_2$  = น้ำหนัก extraction cup ก่อนสกัดไขมัน (กรัม)

$W_3$  = น้ำหนัก extraction cup หลังสกัดไขมัน (กรัม)

##### ๔๕. การวิเคราะห์ปริมาณสารร้ายที่เสียหาย (AACCC, 2000)

## 5.1 เครื่องมือและอุปกรณ์

### 5.1.1 ชุดวิเคราะห์สตาร์ชที่เสียหาย (Enzyme kits) (Sigma, USA)

## 5.2 สารเคมี

- 5.2.1 เอนไซม์แอลฟ่าเօไไมเลส
- 5.2.2 อะไไมโลคูโโคซิเดส
- 5.2.3 กลูโคสเรอเจนบัฟเพอร์
- 5.2.4 สารละลายน้ำกลูโคสมาร์ชูน

## 5.3 วิธีการวิเคราะห์

- 5.3.1 ชั้งสตาร์ชหรือแป้ง  $100 \pm 10$  มิลลิกรัม ใส่ในหลอดแยกเหวี่ยงที่มีปริมาตรบรรจุประมาณ 14 มิลลิลิตร
- 5.3.2 นำสารละลายน้ำกลูโคสเรอเจนบัฟเพอร์ที่เตรียมไว้มาบ่มที่อุณหภูมิ 40 องศาเซลเซียส นาน 2-5 นาที
- 5.3.3 จากนั้นเติมสารละลายน้ำกลูโคสเรอเจนบัฟเพอร์ที่บ่มแล้วจำนวน 1.0 มิลลิลิตร ลงในหลอดแยกเหวี่ยงในข้อ 5.3.1 เท่าให้เข้ากันด้วยเครื่องเบี่ยงนานประมาณ 2-5 วินาที
- 5.3.4 เติมสารละลายน้ำกลูโคสเรอเจนบัฟเพอร์ที่บ่มที่อุณหภูมิ 40 องศาเซลเซียส เป็นเวลา 10 นาที
- 5.3.5 หยุดปฏิริยาด้วยสารละลายกรดซัลฟิวริกเข้มข้น 0.2 เปอร์เซ็นต์ และนำไปแยกเหวี่ยงที่ความเร็วรอบ 3,000 รอบต่อนาที (1,000 g) เป็นเวลา 5 นาที
- 5.3.6 ดูดสารละลายน้ำกลูโคสเรอเจนบัฟเพอร์ที่บ่มที่อุณหภูมิ 40 องศาเซลเซียสเป็นเวลา 10 นาที
- 5.3.7 ใส่สารละลายน้ำกลูโคสเรอเจนบัฟเพอร์ที่เตรียมไว้แล้ว ในหลอดทดลองทึ้งสองหลอด ในข้อ 5.3.6 จำนวน 0.1 มิลลิลิตร จากนั้นนำหลอดทดลองดังกล่าวไปบ่มที่อุณหภูมิ 40 องศาเซลเซียสเป็นเวลา 10 นาที
- 5.3.8 เติม Glucose Determination Reagent ที่เตรียมไว้แล้ว ใส่ลงในหลอดทดลองในข้อ 5.3.7 และในหลอดทดลองของกลูโคสมาร์ชูน และหลอดที่เป็นแบลนค์ หลอดละ 4.0 มิลลิลิตร จากนั้นนำไปบ่มที่อุณหภูมิ 40 องศาเซลเซียส นาน 20 นาที
- 5.3.9 นำไปวัดค่าการดูดกลืนแสงที่ 510 นาโนเมตร

#### 5.4 วิธีการคำนวณ

$$\text{ลดาร์ชที่เสียหาย (ร้อยละ)} = \frac{\Delta E \times F \times 8.1}{W}$$

หมายเหตุ

$\Delta E$  = ค่าการดูดกลืนแสงของแบล็ค

$$F = \frac{150 \text{ } (\mu\text{g of glucose})}{\text{ค่าการดูดกลืนแสงของกลูโคส } 150 \text{ } \text{ ในโครกรัม}}$$

$$W = \text{นำหนักที่แน่นอนของเปลือกตัวอย่าง}$$

**ภาคผนวก ค**  
การวิเคราะห์การเปลี่ยนแปลงทางภาษาพ

## การวิเคราะห์การเปลี่ยนแปลงทางกายภาพ

**ค1. วิเคราะห์ลักษณะโครงสร้างอนุภาคของเม็ดสตาร์ชด้วยกล้องจุลทรรศน์อิเล็กตรอนแบบส่อง  
กราด (Scanning Electron Microscope, SEM) (Walker, 1976)**

### 1.1 เครื่องมือและอุปกรณ์

- 2.1 กล้องจุลทรรศน์อิเล็กตรอนแบบส่องกราด (JEOL, JSM-5600LV)
- 2.2 แท่ง aluminium stub ที่ติดภาวะสองหน้าชนิดบาง
- 2.3 เครื่องเคลือบทอง (ion-coater IB-2)

### 1.2 วิธีการวิเคราะห์

- 2.1 นำแป้งตัวอย่างปริมาณเล็กน้อย มากระเจยบนเทปการสองหน้าที่ติดอยู่บนแท่ง aluminium stub
- 2.2 นำแท่ง aluminium stub ที่ติดแป้งตัวอย่างแล้ว เข้าเครื่องเคลือบทอง (coating gold) ที่ผิวของแป้งตัวอย่าง เพื่อช่วยในการนำประจุอิเล็กตรอน
- 2.3 ใส่แท่ง aluminium stub ที่ผ่านการเคลือบทองเรียบร้อยแล้ว ในช่องใส่แท่ง aluminium stub ภายในตัวอย่างกล้องจุลทรรศน์อิเล็กตรอน
- 2.4 ตรวจดูลักษณะรูปร่างของอนุภาคแป้งด้วยกล้องจุลทรรศน์อิเล็กตรอน โดยควบคุมสภาวะการทดลองที่ค่าอัตราเร่งของความต่างศักย์ไฟฟ้าที่ 10 กิโลโวลท์ และใช้กำลังขยายที่ 5,000 เท่า บันทึกภาพถ่าย

### 1.3 สถานที่วิเคราะห์

หน่วยงานกล้องจุลทรรศน์อิเล็กตรอน ฝ่ายเครื่องมือวิทยาศาสตร์กลาง สถาบันวิจัยและพัฒนาแห่งมหาวิทยาลัยเกษตรศาสตร์

**ค2. วิเคราะห์ลักษณะโครงสร้างอนุภาคของเม็ดสตาร์ชด้วยกล้องจุลทรรศน์ (Confocal Scanning Electron Microscope, LSEM) (Hongsprabhas *et al.*, 2006)**

2.1 เครื่องมือและอุปกรณ์

การตรวจดูโครงสร้างและโปรตีนบนเม็ดสตาร์ชโดยใช้ Confocal laser scanning microscopy, CLSM (Axio Imager MI, Carl Zeiss PTe Ltd., Germany)

2.2 สารเคมี

2.2.1 Rhodamine B

2.2.2 เอทานอล 95 เปอร์เซ็นต์

2.3 วิธีการวิเคราะห์

2.3.1 เตรียมสารละลาย Rhodamine B 0.01 เปอร์เซ็นต์ใน เอทานอล 95 เปอร์เซ็นต์

2.3.2 หยดใส่หลอดทดลองที่มีสารละลายตัวอย่าง (แป้ง) เข้มข้นร้อยละ 1.25 (น้ำหนักโดยปริมาตร) ประมาณ 2-3 หยด

2.3.3 จากนั้นเบย่าให้เข้ากัน โดยใช้เครื่องเบย่าประมาณ 5 วินาที

2.3.4 นำไปส่องตรวจดูโครงสร้างและโปรตีนตามเม็ดสตาร์ช

**ค3. วิเคราะห์คุณภาพสีของสตาร์ช**

นำแป้งและสตาร์ชที่ได้บรรจุลงใน Petri dish ขนาดเส้นผ่านศูนย์กลาง 5 เซนติเมตร นำไปวัดด้วยเครื่องวัดสี (Minolta Spectrophotometer รุ่น CM-3500d) และบันทึกค่าสีที่วัดได้ในระบบของ Lab เป็นค่าความสว่างของสี (L a b) โดยรายงานผลจากค่าเฉลี่ยการทดลองทั้งหมด 3 ชุด

### ภาคผนวก ๔

การวิเคราะห์สมบัติทางเคมีฟิสิกส์

## การวิเคราะห์สมบัติทางเคมีฟิสิกส์

### ๑. การวิเคราะห์สมบัติความหนืด (Pasting properties) ด้วยเครื่องวัดความหนืดแบบเร็ว (Rapid Visco Analyzer, RVA)

#### 2.1 เครื่องมือและอุปกรณ์

เครื่องวัดความหนืดแบบเร็ว (Rapid Visco Analyzer, RV A3D)

#### 2.2 วิธีการวิเคราะห์

2.2.1 กรณีที่ตัวอย่างมีความชื้นร้อยละ 14 เปอร์เซ็นต์ ให้ตวงน้ำกากลั่นประมาณ 25.00 มิลลิลิตร ใส่ลงในแคนของเครื่องวัดความหนืดแบบเร็ว

2.2.2 ชั่งตัวอย่างแป้งมาจำนวนหนึ่งใส่ลงในแคนที่มีน้ำอุ่น โดยจำนวนของตัวอย่างแป้งชี้อุณหภูมิคงของตัวอย่าง

2.2.3 ใส่พายลงในแคน หมุนพายไปมาแรงๆ และดึงขึ้นลงเพื่อกวนตัวอย่างไม่ให้จับเป็นก้อนที่ผิวน้ำหรือติดอยู่ที่พาย

2.2.4 นำแคนที่ใส่พายเข้าเครื่องวัดความหนืดแบบเร็ว กดモเตอร์ลงเพื่อให้เครื่อง RVA ทำงาน

หมายเหตุ ในการชั่งตัวอย่างและตวงวัดปริมาณน้ำ เพื่อที่จะให้ได้ผลถูกต้องควรนำค่าความชื้นของตัวอย่างมาคิดด้วย ซึ่งจะทำให้มีอคิดน้ำหนักของตัวอย่างเมื่อแห้งแล้วมีจำนวนเท่ากัน ปกติค่าความชื้นอยู่ที่ร้อยละ 14 และมีสูตรที่ใช้ในการคำนวณสำหรับความชื้นที่ร้อยละ 14 ดังนี้

$$M_2 = \frac{(100-14) \times M_1}{(100-M_1)}$$

$$W_2 = 25.0 + M_1 - M_2$$

เมื่อ  $M_1$  = น้ำหนักตัวอย่างตามที่แนะนำไว้ในคู่มือ

$M_2$  = น้ำหนักที่ถูกต้อง

$W_2$  = ปริมาณน้ำที่ถูกต้อง

**๔๒. การวิเคราะห์สมบัติด้านความร้อน (thermal properties) ด้วยเครื่องดิฟเฟอเรนเชียล สแกนนิง แคลอริมิเตอร์ (Differential scanning calorimeter, DSC) ตามวิธีของ Thirathumthavorn and Charoenrein (2005)**

**2.1 เครื่องมือและอุปกรณ์**

2.2.1 เครื่องดิฟเฟอเรนเชียล สแกนนิง แคลอริมิเตอร์

2.2.2 Aluminium pan

2.2.3 เครื่องปิดผนึก Aluminium pan

**2.2 วิธีการวิเคราะห์**

2.2.1 เตรียมตัวอย่างเป็นที่ทราบความชื้น โดยให้มีปริมาณแป้ง (น้ำหนักแห้ง) ประมาณ 4-5 มิลลิกรัม โดยผสมกับน้ำกลั่นให้มีความเข้มข้นร้อยละ 30 (น้ำหนักแห้ง) คนให้เข้ากัน

2.2.2 ใส่ลงใน aluminium pan ของเครื่องดิฟเฟอเรนเชียล สแกนนิง แคลอริมิเตอร์ บ่มไว้ที่ อุณหภูมิห้อง 1 ชั่วโมง

2.2.3 นำ aluminium pan เข้าเครื่องดิฟเฟอเรนเชียล สแกนนิง แคลอริมิเตอร์ตั้งค่าของ เครื่องที่ช่วงอุณหภูมิ 25-130 องศาเซลเซียส โดยมีอัตราการเพิ่มอุณหภูมิเป็น 10 องศาเซลเซียสต่อ นาที

2.2.4 ตรวจวัดค่าอุณหภูมิเริ่มเกิดเจลาทีไนเซชัน (onset temperature,  $T_o$ ) อุณหภูมิสุดท้าย ในการเกิดเจลาทีไนเซชัน (conclusion temperature,  $T_c$ ) หน่วยเป็นองศาเซลเซียส และค่าพลังงาน ทึ้งหมดที่ใช้ในการเกิดเจลาทีไนเซชัน (enthalpy,  $\Delta H_{gel}$ ) หน่วยเป็นจูลต่อกรัมแป้งแห้ง

**๔๓. การวิเคราะห์ผลของอุณหภูมิต่อการเปลี่ยนแปลงความเป็น plastict ด้วยเครื่องเอกซ์เรย์ดิฟเฟรนต์ แอกซ์รัมมิเตอร์ (X-ray diffractometer, JEOL, JDX-3530, Japan)**

**3.1 เครื่องมือและอุปกรณ์**

เครื่องเอกซ์เรย์ดิฟเฟรนต์ แอกซ์รัมมิเตอร์ (X-ray diffractometer, JEOL, JDX-3530, Japan)

### 3.2 วิธีการวิเคราะห์

3.2.1 เตรียมแป้งหรือสตารช์ที่ได้ โดยนำมาร่อนผ่านตะกรงขนาด 80 เมช

3.2.2 บรรจุแป้งลงในที่บรรจุตัวอย่างซึ่งทำจากแผ่นซิลิค้า ซึ่งมีความเป็นผลึกเป็นสูนย์ โดยต้องเกลี่ยผิวน้ำของตัวอย่างให้เรียบ

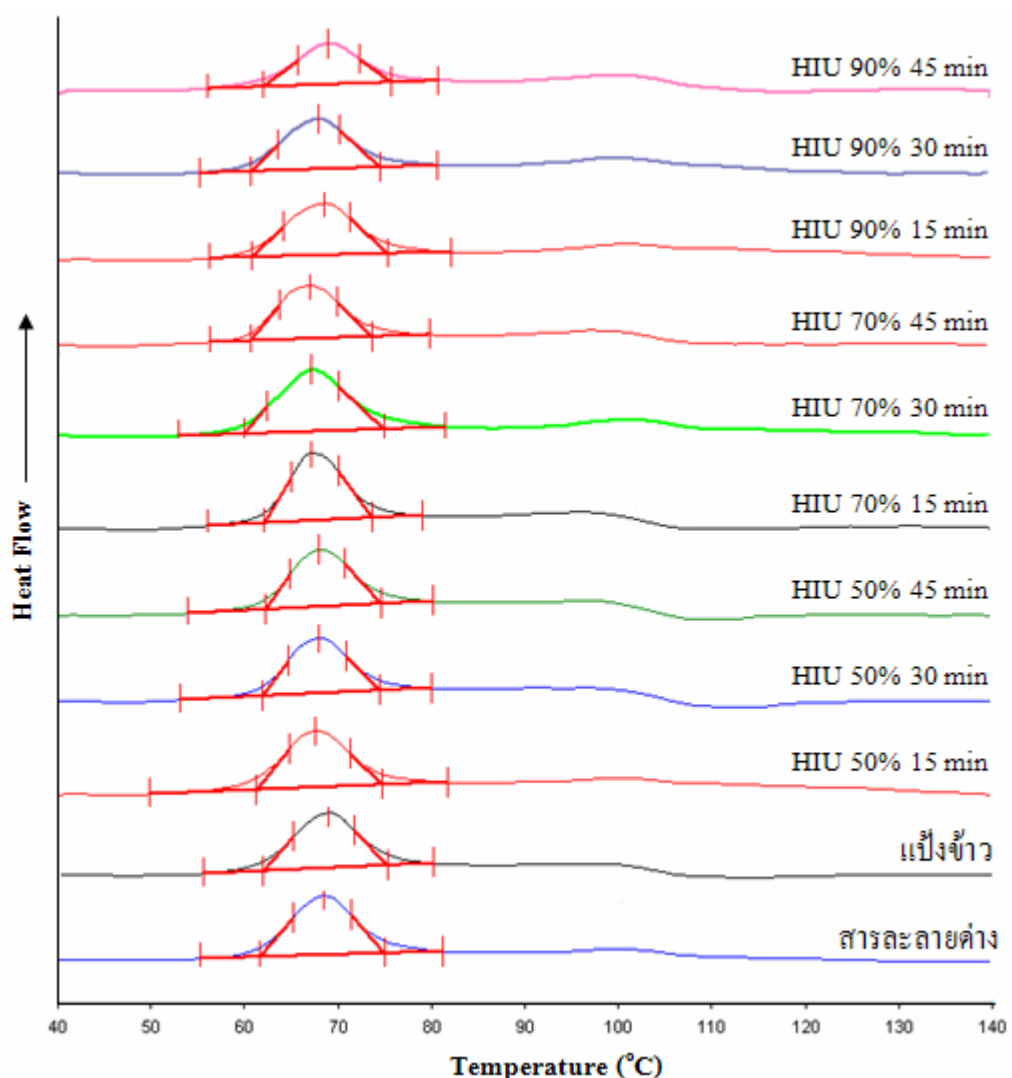
3.2.3 วิเคราะห์โครงสร้างผลึกของอนุภาคแป้งคั่วยเครื่องເອັກຊ່າຍົດຝຳ ໂພຣກໂຕມີເຕେວົງໃຊ້ Target เป็นทองแดง (Cu) ความต่างศักย์ไฟฟ้า 30 กิโลโวลท์ ใช้กระแสไฟฟ้า 40 มິລືລີແອມແປ່ງ ເຮີມສแกນที่ມູນຫັກເໜ້ວງ 5.00 ປຶ້ງ 40.00 ອົງສາ 2 theta โดยມີການເພີ່ມມູນ 3 ວິນາທີຕ່ອບໜັ້ນ

3.2.4 ບັນທຶກຮູບແບບການເລີ້ນແບນຂອງຮັສສີເອກຊ່າຍົດຝຳ ແລະ ຄຳນວນຄໍາຮ້ອຍລະຂອງການເປັນ ພລືກໂດຍເປົ້າຍເຖິງ (Relative crystallinity)

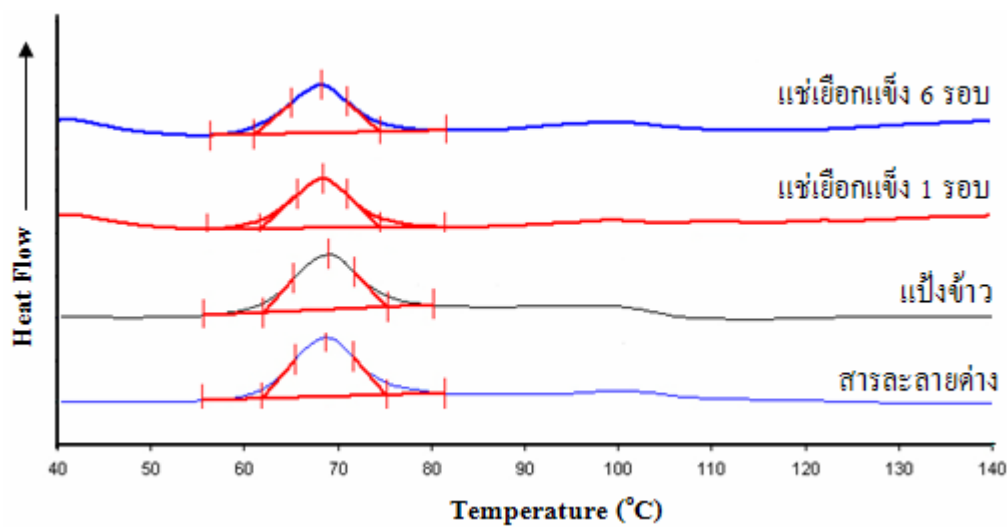
### 3.3 สถานที่วิเคราะห์

ห้องปฏิบัติการເອັກຊ່າຍົດຝຳ ແພຣກຊັ້ນແລະ ເອັກຊ່າຍົດຝຳ ພຸລູອອເຮສເຊນສ໌ ສູນຍໍທັກໂນ ໂລິຢີ ໂດຍ ແລະ ວັດທະນາ

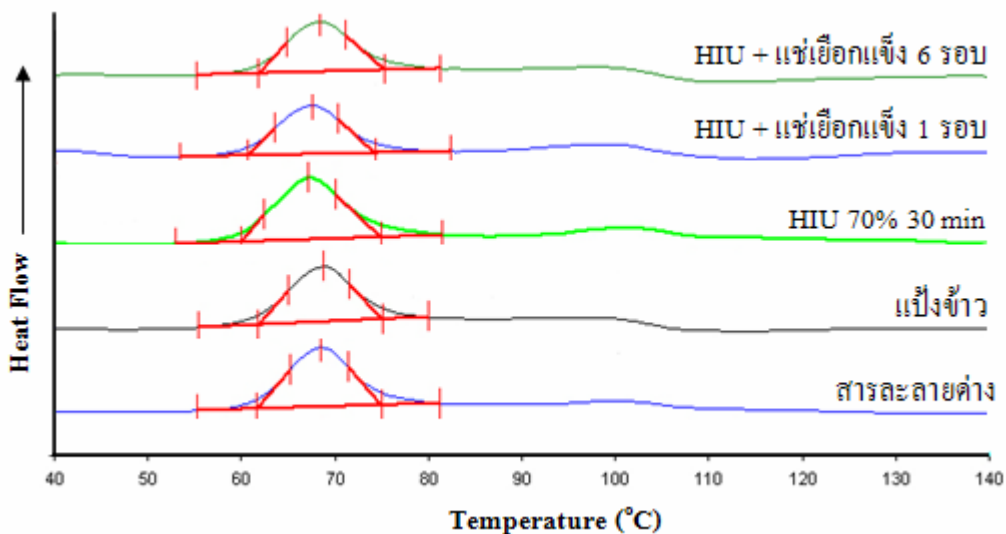
ภาคผนวก จ  
กราฟผลการทดสอบ



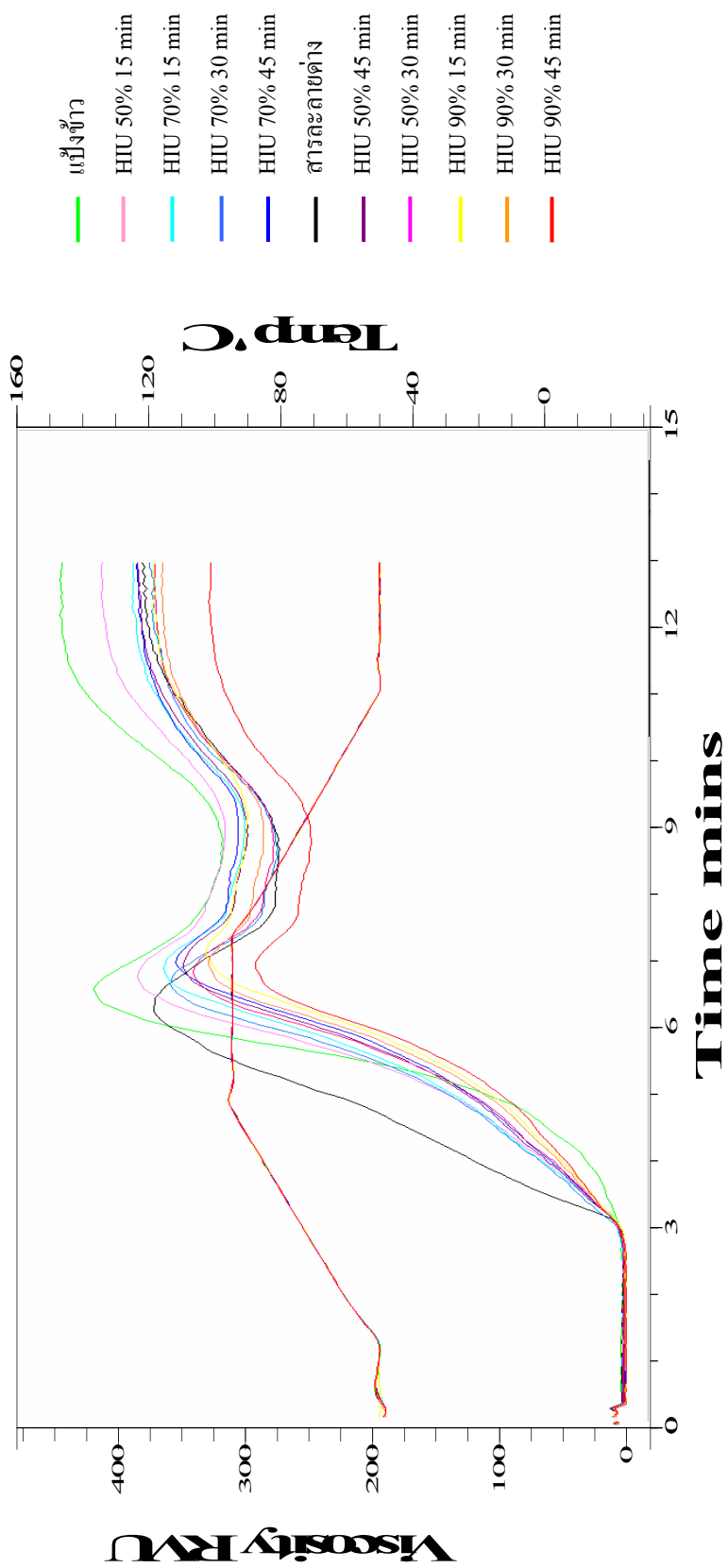
ภาพผนวกที่ จ1 กราฟการเกิดเจลาตินเซชันของแป้งข้าว สตาร์ชที่สกัดด้วยวิธีการใช้คลื่นเสียง  
ความถี่สูง และวิธีการใช้สารละลายค่าง โดยใช้เครื่อง Differential Scanning Calorimeter (DSC)



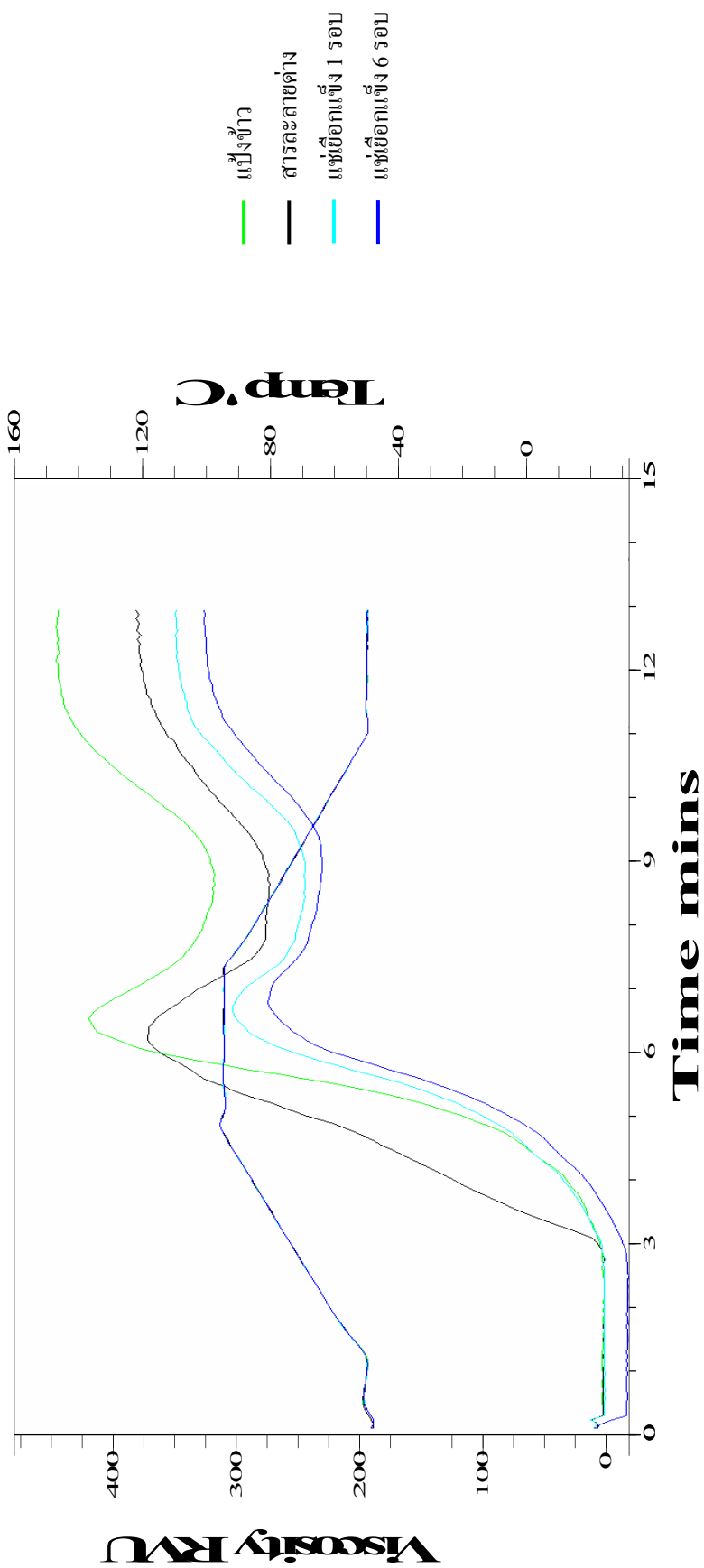
ภาพผนวกที่ จ2 กราฟการเกิดเจลาทีนในเซชันของเปี๊งข้าว สตาร์ชที่สกัดด้วยวิธีการแซ่เขือกแข็ง อุณหภูมิต่ำ และวิธีการใช้สารละลายค่าง โดยใช้เครื่อง Differential Scanning Calorimeter (DSC)



ภาพผนวกที่ จ3 กราฟการเกิดเจลาทีนในเซชันของเปี๊งข้าว สตาร์ชที่สกัดด้วยวิธีการใช้คลื่นเสียง ความถี่สูงร่วมกับการแซ่เขือกแข็งอุณหภูมิต่ำ และวิธีการใช้สารละลายค่าง โดยใช้เครื่อง Differential Scanning Calorimeter (DSC)

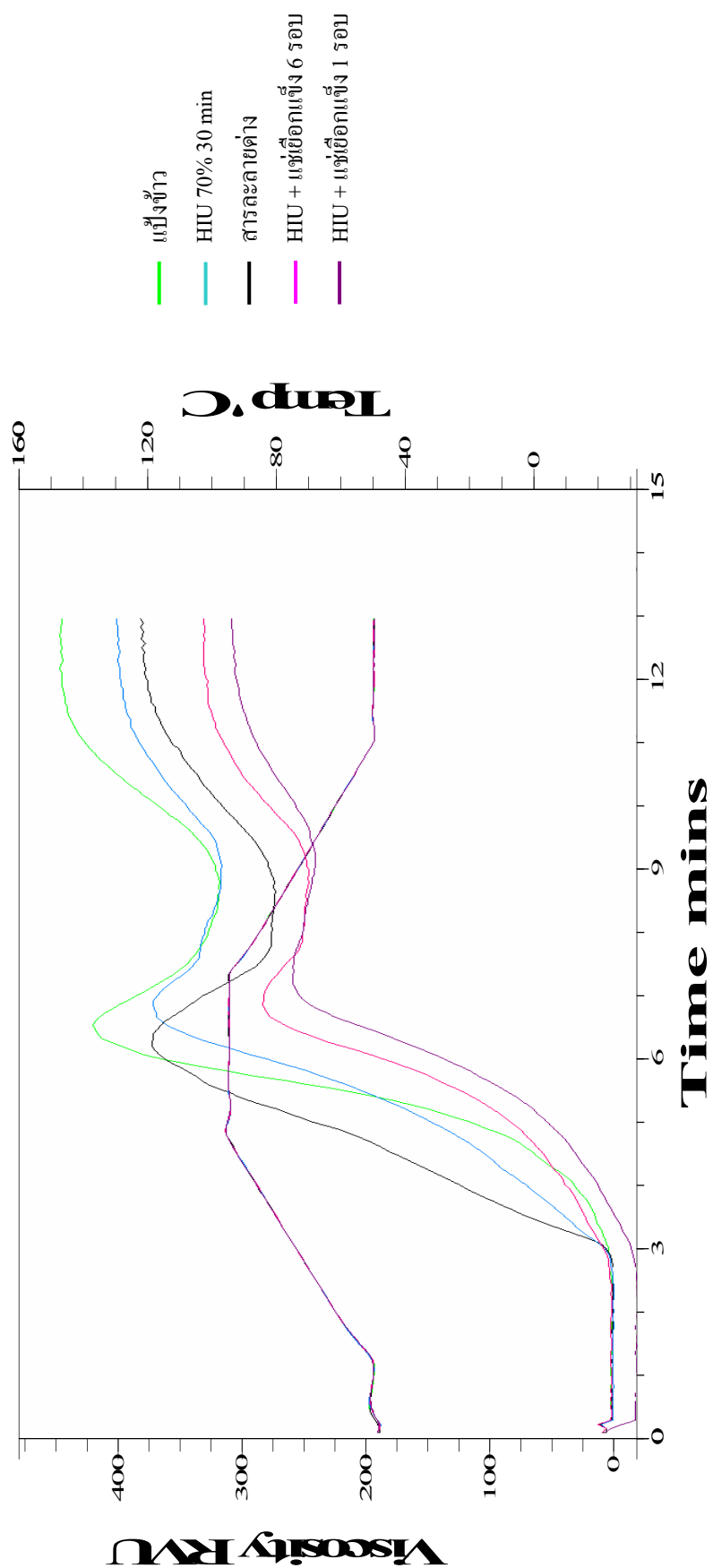


ภาพผนวกที่ 4 กราฟคุณสมบัติความหนืด (Pasting properties) ของแป้งข้าวสาลีที่ถูกดูดหัววิธีการใช้คลินส์เพียงความถี่สูง และวิธีการใช้สารลดตะไบ ดำเนินการโดยเครื่อง Rapid Visco Analyzer

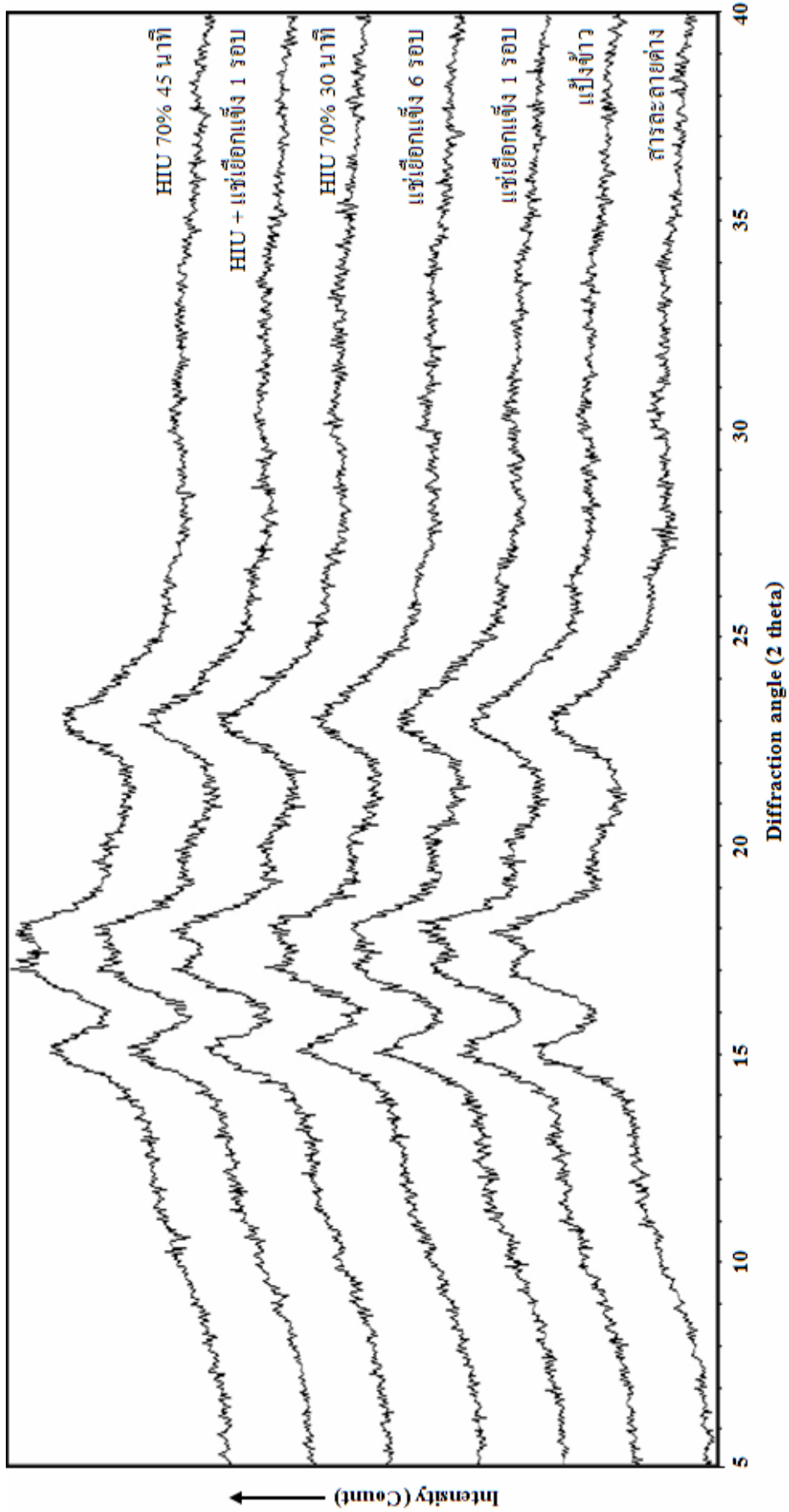


ການພັນອົກ 5 ກຽມຄຸນສົມບັດຕໍ່ຄານຄວາມໜີດ (Pasting properties) ຂອງປິ່ງຖາກ ຕາງຮູ້ຈຳກັດຕໍ່ຍົວເລີກແຫຼ່ອຄາເຫຼື່ອຈຸດທຸກມີຕໍາ ແລະ ວິວິກາງໃໝ່

ຕາງຮະດຍຕໍ່າງ ໂດຍກ່ຽວຂ້ອງ Rapid Visco Analyzer



ภาพแผนภูมิที่ ๑๖ กราฟคุณสมบัติต้านความเหนืด (Pasting properties) ของแป้งข้าว ต่างชนิดที่สกัดด้วยวิธีการใช้ค้อนสีน้ำเงินที่สูงร่วมกับการเย็นต่อห้องอุณหภูมิ室温和วิธีการใช้สารลดลักษณะ โดยเครื่อง Rapid Visco Analyzer



กิจกรรมนี้เป็นการนำเสนอเรื่องราวด้วยเสียงและภาพ ไม่ใช่การอ่านหนังสือ

## ประวัติการศึกษาและการทำงาน

ชื่อ – นามสกุล	นางสาววรารทพย์ ประสิทธิ์นารายณ์
วัน เดือน ปี ที่เกิด	9 พฤษภาคม 2524
สถานที่เกิด	กรุงเทพฯ
ประวัติการศึกษา	ปริญญาตรี วิทยาศาสตรบัณฑิต (เทคโนโลยีการอาหาร) คณะเทคโนโลยีชีวภาพ มหาวิทยาลัยรังสิต
ทุนการศึกษาที่ได้รับ	โครงการวิจัยทุนอุดหนุนวิจัย มก. ภายใต้ชุดโครงการวิจัย เพื่อพัฒนาหน่วยปฏิบัติการวิจัยเชี่ยวชาญเฉพาะ (SRU) สถาบันวิจัยและพัฒนา (สวพ.) ปี 2548-2549